

برقی و مقناطیسیات

خالد خان یوسفزئی
 کامیٹ انسٹیٹیوٹ آف انفارمیشن ٹیکنالوجی، اسلام آباد
 khalidyousafzai@comsats.edu.pk

عنوان

3

1	4	سمتیات	1
1.1	5	مقداری اور سمتیہ	1.1
1.2	6	سمتی الجبرا	1.2
1.3	7	کارتیسی محدود	1.3
1.4	8	اکائی سمتیات	1.4
1.5	9	میدانی سمتیہ	1.5
1.6	10	سمتی رقبہ	1.6
1.7	11	غیر سمتی ضرب	1.7
1.8	12	سمتی ضرب یا صلیبی ضرب	1.8
1.9	13	گول نلکی محدود	1.9
1.9.1	14	نلکی اکائی سمتیات کا کارتسی اکائی سمتیات کے ساتھ غیر سمتی ضرب	1.9.1
1.9.2	15	نلکی اور کارتسی اکائی سمتیات کا تعلق	1.9.2
1.9.3	16	نلکی لامحدود سطحیں	1.9.3
1.10	17	کروی محدود	1.10
2	18	کولمب کا قانون	2
2.1	19	قوت کشش یا دفع	2.1
2.2	20	برقی میدان کی شدت	2.2
2.3	21	یکساں چارج بردار سیدھی لامحدود لکیر کا برقی میدان	2.3
2.4	22	یکساں چارج بردار ہموار لامحدود سطح	2.4
2.5	23	چارج بردار حجم	2.5
2.6	24	مزید مثال	2.6
2.7	25	برقی میدان کے سمت بہاؤ خط	2.7

69 ²⁶	گاؤس کا قانون اور پھیلاؤ	3
69 ²⁷	ساکن چارج	3.1
69 ²⁸	فیراڈے کا تجربہ	3.2
70 ²⁹	گاؤس کا قانون	3.3
72 ³⁰	گاؤس کے قانون کا استعمال	3.4
72 ³¹	نقطہ چارج	3.4.1
74 ³²	یکساں چارج بردار کروی سطح	3.4.2
74 ³³	یکساں چارج بردار سیدھی لامحدود لکیر	3.4.3
75 ³⁴	ہم محوری تار	3.5
77 ³⁵	یکساں چارج بردار ہموار لامحدود سطح	3.6
77 ³⁶	انتہائی چھوٹی حجم پر گاؤس کے قانون کا اطلاق	3.7
80 ³⁷	پھیلاؤ	3.8
82 ³⁸	نلکی محدود میں پھیلاؤ کی مساوات	3.9
84 ³⁹	پھیلاؤ کی عمومی مساوات	3.10
86 ⁴⁰	مسئلہ پھیلاؤ	3.11
93 ⁴¹	توانائی اور برقی دباؤ	4
93 ⁴²	توانائی اور کام	4.1
94 ⁴³	لکیری تکملہ	4.2
99 ⁴⁴	برقی دباؤ	4.3
100 ⁴⁵	نقطہ چارج کا برقی دباؤ	4.3.1
101 ⁴⁶	لکیری چارج کثافت سے پیدا برقی دباؤ	4.3.2
102 ⁴⁷	ہم محوری تار کا برقی دباؤ	4.3.3
102 ⁴⁸	متعدد نقطہ چارجوں کی برقی دباؤ	4.4
106 ⁴⁹	برقی دباؤ کی ڈھلوان	4.5
110 ⁵⁰	نلکی محدود میں ڈھلوان	4.5.1
111 ⁵¹	کروی محدود میں ڈھلوان	4.5.2
112 ⁵²	جفت قطب	4.6
114 ⁵³	جفت قطب کے سمت بہاؤ خط	4.6.1
117 ⁵⁴	ساکن برقی میدان کی کثافت توانائی	4.7

125 _s	موصل، ذو برق اور کیپسٹر	5
125 _{s6}	برقی رو اور کثافت برقی رو	5.1
127 _{s7}	استمراری مساوات	5.2
129 _{s8}	موصل	5.3
134 _{s9}	موصل کے خصوصیات اور سرحدی شرائط	5.4
137 _{s10}	عکس کی ترکیب	5.5
140 _{s11}	نیم موصل	5.6
141 _{s12}	ذو برق	5.7
146 _{s13}	کامل ذو برق کے سرحد پر برقی شرائط	5.8
150 _{s14}	موصل اور ذو برقی کے سرحدی شرائط	5.9
150 _{s15}	کیپسٹر	5.10
152 _{s16}	5.10.1 متوازی چادر کیپسٹر	
153 _{s17}	5.10.2 ہم محوری کیپسٹر	
153 _{s18}	5.10.3 ہم محوری کرہ کیپسٹر	
155 _{s19}	5.11 سلسلہ وار اور متوازی جڑے کیپسٹر	
156 _{s20}	5.12 دو متوازی تاروں کا کیپسٹنس	
169 _{s21}	پوٹنسن اور لاپلاس مساوات	6
171 _{s22}	6.1 مسئلہ یکنائی	
173 _{s23}	6.2 لاپلاس مساوات خطی ہے	
173 _{s24}	6.3 نلکی اور کروی محدود میں لاپلاس کی مساوات	
174 _{s25}	6.4 لاپلاس مساوات کے حل	
181 _{s26}	6.5 پوٹنسن مساوات کے حل کی مثال	
183 _{s27}	6.6 لاپلاس مساوات کا ضربی حل	
191 _{s28}	6.7 عددی دہرائے کا طریقہ	

199 ₉	ساکن مقناطیسی میدان	7
199 ₀	بایوٹ-سیوارٹ کا قانون	7.1
203 ₁	ایمپیٹر کا دوری قانون	7.2
209 ₂	گردش	7.3
216 ₃	نلکی محدود میں گردش	7.3.1
222 ₄	عمومی محدود میں گردش کی مساوات	7.3.2
224 ₅	کروی محدود میں گردش کی مساوات	7.3.3
224 ₆	مسئلہ سٹوکس	7.4
228 ₇	مقناطیسی بہاؤ اور کثافت مقناطیسی بہاؤ	7.5
234 ₈	غیر سمتی اور سمتی مقناطیسی دباؤ	7.6
240 ₉	ساکن مقناطیسی میدان کے قوانین کا حصول	7.7
240 ₀	سمتی مقناطیسی دباؤ	7.7.1
241 ₁	ایمپیٹر کا دوری قانون	7.7.2
249 ₂	مقناطیسی قوتیں، مقناطیسی مادے اور امالہ	8
249 ₃	متحرک چارج پر قوت	8.1
250 ₄	تفرقی چارج پر قوت	8.2
254 ₅	برقی رو گزارتے تفرقی تاروں کے مابین قوت	8.3
255 ₆	قوت اور مروڑ	8.4
261 ₇	فولادی مقناطیسی اشیاء اور مقناطیسی خطے	8.5
262 ₈	مقناطیسیت اور مقناطیسی مستقل	8.6
265 ₉	مقناطیسی سرحدی شرائط	8.7
268 ₀₀	مقناطیسی دور	8.8
271 ₀₁	مقناطیسی مخفی توانائی	8.9
271 ₀₂	خود امالہ اور مشترکہ امالہ	8.10
277 ₀₃	مشترکہ امالہ	8.11

283 ₀₄	9	وقت کے ساتھ بدلنے میدان اور میکس ویل کے مساوات
283 ₀₅	9.1	فیراڈے کا قانون
290 ₀₆	9.2	انتقالی برقی رو
296 ₀₇	9.3	میکس ویل مساوات کی نقطہ شکل
298 ₀₈	9.4	میکس ویل مساوات کی تکمل شکل
303 ₀₉	9.5	تاخیری دباؤ
311 ₁₀	10	مستوی امواج
311 ₁₁	10.1	خالی خلاء میں برقی و مقناطیسی مستوی امواج
312 ₁₂	10.2	برقی و مقناطیسی مستوی امواج
320 ₁₃	10.2.1	خالی خلاء میں امواج
323 ₁₄	10.2.2	خالص یا کامل ذو برق میں امواج
325 ₁₅	10.2.3	ناقص یا غیر کامل ذو برقی میں امواج
329 ₁₆	10.3	پوئنٹنگ سمتیہ
334 ₁₇	10.4	پوئنٹنگ سمتیہ اور برقی دور
336 ₁₈	10.5	موصل میں امواج
342 ₁₉	10.6	انعکاس مستوی موج
349 ₂₀	10.7	شرح ساکن موج
354 ₂₁	10.8	دو سرحدی انعکاس
359 ₂₂	10.8.1	فیبری-پیروٹ طیف پیما
360 ₂₃	10.8.2	$\eta_1 \neq \eta_3$ کی صورت میں ہم رکاوٹ صورت کا حصول
362 ₂₄	10.8.3	متعدد سرحدی مسئلہ
363 ₂₅	10.9	خطی، بیضوی اور دائری تقطیب
370 ₂₆	10.10	بیضوی یا دائری قطبی امواج کا پوئنٹنگ سمتیہ

379 ₂₇	11 ترسیلی تار
379 ₂₈	11.1 ترسیلی تار کے مساوات
383 ₂₉	11.2 ترسیلی تار کے مستقل
384 ₃₀	11.2.1 ہم محوری تار کے مستقل
387 ₃₁	11.2.2 دو متوازی تار کے مستقل
388 ₃₂	11.2.3 سطح مستوی ترسیلی تار
389 ₃₃	11.3 ترسیلی تار کے چند مثال
397 ₃₄	11.4 ترسیمی تجزیہ، سمتھ نقشہ
404 ₃₅	11.4.1 سمتھ فراوانی نقشہ
406 ₃₆	11.5 تجرباتی نتائج پر مبنی چند مثال
410 ₃₇	11.6 پیمائش ساکن موج
411 ₃₈	11.7 تجزیہ عارضی حال
429 ₃₉	12 ترچھی آمد، انعکاس، انحراف اور انکسار
429 ₄₀	12.1 ترچھی آمد
441 ₄₁	12.2 قطبی موج کی ترچھی آمد
445 ₄₂	12.3 ترسیم بائی گن
449 ₄₃	13 موج اور گھمکیا
449 ₄₄	13.1 برقی دور، ترسیلی تار اور موج کا موازنہ
450 ₄₅	13.2 دو لامحدود وسعت کے مستوی چادروں کے موج میں عرضی برقی موج
456 ₄₆	13.3 کھوکھلا مستطیل موج
465 ₄₇	13.3.1 مستطیلی موج کے میدان پر تفصیلی غور
472 ₄₈	13.4 مستطیلی موج میں عرضی مقناطیسی TM_{mn} موج
476 ₄₉	13.5 کھوکھلی نالی موج
483 ₅₀	13.6 انقطاعی تعدد سے کم تعدد پر تضعیف
484 ₅₁	13.7 انقطاعی تعدد سے بلند تعدد پر تضعیف
488 ₅₂	13.8 سطحی موج
492 ₅₃	13.9 ذو برق تختی موج
496 ₅₄	13.10 شیش ریشہ
498 ₅₅	13.11 پردہ بصارت
500 ₅₆	13.12 گھمکی خلاء
504 ₅₇	13.13 میکس ویل مساوات کا عمومی حل

- 14.1 تعارف 517₁₅₉
- 14.2 تاخیری دباؤ 517₁₆₀
- 14.3 تکمل 519₁₆₁
- 14.4 مختصر جفت قطبی ایٹینا 520₁₆₂
- 14.5 مختصر جفت قطب کا اخراجی مزاحمت 530₁₆₃
- 14.6 ٹھوس زاویہ 533₁₆₄
- 14.7 اخراجی رقبہ، سمتیت اور افرائش 534₁₆₅
- 14.8 قطاری ترتیب 541₁₆₆
- 14.8.1 غیر سمتی، دو نقطہ منبع 541₁₆₇
- 14.8.2 ضرب نقش 542₁₆₈
- 14.8.3 ثنائی قطار 543₁₆₉
- 14.8.4 یکساں طاقت کے متعدد رکن پر مبنی قطار 545₁₇₀
- 14.8.5 یکساں طاقت کے متعدد رکن پر مبنی قطار: چوڑائی جانب اخراجی قطار 547₁₇₁
- 14.8.6 یکساں طاقت کے متعدد رکن پر مبنی قطار: لمبائی جانب اخراجی قطار 547₁₇₂
- 14.8.7 یکساں طاقت کے متعدد رکن پر مبنی قطار: بدلنے زاویہ اخراجی ایٹینا 551₁₇₃
- 14.9 تداخل پیمہ 552₁₇₄
- 14.10 مستطیل سطحی ایٹینا 553₁₇₅
- 14.11 درز کا دور میدان بذریعہ فوریر بدل 556₁₇₆
- 14.12 خطی ایٹینا 562₁₇₇
- 14.13 چلتی موج ایٹینا 567₁₇₈
- 14.14 چھوٹا گھیرا ایٹینا 569₁₇₉
- 14.15 پیچ دار ایٹینا 569₁₈₀
- 14.16 دو طرفہ کردار 571₁₈₁
- 14.17 جھری ایٹینا 574₁₈₂
- 14.18 پیپا ایٹینا 574₁₈₃
- 14.19 فرانس ریڈار مساوات 576₁₈₄
- 14.20 ریڈیائی دوربین، ایٹینا کی حرارت اور تحلیلی کارکردگی 580₁₈₅
- 14.21 حرارت نظام اور حرارت بعید 581₁₈₆

سمتیات

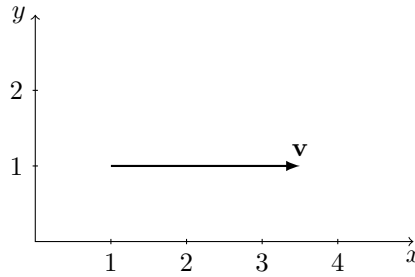
1.1 مقدار کی سمتیہ

وہ طبعی مقدار جس کے مکمل اظہار کے لئے سمت کی ضرورت نہیں ہوتی مقدار کی ¹ کہلاتا ہے۔ کسی چیز کی کمیت m یا اس کا درجہ حرارت T مقدار کی مثالیں ہیں۔ مقدار کی قیمت اٹل یا متغیر ممکن ہے۔ کمیت اٹل مقدار کی مثال ہے۔ متغیر مقدار کی قیمت مختلف اوقات اور نقاط پر مختلف ہو سکتی ہے۔ یوں کسی بھی نقطے پر درجہ حرارت کی قیمت وقت t کے ساتھ تبدیل ہو سکتی ہے۔ اسی طرح کسی بھی وقت مختلف نقاط پر درجہ حرارت کی قیمت مختلف ہو سکتی ہے۔ یوں اگر صبح کے وقت اسلام آباد میں کسی مقام پر درجہ حرارت 12°C ہو تو دوپہر کو اسی مقام پر درجہ حرارت 30°C ہو سکتا ہے۔ درجہ حرارت T ، وقت t ، کارتیسی محدود ² کے متغیرات x, y, z تمام مقدار کی متغیرات ہیں۔

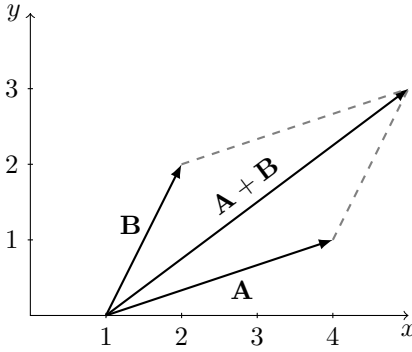
ایسی طبعی مقدار جسے بیان کرنے کے لئے سمت درکار ہو سمتیہ ³ کہلاتا ہے۔ اس کتاب میں سمتیہ کی قیمت (یا طول) کو مثبت تصور کیا جائے گا۔ یوں سمتیہ کی حتمی قیمت ہی اس کی مقدار ہو گی۔ سمتیہ کی مثالیں قوت، سمتی رفتار اور سمتی اسراع ہیں۔

اس کتاب میں مقدار کی متغیرات کو سادہ طرز کی لکھائی میں انگریزی یا لاطینی زبان کے چھوٹے حروف مثلاً a, b, α, \dots یا بڑے حروف مثلاً A, B, Ψ, \dots سے ظاہر کیا جائے گا۔ سمتیہ متغیرات کو موٹی لکھائی میں انگریزی یا لاطینی زبان کے چھوٹے یا بڑے حروف سے ظاہر کیا جائے گا۔ یوں قوت کو F جبکہ سمتی رفتار کو v سے ظاہر کیا جائے گا۔ قلم و کاغذ استعمال کرتے ہوئے سمتیہ پر تیر یا آدھے تیر کا نشان بنایا جاتا ہے یوں قوت کو \vec{F} یا \vec{F} لکھا جاتا ہے۔ سمتیہ کو تیر سے ظاہر کیا جاتا ہے جہاں تیر کی لمبائی سمتیہ کی حتمی قیمت $|F|$ ظاہر کرتی ہے جبکہ سمتیہ کی سمت تیر کی سمت سے ظاہر کی جاتی ہے۔ ²⁰¹ سمتیہ کی حتمی قیمت کو سمتیہ ظاہر کرنے والے حرف کو سادہ لکھائی میں لکھ کر ظاہر کیا جاتا ہے۔ یوں قوت F کی حتمی قیمت کو F لکھا جائے گا۔

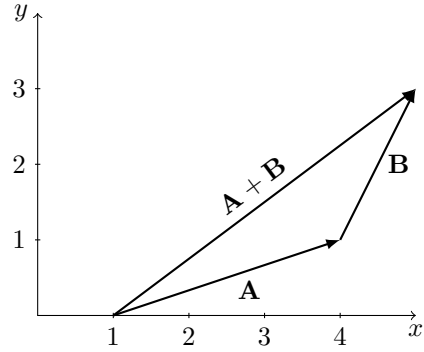
شکل 1.1 میں نقطہ $(1, 1)$ پر پانی کی رفتار کو سمتیہ v سے ظاہر کیا گیا ہے۔ اس نقطے پر مثبت افقی محور کی سمت میں پانی کی رفتار $2.5 \frac{\text{m}}{\text{s}}$ ہے۔ سمتیہ کی ذم اس مقام پر رکھی جاتی ہے جہاں سمتیہ کی قیمت بیان کی جا رہی ہو۔ یوں شکل میں سمتیہ کی ذم $(1, 1)$ پر رکھی گئی ہے۔ اس شکل میں 1 cm کی لمبائی $1 \frac{\text{m}}{\text{s}}$ کی رفتار کو ظاہر کرتی ہے۔



شکل 1.1: سمتیہ



(ب) متوازی الاضلاع سے بھی مجموعہ حاصل کیا جاتا ہے۔



(ا) سر کے ساتھ ڈم جوڑ کر مجموعہ حاصل کیا جاتا ہے۔

شکل 1.2: سمتیوں کے مجموعے کا حصول

1.2 سمتی الجبرا

دو سمتیوں کا ترتیبی مجموعہ حاصل کرنے کی خاطر ایک سمتیہ کے سر کو دوسری سمتیہ کے ڈم کے ساتھ ملایا جاتا ہے۔ پہلی سمتیہ کی ڈم سے دوسری سمتیہ کے سر تک سمتیہ حاصل جمع ہو گا۔ اس عمل کو شکل 1.2-الف میں دکھایا گیا ہے۔ شکل میں A کے سر کے ساتھ B کی ڈم ملائی گئی ہے۔ دو سے زیادہ سمتیوں کا مجموعہ بھی اسی عمل کو استعمال کرتے ہوئے حاصل کیا جاتا ہے۔ اس عمل کو **سر سے ڈم جوڑنا**⁴ کہتے ہیں۔ شکل 1.2-ب میں دو سمتیوں کے ڈم ملا کر سمتیوں کے متوازی الاضلاع⁵ سے ان کا مجموعہ حاصل کرنا دکھایا گیا ہے جسے دیکھ کر صاف ظاہر ہے کہ $A + B = B + A$ ہے یعنی سمتیوں کا مجموعہ قانون تبادل⁶ پر پورا اترتا ہے۔ اسی طرح سمتیوں کا مجموعہ قانون تلازمی⁷

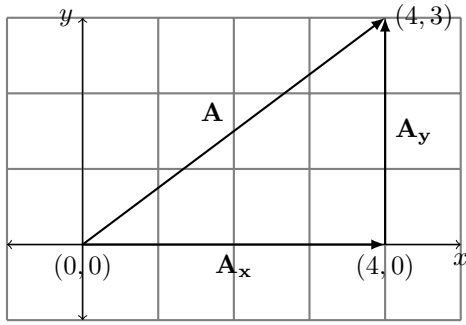
$$(1.1) \quad A + (B + C) = (A + B) + C$$

پر بھی پورا اترتا ہے۔

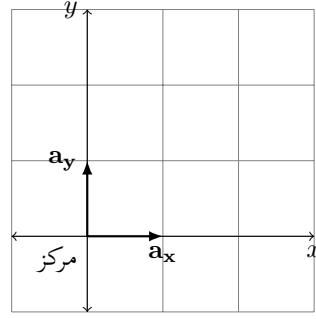
سمتیوں کے تفریق کا اصول جمع کے اصول سے حاصل کیا جاسکتا ہے۔ ہم $A - B$ کو $A + (-B)$ لکھ سکتے ہیں جہاں $-B$ سے مراد یہ ہے کہ سمتیہ B کی سمت الٹی کر دی گئی ہے۔ یوں $A - B$ حاصل کرنے کی خاطر B کی سمت الٹی کرتے ہوئے اس نئے سمتیہ کو A کے ساتھ جمع کیا جاتا ہے۔

سمتیہ A کو مثبت مقداری k سے ضرب دینے سے سمتیہ کی سمت پر کوئی اثر نہیں ہوتا جبکہ اس کی لمبائی k گنا ہو جاتی ہے۔ اس کے برعکس سمتیہ A کو منفی مقداری k سے ضرب دینے سے سمتیہ کی سمت الٹ ہو جاتی ہے اور اس کی لمبائی |k| گنا ہو جاتی ہے۔

head to tail rule⁴
parallelogram law⁵
commutative law⁶
associative law⁷



(ب) اکائی سمتیوں کی مدد سے کسی بھی سمتیہ کو ظاہر کیا جا سکتا ہے۔



(ا) اکائی سمتیہ

شکل 1.3: اکائی سمتیہ اور ان کا استعمال

دو سمتیے اُس صورت میں برابر ہوتے ہیں جب ان کا تفریق صفر کے برابر ہو یعنی $A = B$ تب ہو گا جب $A - B = 0$ ہو۔

212

سمتی میدان کے متغیرات کو ہم آپس میں جمع یا منفی صرف اُس صورت کریں گے جب یہ متغیرات ایک ہی نقطے پر بیان کئے گئے ہوں۔ یوں کسی بھی نقطے پر دو یا دو سے زیادہ مقناطیسوں کا اجتماعی مقناطیسی میدان حاصل کرتے ہوئے اس نقطے پر تمام مقناطیسوں کا علیحدہ علیحدہ مقناطیسی میدان لیتے ہوئے ان کا مجموعہ لیا جائے گا۔

215

اگر سمتی میدان کی بات نہ ہو رہی ہو تب مختلف مقامات پر پائے جانے والے سمتیوں کا بھی مجموعہ یا فرق لیا جاسکتا ہے۔ یوں سمندر کے پانی میں ڈوبے آب دوز کی اوپر اور چلی سطح پر قوت کا مجموعہ حاصل کرتے ہوئے ہم یہ معلوم کر سکتے ہیں کہ آیا یہ مزید ڈوبے گا یا نہیں۔

217

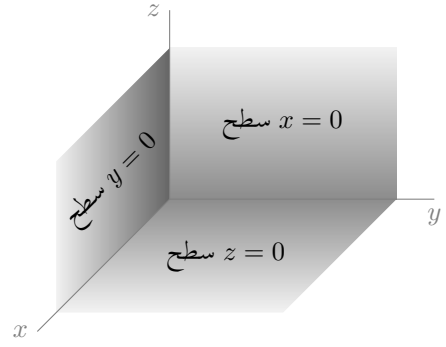
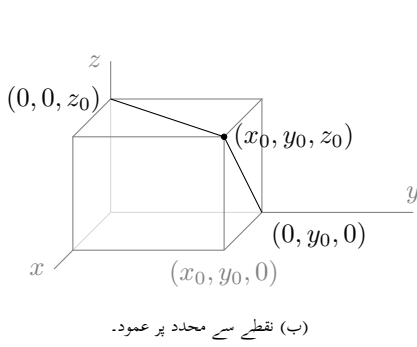
1.3 کارتیسی محدود

ایسا طریقہ جس سے کسی نقطے کا مقام بیان کیا جائے محدود⁸ کہلاتا ہے۔ سیدھی سطح پر کسی بھی نقطے کو دو محدود سے ظاہر کیا جاسکتا ہے۔ خلاء تین طرفہ⁹ ہے لہذا خلاء میں کسی بھی نقطے کو تین محدود سے ظاہر کیا جاسکتا ہے۔ شکل 1.3-الف میں دو طرفہ کارتیسی محدود پر اکائی لمبائی کے دو سمتیات a_x اور a_y دکھائے گئے ہیں۔ اکائی سمتیہ a_x کی سمت مثبت x جانب کو ہے جبکہ a_y کی سمت مثبت y جانب کو ہے۔ شکل-ب میں A دکھایا گیا ہے۔ کسی بھی سمتیہ کو دو یا دو سے زیادہ سمتیوں کے مجموعے کی شکل میں لکھا جاسکتا ہے۔ شکل میں A کو A_x اور A_y کے مجموعے کی شکل میں دکھایا گیا ہے یعنی

$$A = A_x + A_y \quad (1.2)$$

زمین کی سطح کو لامحدود سیدھی سطح تصور کرتے ہوئے، اس کے ہم سطحی¹⁰ دو عمودی لکیریں کھینچتے ہوئے ایک لکیر کو x محدود اور دوسری لکیر کو y محدود تصور کیا جاسکتا ہے۔ زمین کے ہم سطحی لکیر سے مراد ایسی لکیر ہے جس پر ہر نقطہ اس سطح کو چھوتا ہے۔ x محدود کے مثبت حصے سے گھڑی کی الٹ سمت گھومتے ہوئے نوے درجے پر y محدود کا مثبت حصہ رکھتے ہوئے اونچائی کو z محدود کے مثبت حصے سے ظاہر کیا جائے گا۔ اب اگر اونچائی صفر رکھتے ہوئے x اور y کو تبدیل کیا جائے تو ہم زمین کی سطح پر حرکت کریں گے۔ اس طرح ہم دیکھتے ہیں کہ زمین کی سطح پر $z = 0$ جبکہ اس پر x اور y آزاد متغیرات ہیں۔ یوں زمین کی سطح کو $z = 0$ سطح کہتے ہیں جسے

$$z = 0, \quad x \leq |\mp\infty|, \quad y \leq |\mp\infty|$$



(ا) کارتیسی محدود میں عمودی سیدھی سطحیں۔

شکل 1.4: کارتیسی نظام میں نقطہ اور تین عمودی سطحیں۔

لکھا جاسکتا ہے۔ شکل 1.4-الف میں اس سطح کی نشاندہی کی گئی ہے۔ ہم بالکل اسی طرح $y = 0$ سطح اور $x = 0$ سطح بھی بیان کر سکتے ہیں۔

219

شکل 1.4-ب کو دیکھتے ہوئے آگے پڑھیں۔ کارتیسی محدود میں کسی بھی نقطے کو (x_0, y_0, z_0) لکھا جاسکتا ہے۔ اس نقطے تک پہنچنے کی خاطر کارتیسی محدود کے مرکز سے پہلے x محدود کے متوازی x_0 فاصلہ طے کرتے ہوئے $(x_0, 0, 0)$ تک پہنچیں۔ اس کے بعد y محدود کے متوازی y_0 فاصلہ طے کرتے ہوئے $(x_0, y_0, 0)$ تک پہنچیں اور آخر کار z محدود کے متوازی z_0 فاصلہ طے کرتے ہوئے درکار نقطہ (x_0, y_0, z_0) تک پہنچیں۔ اس عمل میں یہ ضروری نہیں کہ پہلے x محدود کے متوازی ہی چلا جائے۔ آپ مرکز سے پہلے y محدود کے متوازی y_0 فاصلہ طے کرنے کے بعد z محدود کے متوازی z_0 اور آخر کار x محدود کے متوازی x_0 فاصلہ طے کرتے ہوئے بھی اسی نقطے تک پہنچ سکتے ہیں۔ تینوں فاصلوں کو کسی بھی ترتیب سے طے کیا جاسکتا ہے۔

224

نقطہ (x_0, y_0, z_0) سے x محدود پر عمود بناتے ہوئے $(x_0, 0, 0)$ حاصل ہوتا ہے۔ اسی طرح اس نقطے سے y محدود پر عمود $(0, y_0, 0)$ اور z محدود پر عمود $(0, 0, z_0)$ دیتا ہے۔ نقطہ (x_0, y_0, z_0) سے y محدود اور z محدود پر عمودی لکیریں گہری سیاہی میں دکھائے گئے ہیں۔ اگر (x_0, y_0, z_0) سے شروع ہوتے ہوئے z محدود کے متوازی یوں چلا جائے کہ آخر کار $z = 0$ ہو جائے تو نقطہ $(x_0, y_0, 0)$ حاصل ہو گا۔ اب اگر یہاں سے x محدود کے متوازی چلا جائے کہ آخر کار $x = 0$ ہو جائے تو نقطہ $(0, y_0, 0)$ حاصل ہو گا۔ یہ وہی نقطہ ہے جو (x_0, y_0, z_0) سے y محدود پر عمودی لکیر بناتے ہوئے حاصل ہوتا ہے۔ اس عمل میں ہم پہلے x محدود کے متوازی چلتے ہوئے $x = 0$ کرنے کے بعد z محدود کے متوازی چلتے ہوئے $z = 0$ کرتے ہوئے بھی نقطہ $(0, y_0, 0)$ تک پہنچ سکتے تھے۔

230

نقطہ (x_0, y_0, z_0) تک قدر مختلف انداز سے بھی پہنچا جاسکتا ہے جسے کارتیسی محدود میں سمجھنا زیادہ آسان ہے۔ فرض کریں کہ $x = x_0$ پر لا محدود سیدھی سطح بنائی جائے۔ ایسی سطح کو $x = x_0$ سطح کہتے ہیں۔ اس سطح کو

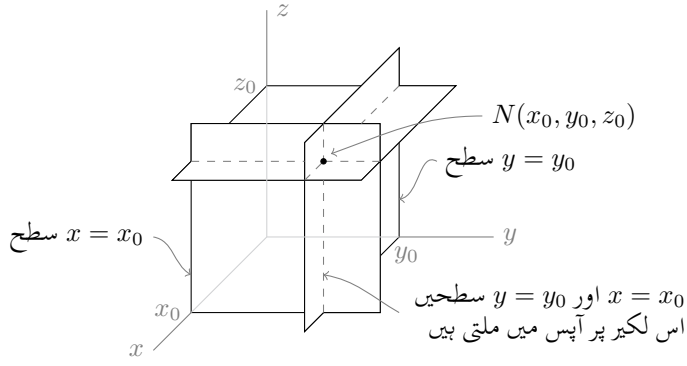
$$x = x_0, \quad y \leq |\mp\infty|, \quad z \leq |\mp\infty|$$

لکھا جاسکتا ہے۔ اس مساوات میں x_0 مقررہ ہے جبکہ y اور z متغیرات ہیں۔ دو متغیرات کی مساوات سطح کو ظاہر کرتی ہے۔ اگر $y = y_0$ پر لا محدود xz سیدھی سطح بنائی جائے تو یہ دو سطحیں آپس میں سیدھی لکیر پر ملیں گے۔ یہ لکیر

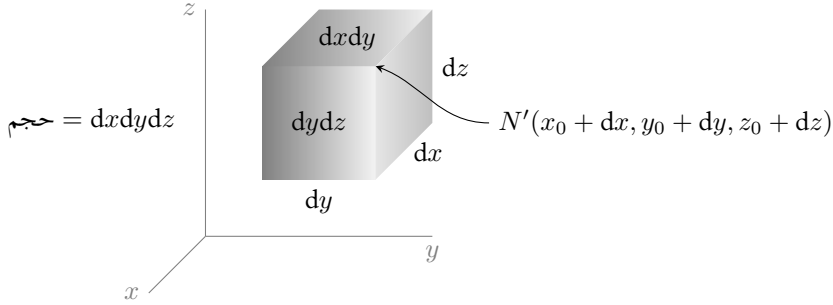
$$x = x_0, \quad y = y_0, \quad z \leq |\mp\infty|$$

لکھی جاسکتی ہے۔ اس مساوات میں x_0 اور y_0 مقررہ ہیں جبکہ z متغیرہ ہے۔ ایک متغیرہ کی مساوات لکیر کو ظاہر کرتی ہے۔ اب اگر $z = z_0$ پر لا محدود xy سیدھی سطح بھی بنائی جائے تب یہ تینوں سطحیں ایک نقطہ $N(x_0, y_0, z_0)$ پر آپس کو چھونگیں۔ یہ صورت حال شکل 1.5 میں دکھائی گئی ہے جہاں لا محدود سطحوں کے کچھ حصے دکھائے گئے ہیں۔ آپ دیکھیں گے کہ نقطے تک پہنچنے کا یہ طریقہ دیگر محدود میں استعمال کرنا لازمی ثابت ہو گا۔

233



شکل 1.5: تین عمودی سطحوں سے نقطے کا حصول۔



شکل 1.6: چھ سطحوں کے مکعب گھیرتی ہیں۔

اگر سطح $x = x_0$ کے متوازی $x = x_0 + dx$ پر اور اسی طرح $y = y_0$ کے متوازی $y = y_0 + dy$ اور $z = z_0$ کے متوازی $z = z_0 + dz$ سطح رکھے جائیں تو یہ چھ سطحیں ایک چھوٹی مکعب نما حجم کو گھیریں گی جسے شکل 1.6 میں دکھایا گیا ہے جبکہ یہ تین نئی سطحیں آپس میں نقطہ $N'(x_0 + dx, y_0 + dy, z_0 + dz)$ پر ملیں گی۔ اس مکعب نما کے اطراف dx ، dy اور dz ہیں۔ اس کی اوپر والی سطح کا رقبہ $dx dy$ ہے۔ اسی طرح اس کی نچلی سطح کا رقبہ بھی $dx dy$ ہے۔ سامنے سطح اور پچھلی سطح دونوں $dy dz$ رقبہ رکھتے ہیں جبکہ بائیں اور دائیں سطحوں کے رقبے $dx dz$ کے برابر ہیں۔ اس مکعب نما کی حجم $dx dy dz$ ہے۔ نقطہ $N'(x_0 + dx, y_0 + dy, z_0 + dz)$ شکل میں دکھایا گیا ہے جبکہ نقطہ $N(x_0, y_0, z_0)$ مکعب کا ایک کونہ ہے جسے شکل میں نہیں دکھایا گیا۔ ان دو نقطوں کے درمیان فاصلہ $NN' = \sqrt{dx^2 + dy^2 + dz^2}$ ہے۔

239

کار تیزی محدود کے تینوں متغیرات تبدیل کرنے سے ہم N سے N' پہنچتے ہیں۔ N سے N' تک کی سمتیہ

240

(1.3)

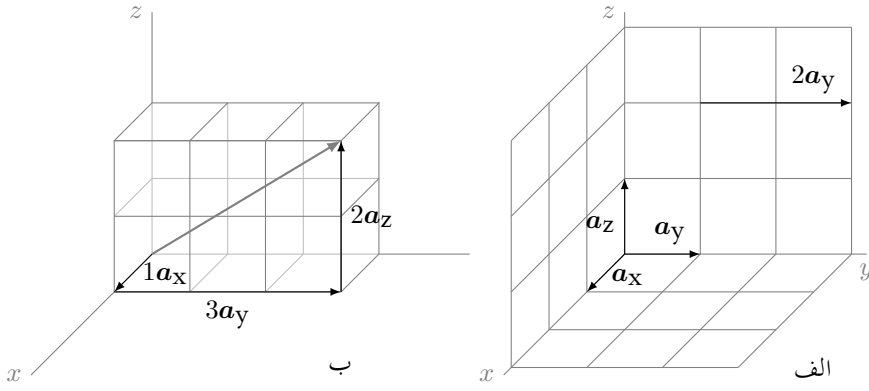
$$dL = dx a_x + dy a_y + dz a_z$$

لکھی جاتی ہے۔ یہ مساوات کسی بھی دو قریبی نقطوں کے درمیان سمتیہ لمبائی دیتی ہے۔

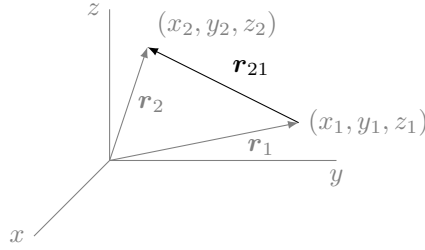
241

242

حصہ 1.3 کے شروع میں دو طرفہ کار تیزی نظام میں سیدھی سطح پر کسی بھی سمتیہ کو دو سمتیات کی صورت میں لکھنا دکھایا گیا۔ یہی طریقہ تین طرفہ کار تیزی نظام کے لئے بھی استعمال کیا جاتا ہے۔ تین طرفہ کار تیزی نظام کے تین اکائی سمتیات a_x ، a_y اور a_z لکھے جاتے ہیں۔ یہ تینوں سمتیات آپس میں عمودی



شکل 1.7: کارتیسی نظام کے اکائی سمتیات اور ان کا استعمال

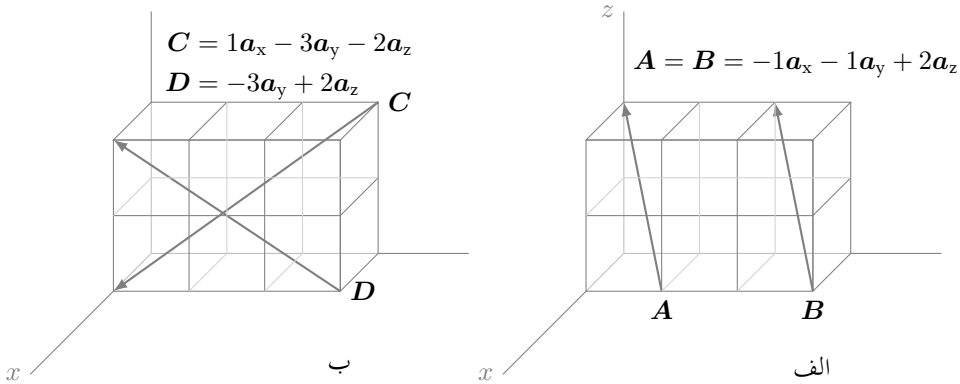


شکل 1.8: کارتیسی نظام میں سمتیہ کی مساوات کا حصول

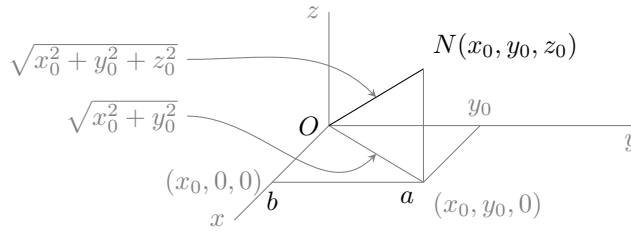
ہیں۔ کسی بھی اکائی سمتیہ کی طرح یہ تین اکائی سمتیات اکائی لمبائی رکھتے ہیں۔ a_x کی سمت x محدود کے بڑھتے جانب کو ہے۔ اسی طرح a_y کی سمت y محدود کے بڑھتے جانب کو اور a_z کی سمت z محدود کے بڑھتے جانب کو ہے۔ شکل 1.7-الف میں یہ تینوں اکائی سمتیات دکھائے گئے ہیں۔ اسی شکل میں نقطہ $(0, 1, 2)$ پر سمتیہ دکھایا گیا ہے جس کی لمبائی دو کے برابر ہے جبکہ یہ اکائی سمتیہ a_y کی سمت میں ہے۔ اس سمتیہ کو $2a_y$ لکھا جاسکتا ہے۔ یاد رہے کہ ایسے دو سمتیات برابر ہوتے ہیں جن کا طول برابر ہو اور جو ایک ہی سمت میں ہوں۔ یوں سمت تبدیل کئے بغیر سمتیہ کو کارتیسی محدود کے مرکز منتقل کھدے ہوئے اس کی قیمت نسبتاً آسانی سے لکھی جاسکتی ہے۔

249

شکل 1.8 میں مرکز سے (x_1, y_1, z_1) تک سمتیہ $r_1 = x_1 a_x + y_1 a_y + z_1 a_z$ اور مرکز سے (x_2, y_2, z_2) تک سمتیہ $r_2 = x_2 a_x + y_2 a_y + z_2 a_z$ دکھائی گئی ہے جس کی دُم (x_1, y_1, z_1) اور نوک (x_2, y_2, z_2) پر ہے۔ سر سے دُم جوڑنے



شکل 1.9: کارتیسی نظام میں چند سمتیات۔



شکل 1.10: کارتیسیسی نظام میں سمتیہ کا طول۔

کے اصول کے استعمال سے $r_2 = r_{21} + r_1$ لکھا جاسکتا ہے جس سے

$$(1.4) \quad \begin{aligned} r_{21} &= r_2 - r_1 \\ &= (x_2 - x_1)a_x + (y_2 - y_1)a_y + (z_2 - z_1)a_z \end{aligned}$$

حاصل ہوتا ہے۔ اس مساوات کے استعمال سے سمتیہ کی مساوات باآسانی حاصل ہوتی ہے۔ سمتیہ r_{21} لکھتے ہوئے زیر نوشت میں سمتیہ کی نوک کو 2 اور اس کی ڈم کو 1 سے ظاہر کیا گیا ہے۔ اس کتاب میں سمتیہ لکھتے ہوئے نوک اور ڈم کو اسی ترتیب سے زیر نوشت میں لکھا جائے گا۔ یوں سمتیہ r_{21} کو تین اجزاء $(x_2 - x_1)a_x$ ، $(y_2 - y_1)a_y$ اور $(z_2 - z_1)a_z$ کے مجموعے کی شکل میں لکھا جاسکتا ہے۔

252

شکل 1.7-ب میں مرکز سے $(1, 3, 2)$ تک سمتیہ دکھایا گیا ہے۔ آپ دیکھ سکتے ہیں کہ اس کو تین سمتیات کا مجموعہ لکھا جاسکتا ہے یعنی $1a_x + 3a_y + 2a_z$ جہاں اکائی سمتیات استعمال کرتے ہوئے تینوں اجزاء کو لکھا گیا ہے۔ سمتیہ کی ڈم $(0, 0, 0)$ اور اس کی نوک $(1, 3, 2)$ پر لیتے ہوئے یہی جواب مساوات 1.4 سے بھی حاصل ہوتا ہے۔

255

شکل 1.9-الف میں دو متوازی سمتیات A اور B دکھائے ہیں جن کی لمبائی برابر ہے۔ چونکہ ان کی لمبائی برابر ہے اور یہ دونوں ایک ہی سمت میں ہیں لہذا $A = B = -1a_x - 1a_y + 2a_z$ لکھا جائے گا۔ شکل 1.9-ب میں C کی ڈم سے a_x جانب ایک قدم اور یہاں سے $-a_y$ جانب تین قدم اور آخر کار $-a_z$ جانب دو قدم چلنے سے اس کی نوک تک پہنچا جاسکتا ہے لہذا $C = 1a_x - 3a_y - 2a_z$ لکھا جائے گا۔ اسی طرح D کی ڈم سے $-a_y$ جانب تین قدم اور پھر a_z جانب دو قدم چلتے ہوئے سمتیہ کی نوک تک پہنچا جاسکتا ہے لہذا $D = -3a_y + 2a_z$ لکھا جائے گا۔ سمتیہ D کو دو اجزاء کی شکل میں لکھا گیا ہے چونکہ اس کے تیسرے جزو کی لمبائی صفر کے برابر ہے۔

260

مشق 1.1: مساوات 1.4 کے استعمال سے شکل 1.9 میں تمام سمتیات لکھیں۔

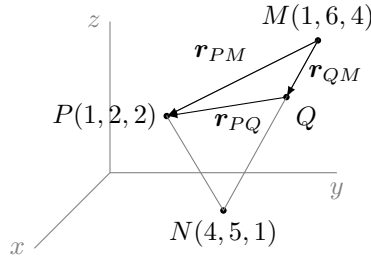
261

جوابات: تمام جوابات شکل میں دئے گئے ہیں۔

262

شکل 1.10 میں مرکز سے نقطہ $N(x_0, y_0, z_0)$ تک کا فاصلہ ON مسئلہ **فیثاغورث**¹¹ سے حاصل کیا جاسکتا ہے۔ اس نقطے سے $z = 0$ سطح پر عمود سے نقطہ a حاصل ہوتا ہے۔ نقطہ a سے x محدود پر عمود نقطہ b دیتا ہے۔ تینوں O, b, a میں O سے b کا فاصلہ x_0 ہے جبکہ b سے a کا فاصلہ y_0 ہے۔ یوں فاصلہ ON مسئلہ فیثاغورث کی مدد سے $\sqrt{x_0^2 + y_0^2}$ کے برابر ہو گا۔ تینوں O, a, N میں a پر 90° کا زاویہ پایا جاتا ہے۔ یوں مسئلہ فیثاغورث کی مدد سے ON کا فاصلہ $\sqrt{x_0^2 + y_0^2 + z_0^2}$ حاصل ہوتا ہے۔

267



شکل 1.11: سمتیوں کا استعمال

مساوات 1.4 سمتیہ کی عمومی مساوات ہے۔ اس میں دئے سمتیہ r_{21} کی دُم محدود کے مرکز پر رکھنے سے صاف ظاہر ہے کہ سمتیہ کی مقدار

$$(1.5) \quad |r_{21}| = r_{21} = \sqrt{(x_2 - x_1)^2 + (y_2 - y_1)^2 + (z_2 - z_1)^2}$$

کے برابر ہے۔ اگر سمتیہ کو اس کی مقدار سے تقسیم کیا جائے تو حاصل جواب کی مقدار اکائی ہوگی جبکہ اس کی سمت میں کوئی تبدیلی رونما نہیں ہوگی۔ یوں r_{21} کو $|r_{21}|$ سے تقسیم کرتے ہوئے r_{21} کی سمت میں اکائی سمتیہ $a_{r_{21}}$ حاصل کی جاسکتی ہے۔

$$(1.6) \quad a_{r_{21}} = \frac{r_{21}}{|r_{21}|} = \frac{(x_2 - x_1)a_x + (y_2 - y_1)a_y + (z_2 - z_1)a_z}{\sqrt{(x_2 - x_1)^2 + (y_2 - y_1)^2 + (z_2 - z_1)^2}}$$

یاد رہے کہ سمتیہ کی سمت اور طول تبدیل کئے بغیر اسے ایک مقام سے دوسری مقام منتقل کیا جاسکتا ہے۔ البتہ وہ سمتیہ جو کسی نقطے کی مقام تعین کرتا ہو کو اگر کہیں اور منتقل کیا جائے تو ایسی صورت میں سمتیہ کی نوک درکار نقطے پر نہیں رہے گی۔ اسی حقیقت کی بنا پر میدان ظاہر کرنے والے سمتیہ کو اپنی جگہ سے نہیں ہٹایا جاسکتا۔ میدان سمتیہ کی دُم اس مقام پر پائی جاتی ہے جہاں میدان بیان کی جارہی ہو۔

سمتیات کے استعمال سے نقطہ (x, y, z) کے مقام کو $r = xa_x + ya_y + za_z$ لکھا جاتا ہے۔ کسی بھی سمتیہ مثلاً قوت F کو بالکل اسی طرح $F = F_xa_x + F_ya_y + F_za_z$ لکھا جاتا ہے جہاں F_xa_x ، F_ya_y اور F_za_z اس کے تین اجزاء ہیں۔ اس طرح قوت کی مقدار $|F| = \sqrt{F_x^2 + F_y^2 + F_z^2}$ کے برابر ہوگی۔

مثال 1.1: نقطہ $(-5, 2, -1)$ کا مقام ظاہر کرنے والا سمتیہ اور اس سمتیہ کا طول حاصل کریں۔ اسی سمتیہ کی سمت میں اکائی سمتیہ حاصل کریں۔

حل: مرکز سے اس نقطے تک کا سمتیہ $r = -5a_x + 2a_y - 1a_z$ ہے جبکہ اس سمتیہ کا طول $|r| = \sqrt{5^2 + 2^2 + 1^2} = \sqrt{30}$ ہے۔ یوں اکائی سمتیہ $a_r = \frac{-5a_x + 2a_y - 1a_z}{\sqrt{30}}$ ہوگا۔

مثال 1.2: شکل 1.11 میں تین نقطے $M(1, 6, 4)$ ، $N(4, 5, 1)$ اور $P(1, 2, 2)$ دئے گئے ہیں۔ M اور N کے درمیان سیدھی لکیر پر M سے کل فاصلے کے $\frac{1}{3}$ پر نقطہ Q پایا جاتا ہے۔ Q سے P تک سمتیہ حاصل کرتے ہوئے ان دو نقطوں کے درمیان فاصلہ معلوم کریں۔ حل: M سے N تک سمتیہ

$$\begin{aligned} r_{NM} &= (4 - 1)a_x + (5 - 6)a_y + (1 - 4)a_z \\ &= 3a_x - 1a_y - 3a_z \end{aligned}$$

ہے۔ M سے Q تک سمتیہ r_{QM} اور r_{NM} ایک ہی سمت میں ہیں جبکہ $|r_{QM}| = \frac{1}{3}|r_{NM}|$ کے برابر ہے۔ یوں

$$r_{QM} = \frac{1}{3}r_{NM} = \frac{1}{3}(3a_x - 1a_y - 3a_z) = 1a_x - \frac{1}{3}a_y - 1a_z$$

ہو گا۔ M سے P تک سمتیہ

$$\begin{aligned} r_{PM} &= (1-1)a_x + (2-6)a_y + (2-4)a_z \\ &= -4a_y - 2a_z \end{aligned}$$

ہے۔ شکل کو دیکھتے ہوئے ہم لکھ سکتے ہیں $r_{QM} + r_{PQ} = r_{PM}$ لہذا

$$\begin{aligned} r_{PQ} &= r_{PM} - r_{QM} \\ &= (-4a_y - 2a_z) - (1a_x - \frac{1}{3}a_y - 1a_z) \\ &= -1a_x - \frac{11}{3}a_y - 1a_z \end{aligned}$$

ہو گا۔ Q سے P تک فاصلہ $\sqrt{1^2 + \left(\frac{11}{3}\right)^2 + 1^2} = 3.93$ ہے۔

279

280

281

مشق 1.2: مثال 1.2 میں دئے نقطوں کو استعمال کرتے ہوئے M سے P تک سمتیہ حاصل کریں۔ اسی طرح P سے N تک سمتیہ اور M سے N تک سمتیہ حاصل کریں۔ پہلے دو جوابات کو استعمال کرتے ہوئے **سر سے دُم جوڑنے** کے اصول سے تیسرا سمتیہ دوبارہ حاصل کریں۔

283

جوابات: $-5a_x - 4a_y + 12a_z$ ، $-1a_x + 4a_y + 12a_z$ اور $-6a_x + 12a_z$

284

285

1.5 میدانِی سمتیہ

286

لکھنا ہے

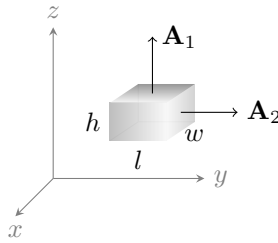
287

1.6 سمتی رقبہ

کسی بھی سطح کے دو اطراف ہوتے ہیں۔ یوں سطح کے کسی بھی نقطے پر دو آپس میں الٹ سمتوں میں عمود بنائے جاسکتے ہیں۔ سیدھی سطح جس کا رقبہ S_0 ہو کے ایک طرف پر اکائی عمود a_N اور دوسری طرف پر اکائی عمود $-a_N$ بنائے جاسکتے ہیں۔ اگر ان دو عمودوں میں سے ایک عمود مثلاً a_N کو سطح کی سمت¹² تصور کیا جائے تب اس سطح کا **سمتی رقبہ**¹³ $S a_N$ ہو گا۔ بند سطح کے بیرونی اکائی عمود کو سطح کی سمت تصور کیا جاتا ہے۔ شکل 1.12 میں سمتی رقبہ A_1 اور A_2 دکھائے گئے ہیں جہاں بند سطح کے بیرونی عمود کو ہی سطح کی سمت دکھایا گیا ہے۔

291

¹² عمود سطح کے ساتھ نوئے درجہ زاویہ بناتا ہے۔ a_N کے زیر نوشت میں N ، لفظ نوئے کے پہلے حرف کی آواز کو ظاہر کرتا ہے۔
¹³ vector area



$$\mathbf{A}_1 = A_1 \mathbf{a}_{N1} = wla_z$$

$$\mathbf{A}_2 = A_2 \mathbf{a}_{N2} = wha_y$$

شکل 1.12: سمتی رقبہ

1.7 غیر سمتی ضرب

دو سمتیات A اور B کے **غیر سمتی ضرب**¹⁴ سے مراد A کی مقدار ضرب B کی مقدار ضرب سمتیوں کے مابین چھوٹے زاویے کا کوسائن ہے۔

$$(1.7) \quad \mathbf{A} \cdot \mathbf{B} = |\mathbf{A}| |\mathbf{B}| \cos \theta_{AB}$$

اگر دونوں سمتیات کی دُم ایک ہی جگہ پر نہ ہو تب ان کے مابین زاویہ دریافت کرنے کی خاطر سمتیوں کی سمت تبدیل کئے بغیر انہیں ایک نقطے پر منتقل کیا جاسکتا ہے۔ غیر سمتی ضرب دو سمتیوں کے مابین کیا جاتا ہے جبکہ اس کا حاصل جواب مقداری ہوتا ہے جس کی وجہ سے اسے **مقداری ضرب**²⁹ بھی کہا جاتا ہے۔ غیر سمتی ضرب کو سمتیوں کے درمیان نقطے سے ظاہر کیا جاتا ہے۔ اسی وجہ سے اسے **ضرب نقطہ**¹⁵ بھی کہا جاتا ہے۔ یوں $A \cdot B$ کو " A نقطہ B " پڑھا جاتا ہے۔ بالکل سادہ ضرب کی طرح $A \cdot B$ کو $B \cdot A$ بھی لکھا جاسکتا ہے یعنی غیر سمتی ضرب میں متغیرات کی ترتیب اہمیت نہیں رکھتی۔²⁹

کارٹیزی اکائی سمتیات a_x, a_y اور a_z آپس میں عمودی ہیں لہذا ان میں کسی بھی دو سمتیات کے درمیان 90° زاویہ پایا جاتا ہے۔ چونکہ $\cos 90 = 0$ کے برابر ہوتا ہے لہذا ان میں کسی بھی دو سمتیوں کا غیر سمتی ضرب صفر کے برابر ہوتا ہے یعنی

$$(1.8) \quad a_x \cdot a_y = 0, \quad a_x \cdot a_z = 0, \quad a_y \cdot a_z = 0$$

ایک ہی سمت میں دو سمتیوں کے درمیان صفر زاویہ ہوتا ہے اور $\cos 0 = 1$ کے برابر ہے۔ اکائی سمتیہ کا طول بھی ایک کے برابر ہے لہذا مساوات 1.7 کے تحت a_x اور a_x کا غیر سمتی ضرب

$$a_x \cdot a_x = (|a_x|)(|a_x|)(\cos 0) = (1)(1)(1) = 1$$

ہوگا۔ بقایا دو کارٹیزی اکائی سمتیات کا خود غیر سمتی ضرب بھی ایک کے برابر ہے۔

$$(1.9) \quad a_x \cdot a_x = 1, \quad a_y \cdot a_y = 1, \quad a_z \cdot a_z = 1$$

مساوات 1.8 اور مساوات 1.9 کو **کرونیکر ڈیلٹا**¹⁶ δ_{ij} کی مدد سے ایک ہی مساوات کی مدد سے یوں لکھا جاسکتا ہے۔

$$(1.10) \quad a_i \cdot a_j = \delta_{ij}$$

جہاں

$$(1.11) \quad \delta_{ij} = \begin{cases} 0 & \text{اگر } i \neq j \\ 1 & \text{اگر } i = j \end{cases}$$

scalar product¹⁴

dot product¹⁵

¹⁶ یہ لیوولڈ کرونیکر کے نام سے منسوب ہے۔

کے برابر ہے یعنی $i = j$ کی صورت میں ہی δ_{ij} کی قیمت ایک جبکہ $j \neq i$ کی صورت میں ہی δ_{ij} کی قیمت صفر کے برابر لی جاتی ہے۔ یوں $\mathbf{a}_x \cdot \mathbf{a}_y$ کی صورت میں $i = x$ جبکہ $j = y$ کے برابر ہیں۔ یوں i اور j برابر نہیں ہیں لہذا حاصل جواب صفر کے برابر ہو گا۔ اس کے برعکس $\mathbf{a}_z \cdot \mathbf{a}_z$ کی صورت میں $i = z$ اور $j = z$ ہیں لہذا $i = j$ ہے اور یوں حاصل جواب ایک کے برابر ہے۔

299

کارٹیزی تین عمودی اکائیوں کی مدد سے سمتیات کا غیر سمتی ضرب نہایت آسانی سے حاصل ہوتا ہے۔ یوں اگر $\mathbf{A} = A_x \mathbf{a}_x + A_y \mathbf{a}_y + A_z \mathbf{a}_z$ اور $\mathbf{B} = B_x \mathbf{a}_x + B_y \mathbf{a}_y + B_z \mathbf{a}_z$ دو سمتیات ہوں تب ان کا غیر سمتی ضرب

$$\begin{aligned} \mathbf{A} \cdot \mathbf{B} &= (A_x \mathbf{a}_x + A_y \mathbf{a}_y + A_z \mathbf{a}_z) \cdot (B_x \mathbf{a}_x + B_y \mathbf{a}_y + B_z \mathbf{a}_z) \\ &= A_x B_x \mathbf{a}_x \cdot \mathbf{a}_x + A_x B_y \mathbf{a}_x \cdot \mathbf{a}_y + A_x B_z \mathbf{a}_x \cdot \mathbf{a}_z \\ &\quad + A_y B_x \mathbf{a}_y \cdot \mathbf{a}_x + A_y B_y \mathbf{a}_y \cdot \mathbf{a}_y + A_y B_z \mathbf{a}_y \cdot \mathbf{a}_z \\ &\quad + A_z B_x \mathbf{a}_z \cdot \mathbf{a}_x + A_z B_y \mathbf{a}_z \cdot \mathbf{a}_y + A_z B_z \mathbf{a}_z \cdot \mathbf{a}_z \end{aligned}$$

ہو گا۔ مساوات 1.8 اور مساوات 1.9 کا سہارا لیتے ہوئے یوں

$$(1.12) \quad \mathbf{A} \cdot \mathbf{B} = A_x B_x + A_y B_y + A_z B_z$$

حاصل ہوتا ہے۔ اس مساوات سے ہم دیکھتے ہیں کہ سمتیہ \mathbf{A} کا خود غیر سمتی ضرب

$$(1.13) \quad \mathbf{A} \cdot \mathbf{A} = A_x^2 + A_y^2 + A_z^2 = |\mathbf{A}|^2$$

300

اس کے طول کے مربع کے برابر ہے۔ یہ انتہائی اہم نتیجہ ہے جسے عموماً استعمال کرتے ہوئے سمتیہ کا طول حاصل کیا جاتا ہے۔

مساوات 1.7 اور مساوات 1.12 کی مدد سے دو سمتیوں کے مابین زاویہ معلوم کیا جاسکتا ہے یعنی

$$(1.14) \quad \theta_{AB} = \cos^{-1} \left(\frac{\mathbf{A} \cdot \mathbf{B}}{(\mathbf{A} \cdot \mathbf{A})(\mathbf{B} \cdot \mathbf{B})} \right) = \cos^{-1} \left(\frac{A_x B_x + A_y B_y + A_z B_z}{\sqrt{A_x^2 + A_y^2 + A_z^2} \sqrt{B_x^2 + B_y^2 + B_z^2}} \right)$$

301

مثال 1.3: شکل 1.11 میں نکتوں دکھایا گیا ہے جس کے نوک $M(1, 6, 4)$ ، $N(4, 5, 1)$ اور $P(1, 2, 2)$ ہیں۔ M پر زاویہ حاصل کریں۔

302

حل: مثال 1.2 میں $r_{NM} = 3\mathbf{a}_x - 1\mathbf{a}_y - 3\mathbf{a}_z$ اور $r_{PM} = 0\mathbf{a}_x - 4\mathbf{a}_y - 2\mathbf{a}_z$ حاصل کئے گئے۔ $|\mathbf{r}_{NM}| = \sqrt{3^2 + 1^2 + 3^2} = \sqrt{19}$ اور $|\mathbf{r}_{PM}| = \sqrt{4^2 + 2^2} = \sqrt{20}$ ہیں جبکہ

$$\mathbf{r}_{NM} \cdot \mathbf{r}_{PM} = 0 + 4 + 6 = 10$$

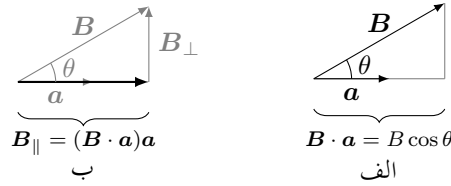
کے برابر ہے۔ یوں ان سمتیوں کے مابین زاویہ

$$\theta = \cos^{-1} \left(\frac{10}{\sqrt{19}\sqrt{20}} \right) = 1.0321 \text{ rad}$$

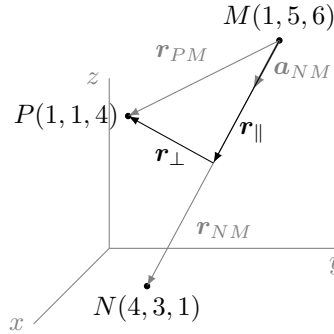
303

یا 59.137° ہے۔

304



شکل 1.13: کسی بھی سمت میں سمتیہ کے جزو کا حصول۔



شکل 1.14: متوازی اور عمودی اجزاء۔

شکل 1.13-الف میں سمتیہ B اور اکائی سمتیہ a دکھائے گئے ہیں۔ ان کا غیر سمتی ضرب

$$B \cdot a = |B||a| \cos \theta = B \cos \theta$$

کے برابر ہے۔ شکل سے واضح ہے کہ یہی a کی سمت میں B کے جزو کا طول B_{\parallel} ¹⁷ ہے۔ یوں کسی بھی سمت میں B کے جزو کا طول حاصل کرنے کی خاطر B اور اس سمت کی اکائی سمتیہ کا غیر سمتی ضرب حاصل کریں۔ یوں حاصل طول کا اکائی سمتیہ کے ساتھ ضرب یعنی $(B \cdot a)a$ سے اکائی سمتیہ کی سمت میں B کا سمتی جزو حاصل ہوتا ہے۔ شکل 1.13-ب میں a کی سمت میں B کا سمتی جزو B_{\parallel} دکھایا گیا ہے۔ شکل سے واضح ہے کہ B سے $B_{\parallel}a$ منفی کھانے سے B_{\perp} حاصل ہوتا ہے جو B کا وہ جزو ہے جو a کے عمودی ہے۔

غیر سمتی ضرب کا حاصل جواب دو صورتوں میں صفر کے برابر ہوتا ہے۔ پہلی صورت وہ ہے جب دونوں سمتیوں میں سے کم از کم ایک سمتیہ کا طول صفر کے برابر ہو۔ دوسری صورت وہ ہے جب دونوں سمتیات آپس میں عمودی ہوں۔ عمودی ہونے کی صورت میں ان کے مابین نوے درجے کا زاویہ ہو گا اور $\cos 90 = 0$ کے برابر ہوتا ہے۔ یوں دو سمتیوں کے نقطہ ضرب صفر کے برابر ہونے سے اخذ کیا جاتا ہے کہ یہ آپس میں عمودی ہیں۔

مثال 1.4: شکل 1.14 میں تین نقطے $M(1, 5, 6)$ ، $N(4, 3, 1)$ اور $P(1, 1, 4)$ دئے گئے ہیں۔ N اور M سے گزرتی سیدھی لکیر سے P کا عمودی فاصلہ حاصل کریں۔

حل: M سے N تک سمتیہ $r_{NM} = 3a_x - 2a_y - 5a_z$ ہے جس کا طول $|r_{NM}| = \sqrt{38}$ ہے۔ یوں اس سمت میں اکائی سمتیہ $a_{NM} = \frac{3a_x - 2a_y - 5a_z}{\sqrt{38}}$ ہو گا۔ اسی طرح M سے P تک سمتیہ $r_{PM} = -4a_y - 2a_z$ ہے۔ a_{NM} کی سمت میں r_{PM} کا طول

$$\begin{aligned} r_{\parallel} &= r_{PM} \cdot a_{NM} = (-4a_y - 2a_z) \cdot \left(\frac{3a_x - 2a_y - 5a_z}{\sqrt{38}} \right) \\ &= \frac{0 + 8 + 10}{\sqrt{38}} = \frac{18}{\sqrt{38}} \end{aligned}$$

¹⁷ B_{\parallel} لکھتے ہوئے زیرنوشت میں دو متوازی لکیریں یہ بتاتی ہیں کہ B کا یہ وہ حصہ ہے جو a کے متوازی ہے۔ اسی طرح عمودی مقدار کو عموماً \perp کی علامت سے ظاہر کیا جاتا ہے۔

ہے یوں a_{NM} سمت میں r_{PM} کا سمتی جزو

$$r_{\parallel} = r_{\parallel} a_{NM} = \frac{18}{\sqrt{38}} \left(\frac{3a_x - 2a_y - 5a_z}{\sqrt{38}} \right) = \frac{18}{38} (3a_x - 2a_y - 5a_z)$$

ہے۔ r_{PM} سے r_{\parallel} منفی کرنے سے لکیر سے P تک عمودی سمتیہ r_{\perp} حاصل ہوتا ہے

$$\begin{aligned} r_{\perp} &= r_{PM} - r_{\parallel} = (-4a_y - 2a_z) - \frac{18}{38} (3a_x - 2a_y - 5a_z) \\ &= \frac{-27a_x - 58a_y + 7a_z}{19} \end{aligned}$$

جس کا طول $\frac{\sqrt{27^2 + 58^2 + 7^2}}{19} = 3.3873$ ہے۔ یوں P کا لکیر سے عمودی فاصلہ 3.3873 ہے۔

r_{\parallel} اور r_{\perp} آپس میں عمودی ہیں لہذا ان کا نقطہ ضرب

$$r_{\parallel} \cdot r_{\perp} = \frac{18}{38} (3a_x - 2a_y - 5a_z) \cdot \left(\frac{-27a_x - 58a_y + 7a_z}{19} \right) = \frac{18}{722} (-81 + 116 - 35) = 0$$

صفر کے برابر ہے۔

شکل 1.14 میں اگر M پر r_{NM} کی دُم رکھی جائے تب r_{NM} کی نوک N کا مقام تعین کرتا ہے۔ عموماً کسی بھی نقطے کا مقام محدود کے مرکز $(0,0,0)$ کی نسبت سے طے کیا جاتا ہے۔ ایسا سمتیہ جس کی دُم مرکز پر رکھتے ہوئے اس کی نوک نقطے کا مقام طے کرے **مقام تعین کنندہ** سمتیہ¹⁸ کہلاتا ہے۔ اگر تعین کنندہ سمتیہ کو مرکز سے ہٹایا جائے تب ظاہر ہے اس کی نوک اصل مقام طے کرنے سے قاصر ہوگی۔

مثال 1.5: شکل 1.14 میں M سے شروع ہوتے اور N جانب بڑھتی سیدھی لکیر پر کسی بھی نقطے کا مقام تعین کرتے تعین کنندہ سمتیہ حاصل کریں۔

حل: مرکز $(0,0,0)$ سے نقطہ M تک کا سمتیہ $r_M = 1a_x + 5a_y + 6a_z$ ہے جبکہ M سے N جانب اکائی سمتیہ a_{NM} گزشتہ مثال میں حاصل کیا گیا۔ اکائی سمتیہ a_{NM} کی سمت میں M سے s فاصلے پر نقطہ Q تک کا سمتیہ sa_{NM} ہے۔ یوں مرکز سے Q تک سمتیہ $r_Q = r_M + sa_{NM}$ ہوگا۔

$$r_Q = (1a_x + 5a_y + 6a_z) + s \left(\frac{3a_x - 2a_y - 5a_z}{\sqrt{38}} \right)$$

اس مساوات میں s متغیر ہے جسے تبدیل کرتے ہوئے سیدھی لکیر پر کسی بھی نقطہ Q تک پہنچا جاسکتا ہے۔

مثال 1.6: $z_0 = z$ پر $1a_z$ کے عمودی سیدھی سطح کی مساوات حاصل کریں جہاں z_0 مستقل ہے۔

حل: نقطہ $N_1(0, 0, z_0)$ سے کسی بھی نقطہ $N_2(x, y, z)$ تک کا سمتیہ $r_{21} = xa_x + ya_y + (z - z_0)a_z$ ہے۔ سطح پر کسی بھی سمتیہ اور سطح کے عمودی سمتیہ آپس میں نوے درجے زاویہ پر پائے جاتے ہیں لہذا ان کا غیر سمتی ضرب صفر کے برابر ہو گا۔ یوں اگر N_2 اسی عمودی سطح پر پایا جائے تب

$$1a_z \cdot [xa_x + ya_y + (z - z_0)a_z] = z - z_0 = 0$$

ہو گا جس سے اس سطح کی مساوات $z = z_0$ حاصل ہوتی ہے۔

اس قیمت کو r_{21} میں پُر کرتے ہوئے $r_{21} = xa_x + ya_y$ حاصل ہوتا ہے جہاں x اور y آزاد متغیرات ہیں۔ چونکہ مرکز سے N_1 کا تعین کنندہ سمتیہ $r_{10} = z_0a_z$ ہے لہذا $z = z_0$ سطح پر کسی بھی نقطہ N_2 کا تعین کنندہ سمتیہ یعنی سطح کی سمتی مساوات $r_{20} = xa_x + ya_y + z_0a_z$ ہو گی۔

مشق 1.3: مرکز سے $(2, 1, 3)$ تک کی سمتیہ ایک سیدھی سطح کی عمودی سمتیہ ہے۔ اس سطح کی مساوات حاصل کریں۔

$$\text{جواب: } 2x + y + 3z = 14$$

1.8 سمتی ضرب یا صلیبی ضرب

دو سمتیات A اور B کے **سمتی ضرب**¹⁹ کا حاصل جواب سمتیہ ہوتا ہے جس کا طول A کی مقدار ضرب B کی مقدار ضرب سمتیوں کے مابین چھوٹے زاویے کے سائن کے برابر ہے۔ حاصل سمتیہ A اور B سمتیات کی عمودی سمت میں ہوتا ہے جسے اکائی عمودی سمتیہ a_N سے ظاہر کیا جائیگا۔

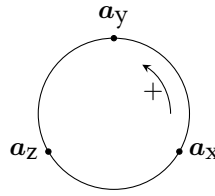
$$(1.15) \quad A \times B = |A||B| \sin \theta_{AB} a_N$$

جس سیدھی سطح پر A اور B دونوں پائے جائیں، اس سطح کے دو عمودی سمتیات میں سے ایک ہے۔ a_N کو **دائیں ہاتھ کے قانون**²⁰ سے یوں حاصل کیا جاسکتا ہے۔

دائیں ہاتھ کی ہتھیلی سیدھی اور انگوٹھے کو بقیہ چار انگلیوں کے عمود میں رکھتے ہوئے پہلی انگلی کو A اور دوسری انگلی کو B کی سمت میں رکھیں۔ اس صورت میں انگوٹھا a_N کی سمت میں ہو گا۔

اگر دونوں سمتیات کی ڈم ایک ہی جگہ پر نہ ہوتے تو ان کے مابین زاویہ دریافت کرنے کی خاطر سمتیوں کی سمت تبدیل کئے بغیر انہیں ایک نقطے پر منتقل کیا جاسکتا ہے۔ سمتی ضرب کو سمتیوں کے درمیان صلیبی نشان \times سے ظاہر کیا جاتا ہے۔ اسی وجہ سے اسے **صلیبی ضرب**²¹ بھی کہا جاتا ہے اور

vector product¹⁹
right hand rule²⁰
cross product²¹



شکل 1.15: صلیبی ضرب کا حصول۔

$A \times B$ کو " A صلیب B " پڑھا جاتا ہے۔ سمتی ضرب میں سمتیوں کی ترتیب نہایت اہم ہے اور انہیں الٹانے سے حاصل جواب کی سمت الٹی ہو جاتی ہے۔

$$(1.16) \quad A \times B = -B \times A$$

اکائی سمتیات a_x اور a_y کے مابین نوے درجے کا زاویہ ہے اور $\sin 90 = 1$ کے برابر ہے جبکہ دائیں ہاتھ کے قانون سے ان کے صلیبی ضرب کی سمت a_z حاصل ہوتی ہے۔ یوں $a_x \times a_y = a_z$ کے برابر ہے۔ اسی طرح $a_y \times a_z = a_x$ اور $a_z \times a_x = a_y$ کے برابر حاصل ہوتے ہیں۔ مساوات 1.16 کے تحت یوں $a_x \times a_x = -a_z$ ، $a_y \times a_y = -a_x$ اور $a_z \times a_z = -a_y$ لکھے جاسکتے ہیں۔ دو متوازی سمتیوں کے درمیان صفر درجے کا زاویہ ہوتا ہے اور $\sin 0 = 0$ کے برابر ہے لہذا $a_x \times a_x = 0$ کے برابر ہے۔ اسی طرح $a_y \times a_y = 0$ اور $a_z \times a_z = 0$ کے برابر ہیں۔ ان تمام جوابات کو ایک جگہ لکھتے ہیں۔

$$(1.17) \quad \begin{aligned} a_x \times a_y &= a_z & a_y \times a_z &= a_x & a_z \times a_x &= a_y \\ a_x \times a_x &= 0 & a_y \times a_y &= 0 & a_z \times a_z &= 0 \end{aligned}$$

یہی جوابات شکل 1.15 کی مدد سے حاصل کئے جاسکتے ہیں۔ اس شکل میں گھڑی کی الٹ سمت مثبت سمت ہے۔ یوں اگر $a_x \times a_y$ حاصل کرنا ہو تو شکل میں a_x سے شروع ہو کر a_y کی جانب کم راستے پر چلتے ہوئے a_z حاصل ہوتا ہے۔ ساتھ ہی ساتھ چونکہ a_x سے a_y جانے کی خاطر مثبت راستہ اختیار کیا گیا لہذا جواب مثبت یعنی a_z ہو گا۔ اس کے برعکس $a_z \times a_y$ حاصل کرنے کی خاطر a_z سے a_y کی جانب کم راستے پر چلتے ہوئے a_x حاصل ہوتا ہے البتہ یہ راستہ گھڑی کے الٹ سمت یعنی منفی سمت میں ہے لہذا جواب $-a_x$ ہو گا۔

342

مساوات 1.17 کی مدد سے $A = A_x a_x + A_y a_y + A_z a_z$ اور $B = B_x a_x + B_y a_y + B_z a_z$ کی صلیبی ضرب

$$\begin{aligned} A \times B &= (A_x a_x + A_y a_y + A_z a_z) \times (B_x a_x + B_y a_y + B_z a_z) \\ &= A_x B_x a_x \times a_x + A_x B_y a_x \times a_y + A_x B_z a_x \times a_z \\ &\quad + A_y B_x a_y \times a_x + A_y B_y a_y \times a_y + A_y B_z a_y \times a_z \\ &\quad + A_z B_x a_z \times a_x + A_z B_y a_z \times a_y + A_z B_z a_z \times a_z \end{aligned}$$

کو

$$(1.18) \quad A \times B = (A_y B_z - A_z B_y) a_x + (A_z B_x - A_x B_z) a_y + (A_x B_y - A_y B_x) a_z$$

لکھا جاسکتا ہے۔ اس جواب کو قالب کے حتمی قیمت کی شکل میں یوں لکھا جاسکتا ہے۔

$$(1.19) \quad A \times B = \begin{vmatrix} a_x & a_y & a_z \\ A_x & A_y & A_z \\ B_x & B_y & B_z \end{vmatrix}$$

یوں اگر $A = 2a_x - 3a_y + 1a_z$ اور $B = 6a_x + 5a_y - 4a_z$ ہیں تب

$$\begin{aligned} A \times B &= \begin{vmatrix} a_x & a_y & a_z \\ 2 & -3 & 1 \\ 6 & 5 & -4 \end{vmatrix} \\ &= [(-3)(-4) - (1)(5)]a_x - [(2)(-4) - (1)(6)]a_y + [(2)(5) - (-3)(6)]a_z \\ &= 7a_x + 14a_y + 28a_z \end{aligned}$$

ہو گا۔

343

مثال 1.7: $N_1(2, 3, 1)$ ، $N_2(1, 6, 5)$ اور $N_3(-2, -3, 2)$ سیدھی سطح پر پائے جاتے ہیں۔ اس سطح کی مساوات حاصل کریں۔

344

حل:

$$\begin{aligned} r_{21} &= (1 - 2)a_x + (6 - 3)a_y + (5 - 1)a_z = -1a_x + 3a_y + 4a_z \\ r_{31} &= (-2 - 2)a_x + (-3 - 3)a_y + (2 - 1)a_z = -4a_x - 6a_y + 1a_z \end{aligned}$$

کے سمتی ضرب سے ان کا عمودی سمتیہ حاصل ہو گا۔

$$\begin{aligned} r_N &= (-1a_x + 3a_y + 4a_z) \times (-4a_x - 6a_y + 1a_z) \\ &= 6a_z + 1a_y + 12a_z + 3a_x - 16a_y + 24a_x \\ &= 27a_x - 15a_y + 18a_z \end{aligned}$$

سطح پر دئے گئے تین نقطوں سے سطح پر کسی بھی نقطہ $N_4(x, y, z)$ تک کا سمتیہ اس عمودی سمتیہ کے نوے درجے زاویہ پر ہو گا اور یوں ان کا غیر سمتی ضرب صفر کے برابر ہو گا۔ N_1 سے N_4 تک سمتیہ $r_{41} = (x - 2)a_x + (y - 3)a_y + (z - 1)a_z$ کے استعمال سے

$$r_{41} \cdot r_N = [(x - 2)a_x + (y - 3)a_y + (z - 1)a_z] \cdot (27a_x - 15a_y + 18a_z) = 0$$

لکھ کر

$$27(x - 2) - 15(y - 3) + 18(z - 1) = 0$$

سے

$$27x - 15y + 18z = 27$$

سیدھی سطح کی مساوات حاصل ہوتی ہے۔ ایسی مساوات میں x ، y اور z کے مختلف عمودی سمتیہ میں a_x ، a_y اور a_z کے مختلف 27، 15، اور 18 ہوتے ہیں۔

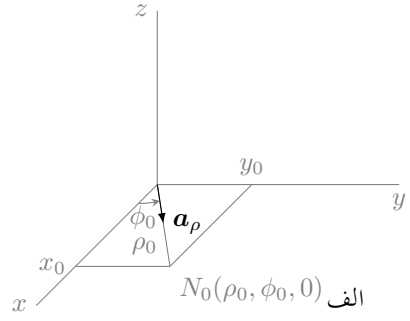
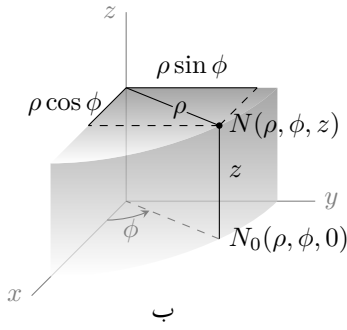
346

سطح کی مساوات سے $z = \frac{9 - 9x + 5y}{6}$ لکھا جاسکتا ہے۔ سطح پر N_4 کی تعین کنندہ مساوات $r = xa_x + ya_y + za_z$ میں z کی قیمت پُر کرتے ہوئے سطح کی سمتی مساوات

$$r = xa_x + ya_y + \left(\frac{9 - 9x + 5y}{6} \right) a_z$$

لکھی جاسکتی ہے جہاں x اور y آزاد متغیرات ہیں جبکہ z کو بطور تابع متغیرہ لکھا گیا ہے۔

347



شکل 1.16: نلکی محدد

349

مشق 1.4: $A = 1a_x + 3a_y - 2a_z$ اور $B = 5a_x - 2a_y - 3a_z$ کی صورت میں $A \times A, A \times B, B \times A, A \times A \times B$ حاصل کریں۔

351

352

خلاء میں کسی بھی نقطے کا مقام کارٹیزی محدد کے علاوہ دیگر طرز کے محدد سے بھی تعین کیا جاسکتا ہے۔ ماہرین طبیعیات تقریباً ایک درجن اقسام کے محددی نظام استعمال کرتے ہیں۔ ہم اس کتاب میں کارٹیزی نظام کے علاوہ دو مزید اقسام کے محددی نظام استعمال کریں گے۔ انہیں انہیں پر غور کریں۔

355

1.9 گول نلکی محدد

کارٹیزی نظام میں کسی بھی نقطے کا مقام مرکز سے x, y اور z ستوں میں فاصلوں سے طے کیا جاتا ہے۔ آئیں اب ایسا نظام دیکھیں جس میں ایک عدد N_0 اور دو عدد فاصلے استعمال کرتے ہوئے کسی بھی نقطے کا مقام طے ہو۔

357

شکل 1.16-الف میں $z = 0$ سطح پر نقطہ N_0 دکھایا گیا ہے جسے کارٹیزی محدد میں $N_0(x_0, y_0, 0)$ لکھا جائے گا۔ اگر مرکز سے N_0 تک سیدھی لکیر کی لمبائی ρ_0 اور x محدد سے اس لکیر کا زاویہ ϕ_0 ہو تب اسی نقطے کو **گول نلکی محدد**²² کے نظام میں $N_0(\rho_0, \phi_0, 0)$ لکھا جاتا ہے۔ اس کتاب میں گول نلکی محدد کا نام چھوٹا کر کے اسے **نلکی محدد** پکارا جائے گا۔ اگر $z = 0$ سطح پر مرکز سے نقطے کی جانب اکائی سمتیہ a_ρ ہو تب مرکز سے نقطے تک سمتیہ کو

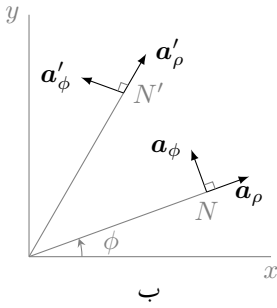
$$\rho = \rho_0 a_\rho \quad (\phi = \phi_0, \quad z = 0) \quad (1.20)$$

358

لکھا جاسکتا ہے۔ نلکی اور کارٹیزی نظام میں z محدد یکساں ہیں۔

شکل 1.16-ب سے کارٹیزی اور نلکی محدد کے تعلق اخذ کئے جاسکتے ہیں۔ یوں نلکی محدد کے متغیرات (ρ, ϕ, z) سے کارٹیزی متغیرات (x, y, z) یوں حاصل ہوتے ہیں۔

$$\begin{aligned} x &= \rho \cos \phi \\ y &= \rho \sin \phi \\ z &= z \end{aligned} \quad (1.21)$$



شکل 1.17: نلکی محدد میں متغیرات کے تبدیلی سے فاصلے کا حصول اور اکائی سمتیات۔

اسی طرح (x, y, z) سے (ρ, ϕ, z) یوں حاصل کئے جاتے ہیں۔

$$\begin{aligned} \rho &= \sqrt{x^2 + y^2} \quad (\rho \geq 0) \\ \phi &= \tan^{-1} \frac{y}{x} \\ z &= z \end{aligned} \quad (1.22)$$

مندرجہ بالا مساوات میں رداس کی صرف مثبت قیمت لی گئی۔ ہم رداس کی قیمت مثبت ہی لیتے ہیں۔

شکل 1.17-الف میں ϕ زاویہ پر ρ رداس کا ہلکی سیاہی میں دکھایا سمتیہ نقطہ N ہے۔ اس شکل میں z تبدیل کئے بغیر ρ کو $\Delta\rho$ بڑھتا دکھایا گیا ہے۔ اس صورت میں سمتیہ کی نوک $\Delta\rho$ فاصلہ طے کرتی ہے۔ نقطہ N سے $\Delta\rho$ کی سمت میں اکائی سمتیہ جسے a_ρ لکھا جاتا ہے، نلکی محدود کی بنیادی اکائی سمتیہ ہے۔ اس سمتیہ کو شکل 1.17-ب میں دکھایا گیا ہے۔

شکل 1.17-الف میں ρ اور z تبدیل کئے بغیر ϕ کو $\Delta\phi$ بڑھا کر اسی سمتیہ کو گاڑھی سیاہی میں دوبارہ دکھایا گیا ہے۔ آپ دیکھ سکتے ہیں کہ سمتیہ کی نوک نے ρ رداس کے گول دائرے پر حرکت کرتے ہوئے $\rho\Delta\phi$ فاصلہ طے کیا۔ یوں اگر زاویہ کو 2π یا 0 ریڈیئن تبدیل کیا جائے تو سمتیہ کی نوک گول دائرے پر ایک مکمل چکر کاٹے گی۔ جیسے جیسے $\Delta\phi$ کو کم سے کم کیا جائے ویسے ویسے $\rho\Delta\phi$ گول دائرے کے مماس کی صورت اختیار کرے گی حتیٰ کہ $d\phi$ کی صورت میں $\rho d\phi$ گول دائرے کا مماس ہو گا۔ نقطہ N پر بڑھتے ϕ جانب مماس کی سمت میں اکائی سمتیہ کو a_ϕ لکھا جاتا ہے۔ اس سمتیہ کو شکل 1.17-ب میں دکھایا گیا ہے۔

اسی طرح اگر نقطہ N پر صرف z کو Δz تبدیل کیا جائے تب سمتیہ کی نوک Δz فاصلہ طے کرے گی۔ Δz کی سمت میں اکائی سمتیہ جسے a_z لکھا جاتا ہے، نلکی محدود کی تیسری اور آخری بنیادی اکائی سمتیہ ہے۔ نلکی محدود کے تین اکائی سمتیات a_ϕ ، a_ρ اور a_z مل کر دائیں ہاتھ کا عمودی نظام دیتے ہیں۔ نقطہ (ρ_1, ϕ_1, z_1) پر نلکی محدود کے اکائی سمتیات کو شکل 1.18 میں دکھایا گیا ہے۔ a_ρ گول سطح $\rho = \rho_1$ کے عمودی ہے۔ یہ $\phi = \phi_1$ اور $z = z_1$ سطحوں پر پایا جاتا ہے۔ اسی طرح a_ϕ سیدھی سطح $\phi = \phi_1$ کے عمودی ہے۔ یہ $z = z_1$ سطح پر پایا جاتا ہے اور $\rho = \rho_1$ نلکی سطح کا مماس ہے۔ a_z اکائی سمتیہ $z = z_1$ سطح کے عمودی ہے۔ یہ $\rho = \rho_1$ اور $\phi = \phi_1$ سطحوں پر پایا جاتا ہے۔

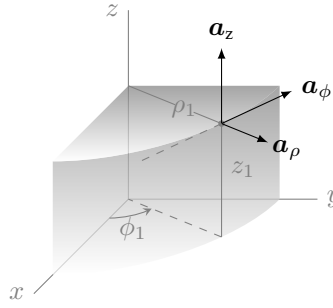
دائیں ہاتھ کے عمودی نظام میں سمتی ضرب کا حاصل جواب صفحہ 14 پر دئے گئے دائیں ہاتھ کے قانون کی مدد سے حاصل کیا جاتا ہے۔ یوں

$$a_\rho \times a_\phi = a_z, \quad a_\phi \times a_z = a_\rho, \quad a_z \times a_\rho = a_\phi \quad (1.23)$$

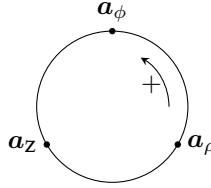
لکھا جاسکتا ہے۔ یہی جوابات شکل 1.19 سے بھی اخذ کئے جاسکتے ہیں۔

کسی سمتیہ کا خود سمتی ضرب صفر کے برابر ہوتا ہے لہذا

$$a_\rho \times a_\rho = 0, \quad a_\phi \times a_\phi = 0, \quad a_z \times a_z = 0 \quad (1.24)$$



شکل 1.18: نلکی محدد کے اکائی سمتیات۔



شکل 1.19: صلیبی ضرب کی حاصل اکائی سمتیہ۔

لکھا جاسکتا ہے جبکہ کسی بھی اکائی سمتیہ کا خود غیر سمتی ضرب ایک کے برابر ہوتا ہے لہذا

$$(1.25) \quad a_\rho \cdot a_\rho = 1, \quad a_\phi \cdot a_\phi = 1, \quad a_z \cdot a_z = 1$$

لکھا جاسکتا ہے۔ اسی طرح کسی بھی دو عمودی سمتیات کا غیر سمتی ضرب صفر کے برابر ہوتا ہے یعنی

$$(1.26) \quad a_\rho \cdot a_\phi = 0, \quad a_\phi \cdot a_z = 0, \quad a_z \cdot a_\rho = 0$$

غیر سمتی ضرب کو **کرو ٹیکر ڈیلٹا** کی مدد سے یوں لکھا جاسکتا ہے۔

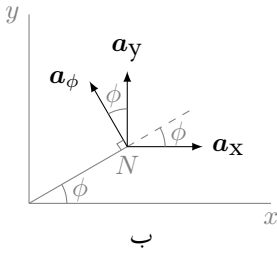
$$(1.27) \quad a_i \cdot a_j = \delta_{ij}$$

جہاں

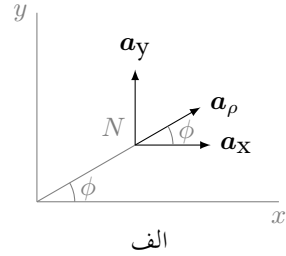
$$(1.28) \quad \delta_{ij} = \begin{cases} 0 & \text{اگر } i \neq j \\ 1 & \text{اگر } i = j \end{cases}$$

کے برابر ہے۔

آپ دیکھتے ہیں کہ کسی بھی نقطہ $N(\rho, \phi, z)$ پر اکائی سمتیات حاصل کرنے کی خاطر محدد کے متغیرات ρ, ϕ اور z کو باری باری انتہائی کم بڑھایا جاتا ہے۔ جس سمت میں نقطہ حرکت کرے، اسی سمت میں اکائی سمتیہ ہوگی۔ شکل 1.17-ب میں دو مختلف نقاط N اور N' پر نلکی محدد کے عمودی اکائی سمتیات دکھائے گئے ہیں۔ آپ دیکھ سکتے ہیں کہ نلکی محدد کے عمودی اکائی سمتیات کی سمت کا دار و مدار اس نقطے پر ہے جہاں انہیں حاصل کیا جائے۔ آپ جانتے ہیں کہ کارٹیزی نظام میں نقطے کا مقام تبدیل کرنے سے کارٹیزی اکائی سمتیات تبدیل نہیں ہوتے۔ یوں نلکی محدد کے اکائی سمتیات اٹل نہیں ہیں۔ یہ ایک انتہائی اہم حقیقت ہے جو مکمل لیتے وقت پیچیدگیاں پیدا کرتا ہے۔ مکمل لیتے وقت کارٹیزی اکائی سمتیات اٹل ہونے کی بنا پر مکمل کے باہر لے جائے جاسکتے ہیں جبکہ نلکی محدد کے a_ρ اور a_ϕ اکائی سمتیات کو مکمل کے باہر نہیں لے جایا جاسکتا۔ یاد رہے کہ کسی بھی نقطہ N پر حاصل کئے گئے a_ρ, a_ϕ اور a_z آپس میں عمودی ہوں گے جبکہ کسی اور نقطہ N' پر حاصل کئے گئے a'_ρ, a'_ϕ اور a'_z آپس میں عمودی ہوں گے۔



ب



الف

شکل 1.20: نلکی اکائی سمتیات کا کارتیسی اکائی سمتیات کے ساتھ غیر سمتی ضرب۔

جدول 1.1: نلکی اکائی سمتیات کا کارتیسی اکائی سمتیات کے ساتھ غیر سمتی ضرب۔

a_z	a_y	a_x	
0	$\sin \phi$	$\cos \phi$	a_ρ
0	$\cos \phi$	$-\sin \phi$	a_ϕ
1	0	0	a_z

382

1.9.1 نلکی اکائی سمتیات کا کارتیسی اکائی سمتیات کے ساتھ غیر سمتی ضرب

شکل 1.20-الف میں نقطہ N پر اکائی سمتیات a_ρ اور a_x اور a_y دکھائے گئے ہیں۔ a_ρ اور a_x کے مابین زاویہ ϕ ہے جبکہ اکائی سمتیات کی لمبائی ایک ہوتی ہے لہذا

$$(1.29) \quad a_\rho \cdot a_x = (1)(1)(\cos \phi) = \cos \phi$$

ہے۔ a_ρ اور a_y کے مابین زاویہ $(90^\circ - \phi)$ ہے لہذا

$$(1.30) \quad a_\rho \cdot a_y = (1)(1)[\cos(90^\circ - \phi)] = \sin \phi$$

کے برابر ہے۔ اس مساوات میں $\cos(\alpha - \beta) = \cos \alpha \cos \beta + \sin \alpha \sin \beta$ کو استعمال کرتے ہوئے $\cos(90^\circ - \phi) = \sin \phi$ لکھا گیا ہے۔ شکل 1.20-ب میں نقطہ N پر اکائی سمتیات a_ϕ اور a_x اور a_y دکھائے گئے ہیں۔ a_ϕ اور a_x کے مابین زاویہ $(90^\circ + \phi)$ ہے لہذا

$$(1.31) \quad a_\phi \cdot a_x = (1)(1)[\cos(90^\circ + \phi)] = -\sin \phi$$

ہے۔ a_ϕ اور a_y کے مابین زاویہ ϕ ہے لہذا

$$(1.32) \quad a_\phi \cdot a_y = (1)(1)(\cos \phi) = \cos \phi$$

کے برابر ہے۔ a_z کا a_x اور a_y کے ساتھ غیر سمتی ضرب صفر کے برابر ہے۔ اس کی وجہ ان کے مابین نوے درجے کا زاویہ ہے۔ ان تمام غیر سمتی ضرب کو جدول 1.1 میں یکجا کیا گیا ہے۔

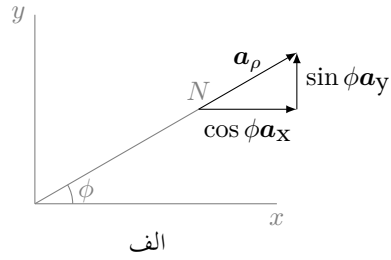
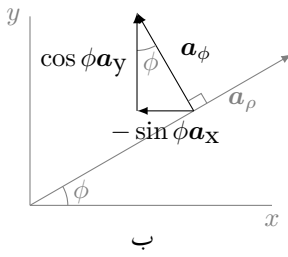
384

1.9.2 نلکی اور کارتیسی اکائی سمتیات کا تعلق

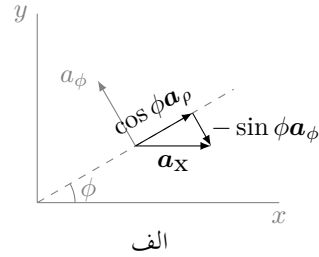
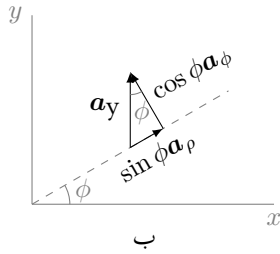
385

شکل 1.21-الف میں نقطہ N پر اکائی سمتیہ a_ρ دکھایا گیا ہے۔ آپ دیکھ سکتے ہیں کہ کارتیسی مجدد میں اسی اکائی سمتیہ کو دو عدد سمتیات کی مدد سے لکھا جا سکتا ہے۔ a_ρ کی لمبائی ایک کے برابر ہے۔ یوں مسئلہ فیثاغورث کی مدد سے

$$(1.33) \quad \begin{aligned} a_\rho &= \cos \phi a_x + \sin \phi a_y \\ &= \frac{x}{\sqrt{x^2 + y^2}} a_x + \frac{y}{\sqrt{x^2 + y^2}} a_y \end{aligned}$$



شکل 1.21: a_ρ اور a_ϕ کا کارتیسی نظام میں تبادلہ۔



شکل 1.22: a_x اور a_y کا نلکی محدود میں تبادلہ۔

لکھا جاسکتا ہے جہاں دوسرے قدم پر تمام نلکی محدود کے متغیرات کو کارتیسی متغیرات کی شکل میں لکھا گیا ہے۔ شکل 1.21-ب میں نقطہ N پر اکائی سمتیہ a_ϕ دکھایا گیا ہے۔ آپ دیکھ سکتے ہیں کہ کارتیسی محدود میں اسی اکائی سمتیہ کو دو عدد سمتیات کی مدد سے یوں لکھا جاسکتا ہے

$$(1.34) \quad \begin{aligned} a_\phi &= -\sin \phi a_x + \cos \phi a_y \\ &= -\frac{y}{\sqrt{x^2 + y^2}} a_x + \frac{x}{\sqrt{x^2 + y^2}} a_y \end{aligned}$$

جہاں دوسرے قدم پر تمام نلکی محدود کے متغیرات کو کارتیسی متغیرات کی شکل میں لکھا گیا ہے۔

شکل 1.22-الف میں a_x کا نلکی محدود میں تبادلہ دکھایا گیا ہے۔ جس نقطے پر ایسا درکار ہو، اس نقطے پر a_x کی ڈم رکھیں۔ مرکز سے نقطے تک نقطہ دار سیدھی لکیر کھینچتے ہوئے اسے مزید آگے بڑھائیں۔ اس نقطے پر a_ρ اسی لکیر کی سمت میں ہو گا جبکہ a_ϕ لکیر کے ساتھ نوے درجے کا زاویہ بنائے گا۔ شکل میں a_ϕ دکھایا گیا ہے۔ جیسا شکل میں دکھایا گیا ہے، a_x کی نوک سے نقطہ دار لکیر پر عمود بنائیں۔ صاف ظاہر ہے کہ a_x کو دو عدد سمتیات کی مدد سے لکھا جاسکتا ہے۔ ان میں سے ایک سمتیہ a_ρ کی سمت میں اور دوسرا سمتیہ a_ϕ کی الٹ جانب کو ہو گا۔ یوں

$$(1.35) \quad a_x = \cos \phi a_\rho - \sin \phi a_\phi$$

لکھا جاسکتا ہے۔ شکل 1.22-ب میں a_y کا نلکی محدود میں تبادلہ دکھایا گیا ہے۔ یہاں نقطہ پر a_y کی ڈم رکھتے ہوئے اس کی نوک سے نقطہ دار لکیر پر عمود کھینچا گیا ہے۔ یوں

$$(1.36) \quad a_y = \sin \phi a_\rho + \cos \phi a_\phi$$

لکھا جاسکتا ہے۔

آئیں مساوات 1.33 تا مساوات 1.36 کو جدول 1.1 کی مدد سے حاصل کریں۔ کسی بھی سمتیہ A کو کارتیسی یا نلکی محدود میں لکھا جاسکتا ہے۔ یوں

$$(1.37) \quad \begin{aligned} A &= A_x a_x + A_y a_y + A_z a_z \\ &= A_\rho a_\rho + A_\phi a_\phi + A_z a_z \end{aligned}$$

لکھا جاسکتا ہے۔ ان میں پہلی مساوات کا باری باری a_x, a_y اور a_z کے ساتھ غیر سمتی ضرب لیتے ہوئے

$$\begin{aligned} a_x \cdot A &= A_x a_x \cdot a_x + A_y a_x \cdot a_y + A_z a_x \cdot a_z = A_x \\ a_y \cdot A &= A_x a_y \cdot a_x + A_y a_y \cdot a_y + A_z a_y \cdot a_z = A_y \\ a_z \cdot A &= A_x a_z \cdot a_x + A_y a_z \cdot a_y + A_z a_z \cdot a_z = A_z \end{aligned} \quad (1.38)$$

حاصل ہوتے ہیں۔ A کو کارتیسی نظام میں لکھنے کی خاطر A_x, A_y اور A_z درکار ہوتے ہیں جنہیں مندرجہ بالا مساوات سے حاصل کیا جاسکتا ہے۔ اسی طرح مساوات 1.37 کے نچلے حصے کا باری باری a_ϕ, a_ρ اور a_z کے ساتھ غیر سمتی ضرب لیتے ہوئے

$$\begin{aligned} a_\rho \cdot A &= A_\rho a_\rho \cdot a_\rho + A_\phi a_\rho \cdot a_\phi + A_z a_\rho \cdot a_z = A_\rho \\ a_\phi \cdot A &= A_\rho a_\phi \cdot a_\rho + A_\phi a_\phi \cdot a_\phi + A_z a_\phi \cdot a_z = A_\phi \\ a_z \cdot A &= A_\rho a_z \cdot a_\rho + A_\phi a_z \cdot a_\phi + A_z a_z \cdot a_z = A_z \end{aligned} \quad (1.39)$$

حاصل ہوتے ہیں۔ یوں A کو نکلی نظام میں لکھنے کی خاطر A_ρ, A_ϕ اور A_z کو مندرجہ بالا مساوات کی مدد سے حاصل کیا جاسکتا ہے۔

آئیں a_ρ کو کارتیسی نظام میں لکھیں۔ یوں $A = a_\rho$ کو کارتیسی نظام میں لکھنا مطلوب ہے۔ مساوات 1.38 کے مطابق A_x حاصل کرنے کی خاطر $a_x \cdot A$ لینا ہو گا۔ جدول 1.1 کے استعمال سے

$$A_x = a_x \cdot A = a_x \cdot a_\rho = \cos \phi$$

حاصل ہوتا ہے۔ اسی طرح جدول کو استعمال کرتے ہوئے

$$A_y = a_y \cdot A = a_y \cdot a_\rho = \sin \phi$$

اور

$$A_z = a_z \cdot A = a_z \cdot a_\rho = 0$$

حاصل کرتے ہیں۔ یوں کارتیسی نظام میں $A = A_x a_x + A_y a_y + A_z a_z$ لکھتے ہوئے

$$a_\rho = \cos \phi a_x + \sin \phi a_y$$

لکھا جائے گا۔ یہی جواب مساوات 1.33 میں بھی حاصل کیا گیا تھا۔

a_ϕ کو بھی اسی طرح کارتیسی نظام میں لکھا جاسکتا ہے۔ ایسا کرنے کی خاطر جدول 1.1 کی مدد سے اس سمتیہ کا باری باری a_x, a_y اور a_z کے ساتھ غیر سمتی ضرب لیتے ہیں۔

$$A_x = a_x \cdot a_\phi = -\sin \phi$$

$$A_y = a_y \cdot a_\phi = \cos \phi$$

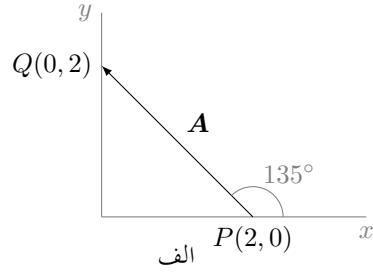
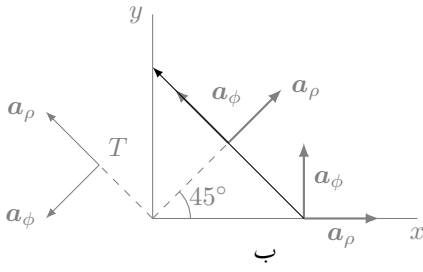
$$A_z = a_z \cdot a_\phi = 0$$

یوں

$$a_\phi = A_x a_x + A_y a_y + A_z a_z = -\sin \phi a_x + \cos \phi a_y$$

حاصل ہوتا ہے۔ یہی جواب مساوات 1.34 بھی دیتا ہے۔

آپ سے گزارش ہے کہ جدول 1.34 کو یاد کرنے کی کوشش نہ کریں۔ اپنے آپ میں یہ صلاحیت پیدا کریں کہ ان جوابات کو آپ جلد اخذ کر سکیں۔



شکل 1.23: کارتیسی اور نلکی محدد میں سمتیہ۔

مشق 1.5: a_x ، a_y اور a_z کو جدول 1.1 کی مدد سے نلکی محدد میں لکھیں۔

جوابات:

$$a_x = \cos \phi a_\rho - \sin \phi a_\phi$$

$$a_y = \sin \phi a_\rho + \cos \phi a_\phi$$

$$a_z = a_z$$

شکل 1.23 میں $P(2,0)$ سے $Q(0,2)$ تک سمتیہ A دکھایا گیا ہے۔ کارتیسی نظام میں

(1.40)

$$A = -2a_x + 2a_y$$

لکھا جاسکتا ہے۔ اس سمتیہ کی حتمی قیمت

$$|A| = \sqrt{A \cdot A} = \sqrt{(-2a_x + 2a_y) \cdot (-2a_x + 2a_y)} = \sqrt{8}$$

ہے۔ آئیں اسی سمتیہ کو نلکی محدد میں لکھیں۔ ایسا کرنے کی خاطر a_ρ اور a_ϕ درکار ہوں گے جنہیں حاصل کرنے کی خاطر جدول 1.1 کی مدد سے $a_\rho \cdot A$ اور $a_\phi \cdot A$ حاصل کرتے ہیں۔

$$A_\rho = a_\rho \cdot (-2a_x + 2a_y) = -2 \cos \phi + 2 \sin \phi$$

$$A_\phi = a_\phi \cdot (-2a_x + 2a_y) = 2 \sin \phi + 2 \cos \phi$$

یوں

(1.41)

$$A = 2(-\cos \phi + \sin \phi)a_\rho + 2(\sin \phi + \cos \phi)a_\phi$$

لکھا جاسکتا ہے۔ آئیں دیکھیں کہ اس کی حتمی قیمت کیا حاصل ہوتی ہے۔ اکائی سمتیات کا غیر سمتی ضرب $a_\rho \cdot a_\rho = 1$ اور $a_\phi \cdot a_\phi = 1$ استعمال کرتے ہوئے

$$\begin{aligned} |A| &= \sqrt{A \cdot A} \\ &= \sqrt{2^2(-\cos \phi + \sin \phi)^2 + 2^2(\sin \phi + \cos \phi)^2} \\ &= \sqrt{4(\cos^2 \phi + \sin^2 \phi - 2 \cos \phi \sin \phi) + 4(\cos^2 \phi + \sin^2 \phi + 2 \cos \phi \sin \phi)} \\ &= \sqrt{8(\cos^2 \phi + \sin^2 \phi)} \\ &= \sqrt{8} \end{aligned}$$

حاصل ہوتا ہے جہاں آخری قدم پر $\cos^2 \alpha + \sin^2 \alpha = 1$ کا استعمال کیا گیا ہے۔ یقیناً سمتیہ کی حتمی قیمت محدود کے نظام پر منحصر نہیں۔

395

مساوات 1.40 اور مساوات 1.41 ایک ہی سمتیہ کو لکھنے کے دو طریقے ہیں۔ یہاں کارتیسی نظام کا استعمال نہایت آسان ثابت ہوا۔ آگے چل کر آپ دیکھیں گے کہ کہیں مسئلوں میں نکلے محدود کا استعمال زیادہ آسان ہو گا۔ آئیں مساوات 1.40 پر مزید غور کریں۔ اس مساوات میں اکائی سمتیات از خود اٹل نہیں ہیں۔ ان کی سمتوں کا دارومدار زاویہ ϕ پر ہے۔ شکل 1.23-ب میں $\phi = 0^\circ$ ، $\phi = 45^\circ$ اور $\phi = 135^\circ$ پر a_ρ اور a_ϕ دکھائے گئے ہیں۔ نقطہ P یعنی $\phi = 0^\circ$ پر مساوات 1.41

$$\begin{aligned} A_{\phi=0^\circ} &= 2(-\cos 0^\circ + \sin 0^\circ)a_\rho + 2(\sin 0^\circ + \cos 0^\circ)a_\phi \\ &= -2a_\rho + 2a_\phi \end{aligned}$$

صورت اختیار کر لیتی ہے۔ اس مساوات کے مطابق $\phi = 0^\circ$ پر A کو دو عدد سمتیات کے مجموعہ کی صورت میں لکھا جاسکتا ہے جن میں پہلی سمتیہ a_ρ کے الٹ سمت میں ہے اور اس کی لمبائی دو کے برابر ہے جبکہ دوسری سمتیہ کی مقدار دو اور اس کی سمت a_ϕ کی سمت میں ہی ہے۔ 1.23-ب میں نقطہ P پر A کی سمت واقع بڑھتی a_ϕ اور گھٹتی a_ρ کی سمت میں ہے۔ یاد رہے کہ اس مساوات میں a_ρ اور a_ϕ کو $\phi = 0^\circ$ پر حاصل کیا گیا ہے۔ $\phi = 0^\circ$ پر a_ρ اور a_ϕ برابر ہوتے ہیں اور اسی طرح a_ϕ اور a_y برابر ہوتے ہیں۔ یہی وجہ ہے کہ مساوات 1.40 میں a_x کی جگہ a_ρ اور a_y کی جگہ a_ϕ پُر کرنے سے مندرجہ بالا مساوات لکھی جاسکتی ہے۔

400

$$\phi = 45^\circ \text{ پر مساوات 1.41}$$

$$\begin{aligned} A_{\phi=45^\circ} &= 2(-\cos 45^\circ + \sin 45^\circ)a_\rho + 2(\sin 45^\circ + \cos 45^\circ)a_\phi \\ &= 2\left(-\frac{1}{\sqrt{2}} + \frac{1}{\sqrt{2}}\right)a_\rho + 2\left(\frac{1}{\sqrt{2}} + \frac{1}{\sqrt{2}}\right)a_\phi \\ &= \sqrt{8}a_\phi \end{aligned}$$

صورت اختیار کر لیتی ہے۔ اس مساوات کے مطابق $\phi = 45^\circ$ پر A صرف اور صرف a_ϕ کی سمت میں ہے اور اس کی لمبائی $\sqrt{8}$ ہے۔ شکل 1.23-ب میں یہ حقیقت واضح ہے کہ $\phi = 45^\circ$ پر A کی سمت a_ϕ ہی ہے۔ یاد رہے کہ اس مساوات میں a_ρ اور a_ϕ کو $\phi = 45^\circ$ پر حاصل کیا گیا ہے۔ شکل میں اکائی سمتیات کو عین A کے اوپر کھینچا گیا ہے تاکہ سمتیات کی سمتوں کا موازنہ آسانی سے کیا جاسکے۔

403

آپ نے دیکھا کہ نکلے محدود میں سمتیہ کی مساوات کا دارومدار اس نقطے پر ہے جس نقطے کے اکائی سمتیات استعمال کئے جائیں۔ آئیں دیکھیں کہ $\phi = 135^\circ$ پر پائے جانے والے نقطہ T کے اکائی سمتیات استعمال کرتے ہوئے A کیسا لکھا جائے گا۔ مساوات 1.41 میں $\phi = 135^\circ$ پُر کرنے سے

$$\begin{aligned} A_{\phi=135^\circ} &= 2(-\cos 135^\circ + \sin 135^\circ)a_\rho + 2(\sin 135^\circ + \cos 135^\circ)a_\phi \\ &= 2\left(\frac{1}{\sqrt{2}} + \frac{1}{\sqrt{2}}\right)a_\rho + 2\left(\frac{1}{\sqrt{2}} - \frac{1}{\sqrt{2}}\right)a_\phi \\ &= \sqrt{8}a_\rho \end{aligned}$$

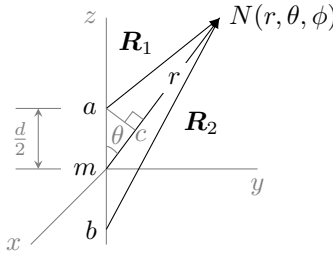
حاصل ہوتا ہے۔ اس مساوات کے مطابق $\phi = 135^\circ$ کے اکائی سمتیات استعمال کرتے ہوئے A کو a_ρ کی سمت میں $\sqrt{8}$ لمبائی کا سمتیہ لکھا جاسکتا ہے۔ شکل سے یہ حقیقت واضح ہے۔

405

406

مثال 1.8: شکل 1.24 میں z محور پر نقطہ $a(0, 0, \frac{d}{2})$ پر مثبت چارج Q اور نقطہ $b(0, 0, -\frac{d}{2})$ پر منفی چارج $-Q$ پائے جاتے ہیں۔ ایسے دو برابر لیکن الٹ علامت کے دو قریب قریب پائے جانے والے چارجوں کے جوڑی کو **جفت قطب**²³ کہتے ہیں۔ دکھائے گئے سمتی فاصلوں R_1 اور R_2 کو **دوہوا** **محور** میں لکھیں۔

409



شکل 1.24: جفت قطب کے چارجوں سے دور نقطے تک فاصلے۔

حل: m : N سے r تک فاصلہ r ہے اور اس سمت میں اکائی سمتیہ a_r ہے۔ نقطہ a سے r پر عمودی لکیر لگائی گئی ہے جو اسے c پر ملتی ہے۔ یوں ac کی سمت کروئی محدود کے اکائی سمتیہ a_θ کی سمت میں ہے۔ شکل کو دیکھتے ہوئے $mc = \frac{d}{2} \cos \theta$ اور $ac = \frac{d}{2} \sin \theta$ لکھے جاسکتے ہیں۔ یوں R_1 کو ہم a سے c تک سمتیہ a_θ اور N سے c تک سمتیہ a_r $(r - \frac{d}{2} \cos \theta)$ کے مجموعے کی شکل میں

$$R_1 = \frac{d}{2} \sin \theta a_\theta + (r - \frac{d}{2} \cos \theta) a_r \quad (1.42)$$

لکھ سکتے ہیں۔ ہم اسی طرح شکل 1.24 میں N سے m تک لکیر کو m سے آگے بڑھا کر b سے اس پر عمودی لکیر کھینچ کر شکل کو دیکھتے ہوئے R_2 کی مساوات بھی لکھ سکتے ہیں البتہ ایسا کرنے کی بجائے آئیں R_2 کی مساوات تحلیلی طریقے سے حاصل کریں۔ شکل کو دیکھتے ہوئے

$$R_2 = \frac{d}{2} a_z + r a_r$$

لکھا جاسکتا ہے جہاں کارتیسی محدود کی اکائی سمتیہ a_z اور کروئی محدود کی اکائی سمتیہ a_r استعمال کئے گئے۔ کروئی محدود میں کسی بھی لکیر کی طرح

$$R_2 = A_r a_r + A_\theta a_\theta + A_\phi a_\phi$$

لکھا جاسکتا ہے۔ آئیں $A_r = R_2 \cdot a_r$ سے حاصل کریں۔

$$A_r = \left(\frac{d}{2} a_z + r a_r \right) \cdot a_r = \frac{d}{2} \cos \theta + r$$

اسی طرح $A_\theta = R_2 \cdot a_\theta$ سے حاصل کرتے ہیں۔

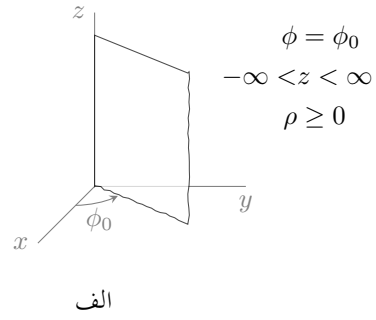
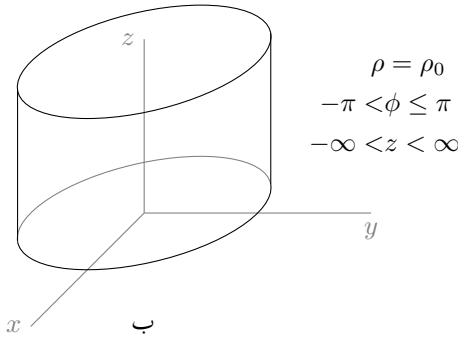
$$A_\theta = \left(\frac{d}{2} a_z + r a_r \right) \cdot a_\theta = -\frac{d}{2} \sin \theta$$

اسی طرح $A_\phi = R_2 \cdot a_\phi$ لکھتے ہوئے $A_\phi = 0$ حاصل ہوتا ہے۔ یوں

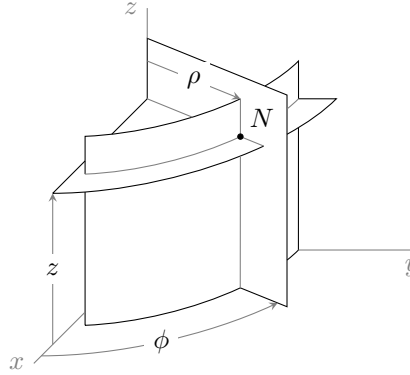
$$R_2 = \left(\frac{d}{2} \cos \theta + r \right) a_r - \frac{d}{2} \sin \theta a_\theta \quad (1.43)$$

لکھا جاسکتا ہے۔

شکل 1.25-الف میں ϕ تبدیل کئے بغیر ρ اور z کی قیمتیں تبدیل کرتے ہوئے $\phi = \phi_0$ سطح کا حصول دکھایا گیا ہے۔ یہ سطح نلکی شکل رکھتی ہے جس کا اوپر والا منہ اور نچلا منہ کھلے ہیں یعنی ان پر ڈھکن نہیں۔ شکل-ب میں ρ تبدیل کئے بغیر ϕ اور z کو تبدیل کرتے ہوئے $\rho = \rho_0$ سطح کا حصول دکھایا گیا



شکل 1.25: $\phi = \phi_0$ اور $\rho = \rho_0$ سطحیں۔



شکل 1.26: نلکی محدود کے تین سطحیں۔

ہے۔ ان دونوں لامحدود سطحوں کے کچھ حصے ان اشکال میں دکھائے گئے ہیں۔ شکل-الف میں ρ کی قیمت صرف مثبت جبکہ z کی قیمت مثبت یا منفی⁴¹⁵ ممکن ہے۔ شکل-ب میں زاویہ کل 2π ریڈیئن تبدیل ہو سکتا ہے۔ یوں زاویے کا مثبت حد π ریڈیئن یعنی 180 درجہ ہے جبکہ اس کا منفی²⁴ حد $-\pi$ یعنی 180- درجہ ہے۔ نلکی محدود اور کارٹیزی نظام دونوں میں $z = z_0$ سطح یکساں بنتی ہے۔

417

جیسے شکل 1.26 میں دکھایا گیا ہے، $\rho = \rho_1$ اور $\phi = \phi_1$ سطحیں a_z کی سیدھ میں سیدھی لکیر پر ملتے ہیں۔ اسی طرح $\rho = \rho_1$ اور $z = z_1$ سطحیں ایک گول دائرے پر ملتے ہیں جبکہ $\phi = \phi_1$ اور $z = z_1$ سطحیں a_ρ کی سیدھ میں سیدھی لکیر پر ملتے ہیں۔ $\rho = \rho_1$ ، $\phi = \phi_1$ اور $z = z_1$ سطحیں صرف اور صرف ایک ہی نقطہ N پر اکٹھے ملتے ہیں۔ نلکی محدود میں کسی بھی نقطے کا مقام اسی طرح تین سطحوں کے متقاطع نقطہ سے حاصل کیا جاتا ہے، البتہ $(0, 0, z)$ تک پہنچنے کی خاطر ایسا کرنے کی ضرورت نہیں ہوتی۔

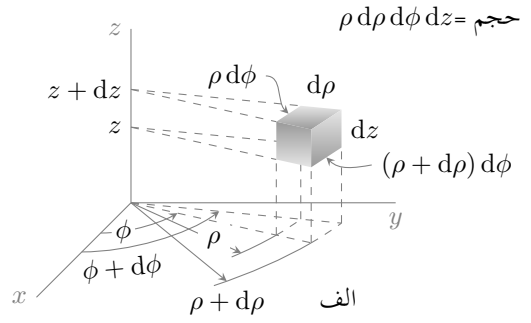
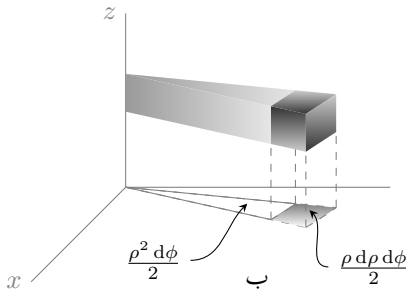
421

کسی بھی نقطہ $N(\rho_1, \phi_1, z_1)$ پر $\rho = \rho_1$ ، $\phi = \phi_1$ اور $z = z_1$ سطحیں بنانے کے بعد اگر نلکی محدود کے متغیرات کو $d\phi$ اور dz بڑھا کر مزید تین سطحیں کھینچے جائیں تو یہ چھ سطحیں مل کر منحرف مکعب کو گھیریں گے جسے شکل 1.27-الف میں دکھایا گیا ہے۔ رداسی سمت میں اس منحرف مکعب کے اطراف کی لمبائی $d\rho$ جبکہ a_z سمت کے اطراف کی لمبائی dz ہے۔ a_ϕ سمت میں z محدود کے قریبی گول طرف کی لمبائی $\rho d\phi$ جبکہ محدود سے دور طرف کی گول لمبائی $(\rho + d\rho) d\phi$ ہے۔ جیسے جیسے اس منحرف مکعب کو چھوٹا کیا جائے ویسے ویسے یہ ایک درست مکعب کی صورت اختیار کرتا ہے، لہذا نہایت چھوٹے حجم کو مکعب تصور کرتے ہوئے اس کا حجم $\rho d\rho d\phi dz$ لکھا جاسکتا ہے۔

426

شکل 1.27-ب میں چھوٹے منحرف مکعب کو رداسی سمت میں z محدود تک بڑھا کر پچر یا فانہ کی شکل میں دکھایا گیا ہے۔ $z = 0$ سطح پر اس کا عمودی سایہ بھی دکھایا گیا ہے۔ ρ رداس کے گول دائرے کے مرکز سے $d\phi$ زاویے پر دو لکیریں دائرے تک کھینچنے سے $\frac{\rho^2 d\phi}{2}$ رقبہ گھیرا جاتا ہے۔ اگر رداس $\rho + d\rho$

²⁴حقیقت میں منفی حد 180° کو نہیں چھوٹا، اگر منفی حد 180° کو چھوٹے تب منفی x محدود دو مرتبہ شامل ہوتا ہے۔



شکل 1.27: نلکی محدود میں انتہائی چھوٹی حجم۔

ہو تب رقبہ $\frac{(\rho+d\rho)^2 d\phi}{2}$ ہو گا۔ یوں شکل-ب میں چھوٹے مکعب کے سایہ کارقبہ dS

$$\begin{aligned} dS &= \frac{(\rho + d\rho)^2 d\phi}{2} - \frac{\rho^2 d\phi}{2} \\ &= \frac{\rho^2 d\phi + 2\rho d\rho d\phi + (d\rho)^2 d\phi}{2} - \frac{\rho^2 d\phi}{2} \\ &= \rho d\rho d\phi + \frac{(d\rho)^2 d\phi}{2} \\ &\approx \rho d\rho d\phi \end{aligned}$$

ہو گا۔ یہاں آخری قدم $d\rho$ کی علامت، مجموعہ کے پہلے رکن میں دو مرتبہ جبکہ دوسرے رکن میں تین مرتبہ ہے۔ یوں دوسرے اور پہلے رکن کی نہایت کم $d\rho$ کو کم سے کم 25 کرتے ہوئے دوسرے رکن کو قابل نظر انداز بناتے ہوئے نظر انداز کیا گیا ہے۔ یوں $\rho d\rho d\phi$ رقبہ اور $\rho d\rho d\phi dz$ بلندی کے مکعب کا حجم ہو گا۔

شکل 1.27 کو درست مکعب تصور کرتے ہوئے، اس کے اطراف کی لمبائی $\rho d\phi$ ، $d\rho$ اور dz لی جاتی ہے۔ یوں مکعب کے چٹائی اور اوپر سطح کا رقبہ $\rho d\phi dz$ کے اطراف کو ضرب دیتے ہوئے $\rho d\rho d\phi$ لکھا جاسکتا ہے۔ اسی طرح سامنے اور پیچھے سطحوں کا رقبہ $d\rho dz$ جبکہ بائیں اور دائیں سطحوں کا رقبہ $\rho d\phi dz$ لکھا جاسکتا ہے۔

شکل 1.27-الف میں نلکی محدود کے تینوں متغیرات تبدیل کرتے ہوئے ہم چھوٹے مکعب کے $N(\rho, \phi, z)$ کو $N(\rho + d\rho, \phi + d\phi, z + dz)$ کو تبدیل کرنے سے N' تک سمتیہ کو

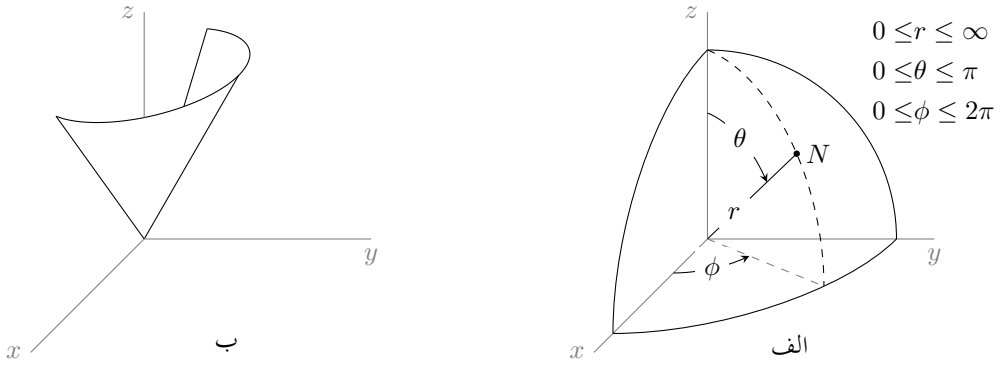
$$dL = d\rho a_\rho + \rho d\phi a_\phi + dz a_z \quad (1.44)$$

لکھا جاتا ہے۔ یہ مساوات کسی بھی دو قریبی نقطوں کے مابین سمتی فاصلے کو ظاہر کرتی ہے۔

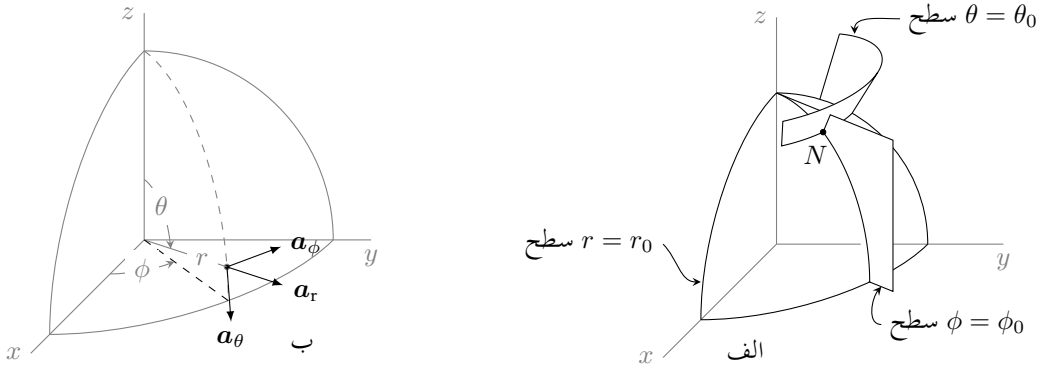
1.10 کروی محدود

سیدھی لکیریوں اور سیدھی سطحوں کو کارتیسی محدود میں زیادہ آسانی سے ظاہر کیا جاسکتا ہے جبکہ نلکی سطحوں کو ظاہر کرنے کے لئے نلکی محدود بہتر ثابت ہوتا ہے۔ اسی طرح کرہ اشکال کے سطحوں کو کروی محدود میں باآسانی لکھا جاسکتا ہے۔ آئیں کروی نظام پر غور کریں۔

²⁵ کسی بھی متغیر ρ میں چھوٹی سی تبدیلی کو $\Delta\rho$ لکھا جاتا ہے جبکہ اس میں کم سے کم تبدیلی کو $d\rho$ لکھا جاتا ہے۔ $d\rho$ کو تقریباً صفر سمجھا جاسکتا ہے یعنی $d\rho \rightarrow 0$ ہوتا ہے۔



شکل 1.28: الف کروی محدود کے متغیرات. ب $\theta = \theta_0$ سطح کا کچھ حصہ.

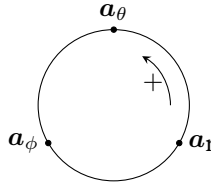


شکل 1.29: (الف) تین عمودی سطحوں کے ملاپ سے نقطہ N کا حصول. (ب) کروی محدود کے تین عمودی اکائی سمتیات.

شکل 1.28-الف میں کروی محدود کے متغیرات r, θ اور ϕ دکھائے گئے ہیں۔ محدود کے مرکز سے نقطہ N تک کے فاصلے r کو کروی رداس پکارا جاتا ہے جبکہ z محدود سے کروی رداس تک زاویے کو θ لکھا جاتا ہے۔ x محدود سے رداس کے عمودی سائے تک زاویہ ϕ ہے۔ کروی اور نیکی نظام میں ϕ یکساں بیان کیا جاتا ہے۔ رداس کی قیمت مثبت لی جاتی ہے۔ یوں $r \geq 0$ ممکن ہے۔ θ کی کم سے کم قیمت 0° اور زیادہ سے زیادہ قیمت 180° ہے جبکہ ϕ کی کم سے کم قیمت 0° اور زیادہ سے زیادہ قیمت 360° ہے۔

r اور ϕ تبدیل کئے بغیر θ کو 0 سے بڑھاتے ہوئے π ریڈیئن کرنے سے نقطہ N شکل 1.28-الف میں نقطہ دار لکیر پر چلتے ہوئے مثبت z محدود سے شروع ہو کر منفی z محدود پر پہنچتا ہے۔ اسے نقطہ دار لکیر کو کرہ ارض کے خط طول بلد²⁶ تصور کیا جاسکتا ہے۔ شکل-الف میں θ کا 0° تا 90° تبدیل ہوتا دکھایا گیا ہے۔ اسی طرح r اور θ تبدیل کئے بغیر ϕ کو 0° تا 360° تبدیل کرنے سے نقطہ N گول دائرے پر z محدود کے گرد ایک چکر کاٹے گا۔ یہ حرکت کرہ ارض کے خط عرض بلد²⁷ پر چلنے کے مانند ہے۔ θ اور ϕ تبدیل کئے بغیر r کو تبدیل کرنے سے نقطہ N مرکز سے سیدھی باہر نکلتی لکیر پر حرکت کرتا ہے۔

r تبدیل کئے بغیر θ کو 0° تا 180° اور ϕ کو 0° تا 360° تبدیل کرنے سے نقطہ N کروی $r = r_0$ سطح پر حرکت کرے گا۔ اس کروی سطح کا رداس r ہو گا۔ شکل 1.28-الف میں θ کو 0° تا 90° اور ϕ کو 0° تا 90° تبدیل کرنے سے حاصل سطح دکھائی گئی ہے۔ شکل 1.28-ب میں θ تبدیل کئے بغیر ϕ اور θ تبدیل کرنے سے پیدا مخروط $\theta = \theta_0$ کروی سطح دکھائی گئی ہے۔ ϕ تبدیل کئے بغیر r اور θ تبدیل کرنے سے نیکی محدود کی طرح $\phi = \phi_0$ سطح حاصل ہوتی ہے۔ شکل 1.29-الف میں ان تینوں سطحوں کو دکھایا گیا ہے۔ بالکل کارتیسی اور نیکی محدود کی طرح، کسی بھی نقطہ $N(r_0, \theta_0, \phi_0)$ کا مقام ان تین



شکل 1.30: کروی نظام میں اکائی سمتیات کی صلیبی ضرب۔

سطحوں کے نقطہ ملاپ سے اخذ کیا جاتا ہے۔ کسی بھی نقطہ $N(r_0, \theta_0, \phi_0)$ پر $r = r_0, \theta = \theta_0$ اور $\phi = \phi_0$ سطحیں آپس میں عمودی ہوتی ہے اور یہ صرف اور صرف اسی نقطے پر اکٹھے ملتی ہیں۔

451

شکل 1.29-ب میں کروی نظام کے تین عمودی اکائی سمتیات a_r, a_θ اور a_ϕ دکھائے گئے ہیں۔ ٹکلی محدود کی طرح کروی محدود کے عمودی اکائی سمتیات بھی مقام تبدیل کرنے سے تبدیل ہوتے ہیں۔ کسی بھی نقطہ $N(r_0, \theta_0, \phi_0)$ پر θ اور ϕ تبدیل کئے بغیر r کے بڑھتے جانب اکائی سمتیہ a_r ہو گی۔ اسی طرح θ بڑھانے سے نقطہ N اکائی سمتیہ a_θ کی جانب حرکت کرے گا جبکہ ϕ بڑھانے سے نقطہ a_ϕ کی جانب حرکت کرے گا۔ کارٹیزی اور ٹکلی محدود کی طرح کروی محدود کے اکائی سمتیات کو بھی محدودی نظام کے متغیرات کو کم سے کم بڑھاتے ہوئے نقطے کی حرکت کی جانب اکائی سمتیہ کھینچنے سے حاصل کیا جاتا ہے۔

456

شکل 1.29-الف سے واضح ہے کہ a_r سمتیہ $r = r_0$ سطح کے عمودی جبکہ $\theta = \theta_0$ اور $\phi = \phi_0$ سطحوں کے متوازی ہے۔ اسی طرح a_θ سمتیہ $\theta = \theta_0$ سطح کے عمودی اور $\phi = \phi_0$ سطح کے متوازی پایا جاتا ہے جبکہ $r = r_0$ سطح کے ساتھ مماس بناتا ہے۔ a_ϕ سمتیہ $\phi = \phi_0$ سطح کے عمودی جبکہ $r = r_0$ اور $\theta = \theta_0$ سطحوں کے ساتھ مماس بناتا ہے۔

459

a_r, a_θ اور a_ϕ کروی نظام کے اکائی سمتیات ہیں۔ $a_r \times a_\theta = a_\phi$ لکھنے سے دائیں ہاتھ کا کروی نظام حاصل ہوتا ہے۔ دائیں ہاتھ کے قانون میں دائیں ہاتھ کا انگوٹھا r جبکہ پہلی انگلی θ اور دوسری انگلی ϕ بڑھانے سے پیدا حرکت کی سمتوں کو ظاہر کرتے ہیں۔ ٹکلی محدود میں یہ انگلیاں ρ, ϕ اور z جبکہ کارٹیزی محدود میں x, y اور z بڑھانے سے پیدا حرکت کی سمتوں کو ظاہر کرتی ہیں۔

462

دائیں ہاتھ کے قانون یا شکل 1.30 کی مدد سے یوں اکائی سمتیات کے صلیبی ضرب

463

$$(1.45) \quad a_r \times a_\theta = a_\phi, \quad a_\theta \times a_\phi = a_r, \quad a_\phi \times a_r = a_\theta$$

لکھے جاسکتے ہیں۔ اسی طرح

$$(1.46) \quad a_r \cdot a_r = 1, \quad a_\theta \cdot a_\theta = 1, \quad a_\phi \cdot a_\phi = 1$$

اور

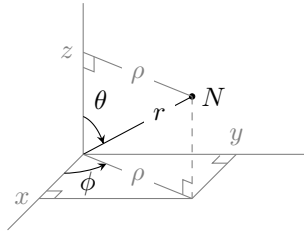
$$(1.47) \quad a_r \cdot a_\theta = 0, \quad a_\theta \cdot a_\phi = 0, \quad a_\phi \cdot a_r = 0$$

بھی لکھے جاسکتے ہیں۔

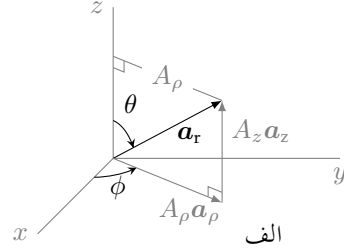
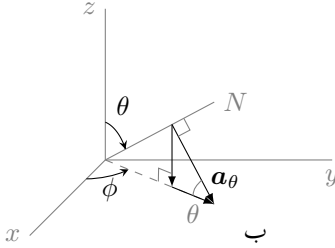
464

نقطہ N کا z محدود سے فاصلہ ρ ہے جو ٹکلی محدود کا رداس ہے۔ اسے شکل 1.31 میں دکھایا گیا ہے جہاں سے واضح ہے کہ $\rho = r \sin \theta$ کے برابر ہے۔ اسی طرح $z = 0$ سطح سے N کی اونچائی z ہے جو شکل کو دیکھتے ہوئے $z = r \cos \theta$ لکھی جاسکتی ہے۔ نقطہ N کا عمودی سایہ $z = 0$ سطح پر دکھایا گیا ہے جہاں سے واضح ہے کہ $x = \rho \cos \phi$ اور $y = \rho \sin \phi$ لکھے جاسکتے ہیں۔ $\rho = r \sin \theta$ پُر کرنے سے

$$(1.48) \quad \begin{aligned} x &= r \sin \theta \cos \phi \\ y &= r \sin \theta \sin \phi \\ z &= r \cos \theta \end{aligned}$$



شکل 1.31: کروی، نلکی اور کارتیسی متغیرات کا تبادلہ۔



شکل 1.32: کروی اکائی سمتیات کا کارتیسی نظام میں تبادلہ۔

لکھے جاسکتے ہیں جہاں z کی مساوات بھی ساتھ ہی لکھی گئی ہے۔ مساوات 1.48 کروی سے کارتیسی متغیرات دیتا ہے۔ اسی شکل کو دیکھتے ہوئے مسئلہ فیثاغورث کی مدد سے

$$\begin{aligned} r^2 &= \rho^2 + z^2 \\ \rho^2 &= x^2 + y^2 \end{aligned} \quad (1.49)$$

لکھتے ہوئے

$$r^2 = x^2 + y^2 + z^2 \quad (1.50)$$

حاصل ہوتا ہے۔ مساوات 1.48 میں z کی مساوات سے

$$\theta = \cos^{-1} \frac{z}{r} = \cos^{-1} \frac{z}{\sqrt{x^2 + y^2 + z^2}} \quad (1.51)$$

لکھا جاسکتا ہے۔ اسی طرح مساوات 1.48 کے y کو x سے تقسیم کرتے ہوئے

$$\phi = \tan^{-1} \frac{y}{x} \quad (1.52)$$

حاصل ہوتا ہے۔ مساوات 1.50، مساوات 1.51 اور مساوات 1.52 کارتیسی سے کروی متغیرات دیتے ہیں۔

شکل 1.29-ب میں نقطہ N پر اکائی سمتیات دکھائے گئے ہیں۔ a_r کی سمت تبدیل کئے بغیر اسے محد کے مرکز پر منتقل کرتے ہوئے شکل 1.32-الف میں دکھایا گیا ہے جہاں سے ظاہر ہے کہ اسے نلکی محد کے اکائی سمتیات کی مدد سے

$$a_r = A_\rho a_\rho + A_z a_z \quad (1.53)$$

لکھا جاسکتا ہے۔ شکل 1.32-الف میں a_r کی لمبائی ایک لیتے ہوئے $A_\rho = \sin \theta$ اور $A_z = \cos \theta$ لکھا جاسکتا ہے۔ یوں

$$a_r = \sin \theta a_\rho + \cos \theta a_z \quad (1.54)$$

حاصل ہوتا ہے۔ اس مساوات کا باری باری a_ρ, a_ϕ اور a_z کے ساتھ غیر سمتی ضرب لیتے ہوئے

$$\begin{aligned} a_r \cdot a_\rho &= (\sin \theta a_\rho + \cos \theta a_z) \cdot a_\rho = \sin \theta \\ a_r \cdot a_\phi &= (\sin \theta a_\rho + \cos \theta a_z) \cdot a_\phi = 0 \\ a_r \cdot a_z &= (\sin \theta a_\rho + \cos \theta a_z) \cdot a_z = \cos \theta \end{aligned} \quad (1.55)$$

حاصل ہوتا ہے جہاں $a_z \cdot a_\rho = 0, a_\rho \cdot a_\rho = 1$ وغیرہ کا استعمال کیا گیا۔ یہ مساوات کروی رداسی اکائی سمتیہ اور تکلی نظام کے اکائی سمتیات کے تمام ممکنہ غیر سمتی ضرب دیتا ہے۔ اسی طرح جدول 1.1 استعمال کرتے ہوئے مساوات 1.54 کا باری باری a_x اور a_y کے ساتھ غیر سمتی ضرب لیتے ہوئے

$$\begin{aligned} a_r \cdot a_x &= (\sin \theta a_\rho + \cos \theta a_z) \cdot a_x = \sin \theta \cos \phi \\ a_r \cdot a_y &= (\sin \theta a_\rho + \cos \theta a_z) \cdot a_y = \sin \theta \sin \phi \\ a_r \cdot a_z &= (\sin \theta a_\rho + \cos \theta a_z) \cdot a_z = \cos \theta \end{aligned} \quad (1.56)$$

حاصل ہوتا ہے۔ مکمل نتائج ایک جگہ لکھنے کی خاطر مندرجہ بالا مساوات میں $a_r \cdot a_z$ کو بھی شامل کیا گیا ہے۔ یہ مساوات کروی رداسی سمتیہ اور کارٹیزی اکائی سمتیات کے تمام ممکنہ غیر سمتی ضرب دیتا ہے۔

a_r کو کارٹیزی نظام میں لکھنے کی خاطر $a_r = A = A_x a_x + A_y a_y + A_z a_z$ لکھتے ہیں۔ مساوات 1.38 کے مطابق $A_x = a_x \cdot a_r$ جبکہ $A_y = a_y \cdot a_r$ اور $A_z = a_z \cdot a_r$ ہوں گے۔ یہ تمام مساوات 1.56 میں دئے گئے ہیں۔ یوں

$$a_r = \sin \theta \cos \phi a_x + \sin \theta \sin \phi a_y + \cos \theta a_z \quad (1.57)$$

لکھا جاسکتا ہے۔

شکل 1.29-ب میں دکھائے a_θ کو $\phi = \phi_0$ سطح پر حرکت دیتے ہوئے مرکز کے اتنے قریب لاکر شکل 1.32-ب میں دکھایا گیا ہے کہ اس کی نوک $x = 0$ سطح کو چھوتی ہے۔ جیسا شکل 1.29-الف سے واضح ہے، $\phi = \phi_0$ سطح پر a_θ کو حرکت دینے سے اس سمتیہ کی سمت تبدیل نہیں ہوتی۔ شکل 1.32-ب کو دیکھتے ہوئے $a_\theta = B_\rho a_\rho - B_z a_z$ لکھا جاسکتا ہے۔ یہاں رک کر تسلی کر لیں کہ $B_\rho a_\rho$ اور a_θ کے مابین زاویہ θ ہے۔ $B_\rho a_\rho, a_\theta$ اور $-B_z a_z$ مل کر تکون بناتے ہیں جسے دیکھتے ہوئے مسئلہ فیثاغورث کی مدد سے

$$B_\rho = \cos \theta$$

$$B_z = \sin \theta$$

لکھا جاسکتا ہے۔ یوں

$$a_\theta = \cos \theta a_\rho - \sin \theta a_z \quad (1.58)$$

کے برابر ہے۔ اس مساوات کا باری باری a_ρ, a_ϕ اور a_z کے ساتھ غیر سمتی ضرب لینے سے

$$\begin{aligned} a_\theta \cdot a_\rho &= (\cos \theta a_\rho - \sin \theta a_z) \cdot a_\rho = \cos \theta \\ a_\theta \cdot a_\phi &= (\cos \theta a_\rho - \sin \theta a_z) \cdot a_\phi = 0 \\ a_\theta \cdot a_z &= (\cos \theta a_\rho - \sin \theta a_z) \cdot a_z = -\sin \theta \end{aligned} \quad (1.59)$$

a_θ اور تکلی اکائی سمتیات کے تمام غیر سمتی ضرب حاصل ہوتے ہیں۔ اسی طرح مساوات 1.58 کا باری باری a_x, a_y اور a_z کے ساتھ غیر سمتی ضرب لینے سے

$$\begin{aligned} a_\theta \cdot a_x &= (\cos \theta a_\rho - \sin \theta a_z) \cdot a_x = \cos \theta a_\rho \cdot a_x = \cos \theta \cos \phi \\ a_\theta \cdot a_y &= (\cos \theta a_\rho - \sin \theta a_z) \cdot a_y = \cos \theta a_\rho \cdot a_y = \cos \theta \sin \phi \\ a_\theta \cdot a_z &= (\cos \theta a_\rho - \sin \theta a_z) \cdot a_z = -\sin \theta a_z \cdot a_z = -\sin \theta \end{aligned} \quad (1.60)$$

جدول 1.2: کروی اکائی سمتیات کا نلکی اکائی سمتیات کے ساتھ غیر سمتی ضرب۔

a_z	a_ϕ	a_ρ	
$\cos \theta$	0	$\sin \theta$	a_r
$-\sin \theta$	0	$\cos \theta$	a_θ
0	1	0	a_ϕ

جدول 1.3: کروی اکائی سمتیات کا کارٹیزیائی سمتیات کے ساتھ غیر سمتی ضرب۔

a_z	a_y	a_x	
$\cos \theta$	$\sin \theta \sin \phi$	$\sin \theta \cos \phi$	a_r
$-\sin \theta$	$\cos \theta \sin \phi$	$\cos \theta \cos \phi$	a_θ
0	$\cos \phi$	$-\sin \phi$	a_ϕ

حاصل ہوتے ہیں۔ یہ مساوات a_θ اور کارٹیزیائی اکائی سمتیات کے تمام غیر سمتی ضرب دیتا ہے۔

a_θ کو کارٹیزیائی نظام میں لکھنے کی خاطر $a_\theta = A = A_x a_x + A_y a_y + A_z a_z$ لکھتے ہیں۔ مساوات 1.38 کے مطابق $A_x = a_x \cdot a_\theta$ جبکہ $A_y = a_y \cdot a_\theta$ اور $A_z = a_z \cdot a_\theta$ ہوں گے۔ یہ تمام مساوات 1.60 میں دئے گئے ہیں۔ یوں

$$(1.61) \quad a_\theta = \cos \theta \cos \phi a_x + \cos \theta \sin \phi a_y - \sin \theta a_z$$

لکھا جاسکتا ہے۔

کروی محدود a_ϕ اور نلکی محدود a_ϕ یکساں ہیں۔ اسے کارٹیزیائی نظام میں

$$(1.62) \quad a_\phi = -\sin \phi a_x + \cos \phi a_y$$

لکھا جاتا ہے۔ اس مساوات کا a_x ، a_y اور a_z کے ساتھ غیر سمتی ضرب لیتے ہوئے

$$(1.63) \quad \begin{aligned} a_\phi \cdot a_x &= -\sin \phi \\ a_\phi \cdot a_y &= \cos \phi \\ a_\phi \cdot a_z &= 0 \end{aligned}$$

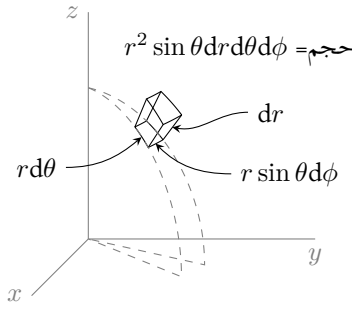
لکھا جاسکتا ہے۔

مساوات 1.55 اور مساوات 1.59 کے نتائج کے ساتھ a_ϕ کے مختلف غیر سمتی ضربوں کو جدول 1.2 میں یکجا کیا گیا ہے۔

مساوات 1.56 اور مساوات 1.60 کے نتائج جدول 1.3 میں یکجا کئے گئے ہیں۔

شکل 1.29 میں $N(r, \theta, \phi)$ پر تین عمودی سطحیں دکھائی گئی ہیں۔ اگر کروی محدود کے متغیرات dr ، $d\theta$ اور $d\phi$ بڑھا کر دوبارہ تین عمودی سطحیں کھینچی جائیں تو یہ چھ سطحیں مل کر چھوٹا مخرف مکعب نما حجم گھیریں گی جسے شکل 1.33 میں دکھایا گیا ہے۔ a_r سمت میں مکعب کے چار اطراف کی لمبائیاں dr ہے۔ a_θ سمت میں z محدود کے قریبی دو اطراف کی لمبائیاں $r d\theta$ جبکہ دو دور اطراف کی لمبائیاں $(r + dr) d\theta$ ہے جسے دو اجزاء کی صورت میں یوں $r d\theta + dr d\theta$ لکھا جاسکتا ہے۔ دور اطراف کے لمبائی کا پہلا جزو ہو بہو قریبی اطراف کی لمبائی ہے جبکہ اس کا دوسرا جزو دور اور قریبی اطراف کے لمبائیوں میں فرق کو ظاہر کرتی ہے۔ ان دو اجزاء کی نسبت $\frac{dr}{r} = \frac{dr d\theta}{r d\theta}$ کے برابر ہے۔ dr کو کم سے کم 29 کرتے ہوئے اس نسبت کو کم سے کم کیا جاسکتا ہے۔ ایسا ہی کرتے ہوئے ہم $dr d\theta$ کو رد کرتے ہوئے ان چاروں اطراف کی لمبائیاں $r d\theta$ ہی لیتے ہیں۔ اسی طریقہ کار سے a_ϕ اطراف کی

²⁹ کسی بھی متغیرہ r میں چھوٹی سی تبدیلی Δr لکھا جاتا ہے جبکہ اس میں کم سے کم تبدیلی کو dr لکھا جاتا ہے۔ dr کو تقریباً صفر سمجھا جا سکتا ہے یعنی $dr \rightarrow 0$ ہوتا ہے۔



شکل 1.33: کروی نظام میں چھوٹی حجم۔

لمبائیاں $r \sin \theta d\phi$ لکھی جاسکتی ہے۔ منحرف مکعب نما کے اطراف میں معمولی فرق کو نظر انداز کرتے ہوئے اسے مکعب نما تصور کیا جاسکتا ہے جس کے $r = r_0$ سطحوں کا رقبہ $r^2 \sin \theta d\theta d\phi$ جبکہ $\theta = \theta_0$ سطحوں کا رقبہ $r \sin \theta dr d\phi$ اور $\phi = \phi_0$ سطحوں کا رقبہ $r dr d\theta$ ہو گا۔ اس مکعب کا حجم $r^2 \sin \theta dr d\theta d\phi$ ہو گا۔

شکل 1.33 میں کروی محدود کے تینوں متغیرات تبدیل کرتے ہوئے ہم چھوٹے مکعب کے $N(r, \theta, \phi)$ کو $N'(r + dr, \theta + d\theta, \phi + d\phi)$ سے تبدیل کرنے کے لیے N سے N' تک سمتیہ کو

$$(1.64) \quad d\mathbf{L} = dr \mathbf{a}_r + r d\theta \mathbf{a}_\theta + r \sin \theta d\phi \mathbf{a}_\phi$$

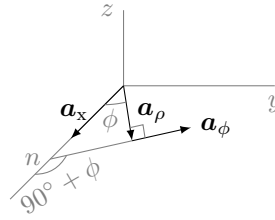
لکھا جاتا ہے۔ یہ مساوات کسی بھی دو قریبی نقطوں کے درمیان سمتی فاصلہ دیتا ہے۔

کسی بھی مکمل بند سطح کی سمت، سطح کے عمودی باہر جانب لی جاتی ہے۔ شکل 1.33 میں $r = r_0$ سطح مرکز کا قریبی سطح ہے۔ اس سطح کے دو آپس میں الٹ عمودی اطراف \mathbf{a}_r ہیں جن میں $-\mathbf{a}_r$ بند سطح کی بیرونی سمت کو ظاہر کرتا ہے لہذا یہی اس سطح کی درست سمت ہے۔ اس کے برعکس $r = r_0 + dr$ سطح مرکز سے دور تر ہے۔ اس سطح کے بھی دو آپس میں الٹ عمودی سمتیں \mathbf{a}_r ہیں جن میں \mathbf{a}_r سطح کی درست سمت ہے۔ یوں $r = r_0$ سطح کا سمتی رقبہ $r^2 \sin \theta d\theta d\phi \mathbf{a}_r$ جبکہ $r = r_0 + dr$ سطح کا سمتی رقبہ $-r^2 \sin \theta d\theta d\phi \mathbf{a}_r$ ہے۔ اسی طرح $\theta = \theta_0$ سطح کا سمتی رقبہ $-r \sin \theta dr d\phi \mathbf{a}_\theta$ جبکہ $\theta = \theta_0 + d\theta$ سطح کا سمتی رقبہ $r \sin \theta dr d\phi \mathbf{a}_\theta$ ہو گا۔ $\phi = \phi_0$ سطح کا سمتی رقبہ $-r dr d\theta \mathbf{a}_\phi$ اور $\phi = \phi_0 + d\phi$ سطح کا سمتی رقبہ $r dr d\theta \mathbf{a}_\phi$ ہو گا۔

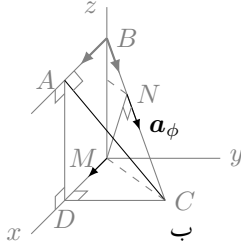
مشق 1.6: شکل 1.33 میں سمت میں مرکز کے قریبی اور دور اطراف کی لمبائیاں لکھیں۔

جوابات: $r \sin(\theta + d\theta) d\phi$ ، $r \sin \theta d\phi$ اور $(r + dr) \sin(\theta + d\theta) d\phi$

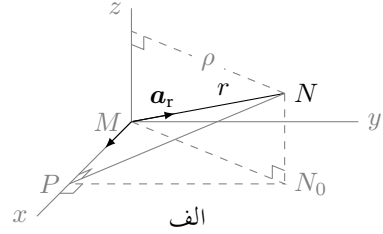
مثال 1.9: دو اکائی سمتیات \mathbf{a}_1 اور \mathbf{a}_2 کا غیر سمتی ضرب $\cos \alpha_{12} (1)(1) = \mathbf{a}_1 \cdot \mathbf{a}_2$ یعنی ان کے مابین زاویے α_{12} کے کو سائن کے برابر ہوتا ہے۔ غیر سمتی ضرب کے اس تعریف کو استعمال کرتے ہوئے $\mathbf{a}_x \cdot \mathbf{a}_y$ ، $\mathbf{a}_y \cdot \mathbf{a}_z$ ، $\mathbf{a}_z \cdot \mathbf{a}_x$ اور $\mathbf{a}_x \cdot \mathbf{a}_x$ حاصل کریں۔



شکل 1.34: کارتیسی اور نلکی اکائی سمتیات کا غیر سمتی ضرب۔



شکل 1.35: کروی اور کارتیسی اکائی سمتیات کا غیر سمتی ضرب۔



حل: شکل 1.34 میں a_x اور a_ρ کے درمیان زاویہ ϕ جبکہ a_y اور a_ρ کے درمیان زاویہ $90^\circ - \phi$ پایا جاتا ہے لہذا $a_x \cdot a_\rho = \cos \phi$ اور $a_y \cdot a_\rho = \cos(90^\circ - \phi) = \sin \phi$ کے برابر ہیں۔ a_x اور a_ϕ کی سمتیں تبدیل کئے بغیر اگر انہیں یوں ہلایا جائے کہ ان کی ڈم نقطہ پر آٹھرے تو شکل سے ظاہر ہے کہ ان کے مابین زاویہ $90^\circ + \phi$ ہے۔ یوں $a_x \cdot a_\phi = \cos(90^\circ + \phi) = -\sin \phi$ کے برابر ہے۔ اسی طرح a_y اور a_ϕ کے درمیان ϕ زاویہ ہونے کی بنا پر $a_y \cdot a_\phi = \cos \phi$ کے برابر ہے۔ چونکہ a_z ان دونوں نلکی اکائی سمتیات کے عمودی ہے لہذا ان کا غیر سمتی ضرب صفر کے برابر ہو گا۔

501

502

503

مثال 1.10: مثال 1.9 کے طرز پر a_x, a_y, a_z کے ساتھ غیر سمتی ضرب حاصل کریں۔

504

حل: شکل 1.35-الف میں نقطہ $N(r, \theta, \phi)$ دکھایا گیا ہے جسے $N(x, y, z)$ بھی لکھا جاسکتا ہے۔ شکل میں a_r اور a_x بھی دکھائے گئے ہیں۔ شکل سے ظاہر ہے کہ $a_x \cdot a_r = \cos \angle NMP$ کے برابر ہے جہاں N اور P سے M تک لکیریں کھینچنے سے زاویہ $\angle NMP$ بنتا ہے۔ N سے $z = 0$ سطح پر عمود نقطہ N_0 دیتا ہے۔ N_0 سے x محدد پر عمود نقطہ P دیتا ہے۔ N سے N_0 اور یہاں سے P منتقل ہوتے ہوئے a_x سمت میں کسی قسم کی حرکت نہیں کی جاتی لہذا اگر کارتیسی نظام میں $N(x, y, z)$ لکھا جائے تو اسی نظام میں $N_0(x, y, 0)$ اور $P(x, 0, 0)$ لکھے جائیں گے۔ ہم N سے x محدد پر عمود بناتے ہوئے بھی P تک پہنچ سکتے ہیں۔ تھون NMP میں M سے N تک کا فاصلہ $\overline{MN} = r$ جبکہ M سے P تک کا فاصلہ $\overline{MP} = x$ اور زاویہ $\angle NPM = 90^\circ$ ہیں لہذا $\cos \angle NMP = \frac{x}{r}$ ہو گا۔ یہی a_x اور a_r کے غیر سمتی ضرب کے برابر ہے۔ N سے y محدد پر عمود بناتے ہوئے یوں $a_y \cdot a_r = \frac{y}{r}$ اور N سے z محدد پر عمود سے $a_z \cdot a_r = \frac{z}{r}$ لکھے جاسکتے ہیں۔ چونکہ $x = r \sin \theta \cos \phi$ ، $y = r \sin \theta \sin \phi$ اور $z = r \cos \theta$ کے برابر ہیں لہذا ہم

$$a_r \cdot a_x = \frac{x}{r} = \sin \theta \cos \phi$$

$$a_r \cdot a_y = \frac{y}{r} = \sin \theta \sin \phi$$

$$a_r \cdot a_z = \frac{z}{r} = \cos \theta$$

لکھ سکتے ہیں۔

505

506

507

508

مثال 1.11: مثال 1.9 کے طرز پر a_θ کا a_x کے ساتھ غیر سمتی ضرب حاصل کریں۔

حل: شکل 1.35-ب میں نقطہ N پر اکائی سمتیہ a_θ جبکہ محدود کے مرکز M پر a_x دکھائے گئے ہیں۔ $a_\theta \cdot a_x$ حاصل کرنے کی خاطر سمتیات کی سمت تبدیل کئے بغیر انہیں z محدود پر نقطہ B منتقل کرتے ہوئے دوبارہ دکھایا گیا ہے جہاں سے واضح ہے کہ $a_\theta \cdot a_x = \cos \angle ABC$ کے برابر ہے۔ اس شکل میں $\angle DMC = \phi$ اور $\angle BMN = \theta$ کر دی محدود کے زاویے ہیں۔ ٹکون $\triangle BMN$ میں زاویہ $\angle MNB$ نوے درجے کا ہے۔ یوں $\angle NBM = 90^\circ - \theta$ ہو گا۔ شکل سے واضح ہے کہ $\angle NBM = \angle CBM$ ہیں۔ اس طرح ٹکون $\triangle BMC$ میں $\angle BMC = 90^\circ$ جبکہ $\angle CBM = 90^\circ - \theta$ ہونے کی بنا پر $\angle MCB = \theta$ ہو گا۔

513

شکل-ب میں $\overline{BM} = l$ لیتے ہوئے ٹکون $\triangle BMC$ کو دیکھتے ہوئے

$$\overline{BC} = \frac{l}{\sin \theta}$$

$$\overline{MC} = \frac{l}{\tan \theta}$$

لکھا جاسکتا ہے۔ ٹکون $\triangle MDC$ سے

$$\overline{MD} = \overline{MC} \cos \phi = \frac{l \cos \phi}{\tan \theta}$$

لکھا جاسکتا ہے۔ شکل سے واضح ہے کہ \overline{MD} اور \overline{AB} برابر ہیں یعنی $\overline{AB} = \overline{MD}$ یوں ٹکون $\triangle BAC$ سے

$$\cos \angle ABC = \frac{\overline{AB}}{\overline{BC}} = \frac{\left(\frac{l \cos \phi}{\tan \theta} \right)}{\left(\frac{l}{\sin \theta} \right)} = \cos \theta \cos \phi$$

514

حاصل ہوتا ہے۔ یوں $a_r \cdot a_x = \cos \theta \cos \phi$ لکھا جاسکتا ہے۔

515

516

517

مشق 1.7: شکل 1.35-ب کے طرز پر شکل بناتے ہوئے $a_\theta \cdot a_y$ اور $a_\theta \cdot a_x$ حاصل کریں۔

518

جوابات: $\sin \phi \cos \theta$ اور $-\sin \theta$

519

سوالات

سوال 1.1: سمتیہ $A = -2a_x + 1a_y + 7a_z$ اور $B = 3a_x + 5a_y - 2a_z$ ہیں۔ مندرجہ ذیل حاصل کریں: (الف) $2A - 3B$ اور اسی کی سمت میں اکائی سمتیہ: (ب) $2A - 5B + 3a_x$ ؛ (پ) $(B - A) \cdot |3A|$

جوابات: $1359a_x + 1087a_y + 1359a_z$ ، 28.3 ، $-0.648a_x - 0.648a_y - 0.399a_z$ ، $-13a_x - 13a_y + 8a_z$

سوال 1.2: نقطہ $A(1, -2, 3)$ ، $B(3, -1, 2)$ اور $C(7, 5, -4)$ دیے گئے ہیں۔ (الف) محدود کے مرکز سے A تک سمتیہ لکھیں؛ (ب) مرکز سے لکیر AB کے وسط تک سمتیہ لکھیں؛ (پ) اسی سمت میں اکائی سمتیہ لکھیں؛ (ت) ٹکون ABC کا احاطہ دریافت کریں۔

جوابات: 23.4 ، $0.566a_x - 0.424a_y - 0.707a_z$ ، $2a_x - 1.5a_y + 2.5a_z$ ، $a_x - 2a_y + 3a_z$

سوال 1.3: مرکز سے نقطہ A تک سمتیہ $2a_x + a_y + 3a_z$ ہے جبکہ مرکز سے $\frac{2}{3}a_x - \frac{2}{3}a_y + \frac{1}{3}a_z$ اکائی سمتیہ کی سمت میں نقطہ B پایا جاتا ہے۔ دونوں نقطوں کے درمیان 4 فاصلہ ہونے کی صورت میں نقطہ B دریافت کریں۔

جوابات: $(2.57, -2.57, 1.28)$

سوال 1.4: سمتی میدان $M = (x + y^2)a_x + 2(xy + 3)a_y + 4z^2a_z$ دیا گیا ہے۔ نقطہ $A(2, -3, 1)$ پر اس میدان کی قیمت حاصل کریں۔ اسی نقطہ پر میدان کی سمت میں اکائی سمتیہ دریافت کریں۔ ایسی سطح جس پر $|M| = 5$ ہو کی مساوات حاصل کریں۔ اس سطح پر $\frac{y}{x} = 2$ اور $z = -1$ ہونے کی صورت میں حاصل لکیر کی مساوات حاصل کریں۔

جوابات: $M = 11a_x - 6a_y + 4a_z$ ، $(0.836a_x - 0.456a_y + 0.304a_z)$ ، $17x^2 + 56x + 9 = 0$ ، $x^2 + y^2 + 2xy^2 + 4x^2y^2 + 24xy + 16z^4 - 11 = 0$

سوال 1.5: سمتی میدان $B = 2x^2a_x - 3y(x + 2z)a_y + 5a_z$ اور $M = (x + y + z)a_x + \frac{y}{x}a_y + xy a_z$ دیے گئے ہیں۔ نقطہ $N(2, -3, -1)$ پر B اور M حاصل کریں۔ اسی نقطہ پر سمتیہ $2B - M$ کی سمت میں اکائی سمتیہ حاصل کریں۔

جوابات: $0.830a_x + 0.069a_y + 0.553a_z$ ، $M = -2a_x - 1.5a_y - 2a_z$ ، $B = 8a_x + 5a_z$

سوال 1.6: نقطہ $N(2, -3, 7)$ پر میدان $M = \frac{16}{x^2 + y^2}(xa_x + ya_y)$ کی سمت میں اکائی سمتیہ a_M دریافت کریں۔ نقطہ N پر a_M اور a_N کے درمیان زاویہ حاصل کریں۔

جوابات: 33.7° ، 56.3° ، $a_M = 0.555a_x - 0.832a_y$

سوال 1.7: میدان $M = \frac{16}{x^2 + y^2}(xa_x + ya_y)$ کا مندرجہ ذیل دو درجہ تکمیل $y = 3$ سطح پر حاصل کریں۔

$$\int_0^3 \int_0^2 M \, dx \, dz \cdot a_x$$

جواب: $24 \ln \frac{13}{9}$

سوال 1.8: غیر سمتی ضرب استعمال کرتے ہوئے ٹکون ABC میں زاویہ A اور C حاصل کریں۔ ٹکون کے کونے $A(3, 1, 2)$ ، $B(4, 6, 2)$ اور $C(1, 4, -2)$ ہیں۔

جوابات: 61.74° ، 56.51°

سوال 1.9: نقطے $A(4, 1, 2)$ ، $B(-2, 4, 3)$ اور $C(2, 3, -1)$ دیے گئے ہیں۔ سمتیہ R_{BA} اور R_{CA} حاصل کریں۔ دوسری سمتیہ پر پہلی سمتیہ کے عمودی سائے³⁰ کی لمبائی دریافت کریں۔ لکیر AB کے درمیانے نقطے سے لکیر AC کے درمیانے نقطے تک سیدھا سمتیہ حاصل کریں۔

جوابات: $2a_x - 0.5a_y - 2a_z$ ، 4.12 ، $-2a_x + 2a_y - 3a_z$ ، $-6a_x + 3a_y + a_z$

سوال 1.10: سمتیہ $M = 5a_x - 3a_y + 2a_z$ کا وہ حصہ حاصل کریں جو سمتیہ $P = -7a_x + 2a_y - 6a_z$ کے متوازی ہے۔ وہ حصہ حاصل کریں جو اس کے عمودی ہے۔

جوابات: $0.83a_x - 1.81a_y - 1.57a_z$ ، $4.17a_x - 1.19a_y + 3.57a_z$

سوال 1.11: تین سمتیات $r_1 = 2a_x - 1a_y + 3a_z$ ، $r_2 = -3a_x + 4a_y - 5a_z$ اور $r_3 = 5a_x - 2a_y + 3a_z$ دیے گئے ہیں۔ $r_1 \times r_2$ کی سمت میں اکائی سمتیہ حاصل کریں۔ ایسی اکائی سمتیہ حاصل کریں جو r_1 اور r_2 دونوں کو عمودی ہو۔ سمتیہ $r_2 - r_1$ اور r_3 دونوں کو عمودی اکائی سمتیہ حاصل کریں۔ اس ٹکون کا رقبہ حاصل کریں جس کے کھونے یہ تین سمتیات دیتے ہیں۔

جوابات: $0.29a_x + 0.88a_y + 0.37a_z$ ، $(-0.81a_x + 0.16a_y + 0.58a_z)$ ، $-0.81a_x + 0.16a_y + 0.58a_z$ ، 4.3 ، 13.6

سوال 1.12: نقطہ $N(5, 10, 4)$ پر سمتیات $R_{AN} = -3a_x + 6a_y + 12a_z$ اور $R_{BN} = 12a_x + 20a_y - 5a_z$ مل کر ٹکون بناتی ہیں۔ ٹکون کی عمودی اکائی سمتیہ حاصل کریں۔ سمتیہ R_{BN} کے عمودی اور ٹکون کی سطح کے متوازی اکائی سمتیہ حاصل کریں۔ ٹکون کی سطح پر اس اکائی سمتیہ کو حاصل کریں جو نقطہ N پر ٹکون کے کونے کو نصف زاویہ میں کاٹے۔

جوابات: $0.19a_x + 0.87a_y + 0.45a_z$ ، $(0.26a_x - 0.38a_y - 0.89a_z)$ ، $(-0.83a_x + 0.39a_y - 0.40a_z)$

سوال 1.13: سمتیہ $M = (x^2 + y^2)^{-1}(xa_x + ya_y)$ کو ٹکلی محدود کے متغیرات میں لکھیں۔ نقطہ $(5, 30^\circ, 6)$ پر سمتیہ کی قیمت کار تینسی اور ٹکلی محدود میں حاصل کریں۔

جوابات: $M = \frac{1}{5}a_\rho$ ، $M = 0.41a_x + 0.29a_y$ ، $M = \frac{1}{\rho}a_\rho$

سوال 1.14: نقطہ $N(\rho = 2, \phi = 45^\circ, z = 12)$ اور $P(\rho = 5, \phi = -60^\circ, z = -6)$ دیے گئے ہیں۔ کار تینسی محدود میں، پہلے نقطے سے دوسرے نقطے کی جانب اکائی سمتیہ حاصل کریں۔ اسی اکائی سمتیہ کو پہلے نقطے پر پائے جانے والے ٹکلی محدود کے متغیرات کی صورت میں لکھیں۔ اسی اکائی سمتیہ کو دوسرے نقطے پر پائے جانے والے ٹکلی محدود کے متغیرات کی صورت میں لکھیں۔

جوابات: $0.292a_\rho - 0.180a_\phi - 0.951a_z$ ، $-0.174a_\rho - 0.255a_\phi - 0.951a_z$ ، $0.057a_x - 0.303a_y - 0.951a_z$

سوال 1.15: نقطہ $N(\rho = 5, \phi = 30^\circ, z = 6)$ سے نقطہ $P(\rho = 10, \phi = 75^\circ, z = 12)$ تک سمتیہ کار تینسی محدود میں لکھیں۔ اسی سمت میں اکائی سمتیہ بھی لکھیں۔ کار تینسی محدود میں دوسرے نقطے سے مرکز تک اکائی سمتیہ لکھیں۔

جوابات: $0.166a_x - 0.618a_y - 0.768a_z$ ، $-0.183a_x - 0.618a_y + 0.631a_z$ ، $-1.74a_x + 7.16a_y + 6a_z$

سوال 1.16: نقطہ $M(5, -3, 2)$ سے نقطہ $N(10, 2, -5)$ تک سمتیہ کو نقطہ M پر ٹکلی محدود کے اکائی سمتیات کی مدد سے لکھیں۔ دوسرے نقطے سے پہلے نقطے کی سمت میں اکائی سمتیہ کو دوسرے نقطے پر ٹکلی اکائی سمتیات کی مدد سے لکھیں۔ دوسرے نقطے سے مرکز تک اکائی سمتیہ دوسرے نقطے کے اکائی سمتیات کی صورت میں لکھیں۔

575

$$\text{جوابات: } 0.90a_p + 0.44a_z, 0.59a_p + 0.39a_\phi - 0.7a_z, -1.71a_p - 6.86a_\phi + 7a_z$$

576

سوال 1.17: رداس $\rho = 2$ اور $\rho = 6$ حجم گھیرتے ہیں جو $z = 11$ تا $z = 13$ اور $\phi = 30^\circ$ تا $\phi = 60^\circ$ پایا جاتا ہے۔ اس جسم کے حجم کو تین درجی مکمل سے حاصل کریں۔ اس کی بھی مکمل سے سطح بھی حاصل کریں۔

578

$$\text{جوابات: } 41.1, 16.8$$

579

سوال 1.18: نقطہ $N(5, 3, 8)$ سے نقطہ $P(3, -4, 2)$ تک سمتیہ کارتیسی، ٹکلی اور کروی محدود میں حاصل کریں۔ پہلے نقطے کے اکائی سمتیات استعمال کریں۔ تینوں سمتیات کی لمبائی حاصل کرتے ہوئے ثابت کریں کہ تینوں سمتیات کی لمبائی برابر ہے۔

580

$$\text{جوابات: } -5.3165a_p - 4.9735a_\phi - 6.0000a_z, -2a_x - 7a_y - 6a_z, 9.434, -8.6615 - 2.7739a_\theta - 2.5069a_\phi$$

582

583

سوال 1.19: نقطہ N پر سمتیہ $K = 3a_r - 2a_\theta + 8a_\phi$ اور $G = 2a_r + 5a_\theta + 2a_\phi$ دیے گئے ہیں۔ ان کی غیر سمتی ضرب $K \times G$ حاصل کریں۔ دوسری سمتیہ کی پہلی سمتیہ کی سمت میں لمبائی حاصل کریں۔ پہلی سمتیہ کا وہ حصہ دریافت کریں جو دوسری سمتیہ کی سمت میں ہے۔ دونوں سمتیوں کا سمتی ضرب $K \times G$ حاصل کریں۔ اس نقطے پر دونوں سمتیوں کی عمودی اکائی سمتیہ حاصل کریں۔

584

$$\text{جوابات: } 12, 1.3675, 0.46753a_r - 0.31169a_\theta + 1.24675a_\phi, 44a_r - 10a_\theta - 19a_\phi, \mp(0.89871a_r - 0.20425a_\theta - 0.38808a_\phi)$$

587

588

سوال 1.20: ایک جسم $r = 6$ تا $r = 10$ ، $\theta = 30^\circ$ تا $\theta = 70^\circ$ اور $\phi = 25^\circ$ تا $\phi = 100^\circ$ حجم گھیرتا ہے۔ اس جسم کے دھڑور ترین کونوں کے درمیان فاصل حاصل کریں۔ جسم کی سطح کا رقبہ حاصل کریں۔ جسم کی حجم دریافت کریں۔

590

$$\text{جوابات: } 9.27, 198.27, 179.25$$

591

سوال 1.21: نقطہ $N(5, 4, -2)$ اور $P(6, 4, 10)$ دیے گئے ہیں۔ پہلے نقطے کو ٹکلی محدود میں لکھیں۔ پہلے نقطے کے متغیرات استعمال کرتے ہوئے پہلے نقطے سے دوسرے نقطے تک سمتیہ ٹکلی محدود میں لکھیں۔

593

$$\text{جوابات: } 0.57a_p - 0.82a_\phi + 12a_z, P(6.4031, 38.6598^\circ, -2.0000)$$

594

595

باب 14

اینٹینا اور شعاعی اخراج

14.1 تعارف

14.2 تاخیری دباو

کسی بھی اخراج شعاع کے نظام میں موج کے ترسیل کے لئے درکار دورانیہ اہمیت رکھتا ہے۔ یوں شکل 14.3 میں دکھائے تار میں برقی رو سے پیدا میدان کا اثر نقطہ N پر کچھ وقفے سے ہو گا۔ خالی خلاء میں یہ وقفہ موج کو تار سے نقطے تک پہنچنے کا دورانیہ $\frac{r}{c}$ ہے جہاں $c = 3 \times 10^8 \text{ m/s}$ خالی خلاء میں شعاع کی رفتار ہے۔ یوں N کے نقطہ نظر سے تار میں برقی رو

$$I = I_0 \cos \omega t \quad (14.1)$$

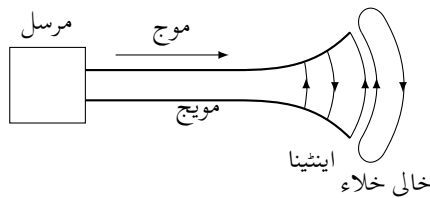
کی بجائے

$$[I] = I_0 \cos \omega \left(t - \frac{r}{c} \right) \quad (14.2)$$

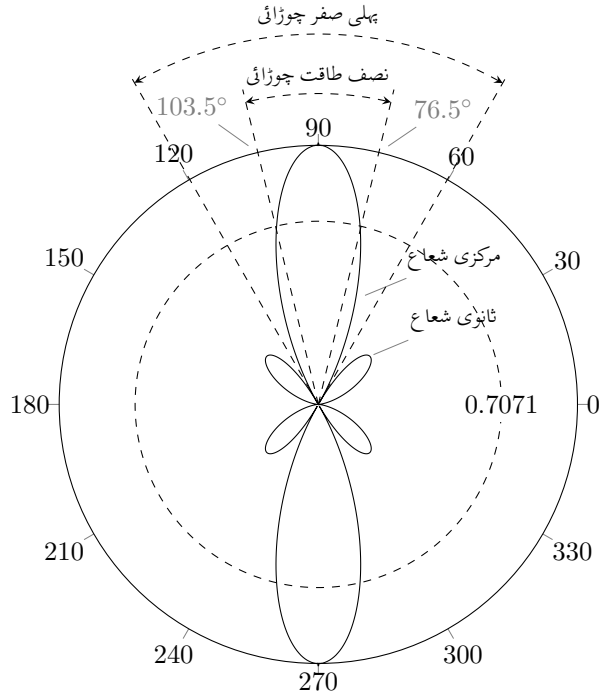
لکھی جاسکتی ہے جہاں $[I]$ تاخیری برقی رو کہلاتی ہے۔ تاخیری تفاعل کو چکور قوسین میں بند لکھا جاتا ہے۔ تاخیری برقی رو لکھتے ہوئے وقت t کی جگہ تاخیری وقت $(t - \frac{r}{c})$ استعمال کیا جاتا ہے۔

مساوات 14.2 کہتا ہے کہ نقطہ N پر لمحہ t پر پیدا اثر، گزرے لمحے $(t - \frac{r}{c})$ پر تار میں برقی رو کا اثر ہے جہاں تار سے N تک فاصلہ r ہے۔ تار سے N تک شعاع پہنچنے کا دورانیہ $\frac{r}{c}$ ہے۔

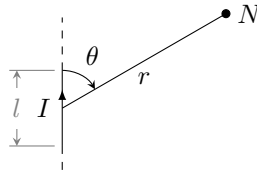
retarded current¹



شکل 14.1: اینٹینا وہ عبوری خطہ ہے جہاں منضبط موج ترسیلی نظام سے نکل کر خلاء میں بطور آزاد موج خارج ہوتی ہے۔



شکل 14.2: اینٹینا کے شعاع کا نقش



شکل 14.3: برفی رو گزرتی تار کی چھوٹی لمبائی

گزشتہ بابوں میں امواج کی بات کرتے ہوئے $\cos(\omega t - \beta x)$ استعمال کیا گیا جس میں $\frac{\omega}{\beta} = c$ کے استعمال سے

$$(14.3) \quad \cos(\omega t - \beta x) = \cos \omega \left(t - \frac{x}{c} \right)$$

4882

لکھا جاسکتا ہے جو تاخیری تفاعل کو ظاہر کرتی ہے۔

مساوات 14.2 کی دوری سمتیہ شکل

$$(14.4) \quad [I] = I_0 e^{j\omega(t-r/c)} = I_0 e^{j(\omega t - \beta r)}$$

ہے۔ اسی طرح کثافت برقی رو کی تاخیری دوری سمتیہ شکل

$$(14.5) \quad [J] = J_0 e^{j\omega(t-r/c)} = J_0 e^{j(\omega t - \beta r)}$$

ہو گی جسے استعمال کرتے ہوئے تاخیری مقناطیسی دباؤ

$$(14.6) \quad [A] = \frac{\mu}{4\pi} \int_h \frac{[J]}{r} dh = \frac{\mu}{4\pi} \int_h \frac{J_0 e^{j\omega(t-r/c)}}{r} dh$$

لکھا جائے گا۔ اسی طرح تاخیری حجمی کثافت چارج

$$(14.7) \quad [\rho_h] = \rho_0 e^{j\omega(t-r/c)}$$

لکھتے ہوئے تاخیری برقی دباؤ

$$(14.8) \quad [V] = \frac{1}{4\pi\epsilon} \int_h \frac{[\rho_h]}{r} dh$$

لکھا جائے گا۔ باب-9 کے آخر میں مساوات 9.76 اور مساوات 9.75 کے بائیں ہاتھ کے تفاعل کو چکور قوسین میں لکھ کر موج کی رفتار c لیتے ہوئے اور فاصلے کو کرومی محمد کے رداس r سے ظاہر کرنے سے یہی مساوات حاصل ہوتے ہیں۔

4884

4885

ہم یہاں اصل موضوع سے ہٹ کر ایک مکمل پر غور کرتے ہیں جو اس باب میں بار بار استعمال کیا جائے گا۔

4886

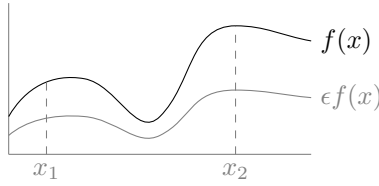
14.3 تکمیل

شکل 14.4 میں تفاعل $f(x)$ دکھایا گیا ہے جس کا x_1 تا x_2 مکمل خط کے نیچے دو عمودی نقطہ دار لکیروں کے مابین رقبے کے برابر ہے۔ اس رقبے کو K کہتے ہوئے

$$(14.9) \quad \int_{x_1}^{x_2} f(x) dx = K$$

لکھا جاسکتا ہے۔ شکل میں ہلکی سیاہی میں $\frac{f(x)}{2}$ بھی دکھایا گیا ہے جسے $\epsilon f(x)$ لکھا گیا ہے جہاں $\epsilon = 0.5$ ہے۔ چونکہ x_1 تا x_2 کے ہر نقطے پر تفاعل کی قیمت آدھی ہے لہذا ہلکی سیاہی کے خط کے نیچے رقبہ $\frac{K}{2}$ ہو گا لہذا

$$(14.10) \quad \int_{x_1}^{x_2} \epsilon f(x) dx = \frac{K}{2} = \epsilon K$$



شکل 14.4: تفاعل کا تکمل

لکھا جائے گا۔ اب فرض کریں کہ $\epsilon(x)$ مستقل نہیں ہے بلکہ اس کی قیمت x پر منحصر ہے۔ مزید یہ کہ $\epsilon(x)$ کی قیمت $\epsilon \ll 0$ ممکن ہے۔ ایسی صورت میں x_1 تا x_2 پر $\epsilon(x)f(x)$ کی قیمت $\epsilon f(x)$ ممکن ہے لہذا $\epsilon(x)f(x)$ کا تکمل ϵK سے کم ہو گا یعنی

$$(14.11) \quad \int_{x_1}^{x_2} \epsilon(x) f(x) dx \leq \epsilon K$$

جہاں ہر جگہ $\epsilon(x) = 1$ کو بھی مد نظر رکھا گیا ہے۔ اگر $\epsilon \rightarrow 0$ ہو تب تکمل قابل نظر انداز

$$(14.12) \quad \int_{x_1}^{x_2} \epsilon(x) f(x) dx \rightarrow 0 \quad (\epsilon \rightarrow 0)$$

4887

ہو گا۔

آئیں اب $\frac{f(x)}{1+\epsilon}$ کے تکمل

$$(14.13) \quad \int_{x_1}^{x_2} \frac{f(x)}{1+\epsilon} dx$$

پر غور کریں جہاں $\epsilon \rightarrow 0$ کے برابر ہے۔ ہم

$$(14.14) \quad \frac{1}{1+\epsilon} = (1+\epsilon)^{-1} = 1 - \frac{\epsilon}{1!} + \frac{\epsilon^2}{2!} - \frac{\epsilon^3}{3!} + \dots$$

لکھ سکتے ہیں لہذا تکمل

$$(14.15) \quad \int_{x_1}^{x_2} \left(1 - \frac{\epsilon}{1!} + \frac{\epsilon^2}{2!} - \frac{\epsilon^3}{3!} + \dots\right) f(x) dx$$

صورت اختیار کر لے گا۔ مساوات 14.12 کو استعمال کرتے ہوئے $\epsilon \rightarrow 0$ کی صورت میں اسے

$$(14.16) \quad \int_{x_1}^{x_2} \frac{f(x)}{1+\epsilon} dx = \int_{x_1}^{x_2} \left(1 - \frac{\epsilon}{1!} + \frac{\epsilon^2}{2!} - \frac{\epsilon^3}{3!} + \dots\right) f(x) dx \approx \int_{x_1}^{x_2} f(x) dx$$

4888

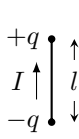
لکھا جاسکتا ہے جو K کے برابر ہے۔

4889

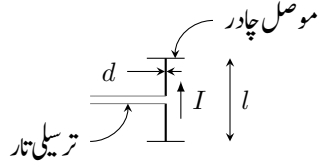
14.4 مختصر جفت قطبی اینٹینا

مختصر لمبائی کے سیدھے موصل تار کو عموماً مختصر **جفت قطب**² کہا جاتا ہے۔ مندرجہ ذیل گفتگو میں مختصر جفت قطب کی لمبائی محدود ہوگی۔ لا محدود حد تک کم لمبائی کی صورت میں اسے صفاری جفت قطب³ کہا جائے گا۔

4891

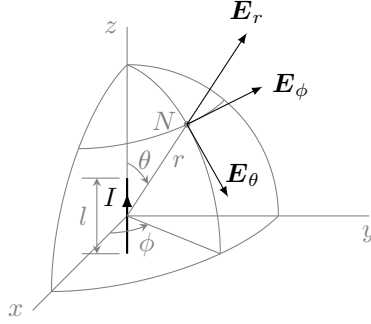


ب: جفت قطب بطور چھوٹی تار



الف: متوازن ترسیلی تار سے جفت قطب کو طاقت مہیا کی گئی ہے۔

شکل 14.5: جفت قطب



شکل 14.6: جفت قطب محدود کے مرکز پر ہے۔ مرکز سے دور نقطہ N پر دور میدان کے اجزاء بھی دکھائے گئے ہیں۔

خطی نوعیت کے کسی بھی اینٹینا کو متعدد تعداد کے سلسلہ وار بڑے مختصر جفت قطبوں کا مجموعہ تصور کیا جاسکتا ہے لہذا مختصر جفت قطب کی خاصیت جانتے ہوئے زیادہ لمبے جفت قطب یا مختلف انداز میں بڑے موصل تاروں کی خاصیت جاننے میں مدد ملے گی۔

آئیں شکل 14.5-الف میں دکھائے مختصر جفت قطب پر غور کریں جس کی لمبائی l طول موج سے بہت کم $\lambda \ll l$ ہے۔ جفت قطب کے سروں پر موصل چادر بطور کپیسٹر بوجھ کر دار ادا کرتے ہیں۔ جفت قطب کی مختصر لمبائی اور اس کے سروں پر موصل چادر مل کر جفت قطب کی پوری لمبائی پر تقریباً برابر برقی رو رکھنے میں مدد دیتے ہیں۔ جیسے شکل-الف میں دکھایا گیا ہے، جفت قطب کو متوازن ترسیلی تار سے طاقت مہیا کی جاسکتی ہے۔ یہ فرض کرتے ہوئے کہ ترسیلی تار سے شعاعی اخراج نہیں ہوتی، اس کے موجودگی کو نظر انداز کیا جائے گا۔ جفت قطب کے سروں پر نسب موصل چادروں کے شعاعی اخراج کو بھی نظر انداز کیا جائے گا۔ جفت قطب کی موٹائی d اس کے لمبائی سے بہت کم $\lambda \ll d$ ہے۔ ان حقائق کو مد نظر رکھتے ہوئے تحلیلی تجربے کی خاطر جفت قطب کو شکل 14.5-ب کی طرح تصور کیا جاسکتا ہے۔ ایسا جفت قطب یکساں برقی رو I گزارتا، l لمبائی کا تار معلوم ہوگا جس کے دونوں سروں پر برابر مگر الٹ قطب کے چارج $\mp q$ ہوں۔ کپیسٹر پر چارج q اور برقی رو I کا تعلق

$$I = \frac{\partial q}{\partial t} \quad (14.17)$$

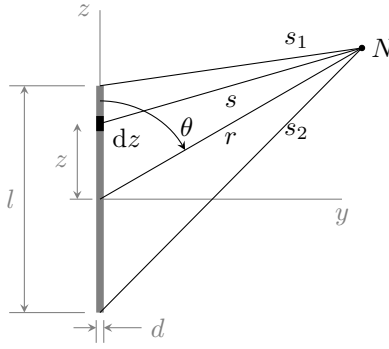
ہے۔

آئیں لامحدود وسعت کی خالی خلاء میں جفت قطب کے میدان حاصل کریں۔ جیسے شکل 14.6 میں دکھایا گیا ہے، جفت قطب کے وسط کو کروئی محدود کے مرکز اور لمبائی کو z محدود پر رکھتے ہوئے آگے بڑھتے ہیں۔ کسی بھی نقطہ N پر عموماً آپس میں عمودی تین میدان E_r ، E_θ اور E_ϕ پائے جائیں گے۔

کسی بھی نقطہ N پر مساوات 9.71 اور مساوات 9.73 بالترتیب مقناطیسی میدان اور برقی میدان دیتے ہیں

$$\mathbf{H} = \frac{1}{\mu_0} \nabla \times \mathbf{A} \quad (14.18)$$

$$\mathbf{E} = -\nabla V - \frac{\partial \mathbf{A}}{\partial t} \quad (14.19)$$



شکل 14.7: جفت قطب اور دور میدان.

جہاں

V نقطہ N پر مقداری برقی دباؤ

A نقطہ N پر سمتی دباؤ

ہیں۔ اگر ہمیں کسی بھی نقطے پر مقداری دباؤ V اور سمتی دباؤ A معلوم ہوں تب مندرجہ بالا دو مساوات سے اس نقطے پر برقی اور مقناطیسی میدان حاصل کئے جاسکتے ہیں۔ چونکہ ہمیں جفت قطب سے دور میدان درکار ہیں لہذا ایسی صورت میں مساوات 14.6 اور مساوات 14.8 میں دئے تاخیری دباؤ قابل استعمال ہوں گے۔ یوں ان مساوات کو

$$(14.20) \quad \mathbf{H} = \frac{1}{\mu_0} \nabla \times [\mathbf{A}]$$

$$(14.21) \quad \mathbf{E} = -\nabla[V] - \frac{\partial[\mathbf{A}]}{\partial t} = -\nabla[V] - j\omega[\mathbf{A}]$$

لکھا جاسکتا ہے جہاں مساوات 9.59 اور مساوات 9.60 سے تاخیری دباؤ

$$(14.22) \quad [\mathbf{A}] = \frac{\mu_0}{4\pi} \int_h \frac{\mathbf{J}_0 e^{j\omega(t-r/c)}}{r} dh$$

$$(14.23) \quad [V] = \frac{1}{4\pi\epsilon_0} \int_h \frac{\rho_0 e^{j\omega(t-r/c)}}{r} dh$$

لکھے جاسکتے ہیں۔

کسی بھی برقی چارج اور برقی رو سے پیدا میدان مساوات 14.20 اور مساوات 14.21 سے حاصل کئے جاسکتے ہیں۔ مساوات 14.23 کے تحت تاخیری مقداری دباؤ $[V]$ صرف ساکن چارجوں پر منحصر ہے جبکہ مساوات 14.22 کے تحت تاخیری سمتی دباؤ $[\mathbf{A}]$ صرف برقی رو یعنی حرکت کرتے چارجوں پر منحصر ہے۔ مساوات 14.20 کے تحت مقناطیسی میدان \mathbf{H} صرف برقی رو یعنی حرکت کرتے چارجوں پر منحصر ہے جبکہ مساوات 14.21 کے تحت برقی میدان \mathbf{E} ساکن چارج اور برقی رو دونوں پر منحصر ہے۔ ہم جلد مساوات 14.46 میں دیکھیں گے کہ کسی بھی چارج اور برقی رو سے دور پیدا مقناطیسی اور برقی میدانوں کا دارومدار صرف برقی رو پر ہوتا ہے۔ چونکہ اس باب میں تاخیری دباؤ ہی استعمال کئے جائیں گے لہذا انہیں چکورو تو سین میں لکھنے سے گریز کیا جائے گا۔ اس باب میں یہاں سے آگے بغیر چکورو تو سین کے دباؤ کو تاخیری دباؤ ہی سمجھا جائے۔

شکل 14.6 یا شکل 14.7 سے ظاہر ہے کہ سمتی دباؤ کا صرف a_z جزو

$$(14.24) \quad A = \frac{a_z \mu_0}{4\pi} \int_{-l/2}^{l/2} \frac{I_0 e^{j(\omega t - \beta s)}}{s} dz$$

پایا جاتا ہے۔ اگر جفت قطب کی لمبائی l ، نقطہ N سے جفت قطب تک فاصلہ r سے نہایت کم $r \ll l$ اور طول موج λ سے بھی نہایت کم $\lambda \ll l$ ہو تب مندرجہ بالا مساوات میں متغیر فاصلہ s کی جگہ مستقل فاصلہ r پر کیا جاسکتا ہے⁴ اور ساتھ ہی ساتھ l پر مختلف نقطوں سے N پر پیدا دباؤ میں زاویائی فرق کو نظر انداز کیا جاسکتا ہے۔ اس طرح ان تمام کو مکمل کے باہر لے جایا جاسکتا ہے۔ جفت قطب کی پوری لمبائی پر یک برابر برقی رو I_0 کی صورت میں I_0 کو بھی مکمل کے باہر لے جایا جاسکتا ہے۔ یوں مندرجہ بالا مساوات سے

$$(14.25) \quad \mathbf{A} = \frac{\mathbf{a}_z \mu_0 I_0 l e^{j(\omega t - \beta r)}}{4\pi r}$$

حاصل ہوتا ہے۔ اس مساوات کو کروئی محدود میں یوں

$$\mathbf{A} = A_r \mathbf{a}_r + A_\theta \mathbf{a}_\theta + A_\phi \mathbf{a}_\phi$$

لکھا جائے گا جہاں

$$(14.26) \quad \begin{aligned} A_r &= \mathbf{a}_r \cdot \mathbf{A} = \frac{\mu_0 I_0 l e^{j(\omega t - \beta r)}}{4\pi r} \mathbf{a}_r \cdot \mathbf{a}_z = \frac{\mu_0 I_0 l e^{j(\omega t - \beta r)}}{4\pi r} \cos \theta \\ A_\theta &= \mathbf{a}_\theta \cdot \mathbf{A} = \frac{\mu_0 I_0 l e^{j(\omega t - \beta r)}}{4\pi r} \mathbf{a}_\theta \cdot \mathbf{a}_z = -\frac{\mu_0 I_0 l e^{j(\omega t - \beta r)}}{4\pi r} \sin \theta \\ A_\phi &= \mathbf{a}_\phi \cdot \mathbf{A} = \frac{\mu_0 I_0 l e^{j(\omega t - \beta r)}}{4\pi r} \mathbf{a}_\phi \cdot \mathbf{a}_z = 0 \end{aligned}$$

ہوں گے جہاں اکائی سمتیات کے مقداری ضرب صفحہ 32 پر جدول 1.2 سے حاصل کئے گئے۔ اس طرح

$$(14.27) \quad \mathbf{A} = \frac{\mu_0 I_0 l e^{j(\omega t - \beta r)}}{4\pi r} (\cos \theta \mathbf{a}_r - \sin \theta \mathbf{a}_\theta)$$

4907

لکھا جائے گا۔

ساکن چارج جفت قطب کے سروں پر پایا جاتا ہے لہذا مقداری دباؤ

$$(14.28) \quad V = \frac{q_0}{4\pi\epsilon_0} \left[\frac{e^{j(\omega t - \beta s_1)}}{s_1} - \frac{e^{j(\omega t - \beta s_2)}}{s_2} \right]$$

ہو گا جہاں مساوات 14.17 کے تحت

$$(14.29) \quad q = \int I dt = \frac{I}{j\omega}$$

کے برابر ہے جہاں

$$I = I_0 e^{j(\omega t - \beta s)}$$

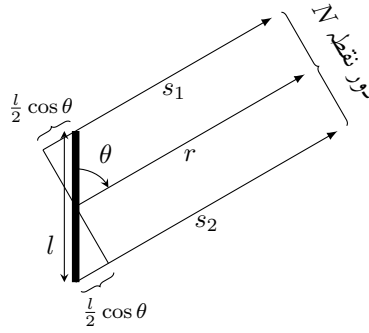
$$q = q_0 e^{j(\omega t - \beta s)}$$

ہیں۔ مساوات 14.29 سے $q_0 = \frac{I_0}{j\omega}$ حاصل کرتے ہوئے مساوات 14.28 میں پر کرتے ہیں۔

$$(14.30) \quad V = \frac{I_0}{4\pi\epsilon_0 j\omega} \left[\frac{e^{j(\omega t - \beta s_1)}}{s_1} - \frac{e^{j(\omega t - \beta s_2)}}{s_2} \right]$$

شکل 14.8 کو دیکھ کر

⁴ جیسے حصہ 14.3 میں دکھایا گیا ہے۔



شکل 14.8: جفت قطب اور دور نقطے کے تعلق۔

$$s_1 = r - \frac{l}{2} \cos \theta$$

$$s_2 = r + \frac{l}{2} \cos \theta$$

لکھے جاسکتے ہیں جنہیں مساوات 14.30 میں پر کرتے

$$(14.31) \quad V = \frac{I_0 e^{j(\omega t - \beta r)}}{4\pi\epsilon_0 j\omega} \left[\frac{(r + \frac{l}{2} \cos \theta) e^{j\frac{\beta l}{2} \cos \theta} - (r - \frac{l}{2} \cos \theta) e^{-j\frac{\beta l}{2} \cos \theta}}{r^2 - \frac{l^2}{4} \cos^2 \theta} \right]$$

ماتا ہے۔ چکور توسین میں شرح کے نچلے حصے میں $l \gg r$ کی وجہ سے $\frac{l^2}{4} \cos^2 \theta$ کو نظر انداز کرتے ہیں۔ مسئلہ ڈی موئے⁵ کے استعمال سے

$$(14.32) \quad V = \frac{I_0 e^{j(\omega t - \beta r)}}{4\pi\epsilon_0 j\omega r^2} \left[\left(r + \frac{l}{2} \cos \theta \right) \left(\cos \frac{\beta l \cos \theta}{2} + j \sin \frac{\beta l \cos \theta}{2} \right) - \left(r - \frac{l}{2} \cos \theta \right) \left(\cos \frac{\beta l \cos \theta}{2} - j \sin \frac{\beta l \cos \theta}{2} \right) \right]$$

لکھا جائے گا۔ چونکہ $l \ll \lambda$ ہے لہذا

$$\cos \frac{\beta l \cos \theta}{2} = \cos \frac{\pi l \cos \theta}{\lambda} \approx 1$$

$$\sin \frac{\beta l \cos \theta}{2} \approx \frac{\beta l \cos \theta}{2}$$

ہوں گے، جنہیں مساوات 14.32 میں پر کرنے سے

$$(14.33) \quad V = \frac{I_0 l e^{j(\omega t - \beta r)} \cos \theta}{4\pi\epsilon_0 c} \left(\frac{1}{r} + \frac{c}{j\omega r^2} \right)$$

حاصل ہوتا ہے جہاں

I_0 برقی رو کا چیط یعنی اس کی زیادہ سے زیادہ قیمت، A

l جفت قطب کی لمبائی، m

⁵ $(e^{j\alpha} = \cos \alpha + j \sin \alpha)$ de Moivre's theorem

ω زاویائی تعدد ($\omega = 2\pi f$)، اکائی rad/s، جہاں ہر ٹHz میں تعدد f ہے

β زاویائی مستقل ($\beta = \frac{2\pi}{\lambda}$)، اکائی rad/m

t وقت، s

θ جفت قطب اور جفت قطب سے نقطہ N تک سمتیہ کے مابین زاویہ

ϵ_0 خالی خلاء کا برقی مستقل، 8.854 pF/m

c خالی خلاء میں شعاع کی رفتار، 3×10^8 m/s

j خیالی عدد $\sqrt{-1}$

r جفت قطب کے وسط سے نقطہ N تک فاصلہ، m

ہیں۔

مختصر جفت قطب کے وسط سے، $\lambda \ll l$ اور $r \ll l$ کی صورت میں، r فاصلے اور θ زاویے پر مساوات 14.27 سمتی دباؤ اور مساوات 14.33 مقداری دباؤ دیتے ہیں۔ کروی محدود میں مقداری دباؤ کی ڈھلوان

$$\begin{aligned} \nabla V &= \frac{\partial V}{\partial r} \mathbf{a}_r + \frac{1}{r} \frac{\partial V}{\partial \theta} \mathbf{a}_\theta + \frac{1}{r \sin \theta} \frac{\partial V}{\partial \phi} \mathbf{a}_\phi \\ (14.34) \quad &= \frac{I_0 l e^{j(\omega t - \beta r)}}{4\pi \epsilon_0 c} \left[- \left(\frac{\cos \theta}{r^2} + \frac{2c \cos \theta}{j\omega r^3} \right) \mathbf{a}_r - \left(\frac{\sin \theta}{r^2} + \frac{c \sin \theta}{j\omega r^3} \right) \mathbf{a}_\theta \right] \end{aligned}$$

کے برابر ہے۔ برقی میدان $E = E_r \mathbf{a}_r + E_\theta \mathbf{a}_\theta + E_\phi \mathbf{a}_\phi$ کے اجزاء مساوات 14.21 کی مدد سے

$$\begin{aligned} E_r &= -j\omega A_r - \frac{\partial V}{\partial r} \\ E_\theta &= -j\omega A_\theta - \frac{1}{r} \frac{\partial V}{\partial \theta} \\ E_\phi &= -j\omega A_\phi - \frac{1}{r \sin \theta} \frac{\partial V}{\partial \phi} \end{aligned}$$

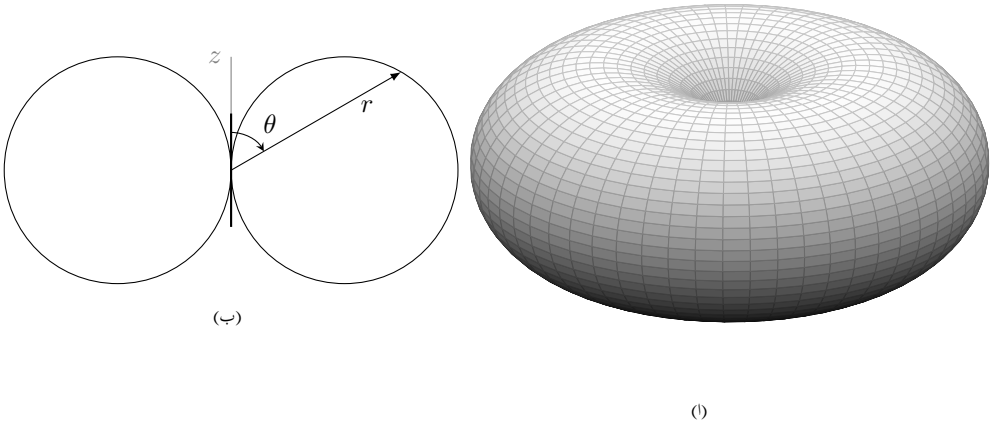
لکھے جاسکتے ہیں جن میں مطلوبہ تفاعل پر کرنے سے برقی میدان کے عمومی مساوات

$$\begin{aligned} E_r &= \frac{I_0 l \cos \theta e^{j(\omega t - \beta r)}}{2\pi \epsilon_0} \left(\frac{1}{cr^2} + \frac{1}{j\omega r^3} \right) \\ (14.35) \quad E_\theta &= \frac{I_0 l \sin \theta e^{j(\omega t - \beta r)}}{4\pi \epsilon_0} \left(\frac{j\omega}{c^2 r} + \frac{1}{cr^2} + \frac{1}{j\omega r^3} \right) \quad \text{عمومی میدان} \\ E_\phi &= 0 \end{aligned}$$

حاصل ہوتے ہیں۔

مقناطیسی میدان مساوات 14.20 سے حاصل ہوگی۔ کروی محدود میں سمتی دباؤ کی گردش

$$\begin{aligned} (14.36) \quad \mathbf{B} = \nabla \times \mathbf{A} &= \frac{1}{r \sin \theta} \left[\frac{\partial(A_\theta \sin \theta)}{\partial \theta} - \frac{\partial A_\phi}{\partial \phi} \right] \mathbf{a}_r + \frac{1}{r} \left[\frac{1}{\sin \theta} \frac{\partial A_r}{\partial \phi} - \frac{\partial(r A_\phi)}{\partial r} \right] \mathbf{a}_\theta \\ &\quad + \frac{1}{r} \left[\frac{\partial(r A_\theta)}{\partial r} - \frac{\partial A_r}{\partial \theta} \right] \mathbf{a}_\phi \end{aligned}$$



شکل 14.9: اندر سے شکل کا دور میدان۔

میں مساوات 14.26 پر کرنے سے مقناطیسی میدان کی عمومی مساوات

$$(14.37) \quad \begin{aligned} H_\phi &= \frac{I_0 l \sin \theta e^{j(\omega t - \beta r)}}{4\pi} \left(\frac{j\omega}{cr} + \frac{1}{r^2} \right) & \text{عمومی میدان} \\ H_r &= 0 \\ H_\theta &= 0 \end{aligned}$$

حاصل ہوتے ہیں جہاں $B = \mu_0 H$ کا استعمال کیا گیا۔

مساوات 14.35 اور مساوات 14.37 کے تحت جفت قطب سے پیدا میدان کے صرف تین اجزاء E_r, E_θ اور H_ϕ پائے جاتے ہیں۔ جفت قطب سے زیادہ فاصلے پر میدان کی مساوات میں ایسے اجزاء جن میں $\frac{1}{r^2}$ یا $\frac{1}{r^3}$ پایا جاتا ہو کو نظر انداز کیا جاسکتا ہے۔ یوں E_r قابل نظر انداز ہو گا لہذا $E_r \approx 0$ تصور کیا جائے گا جبکہ

$$(14.38) \quad \begin{aligned} E_\theta &= \frac{I_0 l \sin \theta e^{j(\omega t - \beta r)}}{4\pi \epsilon_0} \frac{j\omega}{c^2 r} = j \frac{30 I_0 \beta l}{r} \sin \theta e^{j(\omega t - \beta r)} \\ H_\phi &= \frac{I_0 l \sin \theta e^{j(\omega t - \beta r)}}{4\pi} \frac{j\omega}{cr} = j \frac{I_0 \beta l}{4\pi r} \sin \theta e^{j(\omega t - \beta r)} & \text{دور میدان} \end{aligned}$$

ہوں گے۔ مساوات 14.38 استعمال کرتے ہوئے برقی اور مقناطیسی میدان کی شرح

$$(14.39) \quad \frac{E_\theta}{H_\phi} = \frac{1}{\epsilon_0 c} = \sqrt{\frac{\mu_0}{\epsilon_0}} = 376.7 \, \Omega$$

حاصل ہوتی ہے جو خالی خلاء کی قدرتی رکاوٹ Z_0 ہے۔

یہاں اس حقیقت پر توجہ دیں کہ خالی خلاء میں TEM موج کی طرح، جفت قطب سے دور E_θ اور H_ϕ آپس میں ہم قدم ہیں۔ اس کے علاوہ دونوں میدان $\sin \theta$ کے راست تناسب ہیں یعنی جفت قطب کے محوری سمت $\theta = 0^\circ$ پر ان کی قیمت صفر جبکہ $\theta = 90^\circ$ پر ان کی قیمت زیادہ سے زیادہ ہے۔ اندر سے ⁶ شکل کی ان میدان کو شکل 14.9-الف میں دکھایا گیا ہے جبکہ شکل-ب میں کارٹیسائی محدود کی سطح $x = 0$ پر دور میدان کا عمودی تسلسل دکھایا گیا ہے۔ شکل-الف میں اندر سے کے محور پر جفت قطب پایا جاتا ہے جسے شکل-ب میں z محدود پر موٹی لکیر سے ظاہر کیا گیا ہے۔

جفت قطب سے دور میدان حاصل کرتے وقت مساوات 14.35 اور مساوات 14.37 میں $\frac{1}{r^3}$ یا $\frac{1}{r^2}$ رکھتے اجزاء کو نظر انداز کیا گیا یعنی E_θ میں

$$\left| j \frac{\omega}{c^2 r} \right| \gg \frac{1}{c r^2}$$

$$\left| j \frac{\omega}{c^2 r} \right| \gg \left| \frac{1}{j \omega r^3} \right|$$

یا

$$(14.40) \quad r \gg \frac{c}{\omega}$$

تصور کیا گیا۔ اسی طرح H_ϕ میں بھی

$$\left| j \frac{\omega}{c r} \right| \gg \frac{1}{r^2}$$

یا

$$(14.41) \quad r \gg \frac{c}{\omega}$$

تصور کیا گیا جسے

$$(14.42) \quad r \gg \frac{1}{\beta} \quad (\text{دور میدان})$$

بھی لکھا جاسکتا ہے۔ اگر جفت قطب کے قریب میدان کی بات کی جائے تو $\frac{c}{\omega} \ll r \ll \frac{1}{\beta}$ یعنی $r \ll \frac{1}{\beta}$ لیا جائے گا۔ یوں مساوات 14.35 اور مساوات 14.37 میں

$$\frac{1}{c r^2} \ll \left| \frac{1}{j \omega r^3} \right|$$

$$\left| \frac{j \omega}{c^2 r} \right| \ll \left| \frac{1}{j \omega r^3} \right|$$

$$\frac{1}{c r^2} \ll \left| \frac{1}{j \omega r^3} \right|$$

$$\left| \frac{j \omega}{c r} \right| \ll \frac{1}{r^2}$$

ہوں گے لہذا قریبی میدان

$$(14.43) \quad E_r = \frac{I_0 l \cos \theta e^{j(\omega t - \beta r)}}{2\pi \epsilon_0} \frac{1}{j \omega r^3} = \frac{I_0 l \cos \theta e^{j(\omega t - \beta r - \frac{\pi}{2})}}{2\pi \epsilon_0 \omega r^3}$$

$$E_\theta = \frac{I_0 l \sin \theta e^{j(\omega t - \beta r)}}{4\pi \epsilon_0} \frac{1}{j \omega r^3} = \frac{I_0 l \sin \theta e^{j(\omega t - \beta r - \frac{\pi}{2})}}{4\pi \epsilon_0 \omega r^3}$$

$$H_\phi = \frac{I_0 l \sin \theta e^{j(\omega t - \beta r)}}{4\pi} \frac{1}{r^2} = \frac{I_0 l \sin \theta e^{j(\omega t - \beta r)}}{4\pi r^2} \quad \text{قریبی میدان}$$

لکھے جاسکتے ہیں۔ کل قریبی برقی میدان

$$(14.44) \quad \mathbf{E} = E_r \mathbf{a}_r + E_\theta \mathbf{a}_\theta = \left[\frac{I_0 l \cos \theta}{2\pi \epsilon_0 \omega r^3} \mathbf{a}_r + \frac{I_0 l \sin \theta}{4\pi \epsilon_0 \omega r^3} \mathbf{a}_\theta \right] e^{j(\omega t - \beta r - \frac{\pi}{2})}$$

ہو گا۔ مساوات 14.44 کے برقی میدان میں جزو ضربی $e^{j(\omega t - \beta r - \frac{\pi}{2})}$ پایا جاتا ہے جبکہ مقناطیسی میدان میں جزو ضربی $e^{j(\omega t - \beta r)}$ پایا جاتا ہے۔ یوں جفت قطب کے قریب کسی بھی نقطے پر ہر لمحہ برقی میدان اور مقناطیسی میدان میں $\frac{\pi}{2}$ زاویے کا فرق پایا جاتا ہے جو ساکن میدان کی نشانی ہے۔

4928

جفت قطب کے قریب برقی اور مقناطیسی میدان میں لمحاتی طور $\frac{\pi}{2}$ ریڈین کا زاویہ پایا جاتا ہے جبکہ جفت قطب سے دور دونوں میدان لمحاتی طور پر ہم قدم ہیں لہذا کسی درمیانے فاصلے پر ان میدانوں میں 45° کا زاویہ ہو گا۔ آپ دیکھ سکتے ہیں کہ جفت قطب سے فاصلہ بڑھانے سے برقی میدان وقت کی نسبت سے گھوم کر مقناطیسی میدان کے ہم قدم ہو جاتا ہے۔

4931

مخلوط پوائنٹنگ سمتیہ استعمال کرتے ہوئے مساوات 14.38 سے دور میدان میں کثافت توانائی

$$\mathcal{P}_{\text{وسط}} = \frac{1}{2} [\mathbf{E} \times \mathbf{H}^*]_{\text{حقیقی}} = \frac{1}{2} E_{\theta} H_{\phi}^* \mathbf{a}_r = \frac{15 I_0^2 \beta^2 l^2}{4 \pi r^2} \sin^2 \theta \mathbf{a}_r \quad \text{دور کثافت طاقت}$$

حاصل ہوتی ہے جو رداس r سمت میں منتقل ہوتی حقیقی توانائی ہے۔ یہی اینٹینا کی شعاعی اخراج ہے۔ شعاعی اخراج $\theta = 90^\circ$ پر زیادہ سے زیادہ ہے۔ اسی طرح پوائنٹنگ سمتیہ استعمال کرتے ہوئے مساوات 14.43 سے قریبی میدان میں کثافت توانائی

$$\begin{aligned} \frac{1}{2} [\mathbf{E} \times \mathbf{H}^*]_{\text{حقیقی}} &= \frac{1}{2} [(E_r \mathbf{a}_r + E_{\theta} \mathbf{a}_{\theta}) \times H_{\phi}^* \mathbf{a}_{\phi}]_{\text{حقیقی}} \\ &= \frac{1}{2} \left[-\frac{I_0 l \cos \theta}{2 \pi \epsilon_0 \omega r^3} \mathbf{a}_{\theta} + \frac{I_0 l \sin \theta}{4 \pi \epsilon_0 \omega r^3} \mathbf{a}_r \right] \frac{I_0 l \sin \theta}{4 \pi r^2} e^{-j \frac{\pi}{2}} \end{aligned}$$

4932

حاصل ہوتی ہے جس کا بیشتر حصہ خیالی ہے اور ساتھ ہی ساتھ شعاعی اخراج کے علاوہ یہاں θ سمت میں گھومتی طاقت بھی پائی جاتی ہے۔

آئیں اب نہایت کم تعدد پر صورت حال دیکھیں۔ مساوات 14.35 میں $I_0 = j \omega q_0$ پر کرتے ہوئے اور مساوات 14.37 کو جوں کا توں دوبارہ پیش کرتے ہیں۔

$$\begin{aligned} E_r &= \frac{q_0 l \cos \theta e^{j(\omega t - \beta r)}}{2 \pi \epsilon_0} \left(\frac{j \omega}{c r^2} + \frac{1}{r^3} \right) \\ E_{\theta} &= \frac{q_0 l \sin \theta e^{j(\omega t - \beta r)}}{4 \pi \epsilon_0} \left(-\frac{\omega^2}{c^2 r} + \frac{j \omega}{c r^2} + \frac{1}{r^3} \right) \\ H_{\phi} &= \frac{I_0 l \sin \theta e^{j(\omega t - \beta r)}}{4 \pi} \left(\frac{j \omega}{c r} + \frac{1}{r^2} \right) \end{aligned}$$

$$|e^{-j \beta r}| = 1 \quad \text{لیتے ہوئے، صفر کے قریب تردد } \omega \rightarrow 0 \text{ پر ان مساوات سے میدان کی حتمی قیمت}$$

$$\begin{aligned} E_r &= \frac{q_0 l \cos \theta}{2 \pi \epsilon_0 r^3} \\ E_{\theta} &= \frac{q_0 l \sin \theta}{4 \pi \epsilon_0 r^3} \\ H_{\phi} &= \frac{I_0 l \sin \theta}{4 \pi r^2} \end{aligned} \quad \text{نیم ساکن میدان}$$

حاصل ہوتی ہیں جن سے برقی میدان

(14.45)

$$\mathbf{E} = \frac{q_0 l}{4 \pi \epsilon_0 r^3} (2 \cos \theta \mathbf{a}_r + \sin \theta \mathbf{a}_{\theta})$$

جدول 14.1: مختصر جفت قطب کے میدان

جزو	عمومی مساوات	دور میدان	نیم ساکن میدان
E_r	$\frac{I_0 l \cos \theta e^{j(\omega t - \beta r)}}{2\pi \epsilon_0} \left(\frac{1}{cr^2} + \frac{1}{j\omega r^3} \right)$	0	$\frac{q_0 l \cos \theta}{2\pi \epsilon_0 r^3}$
E_θ	$\frac{I_0 l \sin \theta e^{j(\omega t - \beta r)}}{4\pi \epsilon_0} \left(\frac{j\omega}{c^2 r} + \frac{1}{cr^2} + \frac{1}{j\omega r^3} \right)$	$\frac{j60\pi I_0 \sin \theta e^{j(\omega t - \beta r)}}{r} \frac{l}{\lambda}$	$\frac{q_0 l \sin \theta}{4\pi \epsilon_0 r^3}$
H_ϕ	$\frac{I_0 l \sin \theta e^{j(\omega t - \beta r)}}{4\pi} \left(\frac{j\omega}{cr} + \frac{1}{r^2} \right)$	$\frac{jI_0 \sin \theta e^{j(\omega t - \beta r)}}{2r} \frac{l}{\lambda}$	$\frac{I_0 l \sin \theta}{4\pi r^2}$

لکھا جاسکتا ہے۔ ان میدان کو نیم ساکن میدان⁷ کہا جاتا ہے۔ یہ صفحہ 113 پر حاصل کی گئی مساوات 4.67 ہی ہے۔ اسی طرح مندرجہ بالا مقناطیسی میدان H_ϕ کی قیمت صفحہ 200 پر مساوات 7.3 ہی ہے۔ چونکہ یہ میدان $\frac{1}{r^2}$ یا $\frac{1}{r^3}$ کے تعلق سے تبدیل ہوتے ہیں لہذا یہ جفت قطب کے قریب ہی پائے جاتے ہیں۔ جفت قطب سے دور ان کی قیمت قابل نظر انداز ہوتی ہے لہذا ان کا شعاعی اخراج میں خاص کردار نہیں ہوتا۔ بلند تعدد پر دور میدان جنہیں مساوات 14.38 پیش کرتی ہے، $\frac{1}{r}$ کے تعلق سے گھٹتی ہیں لہذا یہی شعاعی اخراج کو ظاہر کرتی ہیں اور یوں انہیں **اخراجی میدان**⁸ کہا جاتا ہے۔

4936

مختصر جفت قطب، $r \ll l$ اور $\lambda \ll l$ کے تمام میدان کو جدول 14.1 میں پیش کیا گیا ہے۔ بقایا اجزاء $E_\phi = H_r = H_\theta = 0$ صفر کے برابر ہیں۔

4938

مساوات 14.35 میں دیے E_θ میں $\frac{1}{r^2}$ اور $\frac{1}{r^3}$ رکھنے والے اجزاء برقی دباؤ V کے پیدا کردہ ہیں جو دور میدان میں قابل نظر انداز ہوتے ہیں۔ اگر ہماری دلچسپی صرف دور میدان میں ہو تب مطلوبہ میدان کو نہایت آسانی کے ساتھ صرف A سے حاصل کیا جاسکتا ہے۔ یوں مساوات 14.21 اور مساوات 14.26 سے

$$(14.46) \quad E_\theta = -j\omega A_\theta = -j\omega \left(-\frac{\mu_0 I_0 l e^{j(\omega t - \beta r)}}{4\pi r} \sin \theta \right) = j \frac{30 I_0 \beta l}{r} \sin \theta e^{j(\omega t - \beta r)}$$

حاصل ہوتا ہے۔ مقناطیسی میدان H_ϕ کو مساوات 14.20 سے حاصل کیا جاسکتا ہے جہاں $\frac{1}{r^2}$ اجزاء رد کئے جائیں گے۔ مقناطیسی میدان کو نسبتاً زیادہ آسانی سے، لا محدود خلاء کی قدرتی رکاؤ $Z_0 = \sqrt{\frac{\mu_0}{\epsilon_0}} = 120\pi$ کا استعمال کرتے ہوئے

$$(14.47) \quad H_\phi = \frac{E_\theta}{Z_0} = j \frac{30 I_0 \beta l}{120\pi r} \sin \theta e^{j(\omega t - \beta r)} = j \frac{I_0 \beta l}{4\pi r} \sin \theta e^{j(\omega t - \beta r)}$$

سے بھی حاصل کیا جاسکتا ہے۔ چونکہ دور میدان کا دار و مدار جفت قطب کے چارج q_0 پر گز نہیں لہذا ان چارج کا جاننا غیر ضروری ہے۔ کسی بھی اینٹینا کو متعدد مختصر جفت قطب کا مجموعہ تصور کیا جاسکتا ہے۔ یوں کسی بھی اینٹینا کے میدان تمام جفت قطب کے میدان کو جمع کرتے ہوئے حاصل کیا جاسکتا ہے۔

4941

مساوات 14.38 میں $\beta = \frac{2\pi}{\lambda}$ پر کرتے ہوئے دور برقی میدان کو

$$(14.48) \quad E_\theta = j60\pi I_0 \frac{l}{\lambda} \frac{1}{r} \sin \theta e^{j(\omega t - \beta r)}$$

لکھا جاسکتا ہے۔ اس مساوات کے اجزاء کو دور دور لکھتے ہوئے پہچاننے کی کوشش کرتے ہیں۔

$$(14.49) \quad E_\theta = j \quad 60\pi \quad I_0 \quad \frac{l}{\lambda} \quad \frac{1}{r} \quad \sin \theta \quad e^{j(\omega t - \beta r)}$$

زاویہ شکل فاصلہ لمبائی رو مقدار

لکھا جاسکتا ہے جہاں 60π مساوات کا مستقل ہے، I_0 برقی رو، $\frac{1}{\lambda}$ جفت قطب کی لمبائی جسے طول موج میں ناپا گیا ہے، $\frac{1}{r}$ فاصلے کو ظاہر کرتا ہے، $\sin\theta$ میدان کا نقش اور $e^{i(\omega t - \beta r)}$ زاویائی فرق ہے۔ کسی بھی اینٹینا کے میدان کو عموماً ان چھ اجزاء کے حاصل ضرب کی صورت میں لکھا جاسکتا ہے۔⁴⁹⁴³

جدول 14.1 مختصر جفت قطب کے میدان دیتا ہے۔

14.5 مختصر جفت قطب کا اخراجی مزاحمت

اینٹینا کے گرد کسی بھی بند سطح پر مخلوط پوٹنٹنگ سمتیہ

$$\mathcal{P}_{\text{اوسط}} = \frac{1}{2} [\mathbf{E}_s \times \mathbf{H}_s^*] \quad (14.50)$$

کی سطحی مکمل

$$P = \int_S \mathcal{P}_{\text{اوسط}} \cdot d\mathbf{s} \quad (W) \quad (14.51)$$

کل شعاعی اخراج P دے گی۔ فی سینٹڈ خارج ہونے والی توانائی شعاعی اخراج کہلاتی ہے لہذا اس کی اکائی واٹ W ہے۔ سادہ ترین بند سطح کرہ ہے سیوں اینٹینا کو کروی محدود مرکز پر رکھتے ہوئے مکمل حاصل کیا جائے گا۔ چونکہ دور کے میدان نسبتاً سادہ صورت رکھتے ہیں لہذا بند سطح کا رداس جتنا زیادہ رکھا جائے مکمل اتنا آسان ہو گا۔ یوں رداس زیادہ سے زیادہ رکھتے ہوئے دور میدان استعمال کرتے ہوئے جفت قطب کا شعاعی اخراج P حاصل کیا جاسکتا ہے۔

کامل اینٹینا کی صورت میں شعاعی اخراج اس برقی طاقت کے برابر ہو گا جو اینٹینا کے برقی سروں پر مہیا کی گئی ہو۔ اینٹینا کو مزاحمت R تصور کرتے ہوئے اس برقی طاقت کو $P = \frac{1}{2} I_0^2 R$ لکھا جاسکتا ہے جہاں I_0 سائن نما برقی رو کا حیثہ ہے۔ یوں

$$R = \frac{2P}{I_0^2} \quad (\Omega) \quad (14.52)$$

لکھا جاسکتا ہے جہاں R اینٹینا کی **اخراجی مزاحمت**⁹ کہلاتی ہے۔

آئیں مختصر جفت قطب کی اخراجی مزاحمت حاصل کریں۔ دور میدان میں صرف E_θ اور H_ϕ پائے جاتے ہیں لہذا شعاعی اخراج

$$P = \frac{1}{2} \int_S [E_\theta H_\phi^*] \text{ حقیقی } ds \quad (14.53)$$

سے حاصل ہو گی جہاں H_ϕ^* مقناطیسی میدان H_ϕ کا جوڑی دار مخلوط ہے۔ اب $E_\theta = Z_0 H_\phi$ ہے لہذا

$$P = \frac{1}{2} \int_S [H_\phi H_\phi^* Z_0] \text{ حقیقی } ds = \frac{Z_0}{2} \int_S |H_\phi|^2 ds \quad (14.54)$$

یا

$$P = \frac{1}{2Z_0} \int_S |E_\phi|^2 ds \quad (14.55)$$

لکھا جاسکتا ہے جہاں خالی خلاء کی قدرتی رکاوت $Z_0 = \sqrt{\frac{\mu_0}{\epsilon_0}} = 120\pi$ اور $ds = r^2 \sin\theta d\theta d\phi$ کے برابر ہیں۔

جفت قطب کے میدان حاصل کرتے وقت فرض کیا گیا کہ اس کی پوری لمبائی پر یک برابر برقی رو I_0 پائی جاتی ہے۔ ساتھ ہی ساتھ لمبائی l کے مختلف نقطوں کے میدان کا زاویائی فرق نظر انداز کیا گیا۔ جفت قطب کی پوری لمبائی پر برابر برقی رو نہ ہونے کی صورت میں مساوات 14.24 سے مساوات 14.25 حاصل ہونے کی بجائے

$$A = \frac{\alpha_z \mu_0 e^{j(\omega t - \beta r)}}{4\pi r} \int_{-l/2}^{l/2} i \, dz$$

$$= \frac{\alpha_z \mu_0 l I e^{j(\omega t - \beta r)}}{4\pi r}$$

حاصل ہو گا جہاں I اوسط برقی رو ہے۔ اسی حقیقت کو مد نظر رکھتے ہوئے مساوات 14.38 سے مقناطیسی میدان کا حیطہ

$$H_\phi = \frac{I \beta l}{4\pi r} \sin \theta \quad (14.56)$$

لکھتے ہوئے I_0 کی جگہ اوسط برقی رو I لکھی گئی ہے۔ مقناطیسی میدان کے اس حیطے کو مساوات 14.54 میں پر کرتے ہوئے زیادہ سے زیادہ اخراجی طاقت

$$P = \frac{120\pi}{2} \int_0^{2\pi} \int_0^\pi \left(\frac{I \beta l}{4\pi r} \sin \theta \right)^2 r^2 \sin \theta \, d\theta \, d\phi$$

$$= \frac{120\pi}{2} \left(\frac{\beta l I}{4\pi} \right)^2 \int_0^{2\pi} \int_0^\pi \sin^3 \theta \, d\theta \, d\phi$$

$$= 80\pi^2 I^2 \left(\frac{l}{\lambda} \right)^2$$

حاصل ہوتی ہے۔ مساوات 14.54 یا مساوات 14.55 برقی رو کی چوٹی I کی صورت میں اخراجی طاقت دیتے ہیں جو سائن نما برقی رو کی صورت میں اوسط اخراجی طاقت کے دگنا ہوتی ہے۔ یوں اوسط اخراجی طاقت

$$P_{\text{اوسط}} = 40\pi^2 I^2 \left(\frac{l}{\lambda} \right)^2 \quad (14.57)$$

ہو گی۔ مساوات 14.52 سے مختصر جفت قطب کی اخراجی مزاحمت

$$R = 80\pi^2 \left(\frac{l}{\lambda} \right)^2 \left(\frac{I}{I_0} \right)^2 \quad (\Omega) \quad (14.58)$$

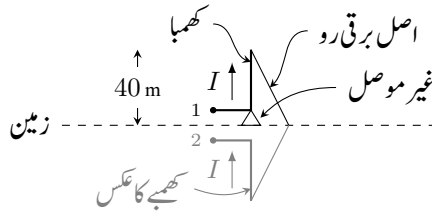
حاصل ہوتی ہے۔

کسی بھی اینٹینا کی اخراجی مزاحمت

$$R = \frac{Z_0}{I_0^2} \int_S |H|^2 \, ds = \frac{1}{Z_0 I_0^2} \int_S |E|^2 \, ds \quad (14.59)$$

سے حاصل کی جاسکتی ہے جہاں $Z_0 = 120\pi$ کے برابر ہے۔

مثال 14.1: چالیس میٹر لمبے کھجے اینٹینا کو موصل سطح پر کھڑا کئے 300 kHz کے تعدد پر استعمال کیا جاتا ہے۔ اسے برقی اشارہ نچلے سرے پر فہام کیا جاتا ہے۔ اینٹینا کی اخراجی مزاحمت حاصل کریں۔ اس کھجے کو شکل 14.10 میں دکھایا گیا ہے۔ کھجے کو غیر موصل بنیاد پر کھڑا کیا گیا ہے۔



شکل 14.10: کھمبا اینٹینا

حل: موصل زمین میں کھمبا اینٹینا کا عکس بنتا ہے۔ درکار تعدد پر $\lambda = \frac{c}{f} = \frac{3 \times 10^8}{300000} = 1000 \text{ m}$ ہے جو کھمبے کی لمبائی سے بہت زیادہ ہے۔ یوں اینٹینا اور اس کا عکس بطور مختصر جفت قطب کردار ادا کرتے ہیں۔ چونکہ کھمبے کے سر پر موصل چادر نسب نہیں کیا گیا ہے لہذا اس کے پورے لمبائی پر برابر برقی رو تصور کرنا غلط ہو گا۔ حقیقت میں، جیسے شکل میں وضاحت کی گئی ہے، کھمبے کے کھلے سر پر برقی رو صفر ہو گی جبکہ نچلے سر پر اس کی قیمت زیادہ سے زیادہ ہو گی۔ جیسا شکل میں دکھایا گیا ہے، برقی رو بالمقابل لمبائی کا خط تکونی ہے۔ یوں اوسطاً برقی رو $I_{\text{اوسط}} = \frac{I_0}{2}$ ہو گی جہاں برقی رو کی زیادہ سے زیادہ قیمت I_0 ہے۔

یوں 2×40 میٹر لمبے فرضی جفت قطب کی اخراجی مزاحمت مساوات 14.58 سے

$$80\pi^2 \left(\frac{2 \times 40}{1000} \right)^2 \left(\frac{0.5I_0}{I_0} \right)^2 = 1.2633 \Omega$$

حاصل ہوتی ہے۔ یہ مزاحمت حقیقی کھمبے کے سر 1 اور عکسی کھمبے کے سر 2 کے مابین ہے۔ یوں اصل اینٹینا کی اخراجی مزاحمت جو زمین اور 1 کے مابین ناپی جائے گی کی قیمت

$$R_{\text{اخراجی}} = \frac{0.63165}{2} = 0.63 \Omega \quad (14.60)$$

ہو گی۔

حقیقی دھات کامل موصل نہیں ہوتے لہذا کسی بھی دھات سے بنائے گئے جفت قطب میں توانائی کا ضیاع ہو گا۔ موصل کے علاوہ اینٹینا کے ساتھ منسلک ذو برق میں بھی طاقت کا ضیاع ہو گا۔ ان ضیاع کو مزاحمت نیائی R سے ظاہر کیا جاسکتا ہے۔ یوں اینٹینا کے برقی سروں پر کل مزاحمت

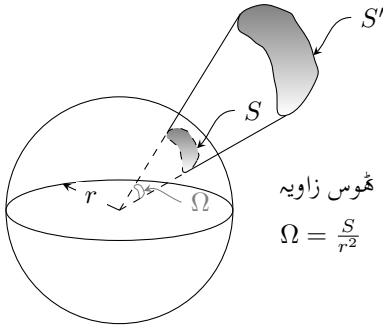
$$R = R_{\text{اخراجی}} + R_{\text{نیائی}} \quad (14.61)$$

ہو گی۔ مندرجہ بالا مثال میں اگر $R_{\text{نیائی}} = 0.63 \Omega$ ہو تا تب اینٹینا کی کارگزاری k^{10}

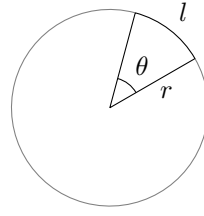
$$k = \frac{\text{اخراجی طاقت}}{\text{داخلی طاقت}} = \frac{R_{\text{اخراجی}}}{R_{\text{اخراجی}} + R_{\text{نیائی}}} \frac{0.63}{0.63 + 0.63} = 50 \% \quad (14.62)$$

پچاس فی صد ہو گی۔ اگر طاقت کا ضیاع بڑھائے بغیر زیادہ لمبائی کا جفت قطب استعمال کیا جائے تو کارگزاری اس سے بہتر کی جاسکتی ہے۔

اینٹینا کو مکمل گھیرتی بند سطح پر مخلوط پوائنٹنگ سمتیہ کا سطحی مکمل لینے سے حقیقی طاقت کے ساتھ ساتھ خیالی طاقت بھی حاصل ہوتا ہے۔ حقیقی طاقت اخراجی طاقت کو ظاہر کرتا ہے جبکہ خیالی طاقت متعامل جزو ہے۔ سطح مکمل کی صورت اور مقام کا مکمل کے حقیقی جزو پر کوئی اثر نہیں البتہ خیالی طاقت کا دار و مدار سطح کی صورت اور مقام پر ہے۔ اینٹینا سے بہت دور خیالی جزو قابل نظر انداز ہوتا ہے جبکہ اینٹینا کے قریب اس جزو کی مقدار بڑھ جاتی ہے۔ نہایت تپتی ساخت کے خطی اینٹینا کی صورت میں اگر سطح مکمل کو بالکل سطح اینٹینا کے ساتھ ملا لیا جائے تب حاصل مخلوط طاقت تقسیم I_0^2 رکھاٹ $R + jX$ دیتا ہے جہاں R اینٹینا کے اخراجی مزاحمت کو ظاہر کرتا ہے۔



ب: سٹریڈین کی تعریف



الف: ریڈین کی تعریف

شکل 14.11: ریڈین اور سٹریڈین کی تعریف

14.6 ٹھوس زاویہ

اگلے حصے میں ٹھوس زاویہ¹¹ درکار ہو گا لہذا اسے پہلے سمجھتے ہیں۔

شکل 14.11-الف میں رداس r کے دائرے پر قوس کی لمبائی l اور رداس r کی شرح

$$(14.63) \quad \theta = \frac{l}{r} \quad (\text{rad})$$

زاویہ θ دیتی ہے جس کی اکائی ریڈین¹² (rad) ہے۔ یوں اکائی رداس کے دائرے پر اکائی لمبی قوس، دائرے کے مرکز پر، ایک ریڈین (1 rad) کا زاویہ بنائے گی۔ یہی اکائی ریڈین کی تعریف ہے۔ چونکہ دائرے کا محیط 2πr ہے لہذا دائرے کے گرد ایک مکمل چکر 2π ریڈین کے زاویے کو ظاہر کرتی ہے۔ اگرچہ مساوات 14.63 کے تحت θ دراصل بے بُعد مقدار ہے، ہم اس کے باوجود اس کو فرضی اکائی ریڈین میں ناپتے ہیں۔ یوں x rad سے ظاہر ہوتا ہے کہ x زاویے کی بات کی جا رہی ہے۔

بالکل اسی طرح رداس r کے کرہ کی سطح پر کسی بھی رقبہ S اور کرہ کے رداس کے مربع r² کی شرح

$$(14.64) \quad \Omega = \frac{S}{r^2} \quad (\text{sr})$$

ٹھوس زاویہ Ω دیتی ہے جسے مربع ریڈین یعنی سٹریڈین¹³ (sr) میں ناپا جاتا ہے۔ اکائی رداس کے کرہ پر اکائی رقبہ، کرہ کے مرکز پر، ایک سٹریڈین کا ٹھوس زاویہ بنائے گی۔ یہی سٹریڈین کی تعریف ہے۔ چونکہ کرہ کی سطح 4πr² کے برابر ہے لہذا پوری کرہ 4π سٹریڈین کا ٹھوس زاویہ دیتی ہے۔ اگرچہ ٹھوس زاویہ بے بُعد مقدار ہے، ہم اس کے باوجود اس کو فرضی اکائی سٹریڈین میں ناپتے ہیں۔ یوں مختلف اعداد کی بات کرتے وقت یہ جاننا ممکن ہوتا ہے کہ ٹھوس زاویے کی بات کی جا رہی ہے۔

شکل 14.11-ب میں عمومی رقبہ S' کا محدود مرکز پر ٹھوس زاویہ حاصل کرنے کا طریقہ دکھایا گیا ہے۔ مرکز سے دیکھتے ہوئے S' کا بیرونی خاکہ نظر آئے گا۔ اگر اس خاکے کے بیرونی کناروں سے مرکز تک بڑی چادر کھینچ کر لگائی جائے تو یہ چادر رداس r کے کرہ کو کاٹے گی۔ کرہ کی سطح پر یوں رقبہ S گھیرا جائے گا۔ ٹھوس زاویہ

$$(14.65) \quad \Omega = \frac{S}{r^2}$$

کے برابر ہو گا۔ اکائی رداس کے کرہ کی صورت میں رقبہ S کی قیمت ٹھوس زاویے کی قیمت کے برابر ہوگی۔

4978

شکل 14.11- الف میں θ نظارے کے حدود کو ظاہر کرتا ہے۔ اسی طرح شکل 14.11- ب میں Ω نظارے کے حدود تعین کرتا ہے۔

4979

شکل 14.11- الف میں دکھایا گیا زاویہ سطحی نوعیت کا ہے جسے ریڈیئن میں ناپا جاتا ہے۔ اس کے برعکس شکل 14.11- ب میں دکھایا گیا زاویہ حجمی نوعیت کا ہے جسے سٹریڈیئن یا ریڈیئن کے مربع میں ناپا جاتا ہے۔ یاد رہے کہ ایک مربع ریڈیئن کو ہی ایک سٹریڈیئن کہتے ہیں۔

$$(14.66) \quad 1 \text{ sr} = 1 \text{ rad}^2$$

کروی محدود میں r رداس کے کرہ کی سطح پر رقبے کو

$$(14.67) \quad S = \int_{\theta} \int_{\phi} r^2 \sin \theta \, d\theta \, d\phi$$

لکھا جاسکتا ہے۔ یہ رقبہ کرہ کے مرکز پر

$$(14.68) \quad \Omega = \frac{S}{r^2} = \int_{\theta} \int_{\phi} \sin \theta \, d\theta \, d\phi \quad (\text{sr})$$

4980

ٹھوس زاویہ بنائے گی۔

4981

14.7 اخراجی رقبہ، سمتیت اور افزائش

مختصر جفت قطب کے دور میدان میں صرف E_{θ} اور H_{ϕ} پائے جاتے ہیں جنہیں مساوات 14.38 میں پیش کیا گیا ہے۔ کسی بھی اینٹینا کی طرح اس کے دور میدان $\frac{1}{r}$ کی شرح سے گھٹتے ہیں لہذا پونٹنگ سمتیت

$$(14.69) \quad \mathcal{P} = \frac{1}{2} [\mathbf{E}_s \times \mathbf{H}_s^*]_{\text{حقیقی}} = \frac{Z_0}{2} |H|^2 \mathbf{a}_r = \frac{1}{2Z_0} |E|^2 \mathbf{a}_r$$

$\frac{1}{r^2}$ کی شرح سے گھٹتے گی۔ یوں پونٹنگ سمتیت کے رداسی جزو کو r^2 سے ضرب دینے سے

$$(14.70) \quad P(\theta, \phi) = r^2 \mathcal{P} = \frac{Z_0}{2} |H|^2 r^2 = \frac{1}{2Z_0} |E|^2 r^2 \quad (\text{W/sr})$$

حاصل ہوتی ہے جس کی قیمت فاصلہ r بڑھانے سے نہیں گھٹتی۔ $P(\theta, \phi)$ **اخراجی شدت**¹⁴ کہلاتی ہے۔ اخراجی شدت کے بعد پر غور کریں۔ پونٹنگ سمتیت طاقت کی کثافت یعنی طاقت فی رقبہ دیتی ہے۔ مساوات 14.64 سے رقبہ کو $\Omega r^2 = S$ لکھا جاسکتا ہے۔ یوں پونٹنگ سمتیت ضرب مربع رداس کا بعد طاقت فی ٹھوس زاویہ W/sr بنتی ہے۔

4984

اخراجی شدت کو **تقابل پذیر**¹⁵ بنانے کی خاطر $P(\theta, \phi)$ کو اس کی زیادہ سے زیادہ قیمت بلند تر $r^2 \mathcal{P}$ بلند تر $P(\theta, \phi)$ سے تقسیم کرتے ہوئے

$$(14.71) \quad P_n(\theta, \phi) = \frac{P(\theta, \phi)}{P(\theta, \phi)_{\text{بلند تر}}} \quad \text{بے بعد}$$

بے بُعد¹⁶ مقدار $P_n(\theta, \phi)$ حاصل ہوتی ہے جو لینینا کی **تقابل پذیر نقش طاقت**¹⁷ ہے۔

لینینا کی کل اخراج

$$(14.72) \quad \int_0^{2\pi} \int_0^\pi \mathcal{P} r^2 \sin \theta \, d\theta \, d\phi$$

ہے۔ اگر کثافت طاقت بلند تر \mathcal{P} ہو تب اتنی اخراج مکمل کرہ کی سطح کے بجائے کرہ کی سطح پر رقبہ S سے خارج ہوگی یعنی

$$(14.73) \quad \mathcal{P}_{\text{بلند تر}} S = \int_0^{2\pi} \int_0^\pi \mathcal{P} r^2 \sin \theta \, d\theta \, d\phi$$

ہوگا۔ اس میں مساوات 14.64 کی مدد سے کرہ کی سطح پر رقبہ کو ٹھوس زاویے کی صورت میں لکھتے ہوئے

$$\Omega_A = \int_0^{2\pi} \int_0^\pi \frac{\mathcal{P} r^2}{\mathcal{P}_{\text{بلند تر}} r^2} \sin \theta \, d\theta \, d\phi$$

یعنی

$$(14.74) \quad \Omega_A = \int_0^{2\pi} \int_0^\pi P_n(\theta, \phi) r^2 \sin \theta \, d\theta \, d\phi = \iint_{4\pi} P_n(\theta, \phi) \, d\Omega \quad (\text{sr})$$

حاصل ہوتا ہے۔ اس مساوات کے تحت Ω_A ٹھوس زاویے پر یکساں زیادہ سے زیادہ طاقت خارج کرتے ہوئے لینینا پوری طاقت خارج کر سکتی ہے۔ اسے Ω_A کو **اخراجی ٹھوس زاویہ**¹⁸ کہتے ہیں۔

مرکزی شعاع¹⁹ پر مکمل

$$(14.75) \quad \Omega_M = \iint_{\text{مرکزی شعاع}} P_n(\theta, \phi) \, d\Omega \quad (\text{sr})$$

لیتے ہوئے **مرکزی ٹھوس زاویہ**²⁰ حاصل کیا جاسکتا ہے۔ یوں **ٹانوی شعاع**²¹ کے ٹھوس زاویہ Ω_m کو اخراجی ٹھوس زاویے اور مرکزی ٹھوس زاویے کے فرق

$$(14.76) \quad \Omega_m = \Omega_A - \Omega_M$$

سے حاصل کیا جاسکتا ہے۔ **غیر سمتی**²² لینینا ہر سمت میں برابر اخراج کرتی ہے لہذا ہر سمت میں اس کا $P_n(\theta, \phi) = 1$ اور $\Omega_A = 4\pi$ ہوگا۔⁴⁹⁸⁸

لینینا کی دوسری اہم خاصیت اس کی **سمتیت**²³ ہے۔ اخراجی لینینا کی زیادہ سے زیادہ اخراجی شدت اور اوسط اخراجی شدت کی شرح

$$(14.77) \quad D = \frac{\text{بلند تر زیادہ سے زیادہ اخراجی شدت}}{\text{اوسط اخراجی شدت}} = \frac{P(\theta, \phi)_{\text{بلند تر}}}{P(\theta, \phi)_{\text{اوسط}}} \quad \text{بے بُعد}$$

dimensionless¹⁶
normalized power pattern¹⁷
beam solid angle¹⁸
main lobe¹⁹
major lobe solid angle²⁰
minor lobe²¹
isotropic²²
directivity²³

اس کی سمتیت کہلاتی ہے۔ کل اخراج W کو 4π سٹریڈین سے تقسیم کرنے سے اوسط اخراجی شدت اوسط $P(\theta, \phi)$ حاصل ہوتی ہے جبکہ اخراجی شدت $P(\theta, \phi)$ کا 4π سٹریڈین پر مکمل لینے سے اینٹینا کی کل اخراج حاصل ہوتی ہے۔ یوں

$$D = \frac{P(\theta, \phi)_{\text{بلندتر}}}{W/4\pi} = \frac{4\pi P(\theta, \phi)_{\text{بلندتر}}}{\int \int_{4\pi} P(\theta, \phi) d\Omega}$$

$$(14.78) \quad = \frac{4\pi}{\int \int_{4\pi} \frac{P(\theta, \phi)}{P(\theta, \phi)_{\text{بلندتر}}} d\Omega}$$

$$= \frac{4\pi}{\int \int_{4\pi} P_n(\theta, \phi) d\Omega}$$

لکھی جاسکتی ہے۔ مساوات 14.74 کے ساتھ موازنے کے بعد اسے

$$(14.79) \quad D = \frac{4\pi}{\Omega_A} \quad \text{بے بعد}$$

لکھا جاسکتا ہے۔ یوں اینٹینا کی سمتیت سے مراد، کرہ کا ٹھوس زاویہ 4π تقسیم اینٹینا کی اخراجی ٹھوس زاویہ Ω ہے۔ سمتیت اینٹینا کی ایک منفرد خاصیت ہے۔ مخصوص ٹھوس زاویے میں طاقت مرکوز کرنے کی صلاحیت کی ناپ سمتیت ہے۔ سمتیت جتنی زیادہ ہوگی اینٹینا اتنی کم ٹھوس زاویے میں طاقت کو مرکوز کر پائے گا۔

4991

4992

مثال 14.2: غیر سمتی اینٹینا کی سمتیت حاصل کریں۔

حل: غیر سمتی اینٹینا ہر سمت میں یکساں اخراج کرتی ہے لہذا اس کا $P_n(\theta, \phi) = 1$ اور $\Omega_A = 1$ ہوں گے۔ یوں

$$(14.80) \quad D = \frac{4\pi}{\Omega_A} = 1$$

حاصل ہو گا۔ کسی بھی اینٹینا کی یہ کم سے کم ممکنہ سمتیت ہے۔

4994

4995

4996

مثال 14.3: مختصر جفت قطب کی سمتیت حاصل کریں۔

حل: مساوات 14.38 استعمال کرتے ہوئے تقابل پذیر نقش طاقت

$$(14.81) \quad P_n(\theta, \phi) = \frac{H_\phi^2(\theta, \phi)}{H_\phi^2(\theta, \phi)_{\text{بلندتر}}} = \sin^2 \theta$$

4997

لکھی جاسکتی ہے۔ مساوات 14.74 سے

$$\Omega_A = \int_0^{2\pi} \int_0^\pi \sin^2 \theta \, d\theta \, d\phi = \frac{8\pi}{3} \quad (14.82)$$

اور یوں مساوات سے

$$D = \frac{4\pi}{\Omega} = \frac{3}{2} \quad (14.83)$$

4998

حاصل ہوتا ہے۔ یوں غیر سمتی اینٹینا کی نسبت سے مختصر جفت قطب کی زیادہ سے زیادہ اخراج $\frac{3}{2}$ گنا زیادہ ہے۔

4999

سمتیت کا دار و مدار صرف اور صرف دور میدان کی نقش پر ہے۔ اس میں اینٹینا کی کارگزاری شامل نہیں ہے۔ اس کے برعکس اینٹینا کی کارگزاری، اینٹینا کی افرائش طاقت یا **افرائش**²⁴ پر اثر انداز ہوتی ہے۔ اینٹینا کی افرائش سے مراد

$$G = \frac{\text{آزمائشی اینٹینا کی زیادہ سے زیادہ اخراجی شدت}}{\text{حوالہ اینٹینا کی زیادہ سے زیادہ اخراجی شدت}} = \text{افرائش} \quad (14.84)$$

ہے جہاں دونوں اینٹینوں کی داخلی طاقت برابر ہے۔ کسی بھی اینٹینا کو بطور حوالہ اینٹینا لیا جاسکتا ہے۔ اگر ہم بے ضیاع، غیر سمتی اینٹینا کو حوالہ تصور کریں تب

$$G_0 = \frac{P'_m}{P_0} \quad (14.85)$$

5000

ہو گا جہاں

5001

P'_m آزمائشی اینٹینا کی زیادہ سے زیادہ اخراجی شدت،

5002

P_0 بے ضیاع، غیر سمتی اینٹینا کی اخراجی شدت

ہیں۔ یاد رہے کہ غیر سمتی اینٹینا ہر سمت میں یکساں اخراج کرتی ہے لہذا اس کی زیادہ سے زیادہ شدت اور اوسط اخراجی شدت برابر ہوتے ہیں۔ آزمودہ اینٹینا کی اخراجی شدت P'_m اور کامل اینٹینا کی اخراجی شدت P_m کی شرح اینٹینا کی کارگزاری k دیتی ہے۔ یہ وہی k ہے جسے مساوات 14.62 میں بھی حاصل کیا گیا۔ یوں

$$G_0 = \frac{kP_m}{P_0} = kD \quad (14.86)$$

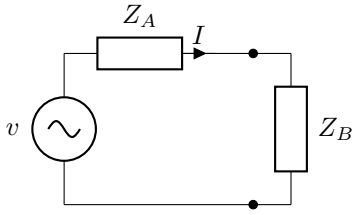
حاصل ہوتا ہے۔ یہ مساوات کہتی ہے کہ کسی بھی کامل اینٹینا ($k = 100\%$) کی افرائش، کامل غیر سمتی اینٹینا کی نسبت سے، اسی اینٹینا کی سمتیت کے برابر ہوتی ہے۔ غیر کامل $k < 100\%$ اینٹینا کی صورت میں افرائش کی قیمت سمتیت سے کم ہوگی۔

5004

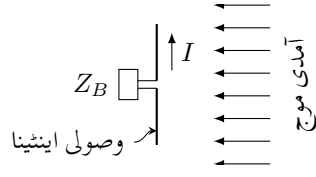
سمتیت کی قیمت 1 تا ∞ ممکن ہے۔ سمتیت کی قیمت اکائی سے کم نہیں ہو سکتی۔ اس کے برعکس افرائش کی قیمت صفر تا لا محدود ممکن ہے۔

$$1 \leq D \leq \infty$$

$$0 \leq G \leq \infty \quad \text{مکملہ قیمت}$$



ب: اینٹینا کے ساتھ برقی رکاوٹ جوڑا گیا ہے



الف: آمدی موج میں تر وصولی اینٹینا

شکل 14.12: وصولی اینٹینا آمدی موج سے طاقت حاصل کر کے برقی رکاوٹ کو فراہم کرتی ہے۔

اخراجی اینٹینا²⁵ شعاعی اخراج کرتی ہے۔ اس کے برعکس وصولی اینٹینا²⁶ شعاع سے طاقت وصول کرتی ہے۔ برقی و مقناطیسی امواج جب وصولی اینٹینا پر پہنچتے ہیں تو وصولی اینٹینا ان سے طاقت حاصل کرتی ہے۔ اگر اینٹینا کے برقی سروں پر بیرونی مزاحمت R_B نسب کی جائے تو حاصل کردہ طاقت کا کچھ حصہ اس مزاحمت میں ضائع ہوگا۔ ہم چونکہ بیرونی مزاحمت کو فراہم طاقت $W = I^2 R_B$ میں دلچسپی رکھتے ہیں لہذا اسی کی بات کرتے ہوئے آگے بڑھتے ہیں۔ بیرونی مزاحمت کو فراہم طاقت $I^2 R_B$ کے برابر طاقت آمدی موج کے رقبہ S میں پایا جاتا ہے۔ یوں

$$\mathcal{P}S = I^2 R_B \quad (14.87)$$

لکھا جاسکتا ہے۔ ہم فرض کرتے ہیں کہ اینٹینے کا رقبہ S ہی ہے اور اینٹینا اتنے رقبے پر آمدی موج سے مکمل طاقت حاصل کرنے اور اسے بیرونی برقی سروں تک منتقل کرنے کی صلاحیت رکھتی ہے۔ اس فرضی رقبے کو **وصولی رقبہ**²⁷ کہا جاتا ہے۔ یوں وصولی رقبے کو

$$S = \frac{I^2 R_B}{\mathcal{P}} \quad (14.88)$$

سے حاصل کیا جاسکتا ہے جہاں

S اینٹینا کا فرضی رقبہ، m^2

I موثر برقی رو، A

\mathcal{P} آمدی موج کا پونٹنگ سمتیہ، W/m^2

R_L برقی مزاحمت، Ω

ہیں۔ حقیقت میں اینٹینا $I^2 R_B$ سے زیادہ طاقت حاصل کرتی ہے جس کا کچھ حصہ اینٹینا کے اندر ہی ضائع ہو جاتا ہے۔ ہمیں اینٹینا کے اندر ضائع ہونے والے طاقت سے کوئی دلچسپی نہیں ہے۔

شکل 14.12-الف میں آمدی موج میں تر اینٹینا دکھایا گیا ہے جسے بیرونی برقی رکاوٹ Z_B کے ساتھ جوڑا گیا ہے۔ اینٹینا کا **تھونن**²⁸ مساوی دور استعمال کرتے ہوئے، شکل-ب میں اسی کا مکمل برقی دور دکھایا گیا ہے۔ اس دور میں سلسلہ وار برقی رو

$$I = \frac{v}{Z_A + Z_B} = \frac{v}{R_A + R_B + j(X_A + X_B)}$$

ہوگی جہاں

gain²⁴
transmitting antenna²⁵
receiving antenna²⁶
antenna aperture²⁷
Thevenin equivalent circuit²⁸

v لینٹینا میں آمدی موج سے پیدا موثر برقی دباؤ،

R_A لینٹینا کے تھون مساوی دور میں لینٹینا کی مزاحمت،

X_A تھون دور میں لینٹینا کی متعاملیت،

R_B بیرونی مزاحمت،

X_B بیرونی متعاملیت

ہیں۔ یوں بیرونی مزاحمت کو مہیا طاقت

$$(14.89) \quad |I|^2 R_B = \frac{v^2 R_B}{(R_A + R_B)^2 + (X_A + X_B)^2}$$

ہو گا جس سے لینٹینے کا رقبہ وصولی

$$(14.90) \quad S = \frac{v^2 R_B}{\mathcal{P} [(R_A + R_B)^2 + (X_A + X_B)^2]}$$

حاصل ہوتا ہے۔

آمدی موج کی نسبت سے ایک مخصوص انداز میں رکھے ہوئے لینٹینا میں زیادہ سے زیادہ برقی دباؤ پیدا ہو گا۔ اسی جگہ لینٹینا کو رکھتے ہوئے بیرونی مزاحمت میں زیادہ سے زیادہ طاقت اس صورت منتقل ہوگی جب

$$(14.91) \quad R_B = R_A$$

$$(14.92) \quad X_B = -X_A$$

ہوں۔ بے ضیاع لینٹینا کی تھون مزاحمت دراصل لینٹینا کی اخراجی مزاحمت R_r ہی ہے۔ اس طرح بیرونی مزاحمت میں زیادہ سے زیادہ طاقت منتقل کرتے وقت زیادہ سے زیادہ وصولی رقبہ

$$(14.93) \quad S_{\text{اخراجی}} = \frac{v^2}{4\mathcal{P}R_r}$$

حاصل ہو گا جسے لینٹینا کا **اخراجی رقبہ**²⁹ $S_{\text{اخراجی}}$ پکارا جاتا ہے۔ ہر لینٹینا مخصوص قیمت کا **اخراجی رقبہ** رکھتا ہے۔

مثال 14.4: پورے مختصر جفت قطب پر یکساں برقی رو تصور کرتے ہوئے، اس کا اخراجی رقبہ حاصل کریں۔

حل: مساوات 14.93 سے ظاہر ہے کہ اخراجی رقبہ دریافت کرنے کے لئے، لینٹینا میں پیدا برقی دباؤ v ، لینٹینا کی اخراجی مزاحمت R_r اور آمدی موج میں کثافت طاقت \mathcal{P} درکار ہوں گے۔ جفت قطب میں زیادہ سے زیادہ برقی دباؤ اس صورت پیدا ہوگی جب لینٹینا کی تار اور آمدی موج کا برقی میدان متوازی ہوں۔ ایسی صورت میں لینٹینا میں

$$(14.94) \quad v = El$$

برقی دباؤ پیدا ہوگی۔ آمدی موج کی پونٹنگ سمتیہ

$$\mathcal{P} = \frac{E^2}{Z_0} \quad (\text{W/m}^2) \quad (14.95)$$

جہاں $Z_0 = \sqrt{\mu_0/\epsilon_0} = 120\pi$ خالی خلاء کی قدرتی رکاوٹ ہے۔ مساوات 14.58 میں $I = I_0$ پر کرنے سے موجودہ جفت قطب کی اخراجی مزاحمت

$$R_r = 80\pi^2 \left(\frac{l}{\lambda} \right)^2 \quad (14.96)$$

حاصل ہوتی ہے۔ ان تمام کو مساوات 14.93 میں پر کرتے ہوئے

$$S_{\text{اخراجی}} = \frac{E^2 l^2}{4 \frac{E^2}{Z_0} 80\pi^2 \left(\frac{l}{\lambda} \right)^2} = \frac{3\lambda^2}{8\pi} = 0.119\lambda^2 \quad (\text{m}^2) \quad (14.97)$$

یوں کامل مختصر جفت قطب کی لمبائی جتنی بھی کم کیوں نہ ہو یہ ہر صورت $0.119\lambda^2$ اخراجی رقبے پر آمدی موج سے تمام طاقت حاصل کرنے اور اسے بیرونی مزاحمت تک منتقل کرنے کی صلاحیت رکھتا ہے۔ حقیقی جفت قطب غیر کامل ہوگا لہذا اس کی مزاحمت $R_{\text{اخراجی}} + R_{\text{ضائع}}$ ہوگی۔ یوں کامل جفت قطب کا اخراجی رقبہ کچھ کم ہوگا۔

آئیں ایسے اینٹینا کی بات کریں جس کا اخراجی رقبہ $S_{\text{اخراجی}}$ اور اخراجی ٹھوس زاویہ Ω_A ہو۔ اخراجی رقبے پر یکساں برقی میدان E_m کی صورت میں اخراجی طاقت

$$P = \frac{E_m^2}{Z} S_{\text{اخراجی}} \quad (14.98)$$

ہوگا جہاں Z انتقالی خطے کی قدرتی رکاوٹ ہے۔

اگر r فاصلے پر میدان E_r ہو تب اخراجی طاقت

$$P = \frac{E_r^2}{Z} r^2 \Omega_A \quad (14.99)$$

ہوگا۔

ہم آگے جا کر مساوات 14.155 حاصل کریں گے جس کے تحت $E_r = \frac{E_m S_{\text{اخراجی}}}{r\lambda}$ ہے۔ اس نتیجے کو استعمال کرتے ہوئے مندرجہ بالا دو مساوات کو برابر لکھتے ہوئے

$$\lambda^2 = S_{\text{اخراجی}} \Omega_A \quad (\text{m}^2) \quad (14.100)$$

حاصل ہوتا ہے جہاں

λ طول موج،

$S_{\text{اخراجی}}$ اینٹینا کا اخراجی رقبہ اور

Ω_A اینٹینا کا اخراجی ٹھوس زاویہ

ہیں۔ اس مساوات کے تحت اینٹینا کا اخراجی رقبہ ضرب اخراجی ٹھوس زاویہ برابر ہوتا ہے طول موج کا مربع۔ یوں اگر ہمیں اخراجی رقبہ معلوم ہو تب ہم اخراجی ٹھوس زاویہ حاصل کر سکتے ہیں اور اگر اخراجی ٹھوس زاویہ معلوم ہو تب اخراجی رقبہ حاصل کیا جاسکتا ہے۔

5033

مساوات 14.79 میں مساوات 14.100 پر کرنے سے

$$D = \frac{4\pi}{\lambda^2} S_{\text{اخراجی}} \quad (14.101)$$

5034

لکھا جاسکتا ہے۔ سمتیت کی یہ تیسری مساوات ہے۔ تینوں کو یہاں دوبارہ پیش کرتے ہیں

$$D = \frac{P(\theta, \phi)_{\text{بلند تر}}}{P_{\text{اوسط}}} \quad (14.102)$$

$$D = \frac{4\pi}{\Omega}$$

$$D = \frac{4\pi}{\lambda^2} S_{\text{اخراجی}}$$

جہاں پہلی دو مساوات میں سمتیت اخراجی شعاع کے نقش سے حاصل کی گئی ہے جبکہ تیسری مساوات میں اسے اخراجی رقبے سے حاصل کیا گیا ہے۔

5036

14.8 قطاری ترتیب

مسئلہ اینٹینا دراصل اینٹینا کے مختلف حصوں سے پیدا میدانوں کا درست مجموعہ حاصل کرنا ہے۔ اینٹینا کے مختلف حصوں کے میدان جمع کرتے ہوئے ان کے انفرادی حیطے اور زاویائی فرق کا خیال رکھنا ضروری ہے۔

5038

5039

14.8.1 غیر سمتی، دو نقطہ منبع

دو عدد نقطہ منبع کو شکل میں دکھایا گیا ہے۔ دونوں منبع غیر سمتی ہیں اور ان کے درمیان فاصلہ d ہے۔ نقطہ منبع سے مراد ایسی فرضی منبع ہے جس کا حجم صفر کے برابر ہو۔ ہم آگے چل کر مسئلہ **میکافیت**³⁰ دیکھیں گے جس کے تحت نقطہ منبع کے قطاروں کا اخراجی نقش اور انہیں کا وصولی نقش بالکل یکساں ہوتے ہیں۔

5042

ہم فرض کرتے ہیں کہ دونوں منبع برابر حیطے اور ہم قدم میدان پیدا کرتے ہیں۔ دونوں میدان کے خطی تقطیب ہیں۔ مزید یہ کہ دونوں کے E میدان صفحے کے عمودی ہیں۔ دونوں منبع سے برابر فاصلے پر ان کے بالکل درمیانے مقام پر زاویائی صفر تصور کرتے ہوئے، دور میدان کو

$$E = E_2 e^{j\frac{\psi}{2}} + E_1 e^{-j\frac{\psi}{2}} \quad (14.103)$$

لکھا جاسکتا ہے جہاں

$$\psi = \beta d \cos \theta = \frac{2\pi d}{\lambda} \cos \theta \quad (14.104)$$

5043

ہے۔ ان مساوات میں

5044

E_1 منبع-1 کا زاویہ θ سمت میں دور میدان،

5045

E_2 منبع-2 کا زاویہ θ سمت میں دور میدان اور

5046

ψ دونوں اشارات کا زاویہ θ کی سمت میں زاویائی فرق

ہیں۔ دونوں دور میدان برابر ($E_1 = E_2$) ہونے کی صورت میں یوں

(14.105)

$$E = E_1 \left(e^{j\frac{\psi}{2}} + e^{-j\frac{\psi}{2}} \right) = 2E_1 \cos \frac{\psi}{2}$$

5047

ہو گا۔ فاصلہ $d = \frac{\lambda}{2}$ کی صورت میں میدان کو شکل میں دکھایا گیا ہے۔

اگر زاویائی صفر کو دونوں منبع کے درمیانے مقام کی جگہ منبع-1 پر چنا جاتا تب دور میدان

(14.106)

$$\begin{aligned} E &= E_1 + E_2 e^{j\psi} \\ &= \left(E_1 e^{-j\frac{\psi}{2}} + E_2 e^{j\frac{\psi}{2}} \right) e^{j\frac{\psi}{2}} \end{aligned}$$

حاصل ہوتا جو $E_1 = E_2$ کی صورت میں

(14.107)

$$E = 2E_1 \cos \frac{\psi}{2} e^{j\frac{\psi}{2}} = 2E_1 \cos \frac{\psi}{2} \angle \frac{\psi}{2}$$

حاصل ہوتا۔ میدان کا نقش چونکہ میدان کے حیطے پر منحصر ہوتا ہے لہذا اس میں کوئی تبدیلی رونما نہیں ہوئی البتہ میدان کا زاویہ تبدیل ہو گیا ہے۔ میدان کے زاویے کی تبدیلی کی وجہ یہ ہے کہ ہم نے زاویے کے صفر کو دونوں منبع کے درمیانے مقام سے ہٹا کر منبع-1 پر چنا ہے۔

5049

5050

14.8.2 ضرب نقش

گزشتہ حصے میں بالکل یکساں دو عدد غیر سمتی نقطہ منبع کے میدان پر غور کیا گیا۔ اگر نقطہ منبع سمتی ہوں اور دونوں کے نقش بالکل یکساں ہوں تب بھی مساوات 14.105 (یا مساوات 14.107) ہی ان کا مجموعی میدان دے گا پس فرق اتنا ہے کہ اب E_1 از خود θ کا تفاعل $E(\theta)$ ہے۔ انفرادی منبع کے نقش $E(\theta)$ کو **انفرادی نقش**³¹ جبکہ $\cos \frac{\psi}{2}$ کو **قطاری نقش**³² کہا جائے گا۔ یوں

(14.108)

$$E = E(\theta) \cos \frac{\psi}{2}$$

لکھا جاسکتا ہے۔ مساوات 14.108 **ضرب نقش**³³ کا اصول بیان کرتا ہے جس کے تحت انفرادی منبع کا نقش اور غیر سمتی نقطہ منبع کے قطار کا نقش ضرب دینے سے سمتی منبع کے قطار کا نقش حاصل ہوتا ہے۔ یہاں فرض کیا گیا ہے کہ قطار میں انفرادی نقطہ منبع کا نقش وہی ہے جو اس نقطہ منبع کا تنہائی میں نقش ہوتا ہے۔

5053

مساوات 14.107 دو غیر سمتی زاویائی طور پر ہم قدم نقطہ منبع کے جوڑی کا دور میدان دیتا ہے۔ نقطہ منبع کے درمیان فاصلہ $\frac{\lambda}{2}$ اور $E_1 = \frac{1}{2}$ ہونے کی صورت میں اس مساوات کو

$$(14.109) \quad E = \cos \left(\frac{\pi}{2} \cos \theta \right)$$

لکھا جاسکتا ہے۔ اس نقش کو شکل میں دکھایا گیا ہے جس میں کوئی ثانوی شعاع نہیں پایا جاتا۔ اس جوڑی منبع کے سیدھ میں $\frac{\lambda}{2}$ فاصلے پر منبع کی دوسری جوڑی رکھنے سے شکل-ب حاصل ہوتا ہے۔ اس شکل میں دو درمیانے منبع دراصل ایک ہی نقطے پر پائے جائیں گے لیکن وضاحت کی خاطر انہیں اوپر نیچے دکھایا گیا ہے۔ ضرب نقش کے اصول کے تحت ان کا مجموعی میدان

$$(14.110) \quad E = \cos^2 \left(\frac{\pi}{2} \cos \theta \right)$$

ہوگا جسے شکل میں دکھایا گیا ہے۔ اس مساوات پر شق کرنے والوں کے لئے مثال میں تفصیلی ثبوت پیش کیا گیا ہے۔

اس قطار کو تین عدد منبع کی قطار تصور کیا جاسکتا ہے جہاں قطار میں بالترتیب، منبع کی طاقت (1 : 2 : 1) نسبت سے ہے۔ اس تین رکنی قطار کے سیدھ میں لیکن $\frac{\lambda}{2}$ ہٹ کر بالکل ایسی ہی تین رکنی قطار رکھنے سے شکل حاصل ہوتی ہے۔ اس نئی قطار کو چار رکنی تصور کیا جاسکتا ہے جہاں بالترتیب منبع کی طاقت (1 : 3 : 3 : 1) نسبت سے ہے۔ اس چار رکنی قطار کا میدان

$$(14.111) \quad E = \cos^3 \left(\frac{\pi}{2} \cos \theta \right)$$

ہے۔ اس نقش میں بھی ثانوی شعاع نہیں پایا جاتا۔ اسی طرح بڑھتے ہوئے، ثانوی شعاع سے پاک، زیادہ سے زیادہ سمتیت کا نقش حاصل کیا جاسکتا ہے۔ یوں زیادہ منبع پر مبنی قطار میں منبع کی طاقت **ثنائی تسلسل**³⁴ کے **ثنائی سر**³⁵ کی نسبت سے ہوتے ہیں۔ ثنائی سروں کو شکل میں دکھائے گئے **پاسکل ٹکون**³⁶ کی مدد سے حاصل کیا جاسکتا ہے جس میں ہر اندرونی عدد، اوپر کے قریبی دو اعداد کا مجموعہ ہوتا ہے۔ متعدد منبع کے قطار کا نقش

$$(14.112) \quad E = \cos^{n-1} \left(\frac{\pi}{2} \cos \theta \right)$$

کے برابر ہوگا جہاں قطار میں منبع کی تعداد n ہے۔

اگرچہ مندرجہ بالا n رکنی قطار کے نقش میں کوئی ثانوی شعاع نہیں پایا جاتا اس کے باوجود اس کی سمتیت برابر طاقت کے n رکنی منبع کے قطار سے کم ہوتی ہے۔ حقیقی قطار عموماً ان دو صورتوں (ثنائی قطار اور یکساں قطار) کی درمیانی شکل رکھتے ہیں۔

مثال 14.5: مساوات 14.110 کو ثابت کریں۔

حل: مساوات 14.106 کی طرح زاویائی صفر کو قطار کے پہلی رکن پر چنتے ہوئے

$$\begin{aligned} E &= E_0 + E_0 e^{j\psi} + E_0 e^{j\psi} + E_0 e^{j2\psi} \\ &= E_0 (1 + e^{j\psi}) + E_0 e^{j\psi} (1 + e^{j\psi}) \\ &= E_0 (1 + e^{j\psi}) (1 + e^{j\psi}) \\ &= E_0 (1 + e^{j\psi})^2 \end{aligned}$$

جس میں $E_0 = \frac{1}{2}$ اور $\psi = \frac{\pi}{2} \cos \theta$ پر کرتے ہوئے

$$E = \left[\left(\frac{e^{-j\frac{\psi}{2}} + e^{j\frac{\psi}{2}}}{2} \right) e^{j\frac{\psi}{2}} \right]^2 = \cos^2 \frac{\psi}{2} \angle \psi$$

لکھا جاسکتا ہے۔ اس کا حیظ $\cos^2 \frac{\psi}{2}$ نقش کی مساوات ہے۔

5061

5062

5063

5064

مثال 14.6: مساوات 14.112 کو تفصیل سے ثابت کریں۔

ثنائی قطار میں رکن کے طاقت ثنائی تسلسل کے سر کی نسبت سے ہوتے ہیں۔ یوں $n+1$ رکنی قطار میں بالترتیب رکن کے طاقت $(1+x)^n$ کی ثنائی تسلسل

$$(14.113) \quad (1+x)^n = 1 + \frac{n}{1!}x + \frac{n(n-1)}{2!}x^2 + \frac{n(n-1)(n-2)}{3!}x^3 + \dots$$

کے سر سے حاصل کئے جاتے ہیں۔ یوں تین رکنی قطار کے سر ثنائی تسلسل

$$(14.114) \quad (1+x)^2 = 1 + 2x + x^2$$

کے سر کی نسبت 1 : 2 : 1 سے ہوں گے لہذا مندرجہ بالا مساوات میں $x = e^{j\psi}$ پر کرنے سے تین رکنی قطار کا دور میدان مندرجہ بالا مساوات کے بائیں یادائیں ہاتھ کی صورت میں لکھا جاسکتا ہے یعنی

$$(14.115) \quad E = E_0 (1 + e^{j\psi})^2 = E_0 (1 + 2e^{j\psi} + e^{j2\psi})$$

تین رکنی قطار کو دیکھ کر دور میدان مندرجہ بالا مساوات کی دائیں ہاتھ دیتی ہے جسے ثنائی تسلسل کی مدد سے مساوات کی بائیں ہاتھ کی صورت میں بھی لکھا جاسکتا ہے۔ مساوات کے بائیں ہاتھ سے نقش $\cos^2 \frac{\psi}{2}$ حاصل ہوتا ہے۔ اسی طرح n رکنی قطار کو $(1+x)^{n-1}$ کی ثنائی تسلسل کی مدد سے اکٹھے کرتے ہوئے

$$(14.116) \quad E = E_0 (1 + e^{j\psi})^{n-1}$$

لکھا جاسکتا ہے جس میں $E_0 = \frac{1}{2}$ اور $\psi = \pi \cos \theta$ پر کرتے ہوئے صرف حیظ لیتے ہوئے قطار کا نقش

$$(14.117) \quad E = \cos^{n-1} \left(\frac{\pi}{2} \cos \theta \right)$$

لکھا جاسکتا ہے۔

5065

5066

14.8.4 یکساں طاقت کے متعدد رکن پر مبنی قطار

ثنائی قطار غیر یکساں رکنی قطار ہے۔ آئیں شکل میں دکھائے گئے n رکنی، غیر سمتی، یکساں طاقت کے منبع کی قطار کا دور میدان حاصل کریں۔ یہاں فرض کیا جاتا ہے کہ قطار میں ہر دو قریبی منبع میں δ زاویائی فرق پایا جاتا ہے۔ یوں

$$\psi = \beta d \cos \theta + \delta \quad (14.118)$$

ہو گا۔ قطار کا دور میدان

$$E = E_0 \left(1 + e^{j\psi} + e^{j2\psi} + e^{j3\psi} + \dots + e^{j(n-1)\psi} \right) \quad (14.119)$$

لکھا جاسکتا ہے جہاں

d قطار میں رکن کے درمیان فاصلہ،

δ ہر دو قریبی رکن کے درمیان زاویائی فرق اور

ψ دو قریبی رکن میں کل زاویائی فرق یعنی $\psi = \beta d \cos \theta + \delta$

ہیں۔

اس میں $x = e^{j\psi}$ پر کرنے سے جانی پہچانی تسلسل

$$E_0 \left(1 + x + x^2 + x^3 + \dots + x^{n-1} \right)$$

حاصل ہوتی ہے جس کا مجموعہ

$$E_0 \left(\frac{1 - x^n}{1 - x} \right)$$

کے برابر ہے۔

مساوات 14.119 کو $e^{j\psi}$ سے ضرب دیتے ہوئے

$$E e^{j\psi} = E_0 \left(e^{j\psi} + e^{j2\psi} + e^{j3\psi} + \dots + e^{jn\psi} \right) \quad (14.120)$$

حاصل ہوتا ہے۔ مساوات 14.119 سے مساوات 14.120 منفی کر کے E کے لئے حل کرتے ہوئے

$$E = E_0 \frac{1 - e^{jn\psi}}{1 - e^{j\psi}} = E_0 \frac{\sin \frac{n\psi}{2}}{\sin \frac{\psi}{2}} \angle (n-1) \frac{\lambda}{2} \quad (14.121)$$

حاصل ہوتا ہے۔ اگر قطار کے درمیانے نقطے کو زاویائی صفر چنا جاتا تب مندرجہ بالا مساوات میں زاویہ $\angle (n-1) \frac{\lambda}{2}$ نہ پایا جاتا۔ تمام رکن غیر سمتی ہونے کی صورت میں E_0 ہر رکن کا انفرادی نقش ہو گا جبکہ $\frac{\sin \frac{n\psi}{2}}{\sin \frac{\psi}{2}}$ قطاری نقش ہے۔

غیر سمتی منبع اور زاویائی صفر کا مقام قطار کے درمیانے نقطے پر رکھتے ہوئے

$$E = E_0 \frac{\sin \frac{n\psi}{2}}{\sin \frac{\psi}{2}} \quad (14.122)$$

ہو گا۔ قطار کی زیادہ سے زیادہ قیمت $0 \rightarrow \psi$ کی صورت میں پائی جائے گی۔ چونکہ $\psi = 0$ پر مندرجہ بالا مساوات $E = \frac{0}{0}$ دیتا ہے جو بے معنی³⁷ ہے لہذا ہمیں **ال ہوس پٹل**³⁸ کا قاعدہ استعمال کرنا ہو گا جس کے تحت اگر تقابل $y = \frac{m(x)}{n(x)}$ کی قیمت $a \rightarrow x \rightarrow 0$ پر $y = \frac{0}{0}$ حاصل ہو تب قیمت $y = \frac{\partial m / \partial x}{\partial n / \partial x}$ سے حاصل ہو گی۔ یوں مندرجہ بالا مساوات سے $0 \rightarrow \psi$ پر

$$E = E_0 \frac{\frac{\partial \sin \frac{n\psi}{2}}{\partial \psi}}{\frac{\partial \sin \frac{\psi}{2}}{\partial \psi}} \bigg|_{\psi \rightarrow 0}$$

$$= E_0 \frac{\frac{n}{2} \cos \frac{n\psi}{2}}{\frac{1}{2} \cos \frac{\psi}{2}} \bigg|_{\psi \rightarrow 0}$$

یعنی

$$(14.123) \quad E = nE_0$$

حاصل ہوتا ہے جو قطار کی زیادہ سے زیادہ ممکنہ میدان ہے۔ یہ میدان قطار میں انفرادی منبع کے طاقت سے n گنا زیادہ ہے۔ اس قطار کے نقش کی زیادہ سے زیادہ قیمت اس زاویے پر پائی جائے گی جس پر $\psi = 0$ یعنی

$$(14.124) \quad \beta d \cos \theta + \delta = 0$$

ہو جس سے

$$(14.125) \quad \theta_{\text{بلند تر طاقت}} = \cos^{-1} \left(-\frac{\delta}{\beta d} \right)$$

حاصل ہوتا ہے۔

اسی طرح اخراجی نقش کا صفر اس مقام پر ہو گا جہاں مساوات 14.122 صفر کے برابر ہو یعنی جہاں $\frac{n\psi}{2} = \mp k\pi$ کے برابر ہو یعنی

$$(14.126) \quad \frac{n}{2} (\beta d \cos \theta + \delta) = \mp k\pi$$

جس سے صفر اخراج کا زاویہ

$$(14.127) \quad \theta_0 = \cos^{-1} \left[\left(\mp \frac{2k\pi}{n} - \delta \right) \frac{\lambda}{2\pi d} \right]$$

حاصل ہوتا ہے جہاں

θ_0 صفر اخراج کا زاویہ،

$k = 1, 2, 3, \dots$ ممکن ہے جہاں $mn \neq k$ کی شرط لاگو ہے جس میں $m = 1, 2, 3, \dots$ کے برابر ہے۔

مساوات 14.122 کو مساوات 14.123 سے تقسیم کرتے ہوئے تقابل پذیر میدان E_n

$$(14.128) \quad E_n = \frac{E}{nE_0} = \frac{1}{n} \frac{\sin \frac{n\psi}{2}}{\sin \frac{\psi}{2}}$$

حاصل ہوتا ہے۔

14.8.5 یکساں طاقت کے متعدد رکن پر مبنی قطار: چوڑائی جانب اخراجی قطار

5081

نقش کی چوٹی اس مقام پر پائی جاتی ہے جس پر $\delta = -\beta d \cos \theta$ ہو۔ قطار کے سیدھ میں کھڑے ہو کر، چوڑائی جانب ($\theta = 90^\circ$) زیادہ سے زیادہ اخراج $\delta = 0$ کی صورت میں ہو گا یعنی جب تمام انفرادی منبع ہم قدم ہوں۔ اگر θ کی جگہ اس کا زاویہ تکملہ γ^{39} استعمال کیا جائے تب نقش کے صفر

$$(14.129) \quad \gamma_0 = \sin^{-1} \left(\mp \frac{k\lambda}{nd} \right)$$

پر پائے جائیں گے۔ لمبی قطار $k\lambda \gg nd$ کی صورت میں γ_0 کم قیمت کا ہو گا لہذا اسے

$$(14.130) \quad \gamma_0 = \frac{k}{nd/\lambda} \approx \frac{k}{L/\lambda}$$

لکھا جاسکتا ہے جہاں قطار کی لمبائی $L = (n-1)d$ ہے۔ لمبائی کو $n \gg 1$ کی صورت میں

$$L = (n-1)d \approx nd$$

لکھا جاسکتا ہے۔ مساوات 14.130 میں $k = 1$ پر کرتے ہوئے نقش کا پہلا صفر γ_{01} حاصل ہوتا ہے۔ یوں گوشے کے دونوں اطراف پر پہلے صفروں کے درمیان نقش کی چوڑائی

$$(14.131) \quad \text{پہلی صفر چوڑائی} = \gamma_{01} \approx \frac{2}{L/\lambda} \text{ rad} = \frac{114.6^\circ}{L/\lambda}$$

حاصل ہوتی ہے۔ نقش میں زیادہ سے زیادہ طاقت کے زاویے کے دونوں اطراف وہ زاویے پائے جاتے ہیں جن پر طاقت نصف ہوتی ہے۔ ان کے درمیان زاویے کو نصف طاقت چوڑائی⁴⁰، کہتے ہیں۔ لمبے یکساں چوڑائی جانب اخراجی قطار⁴¹ کے نصف طاقت چوڑائی کی قیمت پہلی صفر چوڑائی⁴² کے تقریباً آدھی ہوتی ہے۔ یوں

$$(14.132) \quad \text{پہلی صفر چوڑائی} \approx \frac{1}{2} \frac{1}{L/\lambda} \text{ rad} = \frac{57.3^\circ}{L/\lambda}$$

5082

ہو گی۔

شکل 14.13 میں چوڑائی جانب اخراجی قطار کا تقابل پذیر نقش دکھایا گیا ہے۔ یہ نقش مساوات 14.128 سے حاصل کیا گیا ہے۔ اس قطار میں منبع $\frac{\lambda}{2}$ فاصلے پر رکھے گئے ہیں۔ بیس عدد برابر طاقت کے منبع پر مبنی اس قطار کی نصف طاقت چوڑائی $\theta_{HP}^\circ = 5.1^\circ$ ہے۔ شکل میں نقش کا تراش دکھایا گیا ہے۔ یہ حقیقت میں چرخی مانند ہے لہذا $\phi = 0^\circ$ تا $\phi = 360^\circ$ گھومتے ہوئے اس کی صورت یہی نظر آئے گی۔ یوں ϕ زاویے پر اس کی نصف طاقت چوڑائی $\phi_{HP}^\circ = 360^\circ$ ہے۔

5086

14.8.6 یکساں طاقت کے متعدد رکن پر مبنی قطار: لمبائی جانب اخراجی قطار

5087

زیادہ سے زیادہ اخراج کا زاویہ مساوات 14.124

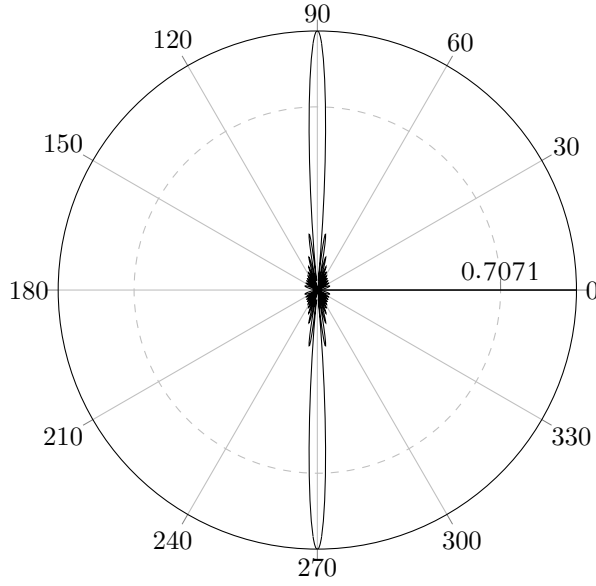
$$(14.133) \quad \beta d \cos \theta + \delta = 0$$

³⁹complementary angle

⁴⁰half power beam width, HPBW

⁴¹broadside array

⁴²beam width between first nulls, BWFN



شکل 14.13: چوڑائی جانب اخراجی قطار

سے حاصل ہوتا ہے۔ قطار کے سیدھ میں کھڑے ہو کر سیدھا آگے ($\theta = 0$) لمبائی کی جانب زیادہ سے زیادہ اخراج اس صورت ہوگا جب ہر دو قریبی منبع کے مابین

$$(14.134) \quad \delta = -\beta d$$

زاویائی فرق پایا جاتا ہو۔ یوں ایسے قطار کے صفر مساوات 14.126 کے تحت

$$\frac{n}{2} \beta d (\cos \theta_0 - 1) = \mp k \pi$$

یعنی

$$\cos \theta_0 - 1 = \mp \frac{k}{nd/\lambda}$$

سے حاصل ہوں گے۔ اس سے

$$(14.135) \quad \frac{\theta_0}{2} = \sin^{-1} \left(\mp \sqrt{\frac{k}{2nd/\lambda}} \right)$$

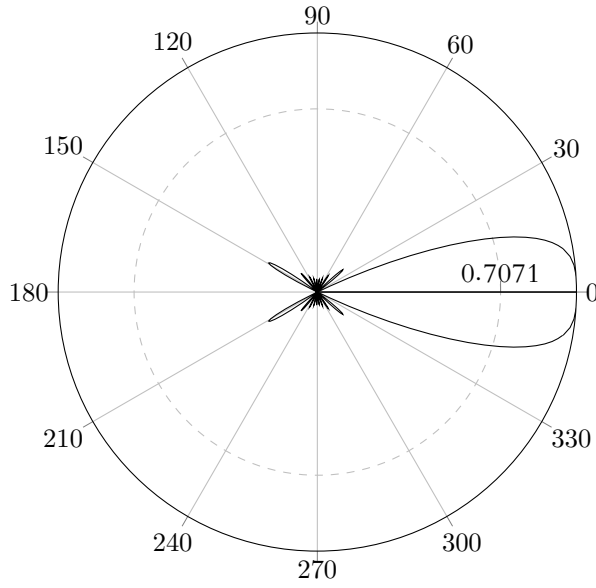
لکھا جاسکتا ہے۔ لمبی قطار ($nd \gg k\lambda$) کی صورت میں اسے

$$(14.136) \quad \theta_0 = \mp \sqrt{\frac{2k}{nd/\lambda}} \approx \mp \sqrt{\frac{2k}{L/\lambda}}$$

لکھا جاسکتا ہے جہاں لمبائی $L = (n-1)d$ کو ($nd \gg k\lambda$) کی صورت میں $L \approx nd$ لکھا گیا ہے۔ پہلا صفر $k=1$ پر حاصل ہوگا جس سے پہلی صفر چوڑائی

$$(14.137) \quad \text{پہلی صفر چوڑائی} = 2\theta_{01} \approx 2\sqrt{\frac{2}{L/\lambda}} \text{ rad} = 114.6^\circ \sqrt{\frac{2}{L/\lambda}}$$

حاصل ہوتی ہے۔



شکل 14.14: لمبائی جانب اخراجی قطار

بیس منبع پر مبنی، لمبائی جانب اخراجی قطار کا تقابل پذیر اخراجی نقش شکل 14.14 میں دکھایا گیا ہے۔ یہ نقش مساوات 14.128 سے حاصل کیا گیا ہے۔ منبع کے درمیانی فاصلہ $\frac{\lambda}{2}$ ہے۔ مساوات 14.128 سے پہلی صفر چوڑائی 52° اور نصف طاقت چوڑائی $\theta_{HP}^\circ = 34^\circ$ حاصل ہوتی ہے۔ یہ نقش جتنا چوڑا ہے، اتنا صفحہ کے عمودی جانب موٹا بھی ہے۔ یوں ϕ جانب بھی اس کی نصف طاقت چوڑائی $\phi_{HP}^\circ = 34^\circ$ ہی ہے۔ لمبائی جانب اخراجی لمبی قطار کی نصف طاقت چوڑائی اس کے پہلے صفر چوڑائی کے تقریباً $\frac{2}{3}$ گنا ہوتی ہے۔

5092

جیسے مثال 14.7 اور مثال 14.8 میں آپ دیکھیں گے کہ n عدد منبع پر مبنی لمبائی جانب اخراجی قطار کی سمتیت n عدد منبع پر مبنی چوڑائی جانب اخراجی قطار کی سمتیت سے زیادہ ہوتی ہے۔

5094

مساوات 14.79 لینٹھینا کی سمتیت

$$D = \frac{4\pi}{\Omega_A} \quad (14.138)$$

دیتا ہے جہاں ٹھوس زاویہ مساوات 14.74 سے حاصل ہوتا ہے۔ اگر ثانوی شعاعوں کو نظر انداز کیا جائے تب مرکزی شعاع کے θ سمت میں نصف طاقت زاویے θ_{HP} اور ϕ سمت میں نصف طاقت زاویے ϕ_{HP} کا ضرب تقریباً ٹھوس زاویے کے برابر ہو گا لہذا ایسی صورت میں مساوات 14.74 حل کرنا ضروری نہیں اور سمتیت کو

$$D \approx \frac{4\pi}{\phi_{HP}\phi_{HP}} \quad (14.139)$$

لکھا جاسکتا ہے جہاں نصف طاقت زاویے ریڈیئن میں ہیں۔ اس مساوات میں

$$4\pi \text{ sr} = 4\pi \text{ rad}^2 = 4\pi \left(\frac{180}{\pi}\right)^2 \text{ deg}^2 = 41\,253 \text{ deg}^2$$

پر کرتے ہوئے

$$D \approx \frac{41\,253}{\theta_{HP}^\circ \phi_{HP}^\circ} \quad (14.140)$$

بھی لکھا جاسکتا ہے۔

5095

5096

مثال 14.7: بیس رکنی، چوڑائی جانب اخراجی قطار جس میں ارکان $\frac{\lambda}{2}$ فاصلے پر ہیں کے نصف طاقت زاویے $\theta_{HP}^\circ = 5.1^\circ$ اور $\phi_{HP}^\circ = 360^\circ$ ہیں کی سمتیت حاصل کریں۔

5098

حل: مساوات 14.140 سے

$$D \approx \frac{41253}{5.1 \times 360} = 22.5$$

5099

حاصل ہوتی ہے۔

5100

5101

مثال 14.8: بیس رکنی، لمبائی جانب اخراجی قطار جس میں ارکان $\frac{\lambda}{2}$ فاصلے پر ہیں کے نصف طاقت زاویے $\theta_{HP}^\circ = \phi_{HP}^\circ = 34^\circ$ ہیں کی سمتیت حاصل کریں۔

5103

حل: مساوات 14.140 سے

$$D \approx \frac{41253}{34 \times 34} = 35.7$$

5104

حاصل ہوتی ہے۔

5105

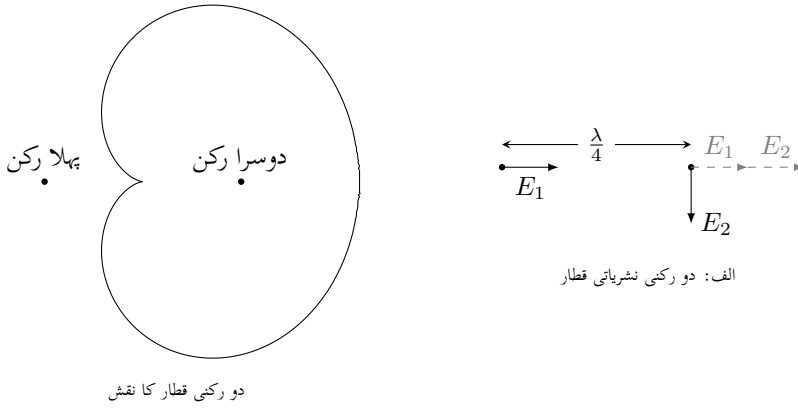
5106

مثال 14.9: دو ارکان پر مبنی قطار میں ارکان کے درمیان فاصلہ $\frac{\lambda}{4}$ ہے۔ دائیں رکن (دوسرا رکن) کو 90° پیچھے برقی رو مہیا کی گئی ہے۔ دونوں برقی رو کی حتمی قیمت برابر ہے۔ دونوں ارکان افقی سطح پر سیدھے کھڑے ہیں۔ افقی میدان پر اخراجی نقش حاصل کریں۔

5108

حل: برقی رو کی حتمی قیمت برابر ہونے کی صورت میں $|E_1| = |E_2| = E$ ہوں گے۔ اگر لمحہ $t = 0$ پر بائیں رکن (پہلا رکن) کا برقی میدان 0° میکانی زاویے پر ہو تب اسی لمحہ دائیں رکن (دوسرا رکن) کا میدان 90° میکانی زاویے پر ہو گا۔ شکل 14.15-الف میں ان میدان (E_1 اور E_2) کو گامتا سیاہی میں دکھایا گیا ہے۔ چونکہ دونوں ارکان میں $\frac{\lambda}{4}$ کا فاصلہ ہے لہذا جتنی دیر میں بائیں رکن کے میدان کی موج E_1 چل کر دائیں رکن تک پہنچے گا اتنی دیر میں دوری عرصے کے $\frac{1}{4}$ برابر وقت گزر چکا ہو گا لہذا دوسرے رکن میں برقی رو $90^\circ = 360^\circ \times \frac{1}{4}$ آگے بڑھ چکی ہو گی اور یوں اس لمحہ پر دوسرا رکن 0° میکانی زاویے پر ہی میدان پیدا کرے گا۔ یوں دوسرے رکن کے مقام پر دونوں میدان ہم قدم پائے جائیں گے لہذا یہاں برقی میدان E_1 اور E_2 یعنی دگنا ہو گا۔ شکل 14.15-الف میں کچھ دیر بعد کے ان میدان کو ہلکی سیاہی میں ہم قدم دکھایا گیا ہے۔ دونوں میدان دائیں جانب ہم قدم رہتے ہوئے حرکت کریں گے۔

5115



شکل 14.15: دو رکنی اشاعتی قطار اور اس کا نقش

اس کے برعکس جس لمحہ دائیں رکن کی برقی رو 0° پر ہو اسی لمحہ بائیں رکن کی برقی رو 90° پر ہو گی۔ اس لمحے پر دائیں رکن کا میدان 0° پر ہو گا جبکہ بائیں رکن کا میدان 90° پر ہو گا۔ اب جتنی دیر میں دائیں رکن کا میدان بائیں رکن تک پہنچے گا اتنی دیر میں دائیں رکن کا میدان مزید 90° آگے بڑھ کر 180° پر پہنچ چکا ہو گا۔ یوں دائیں رکن کے مقام پر دونوں میدان آپس میں الٹ سمت میں ہوں گے لہذا ان کا مجموعہ صفر کے برابر ہو گا۔ اس طرح دائیں رکن کے دائیں جانب میدان صفر ہی پایا جائے گا۔ شکل 14.15 میں صفر اور پائے ریڈیٹن زاویوں پر دگنا اور صفر میدان دکھایا گیا ہے۔

5119

دونوں رکن کے درمیان عمودی لکیر پر پہنچنے کے لئے دونوں میدان کو برابر دورانیے کی ضرورت ہے لہذا اس لکیر پر دونوں میدان آپس میں عمودی رہیں گے۔ یوں اس لکیر پر کل میدان مسئلہ فیثاغورث کی مدد سے $\sqrt{E^2 + E^2} = 1.4142E$ حاصل ہو گا۔ شکل 14.15-ب میں اسی طرح مختلف مقامات پر میدان حاصل کرتے ہوئے حاصل کردہ نقش دکھایا گیا ہے۔

5122

مندرجہ بالا مثال کے نقش سے ظاہر ہے کہ یہ اینٹینا بائیں جانب اخراج نہیں کرتا لہذا اس کے بائیں جانب دوسرا اینٹینا نصب کیا جاسکتا ہے جس کی اخراجی سمت بائیں رکھی جائے گی تاکہ دونوں علیحدہ علیحدہ نشریات کر سکیں۔

5125

14.8.7 یکساں طاقت کے متعدد رکن پر مبنی قطار: بدلتے زاویہ اخراجی اینٹینا

5126

14.125 مساوات

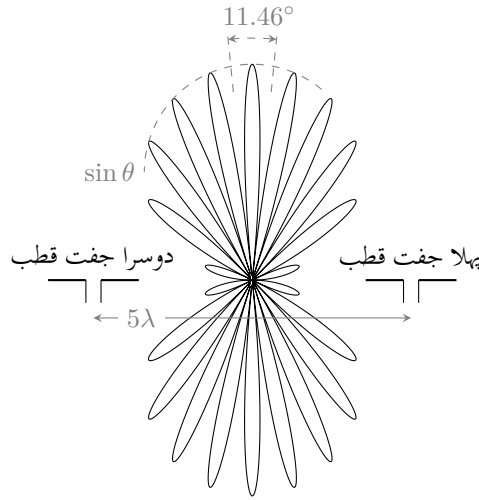
$$(14.141) \quad \theta = \cos^{-1} \left(-\frac{\delta}{\beta d} \right)$$

یکساں ارکان کے قطار کی مرکزی نقش کا زاویہ دیتی ہے۔ چوڑائی جانب اخراجی قطار میں $\theta = 90^\circ$ رکھا جاتا ہے جبکہ لمبائی جانب اخراجی قطار میں $\theta = 0^\circ$ رکھا جاتا ہے۔ اگر شعاع کی سمت تبدیل کرنی ہو تو ایسے اینٹینا کو گھمانا ہو گا۔

5128

مساوات 14.125 کے تحت δ کو تبدیل کرتے ہوئے شعاع کی سمت کسی بھی زاویے پر رکھی جاسکتی ہے۔ یوں δ کو -1 تا $+1$ مسلسل تبدیل کرتے ہوئے شعاع کی سمت کو 0° تا 180° مسلسل تبدیل کیا جاسکتا ہے۔ یوں بدلتے زاویہ اخراجی اینٹینا⁴³ کو بلائے بغیر اس کی اخراجی سمت تبدیل کی جاسکتی ہے۔

5131



شکل 14.16: دو عدد مختصر جفت قطب جنہیں 5λ فاصلے پر رکھا گیا ہے سے حاصل تداخل پیمہ کا نقش۔

14.9 تداخل پیمہ

5132

فلکیات⁴⁴ کے میدان میں اینٹینا کا کلیدی کردار ہے۔ ریڈیائی فلکیات⁴⁵ میں استعمال ہونے والے اینٹینا کو تداخل پیمہ⁴⁶ اینٹینا کہتے ہیں۔

5133

شکل 14.16 میں دو عدد مختصر جفت قطب کے درمیان فاصلہ L ہے۔ دونوں کو ہم قدم برقی رومبیا کی گئی ہے۔ ضرب نقش کی ترکیب استعمال کرتے ہوئے اس کا نقش

$$E = 2E_1 \cos \frac{\psi}{2} \quad (14.142)$$

لکھا جاسکتا ہے جہاں $\psi = \beta L \cos \theta$ کے برابر ہے۔ ضرب نقش کے تحت E_1 انفرادی رکن کی نقش ہے جبکہ $\cos \frac{\psi}{2}$ دور کنی قطار کا نقش ہے۔ ہمیں میدان بالمتقابل زاویہ سے غرض ہے۔ مساوات 14.49 مختصر جفت قطب کا نقش دیتا ہے جس میں میدان اور زاویے کا تعلق $\sin \theta$ ہے۔ اسی کو استعمال کرتے ہوئے تقابل پذیر نقش

$$E = \sin \theta \cos \frac{\psi}{2} = \sin \theta \cos \left(\frac{\pi L}{\lambda} \cos \theta \right) \quad (14.143)$$

لکھا جاسکتا ہے جہاں $\beta = \frac{2\pi}{\lambda}$ کا استعمال کیا گیا ہے۔ شکل 14.16 میں $L = 5\lambda$ کے لئے نقش دکھایا گیا ہے۔ زاویہ θ کا زاویہ تکملہ $\gamma = \frac{\pi}{2} - \theta$ استعمال کرتے ہوئے، پہلا صفر

$$\frac{\pi L}{\lambda} \cos \theta = \frac{\pi L}{\lambda} \sin \gamma_{01} = \frac{\pi}{2}$$

کی صورت میں پایا جائے گا جس سے

$$\gamma_{01} = \sin^{-1} \frac{1}{2L/\lambda} \quad (14.144)$$

حاصل ہوتا ہے۔ اگر $L \gg \lambda$ ہو تب پہلی صفر چوڑائی

$$(14.145) \quad \text{پہلی صفر چوڑائی} = 2\gamma_{01} = \frac{1}{L/\lambda} \text{ rad} = \frac{57.3}{L/\lambda} \text{ deg}$$

لکھی جاسکتی ہے۔ یہ مساوات 14.131 میں دیے، n رکنی چوڑائی جانب اخراجی قطار کے پہلی صفر چوڑائی کی ادھی قیمت ہے۔ ہلکی سیاہی کے نقطہ دار لکیر سے شکل میں مختصر جفت قطب کے نقش $\sin \theta$ کو واضح کیا گیا ہے۔

5135

پانچ طول موج برابر L کی صورت میں مساوات 14.145 سے پہلی صفر چوڑائی 11.46° حاصل ہوتی ہے۔

5136

ریڈیائی فلکیات میں فلکی اخراجی مادے کی شعاع کو تداخل پیدا سے وصول کیا جاتا ہے۔ ان کی جسامت کا بہتر سے بہتر تخمینہ لگانے میں چوڑائی نقش کو دار ادا کرتی ہے۔

5138

مشق $L = 20\lambda : 14.1$ کی صورت میں تداخل پیدا کی پہلی صفر چوڑائی حاصل کریں۔

5139

جواب: 2.865°

5140

5141

14.10 مستطیل سطحی اینٹینا

5142

ہم متعدد تعداد کے نقطہ منبع پر بنی مختلف اقسام کے اینٹینا دیکھ چکے ہیں۔ اگر نقطہ منبع کے صف در صف اتنے قریب قریب فرضی سطح پر رکھے جائیں کہ یہ علیحدہ علیحدہ منبع کی جگہ ایک مسلسل سطح نظر آئے تو ایسی صورت میں **سطحی اینٹینا**⁴⁷ حاصل ہو گا۔ ایسی ہی ایک مستطیلی سطح جس کی x سمت میں لمبائی x_1 اور y سمت میں لمبائی a ہے کو شکل 14.17 میں دکھایا گیا ہے۔ تصور کریں کہ اس سطح پر J_x کشافت برقی رو پائی جاتی ہے۔ یہ تصور کرتے ہوئے کہ سطح کے نیچے یعنی $z < 0$ خطے میں مقناطیسی میدان نہیں پایا جاتا، ایمپیئر کے دوری قانون کی مدد سے

$$(14.146) \quad H_y = -J_x$$

لکھا جاسکتا ہے جہاں H_y سطح کے انتہائی قریب بالائی جانب⁴⁸ مقناطیسی میدان ہے۔ سطحی اینٹینا کے دور میدان پر تبصرے سے پہلے ایک حقیقت⁴⁹ غور کرتے ہیں۔

5144

فرض کریں کی خالی خلاء میں سطحی برقی و مقناطیسی موج پائی جاتی ہے۔ **ہائی گن**⁴⁹ کے اصول کے تحت محاذ موج پر ہر نقطہ، منبع موج کا کردار ادا کرتا ہے۔ یوں سطح پر چھوٹے رقبے $dx dy$ پر خطی قطبی برقی میدان E_x بطور منبع کردار ادا کرے گا۔ سطح کے برقی میدان E_x سے یہاں کا مقناطیسی میدان

$$(14.147) \quad H_y = \frac{E_x}{Z_0}$$

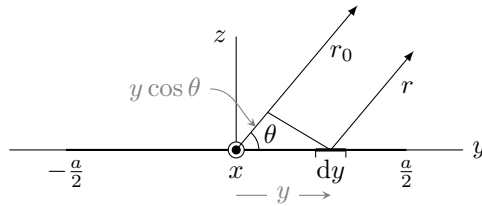
5145

لکھا جاسکتا ہے جہاں Z_0 خطے کی قدرتی رکاوٹ $\sqrt{\frac{\mu_0}{\epsilon_0}}$ ہے۔

⁴⁷continuous aperture

⁴⁸یہاں فرض کیا گیا ہے کہ سطحی اینٹینا نچلی جانب اخراج نہیں کر رہی۔ اگر اینٹینا نچلی جانب بھی اخراج کرے تب $H_y = -0.5J_x$ لکھا جائے گا۔

⁴⁹Huygen's principle



شکل 14.17: مستطیل سطحی اینٹینا

مساوات 14.146 اور مساوات 14.147 دو مختلف وجوہات کی بنا پر پیدا مقلطیسی میدان ظاہر کرتے ہیں۔ دور سے ان دونوں میں کسی قسم کا کوئی فرق نہیں دیکھا جاسکتا لہذا ان دونوں سے پیدا موج میں بھی کوئی فرق نہیں پایا جائے گا۔ اس حقیقت کو مد نظر رکھتے ہوئے آپ دیکھ سکتے ہیں کہ سطحی اینٹینا کا دور میدان اور خلاء میں فرضی سطح پر موج کا دور میدان بالکل یکساں ہوں گے۔ اس حقیقت کو استعمال کرتے ہوئے کسی بھی سطح پر کثافت برقی رو J_x کو خالی خلاء میں مقلطیسی میدان H_y یا برقی میدان E_x سے ظاہر کیا جاسکتا ہے۔

$$(14.148) \quad -J_x = H_y = \frac{E_x}{Z_0}$$

اس طرح مندرجہ ذیل تبصرہ ان دونوں کے لئے قابل قبول ہے۔

آئیں اب واپس اصل موضوع پر آتے ہیں۔ تصور کریں کہ شکل 14.17 کے سطحی اینٹینا پر x سمت میں نہ تبدیل ہوتی جبکہ y سمت میں تہیل ہوتی کثافت برقی رو $J_x(y)$ پائی جاتی ہے۔ پوری سطح پر کثافت برقی رو ہم قدم ہے۔

مساوات 14.25 میں $I_0 = J_x dy$ اور $dl = dx$ پر کرنے سے A حاصل کرتے ہوئے، چھوٹے رقبے $dx dy$ سے دور تفرق میدان کو $E = -j\omega A$ سے حاصل کیا جاسکتا ہے یعنی

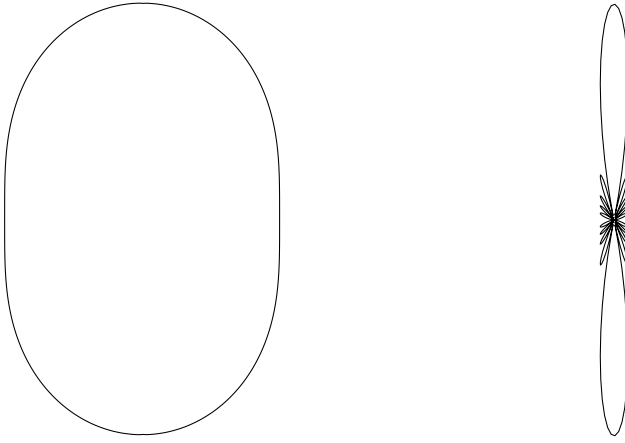
$$(14.149) \quad \begin{aligned} dE &= -j\omega [dA_x] \\ &= -j\omega \frac{\mu_0 I_0 dl e^{j(\omega t - \beta r)}}{4\pi r} \\ &= -j\omega \frac{\mu_0 J_x dy dx e^{j(\omega t - \beta r)}}{4\pi r} \\ &= \frac{j\omega \mu_0 E(y)}{4\pi r Z_0} e^{j(\omega t - \beta r)} dx dy \end{aligned}$$

جہاں مساوات 14.148 کا سہارا لیا گیا ہے۔ پورے رقبے سے پیدا میدان سطحی مکمل سے حاصل ہو گا۔ رقبے کے وسط سے r_0 فاصلے اور θ زاویے پر میدان

$$(14.150) \quad E(\theta) = \frac{j\omega \mu_0 e^{j(\omega t - \beta r_0)}}{4\pi r_0 Z_0} \int_{-a/2}^{a/2} \int_{-x_1/2}^{x_1/2} E(y) e^{j\beta y \cos \theta} dx dy$$

ہو گا جہاں $r_0 \approx r$ لیا گیا ہے۔ بیرونی مکمل لیتے اور $\frac{1}{2\lambda} = \frac{\omega \mu_0}{4\pi Z_0}$ پر کرتے ہوئے میدان کی حتمی قیمت $|E|$

$$(14.151) \quad E(\theta) = \frac{x_1}{2r_0 \lambda} \int_{-a/2}^{a/2} E(y) e^{j\beta y \cos \theta} dy$$



الف: مستطیل سطحی اینٹینا کا $a = 5\lambda$ کی صورت میں نقش
ب: مستطیل سطحی اینٹینا کا $a = \frac{\lambda}{2}$ کی صورت میں نقش

شکل 14.18: مستطیل سطح کے نقش

حاصل ہوتی ہے جہاں $|je^{(i\omega t - \beta r_0)}| = 1$ لیا گیا ہے۔ پوری سطح پر یکساں میدان $E(y) = E_a$ کی صورت میں

$$(14.152) \quad E(\theta) = \frac{x_1 E_a}{2r_0 \lambda} \int_{-a/2}^{a/2} e^{j\beta y \cos \theta} dy$$

لکھتے ہوئے

$$(14.153) \quad \begin{aligned} E(\theta) &= \frac{x_1 a E_a}{2r_0 \lambda} \frac{\sin[(\beta a/2) \cos \theta]}{(\beta a/2) \cos \theta} \\ &= \frac{E_a S_{\text{اخراجی}}}{2r_0 \lambda} \frac{\sin[(\beta a/2) \cos \theta]}{(\beta a/2) \cos \theta} \end{aligned}$$

حاصل ہو گا جہاں $S_{\text{اخراجی}}$ سطح کا رقبہ ہے۔

زیادہ سے زیادہ میدان $\theta = 90^\circ$ پر

$$(14.154) \quad E(\theta)_{\text{بلندتر}} = \frac{E_a S_{\text{اخراجی}}}{2r_0 \lambda} \quad \text{دور رُخی اخراج}$$

حاصل ہوتا ہے۔ اگر $\theta = 270^\circ$ جانب اخراج صفر ہو تب $\theta = 90^\circ$ جانب اخراج دگنی

$$(14.155) \quad E(\theta)_{\text{بلندتر}} = \frac{E_a S_{\text{اخراجی}}}{r_0 \lambda} \quad \text{یک رُخی اخراج}$$

ہو گی۔ اس میدان کو $a = 5\lambda$ اور $a = \frac{\lambda}{2}$ کے لئے شکل 14.18 میں دکھایا گیا ہے۔

صفحہ 545 پر مساوات 14.122

$$E(\theta) = E_0 \frac{\sin \frac{n\psi}{2}}{\sin \frac{\psi}{2}}$$

یکساں غیر سمتی n رکنی قطار کا دور میدان دیتی ہے جہاں $(\psi = \beta d \cos \theta + \delta)$ ہے اور E_0 انفرادی رکن کا میدان ہے۔ چوڑائی جانب اخراجی قطار $\delta = 0$ کی صورت میں حاصل ہوتا ہے جس سے مندرجہ بالا مساوات

$$E(\theta) = E_0 \frac{\sin[(n\beta d/2) \cos \theta]}{\sin[(\beta d/2) \cos \theta]} \quad (14.156)$$

صورت اختیار کر لیتی ہے۔ قطار کی لمبائی a' لکھتے ہوئے، زیادہ قیمت کی n اور a' کی صورت میں $nd \approx (n-1)d = a'$ ہو گا۔ اگر ہم اپنی توجہ $\theta = 90^\circ$ کے قریب رکھیں تب مساوات 14.156 کو

$$E(\theta) = nE_0 \frac{\sin[(\beta a'/2) \cos \theta]}{(\beta a'/2) \cos \theta} \quad (14.157)$$

لکھا جاسکتا ہے۔ اس مساوات کا مساوات 14.153 کے ساتھ موازنہ کرنے سے ہم دیکھتے ہیں کہ a لمبائی کی سطحی اینٹینا اور n رکنی a' لمبی چوڑائی اخراجی قطار کے مرکزی شعاع ایک جیسے ہیں۔ مزید $nE_0 = \frac{E_a S_{\text{اخراجی}}}{2r_0 \lambda}$ کی صورت میں دونوں کے میدان بالکل برابر حتیٰ قیمت رکھتے ہیں۔

5152

5153

14.11 درز کا دور میدان بذریعہ فوریئر بدل

ہم کسی بھی کثافت برقی رو کا پیدا کردہ دور میدان حاصل کرنا دیکھ چکے ہیں۔ بعض اوقات ہمیں کثافت برقی رو معلوم نہیں ہوتی البتہ کسی مخصوص سطح⁵⁴ پر میدان معلوم ہوتا ہے۔ اس طرح کے مسئلے کی مثال مستطیل پیا اینٹینا ہے۔ مستطیل موج کا منہ کھول کر مستطیل پیا اینٹینا حاصل کیا جاتا ہے۔ اس اینٹینا کے منہ پر کسی قسم کی موصول چادر نہیں نسب کی جاتی لہذا اس کے کھلے منہ کے کناروں پر برقی رو پائی جاتی ہے جس کی شکل جاننا دشوار ہے۔ البتہ پیپے کی منہ پر برقی میدان جاننا نسبتاً آسان کام ہے۔ ہم دیکھیں گے کہ ایسی صورت میں دور میدان قریبی میدان کے **فوریئر بدل**⁵¹ سے حاصل ہوتا ہے۔ آئین پہلے فوریئر بدل کی یاد دوبارہ تازہ کریں۔

5158

آپ فوریئر بدل جوڑی سے بخوبی واقف ہوں گے۔ کسی بھی تفاعل $w(x)$ جس کا آزاد متغیر x ہو کا فوریئر بدل $W(k_x)$

$$W(k_x) = \int_{-\infty}^{\infty} w(x) e^{jk_x x} dx \quad \text{فوریئر بدل} \quad (14.158)$$

لکھا⁵² جاتا ہے جہاں $W(k_x)$ کا آزاد متغیر k_x ہے۔ یوں کسی بھی تفاعل کا آزاد متغیر تبدیل کرنا ممکن ہے۔ اسی طرح $W(k_x)$ کا الٹ فوریئر بدل $w(x)$

$$w(x) = \frac{1}{2\pi} \int_{-\infty}^{\infty} W(k_x) e^{-jk_x x} dk_x \quad \text{فوریئر الٹ بدل} \quad (14.159)$$

ہے۔ مندرجہ بالا دو مساوات فوریئر بدل جوڑی کہلاتے ہیں۔ مساوات 14.158 کے دونوں اطراف کا k_x کے ساتھ تفرق

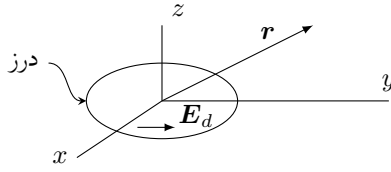
$$\frac{dW(k_x)}{dk_x} = jk_x \int_{-\infty}^{\infty} w(x) e^{jk_x x} dx = jk_x W(k_x) \quad (14.160)$$

لکھا جاسکتا ہے۔ دائیں ہاتھ تفرق لیتے ہوئے دھیان رہے کہ تکمل کے اندر k_x کا کردار بالکل ایک مستقل کا ہے لہذا تفرق کو تکمل کے اندر لے جایا جاسکتا ہے۔ اسی طرح مساوات 14.159 کا تفرق x کے ساتھ لینے سے

$$\frac{dw(x)}{dx} = \frac{-jk_x}{2\pi} \int_{-\infty}^{\infty} W(k_x) e^{-jk_x x} dk_x = -jk_x w(x) \quad (14.161)$$

⁵¹ Fourier transform pair

⁵² عموماً مساوات 14.158 میں تکمل کو $\frac{1}{\sqrt{2\pi}}$ سے ضرب دے کر لکھا جاتا ہے۔ اسی طرح مساوات 14.159 میں بھی $\frac{1}{2\pi}$ کی جگہ $\frac{1}{\sqrt{2\pi}}$ سے تکمل کو ضرب دیا جاتا ہے۔ اس طرح جوڑی کے دونوں مساوات تقریباً یکساں شکل اختیار کر لیتے ہیں۔



شکل 14.19: سطح $z=0$ پر درز میں برقی میدان E_d کو دور میدان فوریر بدل ہے۔

حاصل ہوتا ہے۔ اسی طرح

$$(14.162) \quad \frac{d^2 W(k_x)}{dk_x^2} = (jk_x)^2 W(k_x) = -k_x^2 W(k_x)$$

$$(14.163) \quad \frac{d^2 w(x)}{dx^2} = (-jk_x)^2 w(x) = -k_x^2 w(x)$$

بھی لکھے جاسکتے ہیں۔

دو آزاد متغیرات پر مبنی تفاعل $u(x, y)$ کا فوریر بدل

$$(14.164) \quad U(k_x, k_y) = \int_{-\infty}^{\infty} \int_{-\infty}^{\infty} u(x, y) e^{jk_x x + jk_y y} dx dy$$

لکھا جاتا ہے۔ اس کا واپسی فوریر بدل

$$(14.165) \quad u(x, y) = \frac{1}{4\pi^2} \int_{-\infty}^{\infty} \int_{-\infty}^{\infty} U(k_x, k_y) e^{-jk_x x - jk_y y} dk_x dk_y$$

ہو گا۔ مساوات 14.164 کے تفرق لے کر

$$(14.166) \quad \begin{aligned} \frac{\partial U}{\partial k_x} &= jxU \\ \frac{\partial U}{\partial k_y} &= jyU \\ \frac{\partial^2 U}{\partial k_x^2} &= -x^2 U \\ \frac{\partial^2 U}{\partial k_x \partial k_y} &= -xyU \end{aligned}$$

اور مساوات 14.165 کے تفرق سے

$$(14.167) \quad \begin{aligned} \frac{\partial u}{\partial x} &= -jk_x u \\ \frac{\partial u}{\partial y} &= -jk_y u \\ \frac{\partial^2 u}{\partial x^2} &= -k_x^2 u \\ \frac{\partial^2 u}{\partial x \partial y} &= -k_x k_y u \end{aligned}$$

فوریر بدل کی یاد تازہ کرنے کے بعد اصل موضوع پر واپس آتے ہیں۔ شکل 14.19 میں $z = 0$ سطح پر درز دکھایا گیا ہے جس پر برقی میدان E_d ہے۔ یہ میدان $z < 0$ خطے میں موجود کثافت برقی رو کی وجہ سے پایا جاتا ہے۔ ہمیں اس کثافت برقی رو کی ضرورت نہیں پڑے گی۔ درز کا رقبہ S_d ہے۔ آئیں درز پر موجود میدان سے خالی خلاء میں کہیں دور پیدا میدان دریافت کریں۔

میکس ویل کی مساوات $\nabla \times \mathbf{E} = -\frac{\partial \mathbf{B}}{\partial t}$ کے گردش کو

$$\begin{aligned}\nabla \times \nabla \times \mathbf{E} &= \nabla \nabla \cdot \mathbf{E} - \nabla^2 \mathbf{E} = -j\omega\mu_0 \nabla \times \mathbf{H} \\ &= -j\omega\mu_0 (\mathbf{J} + j\omega\epsilon_0 \mathbf{E})\end{aligned}$$

لکھا جاسکتا ہے جہاں دوسری قدم پر $\nabla \times \mathbf{H} = \mathbf{J} + \frac{\partial \mathbf{D}}{\partial t}$ پر کیا گیا ہے۔ ساتھ ہی ساتھ $\mathbf{B} = \mu_0 \mathbf{H}$ اور $\mathbf{D} = \epsilon_0 \mathbf{E}$ کے علاوہ $\frac{\partial \mathbf{E}}{\partial t} = j\omega \mathbf{E}$ اور $\frac{\partial \mathbf{H}}{\partial t} = j\omega \mathbf{H}$ کا بھی استعمال کیا گیا ہے۔ شکل 14.19 میں درز سے دور خالی خلاء میں نہ کوئی کثافت چارج پائی جاتی ہے اور نہ ہی کثافت برقی رو۔ یوں مندرجہ بالا مساوات میں دور مقام پر $\mathbf{J} = 0$ اور

$$(14.168) \quad \nabla \cdot \mathbf{E} = 0$$

پر کرتے ہوئے

$$(14.169) \quad \nabla^2 \mathbf{E} + k_0^2 \mathbf{E} = 0$$

حاصل ہوتا ہے جہاں

$$(14.170) \quad k_0 = \omega \sqrt{\mu_0 \epsilon_0}$$

لکھا گیا ہے۔ مساوات 14.168 اور مساوات 14.169 کو کارتیسی محدود میں یوں لکھا جائے گا۔

$$(14.171) \quad \frac{\partial E_x(x, y, z)}{\partial x} + \frac{\partial E_y(x, y, z)}{\partial y} + \frac{\partial E_z(x, y, z)}{\partial z} = 0$$

$$(14.172) \quad \left(\frac{\partial^2}{\partial x^2} + \frac{\partial^2}{\partial y^2} + \frac{\partial^2}{\partial z^2} + k_0^2 \right) \mathbf{E}(x, y, z) = 0$$

ان دو مساوات کا فوریز بدل مساوات 14.167 کی مدد سے لکھتے ہیں

$$(14.173) \quad k_x E_x(k_x, k_y, k_z) + k_y E_y(k_x, k_y, k_z) + j \frac{\partial E_z(k_x, k_y, k_z)}{\partial z} = 0$$

$$(14.174) \quad \left[\frac{\partial^2}{\partial z^2} + (k_0^2 - k_x^2 - k_y^2) \right] \mathbf{E}(k_x, k_y, k_z) = 0$$

جہاں $u(x, y, z) = E(x, y, z)$ لیتے ہوئے $U(k_x, k_y, k_z) = E(k_x, k_y, k_z)$ لکھا گیا ہے۔ یہاں بہتر ہوتا کہ برقی میدان اور اس کے فوریز بدل کے لئے میں علیحدہ علیحدہ علامات استعمال کرتا لیکن امید کی جاتی ہے کہ $E(x, y, z)$ کے آزاد متغیرات (x, y, z) سے $E(k_x, k_y, k_z)$ کے آزاد متغیرات (k_x, k_y, k_z) کو فوریز بدل سمجھا جاسکتا ہے۔ اصل تفاعل اور $E(k_x, k_y, k_z)$ کے آزاد متغیرات (k_x, k_y, k_z) سے $E(k_x, k_y, k_z)$ کو فوریز بدل سمجھا جاسکتا ہے۔

مندرجہ بالا مساوات میں

$$(14.175) \quad k_0^2 - k_x^2 - k_y^2 = k_z^2$$

لکھتے ہوئے

$$(14.176) \quad \frac{\partial^2 \mathbf{E}(k_x, k_y, k_z)}{\partial z^2} + k_z^2 \mathbf{E}(k_x, k_y, k_z) = 0$$

حاصل ہوتا ہے جس کے حل $e^{\mp jk_z z}$ صورت رکھتے ہیں۔ ان میں $e^{-jk_z z}$ کارتیسی نظام میں بڑھتے z جانب حرکت کرتی موج ہے جبکہ $e^{jk_z z}$ گھٹتے z جانب حرکت کرتی موج ہے۔ ہم پہلے جواب کو تسلیم کرتے ہیں لہذا مندرجہ بالا مساوات کا حل

$$(14.177) \quad \mathbf{E}(k_x, k_y, k_z) = \mathbf{f}(k_x, k_y) e^{-jk_z z}$$

لکھا جاسکتا ہے جہاں $f(k_x, k_y)$ دریافت کرنا باقی ہے۔

مساوات 14.177 کو مساوات 14.173 میں پر کرنے سے

$$(14.178) \quad k_x f_x + k_y f_y + k_z f_z = 0$$

یعنی

$$(14.179) \quad \mathbf{k} \cdot \mathbf{f} = 0$$

ملتا ہے جہاں $\mathbf{f} = f_x \mathbf{a}_x + f_y \mathbf{a}_y + f_z \mathbf{a}_z$ اور $\mathbf{k} = k_x \mathbf{a}_x + k_y \mathbf{a}_y + k_z \mathbf{a}_z$ لکھے گئے ہیں۔ مساوات 14.179 کے تحت f_x ، f_y اور f_z تینوں آزاد متغیرات نہیں ہو سکتے۔ ان میں کوئی دو آزاد ہونے کی صورت میں تیسرے جزو کو ان دو اجزاء سے حاصل کیا جاسکتا ہے لہذا تیسرا جزو متعلق متغیر ہو گا۔ یہ حقیقت برقی میدان پر بھی لاگو ہوتی ہے جہاں اس حقیقت کو $\nabla \cdot \mathbf{E} = 0$ لکھا جاتا ہے۔

اصل برقی میدان $E(x, y, z)$ حاصل کرنے کی خاطر $E(k_x, k_y, k_z)$ کا الٹ فوریز بدل لیتے ہیں

$$\begin{aligned} E(x, y, z) &= \frac{1}{4\pi^2} \int_{-\infty}^{\infty} \int_{-\infty}^{\infty} E(k_x, k_y, k_z) e^{-jk_x x - jk_y y} dk_x dk_y \\ &= \frac{1}{4\pi^2} \int_{-\infty}^{\infty} \int_{-\infty}^{\infty} f(k_x, k_y) e^{-jk_x x - jk_y y - jk_z z} dk_x dk_y \end{aligned}$$

جہاں مساوات 14.177 استعمال کیا گیا ہے۔ کارتیسی محد میں سمتی فاصلے کو $\mathbf{r} = x\mathbf{a}_x + y\mathbf{a}_y + z\mathbf{a}_z$ لکھا جاسکتا ہے۔ یوں

$$k_x x + k_y y + k_z z = \mathbf{k} \cdot \mathbf{r}$$

لکھتے ہوئے مندرجہ بالا مساوات کو

$$(14.180) \quad E(x, y, z) = \frac{1}{4\pi^2} \int_{-\infty}^{\infty} \int_{-\infty}^{\infty} f(k_x, k_y) e^{-j\mathbf{k} \cdot \mathbf{r}} dk_x dk_y \quad \text{درز کا میدان}$$

لکھا جاسکتا ہے۔ اس مساوات میں مکمل کے اندر $f e^{-j\mathbf{k} \cdot \mathbf{r}}$ حرکت کرتی موج کو ظاہر کرتی ہے۔ یوں $z > 0$ خطے میں میدان حرکت کرتی موج ہو گی۔ مساوات 14.175 سے واضح ہے کہ $|\mathbf{k}| = k_0$ کے برابر ہے۔ یوں اگر $k_x^2 + k_y^2 > k_0^2$ ہو تب k_z خیالی مقدار ہو گا۔ ایسی صورت میں موج z سمت میں $e^{-k_z z}$ کی رفتار سے گھٹے گی جو فنا پذیر موج کی نشانی ہے۔ یہ فنا پذیر موج درز کے سامنے قریبی میدان کو ظاہر کرتی ہے۔ اگر k_x اور k_y کو کارتیسی محد پر دکھایا جائے تو جو قیمت k_0 رداس کے دائرے سے باہر ہو، وہ فنا پذیر موج کو ظاہر کریں گے جبکہ اس دائرے کے اندر قیمتیں دور میدان کو ظاہر کرتی ہیں۔

مساوات 14.180 کے حاصل کردہ میدان کی قیمت سطح $z = 0$ پر عین شکل 14.19 کے میدان برابر ہو گی۔ اس شکل میں میدان $z = 0$ سطح کے متوازی ہے۔ یوں اگر f کے x اور y اجزاء کو f_m سے ظاہر کیا جائے (یعنی $f_m = f_x \mathbf{a}_x + f_y \mathbf{a}_y$) تب

$$(14.181) \quad E_d(x, y) = E_m(x, y, 0) = \frac{1}{4\pi^2} \int_{-\infty}^{\infty} \int_{-\infty}^{\infty} f_m(k_x, k_y) e^{-jk_x x - jk_y y} dk_x dk_y$$

ہو گا۔ مساوات 14.181 فوریز بدل کی مساوات ہے لہذا اس کا الٹ فوریز بدل یوں

$$(14.182) \quad f_m(k_x, k_y) = \iint_{S_d} E_d(x, y) e^{jk_x x + jk_y y} dx dy$$

لکھنا ممکن ہے۔ اس مساوات کے تحت درز پر میدان کا فوریز بدل دور میدان کو ظاہر کرتی ہے۔ مساوات 14.179 سے

$$(14.183) \quad f_z = \frac{-\mathbf{k}_m \cdot \mathbf{f}_m}{k_z} = \frac{-k_x f_x - k_y f_y}{\sqrt{k_0^2 - k_x^2 - k_y^2}}$$

لکھا جاسکتا ہے۔ مندرجہ بالا دو مساوات مل کر f کے تینوں اجزاء دیتے ہیں۔

مساوات 14.182 اور مساوات 14.182 سے حاصل $f(k_x, k_y)$ کو مساوات 14.180 میں پر کرتے ہوئے درز کا میدان حاصل کیا جاتا ہے۔ آئیں اب مساوات 14.180 کا حل حاصل کریں۔

ہمیں دور میدان سے غرض ہے۔ اس حقیقت کو استعمال کرتے ہوئے ہم مساوات 14.180 کو صرف دور میدان کے لئے حل کرتے ہیں۔ ایسا کرنے کی خاطر جو ترکیب بروئے کار لائی جائے گی اس کی بنیاد اس حقیقت پر ہے کہ r کی قیمت زیادہ ہونے کی صورت میں $e^{-jk \cdot r}$ نہایت تیزی سے ارتعاش کرتا تفاعل ہوگا۔ یوں مساوات 14.180 میں $k_x k_y$ سطح کے مختلف نقطوں پر اس تفاعل کی قیمتیں ایک دونوں کو ختم کریں گی۔ اس تفاعل میں r کی قیمت زیادہ ہونے کی وجہ سے $k_x k_y$ سطح پر قریب ترین نقطوں کے درمیان بھی اتنا زاویائی فرق $jk \cdot r$ پایا جاتا ہے کہ مکمل میں ان کا مجموعہ قابل نظر انداز ہوتا ہے۔ البتہ ایسے مقام جہاں زاویائی فرق نہ پایا جاتا ہو، دور میدان میں کردار ادا کرتے ہیں۔ ان مقام جنہیں **ساکن نقطے**⁵³ کہا جاتا ہے کو مندرجہ ذیل مساوات سے حاصل کیا جاتا ہے۔

$$\begin{aligned} \frac{\partial(\mathbf{k} \cdot \mathbf{r})}{\partial k_x} &= 0 \\ \frac{\partial(\mathbf{k} \cdot \mathbf{r})}{\partial k_y} &= 0 \end{aligned} \quad (14.184)$$

ساکن نقطوں پر $e^{-jk \cdot r}$ کی قیمت میں ٹھہرا دیا جاتا ہے لہذا مکمل میں ایسے مقام کا مجموعہ دور میدان میں کردار ادا کرتا ہے۔ ساکن مقام $k_1 k_2$ سطح پر چھوٹا خطہ ہوگا۔ اس چھوٹے خطے میں $f(k_x, k_y)$ کے قیمت میں تبدیلی کو رد کرتے ہوئے اسے اٹل تصور کیا جاتا ہے۔ اس طرح $f(k_x, k_y)$ کو مکمل کے باہر منتقل کیا جاتا ہے۔ بقایا مکمل میں صرف $e^{-jk \cdot r}$ رہ جاتا ہے جسے حاصل کرنا ممکن ہے۔

اگر $\mathbf{k} \cdot \mathbf{r} = k_x x + k_y y + k_z z$ میں $k \cdot r$ کے متغیرات استعمال کرتے ہوئے $x = r \sin \theta \cos \phi$ ، $y = r \sin \theta \sin \phi$ اور $z = r \cos \theta$ پر کئے جائیں تو

$$\mathbf{k} \cdot \mathbf{r} = r(k_x \sin \theta \cos \phi + k_y \sin \theta \sin \phi + \sqrt{k_0^2 - k_x^2 - k_y^2} \cos \theta) \quad (14.185)$$

حاصل ہوتا ہے۔ مساوات 14.184 استعمال کرتے ہوئے ساکن نقطے

$$k_x = k_1 = k_0 \sin \theta \cos \phi \quad (14.186)$$

$$k_y = k_2 = k_0 \sin \theta \sin \phi \quad (14.187)$$

حاصل ہوتا ہے۔ ساکن نقطے کے قریب **ٹیلر تسلسل**⁵⁴ کے استعمال سے ہم لکھ سکتے ہیں

$$\begin{aligned} \mathbf{k} \cdot \mathbf{r} &= k_0 r + \frac{1}{2} \frac{\partial^2 \mathbf{k} \cdot \mathbf{r}}{\partial k_x^2} (k_x - k_1)^2 + \frac{1}{2} \frac{\partial^2 \mathbf{k} \cdot \mathbf{r}}{\partial k_y^2} (k_y - k_2)^2 + \frac{\partial^2 \mathbf{k} \cdot \mathbf{r}}{\partial k_x \partial k_y} (k_x - k_1)(k_y - k_2) \\ &= k_0 r - (Au^2 + Bv^2 + Cuv) \end{aligned}$$

جہاں $u = k_x - k_1$ ، $v = k_y - k_2$ ہیں جبکہ

$$\begin{aligned} A &= \frac{r}{2} \left(\frac{1}{k_0} + \frac{k_1^2}{k_0^3 \cos^2 \theta} \right) \\ B &= \frac{r}{2} \left(\frac{1}{k_0} + \frac{k_2^2}{k_0^3 \cos^2 \theta} \right) \\ C &= \frac{k_1 k_2 r}{k_0^3 \cos^2 \theta} \end{aligned} \quad (14.188)$$

ہیں۔ چونکہ $\frac{\partial}{\partial k_x} = 0$ اور $\frac{\partial}{\partial k_y} = 0$ ہیں لہذا انہیں بالائی تسلسل میں شامل نہیں کیا گیا۔

ان حقائق کو استعمال کرتے ہوئے مساوات 14.180 کو مندرجہ ذیل صورت میں لکھنا ممکن ہے

$$(14.189) \quad \mathbf{E}(\mathbf{r}) \approx \frac{e^{-jk_0 r}}{4\pi^2} \mathbf{f}(k_0 \sin \theta \cos \phi, k_0 \sin \theta \sin \phi) \iint_{\Delta s} e^{j(Au^2 + Bv^2 + Cuv)} du dv$$

جہاں مکمل ساکن نقطے پر چھوٹی سطح Δs پر حاصل کیا جاتا ہے اور جہاں \mathbf{f} کی قیمت اٹل تصور کرتے ہوئے ساکن نقطے پر \mathbf{f} کی قیمت لی گئی ہے۔ یہاں ایک مرتبہ دوبارہ اس حقیقت کو سامنے رکھتے ہوئے آگے بڑھتے ہیں کہ چونکہ A ، B اور C کی قیمتیں r کے مماثل ہیں لہذا یہ قیمتیں بھی بہت بڑی ہوں گی۔ یوں u اور v کے تبدیلی سے مندرجہ بالا مکمل میں A ، B اور C پر منحصر تفاعل بھی تیزی سے ارتعاش کرے گی جس کی وجہ سے مختلف نقطوں پر تفاعل آپس میں جمع نہ ہو پائے گا۔ اس حقیقت کی بنا پر اگر مکمل کو لامحدود سطح پر لیا جائے تو حاصل جواب پر کوئی اثر نہیں پڑنا چاہیے۔ ایسا ہی کرتے ہوئے مندرجہ بالا مساوات میں

$$(14.190) \quad \iint_{-\infty}^{\infty} e^{j(Au^2 + Bv^2 + Cuv)} du dv$$

کا حل حاصل کرتے ہیں۔ ہم

$$Au^2 + Bv^2 + Cuv = \left(\sqrt{A}u + \frac{Cv}{2\sqrt{A}} \right)^2 - \frac{C^2v^2}{4A} + Bv^2$$

لکھ کر $\sqrt{A}u + \frac{Cv}{2\sqrt{A}} = w$ پر کرتے ہوئے

$$(14.191) \quad \iint_{-\infty}^{\infty} e^{jw^2} e^{\frac{j(4AB - C^2)v^2}{4A}} \frac{dw}{\sqrt{A}} dv$$

لکھ سکتے ہیں۔ ہم یہاں پہلے سے معلوم مکمل

$$(14.192) \quad \int_{-\infty}^{\infty} e^{j\gamma(x-x_0)^2} dx = \sqrt{\frac{\pi}{\gamma}} e^{j\frac{\pi}{4}}$$

کا استعمال کرتے ہوئے

$$\begin{aligned} \iint_{-\infty}^{\infty} e^{jw^2} e^{\frac{j(4AB - C^2)v^2}{4A}} \frac{dw}{\sqrt{A}} dv &= \frac{j2\pi}{\sqrt{4AB - C^2}} \\ &= j2\pi \frac{k_0}{r} \cos \theta \end{aligned}$$

حاصل کرتے ہیں۔ مساوات 14.188 میں دئے مستقل پر کرتے ہوئے یوں مساوات 14.180 کا حل

$$(14.193) \quad \mathbf{E}(\mathbf{r}) \approx \frac{j k_0 \cos \theta}{2\pi r} e^{-jk_0 r} \mathbf{f}(k_0 \sin \theta \cos \phi, k_0 \sin \theta \sin \phi)$$

حاصل ہوتا ہے جہاں

$$(14.194) \quad \mathbf{f}_m(k_x, k_y) = \iint_{S_a} \mathbf{E}_d(x, y) e^{jk_x x + jk_y y} dx dy$$

کے برابر ہے۔

مساوات 14.193 کہتی ہے دور میدان، درز پر میدان کا فوریز بدل ہے جہاں فوریز بدل میں k_x کی جگہ $k_0 \sin \theta \cos \phi$ اور k_y کی جگہ $k_0 \sin \theta \sin \phi$ پر کیا جاتا ہے۔

چونکہ $k \cdot f = 0$ کے برابر ہے لہذا k کی سمت میں f کی قیمت صفر کے برابر ہے یعنی z محدود پر صرف f_x اور f_x پایا جائے گا۔ کروی محدود میں یوں

$$E(r) = jk_0 \frac{e^{-jk_0 r}}{2\pi r} \left[a_\theta (f_x \cos \phi + f_y \sin \phi) + a_\phi \cos \theta (f_y \cos \phi - f_x \sin \phi) \right] \quad (14.195)$$

لکھا جاسکتا ہے۔ مقناطیسی میدان $\frac{E}{H} = Z_0$ سے حاصل کیا جاسکتا ہے۔

مثال 14.10: مستطیل درز کی x سمت میں لمبائی $2a$ ہے جبکہ y سمت میں اس کی لمبائی $2b$ ہے۔ درز $z = 0$ پر پایا جاتا ہے جبکہ اس کی میدان $E_d = E_0 a_x$ ہے۔ دور میدان حاصل کریں۔

حل: پہلے f_m حاصل کرتے ہیں۔

$$\begin{aligned} f_m &= E_0 a_x \int_{-a}^a \int_{-b}^b e^{jk_x x + jk_y y} dx dy \\ &= 4ab E_0 a_x \frac{\sin k_x a}{k_x a} \frac{\sin k_y b}{k_y b} \\ &= 4ab E_0 a_x \frac{\sin k_0 a \sin \theta \cos \phi}{k_0 a \sin \theta \cos \phi} \frac{\sin k_0 b \sin \theta \sin \phi}{k_0 b \sin \theta \sin \phi} \\ &= 4ab E_0 a_x \frac{\sin u}{u} \frac{\sin v}{v} \end{aligned}$$

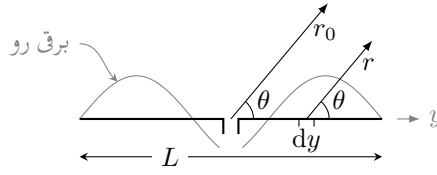
اب دور میدان مساوات 14.195 سے لکھتے ہیں۔

$$E(r) = \frac{jk_0 4ab E_0}{2\pi r} e^{-jk_0 r} \frac{\sin u}{u} \frac{\sin v}{v} (a_\theta \cos \phi - a_\phi \sin \phi \cos \theta)$$

14.12 خطی اینٹینا

مختصر جفت قطب ہم دیکھ چکے ہیں جہاں جفت قطب کی لمبائی طول موج سے بہت کم $\lambda \ll l$ تھی۔ متعدد تعداد کے نقطہ منبع کو سیدھ میں قریب قریب رکھنے سے کسی بھی لمبائی کا اینٹینا حاصل کیا جاسکتا ہے۔ انہیں ایسی لمبی اینٹینا پر غور کریں۔ اینٹینا پر سائن نما برقی رو تصور کی جائے گی۔

شکل 14.20 میں L لمبائی کا اینٹینا دکھایا گیا ہے جسے بالکل درمیان سے برقی رو مہیا کی گئی ہے۔ اینٹینا کے دونوں بالکل یکساں نصف اطراف میں برقی رو بھی ہم شکل ہے۔ ہم L کے چھوٹے چھوٹے ٹکڑوں dy کو انفرادی جفت قطب تصور کرتے ہوئے ان سب کے میدان کا مجموعہ حاصل کرتے ہوئے اس اینٹینا کا دور میدان حاصل کریں گے۔



شکل 14.20: خطی اینٹینا پر سائن نما برقی رو پائی جاتی ہے۔

تجربے سے ثابت ہوتا ہے کہ ایسی اینٹینا میں برقی رو

$$(14.196) \quad I = \begin{cases} I_0 \sin \left[\frac{2\pi}{\lambda} \left(\frac{L}{2} + y \right) \right] & y < 0 \\ I_0 \sin \left[\frac{2\pi}{\lambda} \left(\frac{L}{2} - y \right) \right] & y > 0 \end{cases}$$

صورت رکھتی ہے۔ مختصر جفت قطب کی لمبائی کو dy اور اس کے دور میدان کو dE_θ لکھتے ہوئے مساوات 14.38

$$(14.197) \quad dE_\theta = j \frac{30 I \beta dy}{r} \sin \theta e^{j(\omega t - \beta r)}$$

یعنی

$$(14.198) \quad dE_\theta = \frac{j 60 \pi e^{j(\omega t - \beta r_0)}}{r_0 \lambda} \sin \theta I e^{j \beta y \cos \theta} dy$$

دیتی ہے۔ یوں L لمبے اینٹینا کا میدان

$$(14.199) \quad E_\theta = k \sin \theta \int_{-L/2}^{L/2} I e^{j \beta y \cos \theta} dy$$

ہو گا جہاں

$$(14.200) \quad k = \frac{j 60 \pi e^{j(\omega t - \beta r_0)}}{r_0 \lambda}$$

لکھا گیا ہے۔ مساوات 14.196 استعمال کرتے اور مکمل لیتے ہوئے

$$(14.201) \quad E_\theta = \frac{j 60 [I_0]}{r_0} \left\{ \frac{\cos[(\beta L \cos \theta)/2] - \cos(\beta L/2)}{\sin \theta} \right\} \quad \text{خطی اینٹینا کی عمومی مساوات}$$

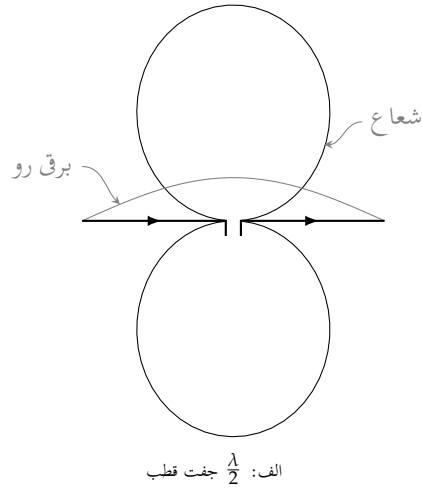
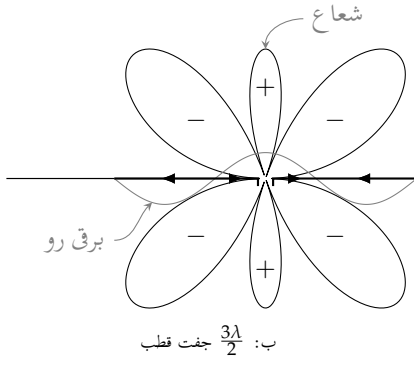
حاصل ہوتا ہے جہاں $[I_0] = I_0 e^{j(\omega t - \beta r_0)}$ تاخیری برقی رو ہے۔ $\frac{\lambda}{2}$ جفت قطب کی صورت میں اسے

$$(14.202) \quad E_\theta = \frac{j 60 [I_0]}{r_0} \frac{\cos[\frac{\pi}{2} \cos \theta]}{\sin \theta} \quad \text{جفت قطب } \frac{\lambda}{2}$$

لکھا جاسکتا ہے۔

میدان کی شکل مساوات 14.201 کے دائیں جانب قوسین میں بند جزو پر منحصر ہے جسے $\frac{\lambda}{2}$ جفت قطب کی صورت میں

$$(14.203) \quad E_\theta = \frac{\cos[\frac{\pi}{2} \cos \theta]}{\sin \theta} \quad \text{جفت قطب } \frac{\lambda}{2}$$



شکل 14.21: 0.5λ اور 1.5λ جفت قطب کے دور میدان۔

اور 1.5λ جفت قطب کی صورت میں

$$(14.204) \quad E_{\theta} = \frac{\cos[\frac{3\pi}{2} \cos \theta]}{\sin \theta} \quad \text{جفت قطب } \frac{3\lambda}{2}$$

5196

لکھا جاسکتا ہے۔

شکل 14.21 میں $\frac{\lambda}{2}$ اور $\frac{3\lambda}{2}$ جفت قطب اور ان کے شعاع نمکی محدود پر دکھائے گئے ہیں۔ جفت قطب پر برقی رو کی سمتیں تیر کی نشان سے دکھائے گئے ہیں۔

5198

5199

شکل-ب میں میدان کے شعاعوں میں 180° کا زاویائی فرق پایا جاتا ہے۔

5200

جفت قطب کو محور لیتے ہوئے دئے گئے نقش کو اس کے گرد گمانے سے تین رُخی نقش حاصل ہوگا۔

اوسط پونٹنگ سمتیہ کا بڑی رداس کے کرہ پر سطحی تکمیل

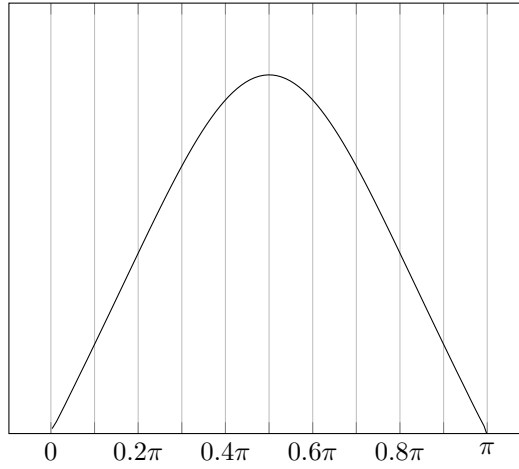
$$(14.205) \quad P = \int_0^{2\pi} \int_0^{\pi} \frac{|E_{\theta}|^2}{2Z} r^2 \sin \theta \, d\theta \, d\phi$$

عددی طریقے سے حاصل کرتے ہوئے کل اخراجی مزاحمت R حاصل کی جاتی ہے۔ اس مساوات میں $|E_{\theta}|$ کو مساوات 14.202 سے پر کرتے ہوئے

$$P = \frac{15I_0^2}{\pi} \int_0^{2\pi} \int_0^{\pi} \frac{\cos^2[\frac{\pi}{2} \cos \theta]}{\sin \theta} \, d\theta \, d\phi$$

حاصل ہوتا ہے جہاں $Z_0 = 120\pi$ اور $r = r_0$ لکھے گئے ہیں۔ بیرونی تکمیل پہلے لیتے ہوئے

$$(14.206) \quad P = 30I_0^2 \int_0^{\pi} \frac{\cos^2[\frac{\pi}{2} \cos \theta]}{\sin \theta} \, d\theta$$



شکل 14.22: اخراجی مزاحمت کا عددی حل۔

ملتا ہے۔ اس مساوات کو عددی طریقے سے حل کرتے ہیں۔ ایسا کرنے کی خاطر اسے مجموعے

$$P = \sum_{i=0}^n 30I_0^2 \frac{\cos^2[\frac{\pi}{2} \cos \theta]}{\sin \theta} \Delta \theta = \sum_{i=0}^n p(\theta) \Delta \theta \quad (14.207)$$

کی شکل میں لکھتے ہیں جہاں

$$p(\theta) = 30I_0^2 \frac{\cos^2[\frac{\pi}{2} \cos \theta]}{\sin \theta} \quad (14.208)$$

لکھا گیا ہے۔ شکل 14.22 میں کارتیسی محدود پر تفاعل $p(\theta)$ کو دکھایا گیا ہے۔ افقی محدود پر $\theta = 0$ تا $\theta = \pi$ ہے جبکہ عمودی محدود پر $p(\theta)$ ہے۔ اگر $\theta = 0$ تا π کو n برابر ٹکڑوں میں تقسیم کیا جائے تو ہر ٹکڑے کی چوڑائی $\frac{\pi}{n}$ ہوگی۔ گراف کے ایسے ہر ٹکڑے کو مستطیل تصور کیا جاسکتا ہے۔ ان تمام مستطیل کے رقبے جمع کرتے ہوئے مکمل حاصل کیا جاتا ہے۔ اسے کہتے ہیں عددی طریقہ۔

5203

شکل میں $n = 10$ لیا گیا ہے۔ یوں ہمیں دس مستطیل کے رقبے حاصل کرنے ہیں۔ ہر مستطیل کے دونوں اطراف کے قد کی اوسط قیمت کو مستطیل کا قد تصور کیا جائے گا۔ بائیں بازو سے شروع کرتے ہوئے پہلے مستطیل کے بائیں طرف کا قد 0 ہے جبکہ اس کے دائیں طرف کا قد $\theta = 0.1\pi$ پر مساوات 14.208 سے

$$p_1(\theta) = 30I_0^2 \frac{\cos^2[\frac{\pi}{2} \cos(0.1\pi)]}{\sin(0.1\pi)} = 0.573I_0^2 \quad (14.209)$$

5204

حاصل ہوتا ہے۔ اسی طرح بقایا تمام نقطوں پر بھی قد حاصل کرتے ہوئے جدول 14.2 میں دیے گئے ہیں۔

شکل 14.22 میں بائیں سے دوسرے مستطیل ($\theta = 0.1\pi$ تا $\theta = 0.2\pi$) کا رقبہ

$$\begin{aligned} & \text{اوسط قد} \times \text{چوڑائی} = \text{رقبہ} \\ & = 0.1\pi \times \left(\frac{0.573I_0^2 + 4.457I_0^2}{2} \right) \\ & = 0.79I_0^2 \end{aligned}$$

5205

جدول 14.2: برابر زاویائی فاصلوں پر تفاعل کے قیمت۔

$30I_0^2 \frac{\cos^2[\pi/2 \cos \theta]}{\sin \theta}$	θ
0	0.0π
$00.573I_0^2$	0.1π
$04.457I_0^2$	0.2π
$13.492I_0^2$	0.3π
$24.677I_0^2$	0.4π
$30I_0^2$	0.5π
$24.677I_0^2$	0.6π
$13.492I_0^2$	0.7π
$04.457I_0^2$	0.8π
$00.573I_0^2$	0.9π
0	1.0π

جدول 14.2 کی مدد سے کل رقبہ

$$P = 0.1\pi I_0^2 \left(\frac{0}{2} + 0.573 + 4.457 + 13.492 + 24.677 + 30 \right. \\ \left. + 24.677 + 13.492 + 4.457 + 0.573 + \frac{0}{2} \right)$$

یعنی

$$(14.210) \quad P = 36.5675I_0^2$$

حاصل ہوتا ہے۔ سائن نمابرتی رو کی چوٹی I_0 ہونے کی صورت میں مزاحمت R میں طاقت کا ضیاع $\frac{1}{2}I_0^2 R$ ہوتا ہے لہذا ان دونوں کو برابر لکھتے ہوئے

$$\frac{1}{2}I_0^2 R_{\text{اخراجی}} = 36.5675I_0^2$$

$\frac{\lambda}{2}$ لمبائی کے جفت قطب کا اخراجی مزاحمت

$$(14.211) \quad R_{\text{اخراجی}} = 73.13 \Omega \quad \text{جفت قطب} \quad \frac{\lambda}{2}$$

حاصل ہوتا ہے۔ یہ وہ مزاحمت ہے جو اینٹینا کو طاقت مہیا کرنے یا اس سے طاقت وصول کرنے والے ترسیلی تار کو نظر آتی ہے۔ $\frac{\lambda}{2}$ اینٹینا کے اخراجی مزاحمت کا موازنہ مختصر جفت قطب کی اخراجی مزاحمت (0.63Ω) کے ساتھ کریں جسے صفحہ 531 پر مثال 14.1 میں حاصل کیا گیا ہے۔

5207

اینٹینا کی رکاوٹ میں $42.5j$ اوہم کا خیالی جزو ($Z = 73.1 + j42.5$) بھی پایا جاتا ہے۔ اینٹینا کی لمبائی چند فی صد کم کرنے سے خیالی جزو صفر کیا جاسکتا ہے، البتہ اس سے حقیقی جزو قدر کم ہو کر 70Ω رہ جاتا ہے۔ زیادہ سے زیادہ طاقت کی منتقلی کے لئے ضروری ہے کہ ایسے اینٹینا کو 70Ω قدرتی رکاوٹ کے ترسیلی تار کے ساتھ جوڑا جائے۔ $\frac{3\lambda}{2}$ اینٹینا کا اخراجی مزاحمت 100Ω حاصل ہوتا ہے۔

5210

5211

مثال 14.11: $\frac{\lambda}{2}$ لمبائی کے خطی اینٹینا کی سمتیت حاصل کریں۔

5212

حل: مساوات 14.78 میں مساوات 14.203 پر کرتے ہوئے

$$(14.212) \quad D = \frac{4\pi}{\int \int P_n(\theta, \phi) d\Omega} = \frac{4\pi}{2\pi \int_0^\pi \frac{\cos^2[\frac{\pi}{2} \cos \theta]}{\sin^2 \theta} \sin \theta d\theta}$$

حاصل ہوتا ہے۔ اس کا مساوات 14.206 سے موازنہ کرتے ہوئے، مساوات 14.210 میں حاصل کی گئی قیمت $36.5675 I_0^2$ استعمال کرتے ہوئے

$$(14.213) \quad D = \frac{4\pi}{2\pi \left(\frac{36.5675 I_0^2}{30 I_0^2} \right)} = 1.64$$

حاصل ہوتا ہے۔

5213

5214

5215

14.13 چلتی موج اینٹینا

گزشتہ حصے میں خطی اینٹینا پر سائن نما برقی رو تصور کیا گیا۔ ایسی دہلی موصل تار، جس کا قطر d طول موج λ سے بہت کم ہو $\frac{\lambda}{100} < d$ اور جس کا آخری سر اکھلے سرے ہو، کے برقی رو کی شکل تقریباً ایسی ہی ہوتی ہے۔

5217

کئی طول موج لمبی خطی اینٹینا موصل زمین کے متوازی h اونچائی پر پائی جاتی ہے۔ جیسے شکل 14.23-الف میں دکھایا گیا ہے، اس کو بائیں جانب سے ٹرانسمیٹر⁵⁵ طاقت مہیا کرتا ہے۔ خطی اینٹینا اور موصل زمین مل کر کھلے سرے ترسیلی تار کا کردار ادا کرتے ہیں۔ یوں کھلے سر پر آمدی برقی رو اور یہاں سے انعکاسی برقی رو مل کر ساکن موج کو جنم دیتے ہیں جسے شکل-الف میں دکھایا گیا ہے۔ تار کے کھلے سر پر برقی رو کے ساکن موج کا صفر پایا جاتا ہے جبکہ $\frac{\lambda}{4}$ فاصلے پر اس کی چوٹی پائی جاتی ہے۔ یہی برقی رو گزشتہ حصے میں خطی اینٹینا پر فرض کی گئی تھی۔

5221

آئیں اب ترسیلی تار کے قدرتی رکاوٹ کے برابر مزاحمت R ، تار کے کھلے سر اور زمین کے درمیان جوڑیں۔ ایسا کرنے کے بعد اینٹینا پر انعکاسی موج پیدا نہیں ہوگی۔ تار میں قابل نظر انداز ضیاع کی صورت میں پوری لمبائی پر برقی رو کی قیمت یکساں ہوگی جبکہ لمبائی جانب بڑھتا زاویائی فرق پایا جائے گا۔ اس طرح قدرتی رکاوٹ کے برابر مزاحمت سے اختتام کردہ اینٹینا کو شکل 14.23-ب میں دکھایا گیا ہے۔ زمین سے دور خطی اینٹینا پر ایسی ہی مسلسل موج پیدا کرنے کی ترکیب شکل 14.23-پ میں دکھائی گئی ہے جہاں $\frac{\lambda}{2}$ اینٹینا کے وسطی نقطے کو زمین تصور کیا گیا ہے۔

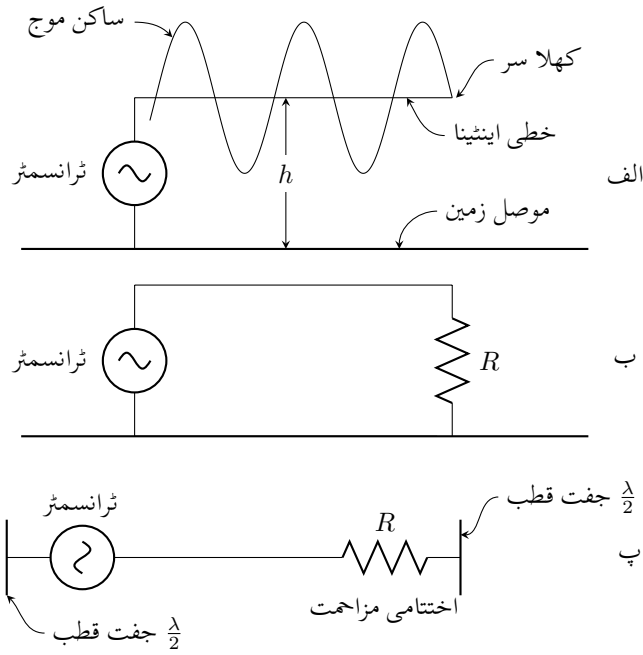
5225

مسلسل موج کے اس خطی اینٹینا کو چھوٹے چھوٹے، سلسلہ وار جڑے، لمبائی جانب اخراجی جفت قطب کا مجموعہ تصور کیا جاسکتا ہے۔ ایسا شکل میں دکھایا گیا ہے۔ مساوات 14.128 غیر سمتی ارکان کے قطار کا تقابل پذیر نقش

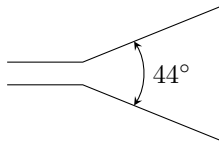
$$E_n = \frac{1}{n} \frac{\sin \frac{n\psi}{2}}{\sin \frac{\psi}{2}}$$

دیتی ہے جہاں لمبائی جانب اخراج کی صورت میں $\psi = \beta d (\cos \theta - 1)$ کے برابر ہے۔ اگر انفرادی رکن کا نقش E_0 ہو تب ضرب نقش کی ترکیب سے قطار کا نقش

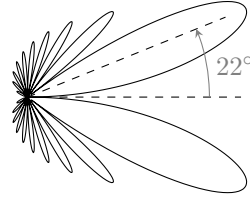
$$E(\theta) = \frac{E_0}{n} \frac{\sin \frac{n\psi}{2}}{\sin \frac{\psi}{2}}$$



شکل 14.23: مسلسل موج اینٹینا۔



(ا) ب: دو مسلسل موج اینٹینا کو 44° پر رکھ کر بہتر سمتیت حاصل کی جاتی ہے۔



الف: خطی اختتام کردہ مسلسل موج اینٹینا۔

شکل 14.24

لکھا جاسکتا ہے۔ انتہائی چھوٹے جفت قطب کا نقش $E_0 = \sin \theta$ ہے لہذا لمبے اینٹینا $L = d(n-1) \approx nd$ کے لئے

$$(14.214) \quad E(\theta) = \frac{\sin \theta \sin\left[\frac{\beta L}{2}(\cos \theta - 1)\right]}{n \sin\left[\frac{\beta L}{2n}(\cos \theta - 1)\right]}$$

لکھا جائے گا۔ یہ اینٹینا لمبائی جانب اخراج کرتا ہے لہذا θ کی قیمت زیادہ نہیں ہوگی۔ ایسی صورت میں مندرجہ بالا مساوات کو

$$(14.215) \quad E(\theta) = \sin \theta \frac{\sin[\beta L/2(\cos \theta - 1)]}{\beta L/2(\cos \theta - 1)}$$

لکھا جاسکتا ہے۔

شکل 14.24-الف میں $n = 20$ اور $d = \frac{\lambda}{4}$ کی صورت میں حاصل 4.75λ لمبائی کے اینٹینا کی شعاع دکھائی گئی ہے۔ مرکزی شعاع 22° پر پائی جاتی ہے۔ جیسا شکل-ب میں دکھایا گیا ہے، دو عدد ایسے اینٹینا کو آپس میں 44° کے میکانی زاویے پر رکھنے سے ایک سمتی اینٹینا حاصل ہوگا جسے دو تار کے تریسلی تار سے طاقت مہیا کی جاسکتی ہے۔ دونوں کے قریبی شعاع مل کر بہتر سمتیت دیتی ہے۔

زمین کے متوازی اینٹینا کا عمودی شعاع حاصل کرنے کی خاطر زمین میں اینٹینا کے عکس کو بھی مد نظر رکھا جائے گا۔

شکل 14.25-الف میں d قطر کا **گھیرا اینٹینا**⁵⁶ دکھایا گیا ہے جس میں I برقی رو گزر رہی ہے۔ دائرے کا قطر طول موج سے بہت کم $\lambda \ll d$ ہے لہذا پورے گول دائرے پر یک قیمت اور ہم قدم برقی رو تصور کی جاسکتی ہے۔ اس چھوٹے گول دائرے کو شکل-ب کا چکور تصور کرتے ہوئے، دور میدان حاصل کرتے ہیں۔ چکور اور گول دائرے کے رقبے برابر

$$(14.216) \quad S = s^2 = \frac{\pi d^2}{4}$$

لئے جاتے ہیں۔ چکور کے چار اطراف کو چار جفت قطب تصور کرتے ہوئے دور میدان حاصل کیا جائے گا۔ چکور کو کارتیسی محد کے مرکز پر $z = 0$ سطح پر رکھتے ہوئے $x = 0$ سطح پر دور میدان حاصل کیا جائے گا۔ $x = 0$ پر چکور کے اطراف الف اور پ برابر مگر الٹ سمت میں میدان پیدا کرتے ہیں لہذا ان کا مجموعہ صفر کے برابر ہے۔ اطراف ب اور ت بطور مختصر جفت قطب کردار ادا کرتے ہیں جن کا نقش $x = 0$ سطح پر غیر سمتی ہے لہذا انہیں دو غیر سمتی جفت قطب تصور کیا جاسکتا ہے۔ ایسا ہی شکل-پ میں دکھایا گیا ہے جہاں سے دور میدان

$$E(\theta) = E_2 e^{-j\frac{\psi}{2}} - E_4 e^{j\frac{\psi}{2}}$$

لکھا جاسکتا ہے۔ اس مساوات میں $E_2 = E_4$ اور $\psi = \beta s \sin \theta$ ہیں۔ یوں

$$E(\theta) = -j2E_2 \sin\left(\frac{\beta s}{2} \sin \theta\right)$$

لکھا جاسکتا ہے جسے $\lambda \ll s$ کی صورت میں

$$(14.217) \quad E(\theta) = -jE_2 \beta s \sin \theta$$

لکھا جاسکتا ہے۔ صفحہ 529 پر دیے گئے جدول 14.1 سے مختصر جفت قطب کے دور میدان E_θ کے حیطے کو E_2 کی جگہ پر کرتے ہوئے

$$(14.218) \quad E(\theta) = \frac{60\pi I l}{r\lambda} \beta s \sin \theta$$

حاصل ہوتا ہے۔ شکل 14.25-پ میں جفت قطب کی لمبائی $l = s$ ہے جبکہ چکور کا رقبہ $S = s^2$ ہے لہذا

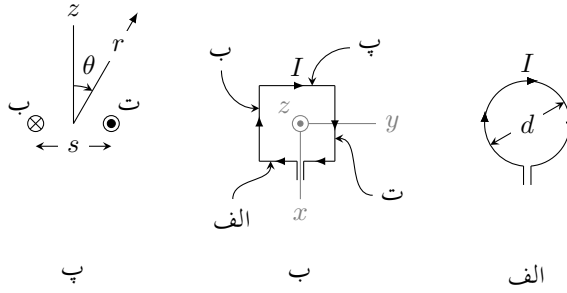
$$(14.219) \quad E(\theta) = \frac{120\pi^2 I}{r} \frac{S}{\lambda^2} \sin \theta$$

لکھا جاسکتا ہے۔ مندرجہ بالا مساوات S رقبے کے چھوٹے دائرے یا چکور کا دور میدان دیتی ہے۔ چکور کا قطر جتنا کم ہو یہ مساوات اتنا ہی زیادہ درست میدان دیتا ہے۔ حقیقت میں S رقبے کے کسی بھی شکل کے چھوٹے بند دائرے کا دور میدان یہی مساوات دیتا ہے۔

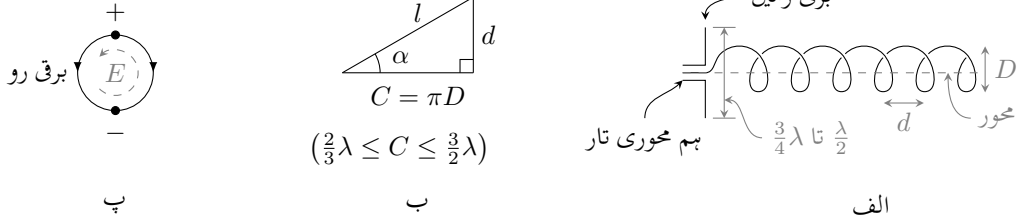
5233

5234

طول موج برابر محیط کا تیج دار لچھا لمبائی جانب اخراجی لمبئینا کا کام کرتا ہے۔ ایسے لمبئینا کی شعاع، دائری قطبیت رکھتی ہے۔ لچھے کی لمبائی اور لمبئینا کی سمتیت راست تناسب کا تعلق رکھتے ہیں۔ **تیج دار لمبئینا**⁵⁷ کا قطر D ، اس کا محیط C ، چکر کے مابین فاصلہ d ، چکر کی لمبائی l اور تیج دار زاویہ α ، اس کے اہم ناپ ہیں۔ ان تمام کو شکل 14.26 میں دکھایا گیا ہے۔ ایسا لچھے جس کا محیط $C = \pi D$ تقریباً ایک طول موج (1λ) لمبا ہو پر ایک مکمل موج پائی جلائے گی۔ یوں نصف چکر پر برقی موج کا مثبت حصہ اور بقایا پر موج کا منفی حصہ پایا جائے گا۔ لچھے کے ایک چکر کو شکل-پ میں دکھایا گیا ہے جہاں اس پر برقی رو اور چارج دکھائے گئے ہیں جو میدان E پیدا کرتے ہیں۔ جیسے جیسے برقی رو کی موج لمبئینا پر آگے حرکت کرتی ہے ویسے ویسے میدان E گھومے گا جو لمبئینا کے محور پر **دائری قطبیت**⁵⁸ کو جنم دے گی۔ تیج دار لچھا بطور مسلسل موج لمبئینا کردار ادا کرتا ہے اور اس کی خاصیت یہ ہے کہ اسے کسی مزاحمت سے



شکل 14.25: دائرہ اور چکور اینٹینا



شکل 14.26: پیچ دار اینٹینا۔

اختتام پذیر کرنے کی ضرورت نہیں ہوتی۔ اس پر برقی رو بالکل مسلسل موج اینٹینا کی مانند ہوتی ہے۔ اینٹینا کے کھلے سر سے انعکاسی موج قابل نظر انداز ہونے کے ناطے، اس پر یکساں حیٹے کے برقی رو کی موج خارجی جانب حرکت کرتی پائی جاتی ہے۔

پیچ دار اینٹینا کو لمبائی جانب اخراجی قطار تصور کیا جاسکتا ہے جہاں ہر چکر کو انفرادی منبع فرض کیا جاتا ہے۔ ضرب نقش کے اصول سے، انفرادی منبع کا نقش ضرب غیر سمتی ارکان کے قطار کا نقش،

$$(14.220) \quad E(\theta) = \cos \theta \frac{\sin(n\psi/2)}{\sin(\psi/2)}$$

اینٹینے کا نقش دیتا ہے۔ اس مساوات میں انفرادی چکر کے نقش کو $\cos \theta$ کے لگ بھگ تصور کیا گیا ہے۔ مندرجہ بالا مساوات میں

$$(14.221) \quad \psi = \beta d \cos \theta - \frac{c\beta L}{v}$$

کے برابر ہے جہاں دو قریبی چکر کے مابین زاویائی فرق $\frac{c\beta L}{v}$ ہو گا جو ایک چکر گولائی L پر v رفتار سے حرکت کرتی موج کا زاویائی فرق ہے۔

مساوات 14.220 اور مساوات 14.215 کے موازنے سے معلوم ہوتا ہے کہ یہ قدر مختلف ہیں۔ مساوات 14.220 میں $\cos \theta$ پایا جاتا ہے جس کی قیمت $\theta = 0$ پر زیادہ سے زیادہ ہے جو اینٹینا کا محور یعنی شعاعی اخراج کی سمت ہے۔ اس کے برعکس مساوات 14.215 میں $\sin \theta$ کا جزو ضربی پایا جاتا ہے جو اینٹینا کے محور پر صفر کے برابر ہے لہذا اس اینٹینا کی شعاع دو شاخی ہے اور اس کی سمتیت قدر کم ہے۔

چونکہ میدان دائری قطبی اور محور کے گرد یکساں ہے لہذا یہی مساوات $E_\theta(\theta)$ کے علاوہ $E_\phi(\theta)$ کا نقش بھی دیتی ہے۔

کسی بھی لمبائی جانب اخراجی قطار میں تمام منبع کے میدان اینٹینا کے محور پر ہم قدم ہوتے ہیں جو

$$(14.222) \quad \psi = 0, \pm 2\pi, \pm 4\pi, \dots$$

کی صورت میں ممکن ہوتا ہے۔ پیچ دار اینٹینا میں $\psi = -2\pi$ کے برابر ہے۔ ارکان کے مابین $\psi = -2\pi$ زاویائی فرق کی بنیاد پر حاصل نقش اور اصل پیچ دار اینٹینا کے ناپے گئے نقش میں خاصہ فرق پایا جاتا ہے۔ پیچ دار اینٹینا کی ناپی گئی سمتیت زیادہ ہے۔ منسن اور ووڈ یارڈ⁵⁹ یہ ثابت کر چکے ہیں کہ n رکنی لمبائی جانب اخراجی قطار کی زیادہ سے زیادہ سمتیت اس صورت حاصل ہوتی ہے جب اس کے ارکان کے مابین $\psi = -2\pi - \frac{\pi}{n}$ زاویائی فرق پایا جاتا ہو۔ مساوات 14.220 میں ارکان کے مابین زاویائی فرق $\psi = -2\pi - \frac{\pi}{n}$ پر کرنے سے حقیقی اینٹینا کے ناپے گئے نقش جیسا نقش حاصل ہوتا ہے۔ اس سے ثابت ہوتا ہے کہ حقیقی اینٹینا پر دو قریبی چکر کے مابین یہی زاویائی فرق پایا جاتا ہے۔ اس نتیجے کو تسلیم کرتے ہوئے مساوات 14.221 سے

$$(14.223) \quad \psi = \beta d \cos \theta - \frac{c\beta L}{v} = -2\pi - \frac{\pi}{n}$$

لکھتے ہوئے

$$(14.224) \quad \frac{v}{c} = \frac{\frac{1}{\lambda}}{\frac{d}{\lambda} + \frac{2n+1}{2n}}$$

حاصل ہوتا ہے۔ یوں $C = \lambda$ ، $\alpha = 12^\circ$ اور $n = 20$ کی صورت میں $\frac{v}{c} = 0.82$ ہوگی۔ حقیقی پیچ دار اینٹینا پر موج کی رفتار یہی ناپی جاتی ہے۔ ایسا معلوم ہوتا ہے کہ پیچ دار اینٹینا خود بخود موج کی رفتار کو اس قیمت پر رکھتی ہے جس پر اینٹینا کی سمتیت زیادہ سے زیادہ حاصل ہو۔ تین سے زیادہ چکر پر مبنی پیچ دار اینٹینا یہ عمل ($5^\circ < \alpha < 20^\circ$) اور ($\frac{3}{4}\lambda < C < \frac{3}{2}\lambda$) تک حاصل کرنے کی صلاحیت رکھتی ہے۔ چکر کی تعداد بڑھا کر سمتیت بڑھائی جاسکتی ہے۔

پیچ دار اینٹینا کی سمتیت تقریباً

$$(14.225) \quad D = 15 \left(\frac{C}{\lambda} \right)^2 \frac{nd}{\lambda}$$

کے برابر ہے۔ یوں $C = \lambda$ اور $\alpha = 12^\circ$ کی صورت میں $D = 64$ ہوگی۔

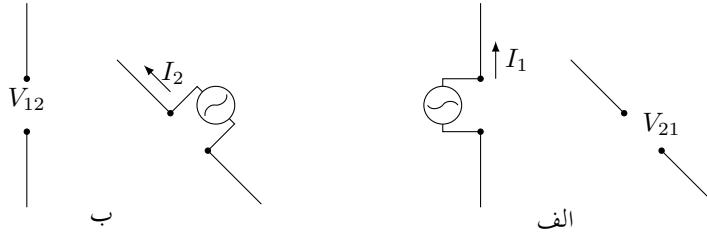
پیچ دار زاویہ $\alpha = 12^\circ$ اور $d = 0.213\lambda$ کی صورت میں طول موج میں تقریباً پانچ چکر پائیں جائیں گے لہذا $20 \times 0.213\lambda = 4.3\lambda$ لمبائی کا ہوگا۔ اتنی لمبائی کے عام لمبائی جانب اخراجی اینٹینا کی سمتیت چار گنا سے بھی قدر کم ہوتی ہے۔

پیچ دار اینٹینا کی سمتیت زیادہ ہونے کا مطلب ہے کہ اس کی اخراجی سطح حقیقی سطح سے بہت زیادہ ہوتی ہے۔ مصنوعی سیاروں پر مبنی ذرائع ابلاغ میں پیچ دار اینٹینا کی کلیدی کردار ادا کرتی ہے۔

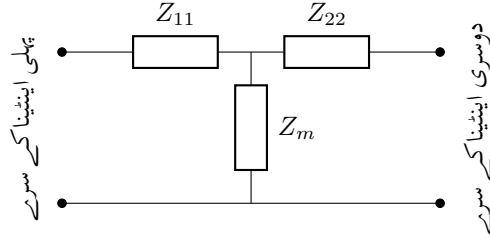
14.16 دو طرفہ کردار

اینٹینا شعاع خارج کرتی ہے اور یا اسے وصول کرتی ہے۔ اینٹینا کے تمام خاصیت دو طرفہ ہیں۔ یوں اس کی سمتیت، اخراجی رقبہ، نقش اور اخراجی مزاحمت دونوں (اخراجی اور وصولی) صورتوں میں برابر پائے جاتے ہیں۔ البتہ اینٹینا پر برقی روا اخراجی اور وصولی صورت میں مختلف صورت رکھتی ہے۔

اینٹینا کی **دو طرفہ خاصیت**⁶⁰ پر شکل 14.27 کی مدد سے غور کرتے ہیں۔ دونوں اینٹینا کے درمیان غیر متحرک، خطی اور غیر سمتی خطہ پایا جاتا ہے۔ شکل الف میں پہلے اینٹینا کو صفر رکاوٹ اور f تعدد کے منبع سے طاقت مہیا کی جاتی ہے جس سے پہلے اینٹینا کے داخلی سروں پر I_1 برقی روا اور دوسرے اینٹینا کے کھلے برقی سروں پر برقی دباؤ V_{21} پیدا ہوتی ہے۔ اگر منبع طاقت کو دوسرے اینٹینا کے ساتھ جوڑا جائے تب دوسرے اینٹینا میں I_2 برقی روا اور پہلے



شکل 14.27: دو اینٹینا کے مابین باہمیت۔



شکل 14.28: مساوی T دور۔

اینٹینا کے کھلے برقی سروں پر V_{12} برقی دباؤ پیدا ہوگا۔ شکل-ب میں ایسا دکھایا گیا ہے۔ چونکہ کسی بھی چار سروں والے برقی دور کا مساوی T دور بنانا ممکن ہے لہذا ان اینٹینا کے چار برقی سروں کے مابین بھی ایسا کرنا ممکن ہوگا۔ شکل 14.28 میں یہ مساوی دور دکھایا گیا ہے جہاں سے

$$V_{21} = I_1 Z_m$$

$$V_{12} = I_2 Z_m$$

یا

$$(14.226) \quad \frac{V_{21}}{I_1} = \frac{V_{12}}{I_2} = Z_m$$

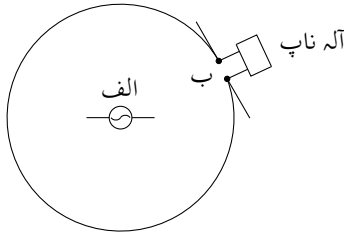
لکھا جاسکتا ہے۔ دونوں اینٹینا کو برابر برقی رو ($I_1 = I_2$) مہیا کرنے کی صورت میں

$$(14.227) \quad V_{21} = V_{12}$$

ہوگا۔

اینٹینا کی دو طرفہ خاصیت کے تحت اگر کسی ایک اینٹینا کو برقی رو I مہیا کی جائے جس سے کسی دوسرے اینٹینا میں برقی دباؤ V پیدا ہو تب دوسرے اینٹینا کو برقی رو I فراہم کرنے سے پہلے اینٹینا میں برقی دباؤ V پیدا ہوگا۔

دونوں اینٹینا کے مابین مشترکہ رکاوٹ Z_m دونوں اطراف سے برابر ہے۔



شکل 14.29: نقش کی ناپ۔

5269

نقش

شکل 14.29 میں اینٹینا-الف شعاع خارج کر رہی ہے جبکہ اینٹینا-ب اس شعاع کو وصول کر رہی ہے۔ اینٹینا-الف ساکن ہے جبکہ اینٹینا-ب اس کے گرد گول دائرے پر گھوم رہی ہے۔ اینٹینا-ب پر پیدا ہونے والی اینٹینا-الف کی نقش دے گی۔ اب اگر دائرے پر گھومتی اینٹینا شعاع خارج کرے اور ساکن اینٹینا اس شعاع کو وصول کرے تو اینٹینا کے دو طرفہ خاصیت کے تحت وہی نقش دوبارہ حاصل ہوگا۔ یوں کسی بھی اینٹینا کا اخراجی نقش اور وصولی نقش بالکل یکساں ہوتے ہیں۔ اینٹینا کی دو طرفہ خاصیت اس کے نقش کے لئے بھی درست ثابت ہوتی ہے۔

5273

5274

سمتیت اور اخراجی رقبہ

مساوات 14.78

(14.228)

$$D = \frac{4\pi}{\iint_{4\pi} P_n(\theta, \phi) d\Omega}$$

کے تحت سمتیت صرف اور صرف نقش پر منحصر ہے اور ہم دیکھ چکے ہیں کہ اینٹینا کا اخراجی نقش اور اس کا وصولی نقش بالکل یکساں ہوتے ہیں لہذا اس کی اخراجی سمتیت اور وصولی سمتیت بھی بالکل یکساں ہوں گے۔

5276

اگر اخراجی سمتیت اور وصولی سمتیت برابر ہوں تب مساوات 14.102

(14.229)

$$D = \frac{4\pi}{\lambda^2} S_{\text{اخراجی}}$$

کے تحت اخراجی رقبہ اور وصولی رقبہ بھی برابر ہوں گے۔ اینٹینا کی دو طرفہ خاصیت سمتیت اور رقبے کے لئے بھی درست ثابت ہوتی ہے۔

5277

5278

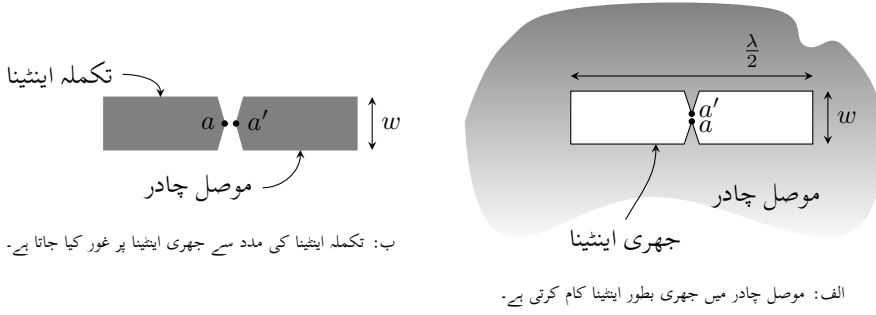
اخراجی مزاحمت اور وصولی مزاحمت

اخراجی اینٹینا کو صرف داخلی برقی سروں سے برقی رو مہیا کی جاسکتی ہے جبکہ وصولی اینٹینا کے تمام جسامت پر برقی دباؤ پیدا ہوتا ہے جس سے اینٹینا کی برقی رو عموماً اخراجی صورت سے مختلف ہوگی۔

5280

اگر اینٹینا کو مختلف برقی رکاوٹوں کا مجموعہ تصور کیا جائے تب اگرچہ اس کے مختلف حصوں پر برقی رو مختلف ممکن ہے لیکن کسی بھی دو سروں کے مابین رکاوٹ تبدیل نہیں ہوتی۔ یوں اینٹینا کے برقی سروں کے مابین برقی رکاوٹ کا دار و مدار اینٹینا میں برقی رو کی صورت پر نہیں ہوتی۔ اس کا اخراجی رکاوٹ اور وصولی رکاوٹ بالکل برابر ہوتے ہیں۔ اینٹینا کی دو طرفہ خاصیت یہاں بھی قابل استعمال ہے۔

5283



شکل 14.30: جھری اینٹینا اور اس کا تکملہ اینٹینا۔

14.17 جھری اینٹینا

وسیع موصل چادر میں $\frac{\lambda}{2}$ لمبائی کی جھری شکل 14.30-الف میں دکھائی گئی ہے۔ اگر aa' کو ترسیلی تار سے جوڑا جائے تو جھری کے گرد موصل چادر میں برقی رو کی وجہ سے شعاعی اخراج پیدا ہوگی۔ جھری کو از خود موصل چادر فرض کرتے اینٹینا تصور کیا جاسکتا ہے جس کی مدد سے **جھری اینٹینا**⁶¹ کا میدان حاصل کیا جاتا ہے۔ شکل-ب میں اسی **تکملہ اینٹینا**⁶² کو دکھایا گیا ہے۔ جھری اینٹینا کو aa' پر طاقت چوڑائی کے اطراف کے مابین فراہم کی جاتی ہے جبکہ تکملہ اینٹینا کو لمبائی جانب کے اطراف کے مابین طاقت aa' پر مہیا کی جاتی ہے۔ یوں ان کے میدان آپس میں 90° پر ہوں⁶³ گے۔ جھری اینٹینا کی اخراجی رکاوٹ Z_g اور تکملہ اینٹینا کی اخراجی رکاوٹ Z_d کا آپس میں تعلق

$$Z_g = \frac{Z_0^2}{4Z_d} \quad (14.230)$$

ہے جہاں $Z_0 = 120\pi$ خلاء کی قدرتی رکاوٹ ہے۔

اس طرح جفت قطب کے خصوصیات جانتے ہوئے جھری کے خصوصیات دریافت کئے جاسکتے ہیں۔ یوں اگر جھری کی چوڑائی $\lambda \ll c$ اور اس کی لمبائی $\frac{\lambda}{2}$ کر دی جائے تو تکملہ اینٹینا (صفحہ 566) کی اخراجی رکاوٹ $Z_d = 73 + j42.5$ جانتے ہوئے جھری اینٹینا کی اخراجی رکاوٹ

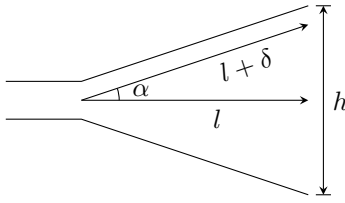
$$Z_g = \frac{377^2}{4 \times (73 + j42.5)} = 363 - j211 \Omega \quad (14.231)$$

لکھی جاسکتی ہے۔

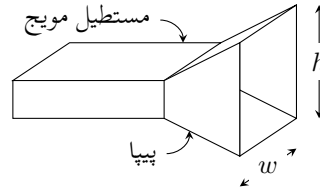
14.18 پیپا اینٹینا

شکل 14.31 میں **پیپا اینٹینا**⁶⁴ دکھایا گیا ہے جسے بائیں جانب سے مستطیلی ترسیلی تار طاقت مہیا کر رہی ہے۔ پیپا اینٹینا کو مستطیل ترسیلی تار کا کھلا منہ تصور کیا جاسکتا ہے۔ مستطیلی ترسیلی تار کا منہ بڑھانے سے اینٹینا کی اخراجی سطح بڑھانا مقصد ہے جس سے سمتیت بڑھتی ہے۔ اگرچہ پیپا کے منہ پر ہم قدم میدان

⁶¹ slot antenna
⁶² complementary antenna
⁶³ Booker's theory
⁶⁴ horn antenna



ب: پپا اینٹینا کے اہم ناپ۔



الف: پپا اینٹینا۔

شکل 14.31: پپا اینٹینا اور اس کے اہم ناپ۔

ہی سے بہتر سمتیت حاصل ہوگی، حقیقت میں ایسا ہم قدم میدان حاصل کرنا ممکن نہیں ہوتا۔ یوں حقیقی اینٹینا میں پپا کے منہ پر میدان میں فرق کو کسی مخصوص مقدار δ سے کم رکھا جاتا ہے۔ شکل-ب کو دیکھ کر

$$\cos \theta = \frac{l}{l + \delta}$$

$$\sin \theta = \frac{h}{2(l + \delta)}$$

$$\tan \theta = \frac{h}{2l}$$

لکھ جاسکتے ہیں۔ کم δ کی صورت میں ان مساوات سے

$$(14.232) \quad l = \frac{h^2}{8\delta}$$

$$(14.233) \quad \theta = \tan^{-1} \frac{h}{2l} = \cos^{-1} \frac{l}{l + \delta}$$

لکھا جاسکتا ہے۔ برقی میدان h سمت میں اور مقناطیسی میدان w سمت میں تصور کرتے ہوئے آگے پڑھیں۔ برقی میدان E کے سطح پر اس فرق کو $\delta \leq \frac{\lambda}{5}$ رکھا جاتا ہے جس سے پیپے کے منہ پر کل فرق $\pm 36^\circ$ تک محدود رہتا ہے جبکہ مقناطیسی میدان H کے سطح پر فرق $\frac{3\lambda}{8} < \delta$ تک محدود رکھا جاتا ہے۔ مقناطیسی میدان کے سطح پیپے کے اطراف پر برقی میدان سطح کے متوازی ہونے کی وجہ سے صفر ہوتا ہے لہذا میدان میں زیادہ زاویائی فرق سے دور میدان زیادہ متاثر نہیں ہوتا۔

5291

5292

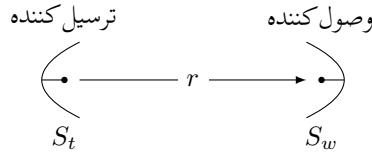
مثال 14.12: شکل میں $h = 10\lambda$ ہے جبکہ تریسلی تار میں TE_{10} موج پائی جاتی ہے۔ شکل میں w ، اور نصف زاویے θ اور ϕ حاصل کریں۔ 5293

حل: برقی میدان کی سطح پر $\delta < \frac{\lambda}{5}$ لیتے ہوئے

$$l = \frac{h^2}{8\delta} = \frac{100\lambda^2}{8 \times \frac{\lambda}{5}} = 62.5\lambda$$

حاصل ہوتا ہے جس سے E سطح پر

$$\theta = \tan^{-1} \frac{h}{2l} = \tan^{-1} \frac{10\lambda}{2 \times 62.5\lambda} = 4.6^\circ$$



شکل 14.32: وصول کردہ طاقت کا انحصار ترسیلی اور وصولی اینٹینا کے اخراجی رقبوں پر ہے۔

حاصل ہوتا ہے۔ مقناطیسی میدان پر $\frac{3\lambda}{8} < \delta$ لیتے ہوئے

$$\phi = \cos^{-1} \frac{62.5\lambda}{62.5\lambda + \frac{3}{8}\lambda} = 6.26^\circ$$

حاصل ہوتا ہے۔ پیپے کی چوڑائی

$$w = 2l \tan \phi = 2 \times 62.5 \times \lambda \times \tan 6.26^\circ = 13.7\lambda$$

حاصل ہوتی ہے۔

5294

5295

14.19 فرانس ریڈار مساوات

5296

شکل 14.32 میں S_t اخراجی رقبے کا ترسیل کنندہ اور S_w اخراجی رقبے کا وصول کنندہ اینٹینا آپس میں r فاصلے پر دکھائے گئے ہیں۔ اگر غیر سمتی ترسیل کنندہ P_t طاقت کی شعاع خارج کرے تب وصول کنندہ کے قریب اکائی رقبے پر

$$P = \frac{P_t}{4\pi r^2} \quad (14.234)$$

کثافت طاقت دستیاب ہوگی جس سے وصول کنندہ

$$P'_w = PS_w \quad (14.235)$$

طاقت حاصل کر پائے گا۔ ترسیلی سطح S_t کے سمتی ترسیل کنندہ کی سمتیت $D = \frac{4\pi S_t}{\lambda^2}$ ہے لہذا اس کی شعاع سے وصول کنندہ

$$P_w = DP'_w = \frac{4\pi S_t}{\lambda^2} \frac{P_t S_w}{4\pi r^2} \quad (14.236)$$

طاقت حاصل کر پائے گا۔ اس مساوات سے

$$\frac{P_w}{P_t} = \frac{S_t S_w}{\lambda^2 r^2} \quad (14.237)$$

لکھا جاسکتا ہے جہاں کسی بھی دو اینٹینا کے نظام میں مساوات کا دایاں ہاتھ بے بُعد مستقل ہے۔ یہ مساوات **فرانس ترسیلی مساوات**⁶⁵ کہلاتی ہے۔ آئیں اب شکل 14.33- الف پر غور کریں جہاں ترسیل کنندہ اینٹینا شعاع خارج کرتی ہے۔ انعکاسی شعاع کو وصول کنندہ اینٹینا وصول کرتی ہے۔ ریڈار میں عموماً ایک

ہی اینٹینا دونوں کام سرانجام دیتی ہے۔ شعاع کا انعکاس ہوا میں اڑتے جہاز سے ممکن ہے۔ شکل 14.33-ب میں عاکس کو دو اینٹینا کی صورت میں دکھایا گیا ہے جہاں ایک اینٹینا شعاع وصول کرتے ہوئے دوسرے اینٹینا سے واپس خارج کرتا ہے۔ یوں مساوات 14.237 کو دو مرتبہ استعمال کرتے ہوئے

$$(14.238) \quad \frac{P_w}{P_t} = \frac{S_t S_w S_e^2}{\lambda^4 r^4}$$

لکھا جاسکتا ہے۔ اگر ایک ہی اینٹینا بطور ترسیلی اور وصولی اینٹینا استعمال کیا جائے تب

$$(14.239) \quad \frac{P_w}{P_t} = \frac{S_w^2 S_e^2}{\lambda^4 r^4}$$

لکھا جاسکتا ہے جہاں عاکس کا اخراجی رقبہ S_e ہے۔

اگر عاکس وسیع جسامت کا ہو اور اس سے انعکاسی موج عین ریڈار کی سمت میں ہو تب عاکس کا اخراجی رقبہ اس کے میکانی رقبہ جتنا ہوگا۔ عموماً عاکس غیر سمتی اخراج کرتا ہے جس کی وجہ سے اس کا اخراجی رقبہ، اس کے میکانی رقبہ سے کم ہوتا ہے۔ ایسی صورت میں عاکس کے وصولی رقبہ کو S_e لکھتے ہوئے مساوات 14.237 سے عاکس کی حاصل کردہ طاقت

$$(14.240) \quad \frac{P}{P_t} = \frac{S_t \sigma}{\lambda^2 r^2}$$

لکھی جائے گی۔ یہی طاقت غیر سمتی خارج کی جائے گی۔ غیر سمتی اینٹینا کا اخراجی رقبہ $S = \frac{\lambda^2}{4\pi}$ ہوتا ہے۔ یہی عاکس کی اخراجی رقبہ لیتے ہوئے مساوات 14.239 میں $S_e^2 = S \sigma$ لکھتے ہوئے

$$(14.241) \quad \frac{P_w}{P_t} = \frac{S_w^2 S \sigma}{\lambda^4 r^4}$$

یعنی

$$(14.242) \quad \frac{P_w}{P_t} = \frac{S_w^2 \sigma}{4\pi \lambda^2 r^4}$$

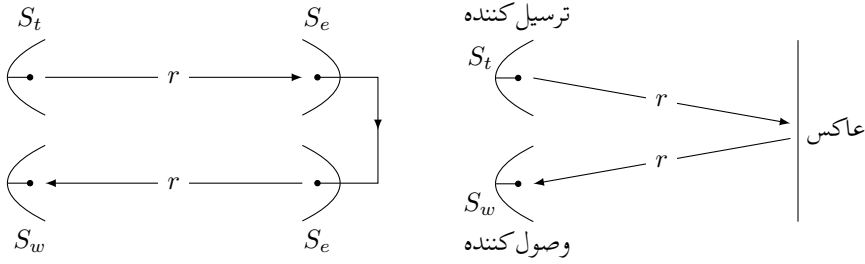
حاصل ہوتا ہے جہاں σ ریڈار رقبہ تراش⁶⁶ کہلاتا ہے۔ یہ ریڈار مساوات⁶⁷ کہلاتی ہے۔

بڑی جسامت کی موصل کرہ، جس کا رداس a ہو، کی ریڈار رقبہ تراش اس کے میکانی رقبہ تراش πa^2 کے برابر ہوتی ہے۔ غیر کامل عاکس کی صورت میں ریڈار رقبی تراش نسبتاً کم ہوگا، مثلاً ایک میٹر طول موج پر چاند کا ریڈار رقبہ تراش تقریباً $\frac{1}{10}$ گنا حاصل ہوتا ہے۔

مثال 14.13: ایک ٹی وی اسٹیشن موصل زمین پر کھڑے 200 m قد کے اینٹینا سے 1 kW کی طاقت سے نشریات کرتی ہے۔ افقی سطح پر اینٹینا غیر سمتی ہے جبکہ عمودی سمت میں اس کی نصف طاقت چوڑائی 10° ہے۔ طول موج 1 m ہونے کی صورت میں 4 km دور کتنی اونچائی پر اینٹینا بہترین وصولی کر پائے گا۔ وصول کردہ طاقت کا بھی تخمینہ لگائیں۔ وصولی اینٹینا مندرجہ ذیل فرض کرتے ہوئے حل کریں۔

• عمودی قطبی اینٹینا جس کی سمتیت 4 کے برابر ہے۔

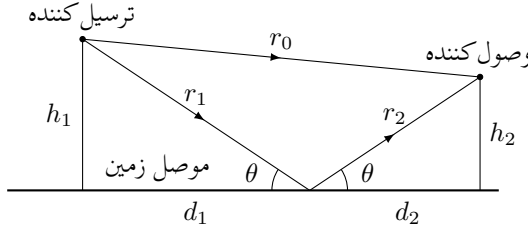
• افقی قطبی اینٹینا جس کی سمتیت 4 کے برابر ہے۔



ب: عاکس کو اینٹینا فرض کیا گیا ہے۔

الف: عاکس سے انعکاسی موج کی وصولی۔

شکل 14.33: ریڈار اینٹینا شعاع خارج کر کے انعکاسی موج وصول کرتا ہے۔



شکل 14.34: سیدھی آمد موج اور انعکاسی موج کے اثرات۔

• دائری قطبی 6 چکر کا پیچ دار اینٹینا جس کا $\alpha = 12.5^\circ$ اور چکر کے مابین فاصلہ 0.22λ ہے۔

حل: شکل میں صورت حال دکھائی گئی ہے۔ موصل زمین سے انعکاس پر زمین کے متوازی برقی میدان میں 180° کی تبدیلی رونما ہوگی۔ یوں اس اگر وصولی اینٹینا زمین کے بالکل قریب ہو تب افقی قطبی میدان کی صورت میں یہ صفر طاقت وصول کر پائے گا جبکہ عمودی قطبیت کی صورت میں اس سے سیدھی رسائی کے علاوہ زمین سے انعکاسی میدان بھی میسر ہوگا۔ یوں کل میدان دگنا اور طاقت چار گنا ہوگا۔

شکل 14.34 کو دیکھتے ہوئے کہہ سکتے ہیں کہ کسی بھی h پر اگر

$$(14.243) \quad r_1 + r_2 - r_0 = n\lambda \quad (n = 0, 1, 2, \dots)$$

ہو تب افقی قطبی میدان صفر پایا جائے گا جبکہ عمودی قطبی میدان دگنا ہوگا۔ اسی طرح جب بھی

$$(14.244) \quad r_1 + r_2 - r_0 = n\frac{\lambda}{2} \quad (n = 1, 3, 5, \dots)$$

ہو تب افقی قطبی میدان دگنا اور عمودی قطبی میدان صفر پایا جائے گا۔ ان حقائق سے ظاہر ہے کہ زیادہ سے زیادہ افقی قطبی میدان کے دو قریبی نقطوں کے درمیانی نقطے پر زیادہ سے زیادہ عمودی قطبی میدان پایا جاتا ہے۔

بایاں دائری قطبی موج انعکاس کے بعد دایاں دائری قطبی ہوتا ہے۔ اسی طرح دایاں دائری قطبی موج انعکاس کے بعد بایاں دائری قطبی ہوتا ہے۔ یوں اگر ترسیلی اینٹینا دایاں دائری قطبی ہو تب دایاں دائری قطبی اینٹینا صرف سیدھے آمدی میدان کو وصول کر پائے گا جبکہ بایاں دائری قطبی اینٹینا صرف انعکاسی میدان کو وصول کر پائے گا۔ یوں دونوں اقسام کے دائری قطبی اینٹینا اکائی میدان حاصل کریں گے۔ ترسیلی اینٹینا بایاں قطبی ہونے کی صورت میں بایاں قطبی وصولی اینٹینا سیدھے آمد میدان کو وصول کرے گا جبکہ دایاں قطبی اینٹینا انعکاسی میدان کو وصول کرے گا۔

افقی اور عمودی قطبی لینٹینوں کی صورت میں وصولی لینٹینا کی اونچائی تبدیل کرنے سے میدان صفر تا دگنا حاصل کرنا ممکن ہے جبکہ دائری قطبی لینٹینا کی صورت میں وصول طاقت کا دار و مدار لینٹینا کی اونچائی پر نہیں ہوتا۔ دائری لینٹینا ہر صورت اکائی میدان حاصل کرتی ہے۔

5318

چونکہ آمدی اور انعکاسی زاویے برابر ہوتے ہیں لہذا شکل میں آمدی ٹکون اور انعکاسی ٹکون یکساں ہیں۔ یوں $(r_1 + r_2 - r_0)$ کی قیمت $\frac{2h_1 h_2}{d}$ لکھی جاسکتی ہے۔ یوں عمودی قطب میدان کی زیادہ سے زیادہ قیمت

$$h_2 = \frac{d\lambda}{2h_1} = \frac{4 \times 10^3 \times 1}{2 \times 200} = 10 \text{ m}$$

5319

کی صورت میں حاصل ہوگی جس سے افقی قطبی میدان کی زیادہ سے زیادہ قیمت کی اونچائی 5، 15، 25، ... میٹر لکھی جاسکتی ہے۔

فرائس کی مساوات سے، ایک راہ سے موصول طاقت

$$P_w = \frac{P_t A_t A_w}{r^2 \lambda^2} = \frac{10^3 \times 0.32 \times 0.91}{16 \times 10^6 \times 1} = 18 \mu\text{W}$$

حاصل ہوتی ہے جہاں ترسیلی لینٹینا کی سمتیت

$$D = \frac{4\pi}{\theta_{HP} \phi_{HP}} = \frac{4\pi}{\frac{360 \times \pi}{180} \times \frac{10 \times \pi}{180}} = 11.459$$

لیتے ہوئے اس کا اخراجی رقبہ

$$A_t = \frac{\lambda^2}{4\pi} D = 0.91 \text{ m}^2$$

اور وصولی لینٹینا کا وصولی رقبہ

$$A_w = \frac{\lambda^2}{4\pi} D = \frac{1^2 \times 4}{4\pi} = 0.32 \text{ m}^2$$

لئے گئے ہیں۔ سیدھی آمد اور انعکاسی آمد میدان مل کر زیادہ سے زیادہ طاقت 4 گنا کر دیتی ہیں۔ یوں افقی قطبی اور عمودی قطبی لینٹینا کی صورت میں زیادہ سے زیادہ وصول کردہ طاقت $72 \mu\text{W}$ ہوگا جبکہ دونوں صورتوں میں کم سے کم حاصل کردہ طاقت صفر ہوگا۔

5321

دائری قطبی صورت میں وصولی لینٹینا کی سمتیت

$$D = 15 \left(\frac{C}{\lambda} \right)^2 \frac{nd}{\lambda} = 15 \left(\frac{0.22}{\tan 12.5^\circ} \right)^2 \times \frac{6 \times 0.22}{1} = 19.5$$

اور وصولی رقبہ

$$A_w = \frac{\lambda^2 D}{4\pi} = 1.55 \text{ m}^2$$

ہیں لہذا ہر اونچائی پر وصول کردہ طاقت

$$P_w = \frac{1.55}{0.32} \times 18 = 87 \mu\text{W}$$

5322

ہوگا۔

وصول کردہ طاقت کا تخمینہ لگاتے ہوئے ہم نے لینٹینوں کے درمیان فاصلے کو چار کلو میٹر ہی تصور کیا اگرچہ حقیقی فاصلے قدر مختلف ہیں۔ چار کلو میٹر کے فاصلے پر چند میٹر کم یا زیادہ سے حاصل جواب میں کوئی خاص تبدیلی پیدا نہیں ہوتی۔

5324

5325

14.20 ریڈیائی دوربین، اینٹینا کی حرارت اور تحلیلی کارکردگی

کسی بھی برقی مزاحمت R میں حرارت T کی وجہ سے آزاد چارج حرکت کرتے ہیں جس سے مزاحمت میں **حراری شور**⁶⁸ پیدا ہوتا ہے۔ ایسی مزاحمت کے برقی سروں پر B تعددی پٹی پر

$$W = kBT \quad (14.245)$$

طاقت شور⁶⁹ پایا جاتا ہے۔ اکائی تعددی پٹی پر یوں

$$w = kT \quad (14.246)$$

طاقت شور پایا جائے گا جہاں

w اکائی تعددی پٹی پر شور کی طاقت، $\frac{W}{Hz}$

k بولٹزمن کا مستقل، $1.38 \times 10^{-23} \frac{J}{K}$

B تعددی پٹی، Hz

T مزاحمت کی حتمی حرارت، K

ہیں۔ T کو **حرارت شور**⁷⁰ کہا جاتا ہے۔ برابر تعددی پٹی پر برابر طاقت شور پایا جاتا ہے۔

اگر برقی مزاحمت R کے برابر اخراجی مزاحمت ($R_{\text{اخراجی}} = R$) کے اینٹینا کے برقی سروں پر طاقت شور ناپی جائے تو یہ مزاحمت پر ناپی گئی طاقت شور سے مختلف ہوگی۔ اینٹینا کے سروں پر طاقت شور، خلاء کے اس خطے کی حرارت T سے پیدا شور ہوگا جہاں سے اینٹینا طاقت وصول کر رہا ہو۔ اس طاقت شور کا اینٹینا کی حرارت سے کوئی تعلق نہیں۔ یوں اینٹینا کو بطور **بعید بیجا حرارت**⁷¹ استعمال کیا جاسکتا ہے۔

ایک سنٹی میٹر طول موج کے ریڈیائی دوربین کی مرکز نگاہ آسمان کے ایسے خطوں پر رکھی جاسکتی ہے جہاں حتمی حرارت $0 K$ کے قریب قریب ہوتی ہے۔ ایسی صورت میں طاقت شور آسمان کی حرارت سے پیدا ہوگا تاکہ اینٹینا کے حرارت سے جو $300 K$ کے لگ بھگ ہوگی۔ ریڈیائی دوربین کی طاقت شور فی تعدد

$$w = kT_A \left(\frac{W}{Hz} \right) \quad (14.247)$$

لکھی جاتی ہے جہاں T_A اینٹینا کی حراری شور ہے جسے عموماً **حرارت اینٹینا**⁷² یا اخراجی مزاحمت کی حرارت کہا جاتا ہے۔ حرارت اینٹینا وہ خطہ کرتی ہے جس پر اینٹینا کے نقش کی نظر ہو۔ یوں اینٹینا کی مدد سے دور آسمان کے خطوں کی حرارت ناپنا ممکن ہے۔ ہم نے اس پورے بحث میں یہ فرض کر رکھا ہے کہ اینٹینا بے ضیاع ہے اور یہ آسمان کی طرف نظر رکھے ہوئے ہے۔ یوں انعکاسی شعاع اور ثانوی شعاع کو رد کیا گیا ہے۔

ریڈیائی دوربین کو استعمال کرتے ہوئے کثافت طاقت شور فی تعدد

$$p = \frac{w}{S_e} = \frac{kT_A}{S_e} \left(\frac{W}{m^2 Hz} \right) \quad (14.248)$$

thermal noise⁶⁸

noise power⁶⁹

noise temperature⁷⁰

remote temperature sensor⁷¹

antenna temperature⁷²

کا استعمال زیادہ سودمند ثابت ہوتا ہے جسے پونٹنگ سمتیہ فی تعدد تصور کیا جاسکتا ہے۔

اگر ہمیں منبع شور کی زاویائی وسعت Ω_M معلوم ہو اور یہ Ω_A کی نسبت سے کم ہو تب منبع کی حرارت

$$(14.249) \quad \frac{T_A}{T_M} = \frac{\Omega_M}{\Omega_A}$$

سے حاصل کی جاسکتی ہے۔ یاد رہے کہ T_A کا اینٹینا کی حرارت سے کوئی تعلق نہیں۔

مثال 14.14: مرخ⁷³ پر مرکز نگاہ رکھتے ہوئے 15 m لمبی ریڈیائی دوربین کی اینٹینا حرارت 31.5 mm طول موج پر 0.24 K ناپی جاتی ہے۔ اینٹینا پر مرخ⁷³ 0.005° زاویہ بناتا ہے اور اینٹینا کا نصف طاقت زاویہ 0.116° ہے۔ مرخ کی حرارت دریافت کریں۔

حل: مساوات 14.249 سے مرخ کی حرارت

$$T_M = \frac{\Omega_A}{\Omega_M} T_A \approx \frac{0.116^2}{\pi(0.005^2/4)} 0.24 = 164 \text{ K}$$

حاصل ہوتی ہے۔

14.21 حرارت نظام اور حرارت بعید

حرارت اینٹینا سے اس خطے کی حرارت حاصل کی جاسکتی ہے جس پر اینٹینا کا مرکز نگاہ ہو۔ یوں اینٹینا کو بعید پیمائش حرارت استعمال کیا جاسکتا ہے۔ ایک سنٹی میٹر طول موج کے ریڈیائی دوربین کی نگاہ، ستاروں سے خالی آسمان کے خطے پر رکھتے ہوئے انتہائی کم اینٹینا حرارت حاصل کی جاسکتی ہے۔ آسمان کو دیکھتے ہوئے کم تر حرارت 3 K حاصل ہوتی جو کائنات کی ابتدائی دھماکے⁷⁴ کی بقیہ حرارت⁷⁵ ہے۔ اگر اینٹینا کے سامنے ستارہ موجود ہو تب بقیہ حرارت⁷⁶ سے زیادہ حرارت ناپی جائے گی۔ ایک میٹر طول موج پر ہماری کہکشاں کی حرارت کئی ہزار کیلون ناپی جاتی ہے۔ ہم حرارت⁷⁶ شور کی حرارت ناپنے کی بات کر رہے ہیں۔ یہ کامل اخراجی و وصولی خاصیت کے جسم کی حرارت ہے۔ ایسے جسم کو سیاہ جسم⁷⁷ کہا جاتا ہے۔ یوں اگر اینٹینا کی پوری وصولی نقش کے خطے میں گرم کونکے یا سیاہ دھات کا کرہ پایا جائے، تو اینٹینا سے کرہ کی ناپی گئی حرارت وہی ہوگی جو تھرمامیٹر⁷⁸ سے ناپی جائے گی۔ اس کے برعکس ترسیلی اینٹینا کی ناپی گئی اینٹینا حرارت غیر یقینی طور پر زیادہ حاصل ہوتی ہے۔

مثال کے طور پر اگر قریب ریڈیو اسٹیشن کی نشریات، 10 m² وصولی رقبے اور 10 kHz تعددی پٹی کے وصولی اینٹینا کے قریب 10 $\frac{\mu\text{V}}{\text{m}}$ کا میدان پیدا کرے تو وصولی اینٹینا کی کل وصول کردہ طاقت

$$W = \frac{E^2}{Z_0} S_e = \frac{10^{-10}}{377} \times 10 = 2.65 \text{ pW}$$

Mars⁷³
big bang⁷⁴
residual temperature⁷⁵
thermal⁷⁶
blackbody⁷⁷
thermometer⁷⁸

ہوگی جسے مساوات 14.245 میں پر کرتے ہوئے

$$T = \frac{W}{kB} = \frac{2.65 \times 10^{-12}}{1.38 \times 10^{-23} \times 10^4} = 1.9 \times 10^7 \text{ K}$$

حاصل ہوتی ہے۔ اس مثال میں آپ نے دیکھا کہ صرف $10 \frac{\mu\text{V}}{\text{m}}$ کا میدان $1.9 \times 10^7 \text{ K}$ کی اینٹینا حرارت پیدا کر سکتا ہے۔ یہ اتنی بڑی مقدار ہے کہ اس کی موجودگی میں بقایا نظام کی حرارت، جسے **حرارت نظام**⁷⁹ پکارا جاتا ہے، کو نظر انداز کیا جاسکتا ہے۔ البتہ، ریڈیائی دوربین اتنی کم طاقت کے اشارات پر کام کرتے ہیں کہ ان میں حرارت نظام انتہائی اہم ہوتا ہے۔ اس کا اندازہ آپ یوں کر سکتے ہیں کہ ریڈیائی دوربین کے استعمال میں کثافت طاقت فی ہیرٹس⁸⁰ کی اکائی **جانسکی**⁸⁰ ہے جہاں $1 \text{ Ja} = 10^{-26} \frac{\text{W}}{\text{m}^2 \text{ Hz}}$ کے برابر ہے۔

5357

سوالات

سوال 14.1: غیر سمتی اینٹینا $E = \frac{25I}{r}$ میدان پیدا کرتی ہے جہاں اینٹینا کا داخلی موثر برقی رو I اور اینٹینا سے فاصلہ r ہے۔ اس اینٹینا کی اخراجی مزاحمت حاصل کریں۔

جواب: 20.8Ω

سوال 14.2: اینٹینا کی شعاع $0 < \theta < 30^\circ$ ، $0 < \phi < 2\pi$ خطے میں یکساں میدان پیدا کرتی ہے جبکہ $30^\circ < \theta < 180^\circ$ خطے میں میدان صفر کے برابر ہے۔ (الف) اینٹینا کا اخراجی ٹھوس زاویہ Ω_A حاصل کریں۔ (ب) شعاع کی سمتیت D دریافت کریں۔

جوابات: 0.842 sr ، 14.9

سوال 14.3:

اینٹینا کی شعاع $0 < \theta < 60^\circ$ ، $0 < \phi < 2\pi$ خطے میں یکساں میدان پیدا کرتی ہے جبکہ $60^\circ < \theta < 180^\circ$ خطے میں میدان صفر کے برابر ہے۔ (الف) اینٹینا کا اخراجی ٹھوس زاویہ Ω_A حاصل کریں۔ (ب) شعاع کی سمتیت D دریافت کریں۔ (پ) اینٹینا کا اخراجی رقبہ A_{6367} حاصل کریں۔ (ت) اینٹینا کا داخلی موثر برقی رو 12 A ہونے کی صورت میں اینٹینا سے 164 m کے فاصلے پر موثر برقی میدان $7 \frac{\text{V}}{\text{m}}$ ہے۔ اینٹینا کا اخراجی مزاحمت $R_{\text{اخراجی}}$ دریافت کریں۔

جوابات: 3.142 sr ، 4 ، $0.318 \lambda^2$ ، 76.3Ω

سوال 14.4: اینٹینا کی شعاع $45^\circ < \theta < 60^\circ$ ، $0^\circ < \phi < 120^\circ$ خطے میں یکساں ہے۔ بقایا خطے میں میدان صفر کے برابر ہے۔ اینٹینا سے 1000 m کے فاصلے پر اس خطے میں $2 \frac{\text{V}}{\text{m}}$ برقی میدان حاصل کرنے کی خاطر 4 A موثر داخلی برقی رو درکار ہے۔ اینٹینا کی اخراجی مزاحمت $R_{\text{اخراجی}}$ دریافت کریں۔

جواب: 288Ω

سوال 14.5: اینٹینا کی مرکزی شعاع $0^\circ < \theta < 45^\circ$ خطے میں یکساں پائی جاتی ہے جبکہ اس کی ثانوی شعاع $120^\circ < \theta < 180^\circ$ خطے میں یکساں پائی جاتی ہے۔ میدان ϕ کے ساتھ تبدیل نہیں ہوتا۔ مرکزی شعاع میں میدان ثانوی شعاع کے میدان کے چار گنا ہے۔ (الف) اینٹینا کی سمتیت D دریافت کریں۔ (ب) مرکزی شعاع میں اینٹینا سے 350 m فاصلے پر $6 \frac{\text{V}}{\text{m}} = E_{\text{موثر}}$ برقی میدان کے حصول کے لئے اینٹینا کو 6 A موثر داخلی برقی رو مہیا کیا جاتی ہے۔ اینٹینا کی اخراجی مزاحمت $R_{\text{اخراجی}}$ دریافت کریں۔

جوابات: $D = 6.17$ ، 662Ω

سوال 14.6: دو عدد غیر سمتی، ہم قدم منبع کے درمیان فاصلہ 2λ ہے۔ (الف) نقش کے صفر حاصل کریں۔ (ب) نقش کی چوٹیاں حاصل کریں۔

جوابات: (الف) 41.4° ، 75.5° ، 104.5° ، 138.6° ؛ (ب) 0° ، 60° ، 90° ، 120° ، 180°

سوال 14.7: دو عدد غیر سمتی، منبع کے درمیان فاصلہ $\frac{3\lambda}{2}$ ہے جبکہ ان میں زاویائی فرق 180° ہے۔ (الف) نقش کے صفر حاصل کریں۔ (ب) نقش کی چوٹیاں حاصل کریں۔

جوابات: (الف) 90° ، 48.2° ، 131.8° ؛ (ب) 0° ، 70.5° ، 109.5°

سوال 14.8: چار رکنی قطار میں غیر سمتی، یکساں طاقت کے منبع پائے جاتے ہیں۔ قطار میں ہر دو قریبی منبع میں δ زاویائی فرق پایا جاتا ہے۔ منبع کے درمیان فاصلہ نصف طول موج سے کم $d < \frac{\lambda}{2}$ ہے۔ زیادہ سے زیادہ میدان $\theta = 45^\circ$ پر اور نقش کا صفر $\theta = 90^\circ$ پر حاصل کرنے کے لئے درکار δ اور d حاصل کریں۔

5387

جوابات: $\delta = -90^\circ$ ، $d = 0.354\lambda$

5388

سوال 14.9: گھریلو ریڈیو سے 585 kHz تعدد کی نشریات سنی جا رہی ہے۔ الف) ریڈیو اینٹینا کو غیر سمتی تصور کرتے ہوئے اس کا اخراجی رقبہ دریافت کریں۔ ب) گھر سے ریڈیو اسٹیشن کا فاصلہ 10 km جبکہ اسٹیشن کی اخراجی طاقت 5 kW کی صورت میں ریڈیو کتنی طاقت وصول کر پاتا ہے۔ اسٹیشن کی اخراج غیر سمتی تصور کریں۔ پ) ریڈیو کی داخلی مزاحمت 300Ω ہے۔ ریڈیو کو صرف $1 \mu V$ موثر داخلی اشارہ درکار ہے۔ درکار داخلی طاقت کی قیمت حاصل کریں۔

5392

جوابات: 3.33 fW ، 83.3 mW ، 20928 m^2

5393

سوال 14.10: 1.5λ لمبے خطی اینٹینا کا اخراجی مزاحمت حاصل کریں۔ ایسا کرنے کی خاطر آپ کو صفحہ 566 پر دیے جدول 14.2 کے طرز کا جدول حاصل کرنا ہو گا۔

5395

جواب: 100Ω

5396

سوال 14.11: یکساں غیر سمتی منبع پر مبنی قطار میں ارکان کے درمیان $d = \frac{\lambda}{4}$ ہے۔ مرکزی شعاع $\theta = 30^\circ$ پر حاصل کرنے کی خاطر ارکان کے مابین زاویائی فرق δ حاصل کریں۔

5398

جواب: 1.36 rad

5399

سوال 14.12: متداخل پیمائیں جفت قطب کے مابین فاصلہ 10λ ہونے کی صورت میں پہلے صفر چوڑائی حاصل کریں۔

5400

جواب: 5.7°

5401

سوال 14.13: خلاء میں دو مصنوعی سیاروں کے درمیان $2 \times 10^8 \text{ m}$ کا فاصلہ ہے۔ یہ آپس میں 2.5 GHz تعدد پر اشارات کا تبادلہ کرتے ہیں۔ دونوں سیارے $D = 1500$ سمتیت کے اینٹینا استعمال کرتے ہیں۔ اطلاعات صحیح موصول ہونے کے لئے ضروری ہے کہ حاصل کردہ اشارے کی طاقت ہر قی شور سے قدر زیادہ ہو۔ یوں ضروری ہے کہ حاصل کردہ برقی اشارے کی طاقت کم از کم 1 pW ہو۔ اخراجی اینٹینا کی درکار طاقت حاصل کریں۔

5404

جواب: 195 W

5405

5406

ڈھلوان، پھیلاؤ، گردش اور لاپلاسی

کارتیسی محدود

$$\begin{aligned}\nabla f &= \frac{\partial f}{\partial x} \mathbf{a}_x + \frac{\partial f}{\partial y} \mathbf{a}_y + \frac{\partial f}{\partial z} \mathbf{a}_z \\ \nabla \cdot \mathbf{A} &= \frac{\partial A_x}{\partial x} + \frac{\partial A_y}{\partial y} + \frac{\partial A_z}{\partial z} \\ \nabla \times \mathbf{A} &= \left(\frac{\partial A_z}{\partial y} - \frac{\partial A_y}{\partial z} \right) \mathbf{a}_x + \left(\frac{\partial A_x}{\partial z} - \frac{\partial A_z}{\partial x} \right) \mathbf{a}_y + \left(\frac{\partial A_y}{\partial x} - \frac{\partial A_x}{\partial y} \right) \mathbf{a}_z = \begin{vmatrix} \mathbf{a}_x & \mathbf{a}_y & \mathbf{a}_z \\ \frac{\partial}{\partial x} & \frac{\partial}{\partial y} & \frac{\partial}{\partial z} \\ A_x & A_y & A_z \end{vmatrix} \\ \nabla^2 f &= \frac{\partial^2 f}{\partial x^2} + \frac{\partial^2 f}{\partial y^2} + \frac{\partial^2 f}{\partial z^2}\end{aligned}$$

نلکی محدود

$$\begin{aligned}\nabla f &= \frac{\partial f}{\partial \rho} \mathbf{a}_\rho + \frac{1}{\rho} \frac{\partial f}{\partial \phi} \mathbf{a}_\phi + \frac{\partial f}{\partial z} \mathbf{a}_z \\ \nabla \cdot \mathbf{A} &= \frac{1}{\rho} \frac{\partial(\rho A_\rho)}{\partial \rho} + \frac{1}{\rho} \frac{\partial A_\phi}{\partial \phi} + \frac{\partial A_z}{\partial z} \\ \nabla \times \mathbf{A} &= \left(\frac{1}{\rho} \frac{\partial A_z}{\partial \phi} - \frac{\partial A_\phi}{\partial z} \right) \mathbf{a}_\rho + \left(\frac{\partial A_\rho}{\partial z} - \frac{\partial A_z}{\partial \rho} \right) \mathbf{a}_\phi + \frac{1}{\rho} \left(\frac{\partial(\rho A_\phi)}{\partial \rho} - \frac{\partial A_\rho}{\partial \phi} \right) \mathbf{a}_z = \begin{vmatrix} \frac{1}{\rho} \mathbf{a}_\rho & \mathbf{a}_\phi & \frac{1}{\rho} \mathbf{a}_z \\ \frac{\partial}{\partial \rho} & \frac{\partial}{\partial \phi} & \frac{\partial}{\partial z} \\ A_\rho & \rho A_\phi & A_z \end{vmatrix} \\ \nabla^2 f &= \frac{1}{\rho} \frac{\partial}{\partial \rho} \left(\rho \frac{\partial f}{\partial \rho} \right) + \frac{1}{\rho^2} \frac{\partial^2 f}{\partial \phi^2} + \frac{\partial^2 f}{\partial z^2} = \frac{\partial^2 f}{\partial \rho^2} + \frac{1}{\rho} \frac{\partial f}{\partial \rho} + \frac{1}{\rho^2} \frac{\partial^2 f}{\partial \phi^2} + \frac{\partial^2 f}{\partial z^2}\end{aligned}$$

کروی محدود

$$\begin{aligned}\nabla f &= \frac{\partial f}{\partial r} \mathbf{a}_r + \frac{1}{r} \frac{\partial f}{\partial \theta} \mathbf{a}_\theta + \frac{1}{r \sin \theta} \frac{\partial f}{\partial \phi} \mathbf{a}_\phi \\ \nabla \cdot \mathbf{A} &= \frac{1}{r^2} \frac{\partial(r^2 A_r)}{\partial r} + \frac{1}{r \sin \theta} \frac{\partial(\sin \theta A_\theta)}{\partial \theta} + \frac{1}{r \sin \theta} \frac{\partial A_\phi}{\partial \phi} \\ \nabla \times \mathbf{A} &= \frac{1}{r \sin \theta} \left[\frac{\partial(\sin \theta A_\phi)}{\partial \theta} - \frac{\partial A_\theta}{\partial \phi} \right] \mathbf{a}_r + \frac{1}{r} \left(\frac{1}{\sin \theta} \frac{\partial A_r}{\partial \phi} - \frac{\partial(r A_\phi)}{\partial r} \right) \mathbf{a}_\theta + \frac{1}{r} \left(\frac{\partial(r A_\theta)}{\partial r} - \frac{\partial A_r}{\partial \theta} \right) \mathbf{a}_\phi \\ \nabla^2 f &= \frac{1}{r^2} \frac{\partial}{\partial r} \left(r^2 \frac{\partial f}{\partial r} \right) + \frac{1}{r^2 \sin \theta} \frac{\partial}{\partial \theta} \left(\sin \theta \frac{\partial f}{\partial \theta} \right) + \frac{1}{r^2 \sin^2 \theta} \frac{\partial^2 f}{\partial \phi^2}\end{aligned}$$

$$\begin{aligned}
\nabla f &= \frac{1}{k_1} \frac{\partial f}{\partial u} \mathbf{a}_u + \frac{1}{k_2} \frac{\partial f}{\partial v} \mathbf{a}_v + \frac{1}{k_3} \frac{\partial f}{\partial w} \mathbf{a}_w \\
\nabla \cdot \mathbf{A} &= \frac{1}{k_1 k_2 k_3} \left(\frac{\partial(k_2 k_3 A_u)}{\partial u} + \frac{\partial(k_3 k_1 A_v)}{\partial v} + \frac{\partial(k_1 k_2 A_w)}{\partial w} \right) \\
\nabla \times \mathbf{A} &= \frac{1}{k_2 k_3} \left[\frac{\partial(k_3 A_w)}{\partial v} - \frac{\partial(k_2 A_v)}{\partial w} \right] \mathbf{a}_u + \frac{1}{k_3 k_1} \left[\frac{\partial(k_1 A_u)}{\partial w} - \frac{\partial(k_3 A_w)}{\partial u} \right] \mathbf{a}_v \\
&\quad + \frac{1}{k_1 k_2} \left[\frac{\partial(k_2 A_v)}{\partial u} - \frac{\partial(k_1 A_u)}{\partial v} \right] \mathbf{a}_w \\
\nabla^2 f &= \frac{1}{k_1 k_2 k_3} \left[\frac{\partial}{\partial u} \left(\frac{k_2 k_3}{k_1} \frac{\partial f}{\partial u} \right) + \frac{\partial}{\partial v} \left(\frac{k_3 k_1}{k_2} \frac{\partial f}{\partial v} \right) + \frac{\partial}{\partial w} \left(\frac{k_1 k_2}{k_3} \frac{\partial f}{\partial w} \right) \right]
\end{aligned}$$

$$\begin{aligned}
\mathbf{F} \cdot \mathbf{G} &= FG \cos \theta \quad \text{غیر سمتی (نقطہ) ضرب} \\
\theta &= \cos^{-1} \left(\frac{\mathbf{F} \cdot \mathbf{G}}{FG} \right) \\
\mathbf{F} \times \mathbf{G} &= FG \sin \theta \mathbf{a}_N \quad \text{سمتی (صلیبی) ضرب} \\
\theta &= \sin^{-1} \left[\frac{(\mathbf{F} \times \mathbf{G}) \cdot \mathbf{a}_N}{FG} \right]
\end{aligned}$$

$$\begin{aligned}
\nabla \cdot (\nabla \times \mathbf{F}) &= 0 \\
\nabla \cdot \nabla f &= \nabla^2 f \\
\nabla \times \nabla f &= 0
\end{aligned}$$

$$\begin{aligned}
\nabla(f + g) &= \nabla f + \nabla g \\
\nabla \cdot (\mathbf{F} + \mathbf{G}) &= \nabla \cdot \mathbf{F} + \nabla \cdot \mathbf{G} \\
\nabla \times (\mathbf{F} + \mathbf{G}) &= \nabla \times \mathbf{F} + \nabla \times \mathbf{G}
\end{aligned}$$

$$\begin{aligned}
\nabla(fg) &= f \nabla g + g \nabla f \\
\nabla \cdot (f \mathbf{G}) &= f(\nabla \cdot \mathbf{G}) + \mathbf{G} \cdot (\nabla f) \\
\nabla \times (f \mathbf{G}) &= f(\nabla \times \mathbf{G}) + (\nabla f) \times \mathbf{G}
\end{aligned}$$

$$\nabla \times (\nabla \times \mathbf{F}) = \nabla(\nabla \cdot \mathbf{F}) - \nabla^2 \mathbf{F}$$

جہاں $\nabla^2 \mathbf{F}$ سے مراد

$$\nabla^2 \mathbf{F} = \nabla^2 F_x \mathbf{a}_x + \nabla^2 F_y \mathbf{a}_y + \nabla^2 F_z \mathbf{a}_z$$

ہے۔

$$\begin{aligned}
\nabla \cdot (\mathbf{F} \times \mathbf{G}) &= \mathbf{G} \cdot (\nabla \times \mathbf{F}) - \mathbf{F} \cdot (\nabla \times \mathbf{G}) \\
\mathbf{F} \cdot (\mathbf{G} \times \mathbf{H}) &= \mathbf{G} \cdot (\mathbf{H} \times \mathbf{F}) = \mathbf{H} \cdot (\mathbf{F} \times \mathbf{G}) \\
\nabla \times (\mathbf{F} \times \mathbf{G}) &= \mathbf{F}(\nabla \cdot \mathbf{G}) - \mathbf{G}(\nabla \cdot \mathbf{F}) + (\mathbf{G} \cdot \nabla)\mathbf{F} - (\mathbf{F} \cdot \nabla)\mathbf{G} \\
\nabla(\mathbf{F} \cdot \mathbf{G}) &= (\mathbf{F} \cdot \nabla)\mathbf{G} + (\mathbf{G} \cdot \nabla)\mathbf{F} + \mathbf{F} \times (\nabla \times \mathbf{G}) + \mathbf{G} \times (\nabla \times \mathbf{F})
\end{aligned}$$

5413

سطحی اور حجمی تکمیل کے تعلق

مندرجہ ذیل تین مساوات میں دائیں جانب حجمی تکمیل کے حجم کو بائیں جانب سطحی تکمیل کی سطح گھیرتی ہے۔

$$\begin{aligned}
\oint_S f \, dS &= \int_h \nabla f \, dh \\
\oint_S \mathbf{F} \cdot d\mathbf{S} &= \int_h \nabla \cdot \mathbf{F} \, dh \quad \text{مسئلہ پھیلاؤ} \\
\oint_S \mathbf{a}_N \times \mathbf{F} \, dS &= \int_h \nabla \times \mathbf{F} \, dh
\end{aligned}$$

5414

خطی اور سطحی تکمیل کے تعلق

مندرجہ ذیل دو مساوات میں دائیں جانب سطحی تکمیل کی سطح کو بائیں جانب خطی تکمیل کی بند راہ گھیرتی ہے۔

$$\begin{aligned}
\oint_l f \, dl &= \int_S \mathbf{a}_N \times \nabla f \, dS \\
\oint_l \mathbf{F} \cdot d\mathbf{l} &= \int_S (\nabla \times \mathbf{F}) \cdot d\mathbf{S} \quad \text{مسئلہ سٹوکس}
\end{aligned}$$

complex permittivity

dispersion

try to resolve the issue of using k and γ as propagation constants

kraus p473 fig 10-60 sec 10.18 and 10.19, 10.17,10.16,10.15,10.11 or do the entire chap9 and 10 transmission from kraus too

fourier transform sec 14.8 of kraus must draw the figures

charge is barqi bar and let the reader figure out which bar is meant

degree angle and degree celcius, ohm, micro etc not showing

kraus p581 mentions three types of impedances: intrinsic, characteristic and transverse. ensure that i too have these distinctions

kraus fig-13.28 and fig 13.29 and table 13.3 (on p577) are v. impt

Huygens improvements

figTransmissionSmithFromInternet.tex is not giving the figure of the book

the answers should be at the end of the book

handle all side notes () and remove the corresponding text

read chapter 9 onwards (proof reading)

antenna chapter, 3D figure at start and complete the start section.

house completion certificate.

zaryab fish

$F = dW/dT$ to include in inductance chapter plus a question or two

magnetization curve and an iteration example. fig 8.10, 11 of hayt.

add questions to machine book too.

5437

when giving fields always remember the following rules:

always ensure that divergence of magnetic field is zero.

moving waves must be of the form $E = E_0 \cos(\omega t - kz)$ where $c = (\mu * \epsilon)^{-0.5}$ and $k = 2 * \pi / \lambda$

include complex permittivity (7th ed Q12.18 says $\sigma = \omega \epsilon''$)

include 4th ed fig 11.11 of page 422

جدول 15.1: σ

$\sigma, \frac{\text{S}}{\text{m}}$	چیز	$\sigma, \frac{\text{S}}{\text{m}}$	چیز
7×10^4	گرفتار	6.17×10^7	چاندی
1200	سلیکان	5.80×10^7	تانبہ
100	فیرائٹ (عمومی قیمت)	4.10×10^7	سونا
5	سمندری پانی	3.82×10^7	المونیم
10^{-2}	چھونا پتھر	1.82×10^7	ٹنگسٹن
5×10^{-3}	چکنی مٹی	1.67×10^7	جست
10^{-3}	تازہ پانی	1.50×10^7	پیتل
10^{-4}	مقطر پانی	1.45×10^7	نکل
10^{-5}	ریتیلی مٹی	1.03×10^7	لوہا
10^{-8}	سنگ مرمر	0.70×10^7	قلعی
10^{-9}	بیک لائٹ	0.60×10^7	کاربن سٹیل
10^{-10}	چینی مٹی	0.227×10^7	مینگنیں
2×10^{-13}	بیرا	0.22×10^7	جرمینیم
10^{-16}	پولیسٹرین پلاسٹک	0.11×10^7	سٹینلس سٹیل
10^{-17}	کوارٹس	0.10×10^7	نائیکروم

جدول 15.2: $\sigma/\omega\epsilon$ and ϵ_R

$\sigma/\omega\epsilon$	ϵ_R	چیز
	1	خالی خلاء
	1.0006	ہوا
0.0006	8.8	المونیم آکسائیڈ
0.002	2.7	عنبر
0.022	4.74	بیک لائٹ
	1.001	کاربن ڈائی آکسائیڈ
	16	جرمنیم
0.001	4 تا 7	شیشہ
0.1	4.2	برف
0.0006	5.4	ابر
0.02	3.5	نائلون
0.008	3	کاغذ
0.04	3.45	پلیکسی گلاس
0.0002	2.26	پلاسٹک (تھیلا بنانے والا)
0.000 05	2.55	پولیسٹرین
0.014	6	چینی مٹی
0.0006	4	بائریکس شیشہ (برتن بنانے والا)
0.000 75	3.8	کوارٹس
0.002	2.5 تا 3	ریڑ
0.000 75	3.8	سلیکا SiO_2
	11.8	سلیکان
0.5	3.3	قدرتی برف
0.0001	5.9	کھانے کا نمک
0.07	2.8	خشک مٹی
0.0001	1.03	سٹائروفوم
0.0003	2.1	ٹیفلان
0.0015	100	ٹائٹینیم ڈائی آکسائیڈ
0.04	80	مقطر پانی
4		سمندری پانی
0.01	1.5 تا 4	خشک لکڑی

جدول 15.3: μ_R

μ_R	چیز
0.999 998 6	بسمت
0.999 999 42	پیرافین
0.999 999 5	لکڑی
0.999 999 81	چاندی
1.000 000 65	المونیم
1.000 000 79	بیریلم
50	نکل
60	ڈھلوان لوہا
300	مشین سٹیل
1000	فیرائٹ (عمومی قیمت)
2500	پریم بھرت (permalloy)
3000	ٹرانسفارمر پتری
3500	سیلکان لوہا
4000	خالص لوہا
20 000	میو میٹل (mumetal)
30 000	سنڈسٹ (sendust)
100 000	سوپریم بھرت (supermalloy)

جدول 15.4: اہم مستقل

قیمت	علامت	چیز
$(1.602\,189\,2 \pm 0.000\,004\,6) \times 10^{-19} \text{ C}$	c	الیکٹران چارج
$(9.109\,534 \pm 0.000\,047) \times 10^{-31} \text{ kg}$	m	الیکٹران کمیت
$(8.854\,187\,818 \pm 0.000\,000\,071) \times 10^{-12} \frac{\text{F}}{\text{m}}$	ϵ_0	برقی مستقل (خالی خلاء)
$4\pi 10^{-7} \frac{\text{H}}{\text{m}}$	μ_0	مقناطیسی مستقل (خالی خلاء)
$(2.997\,924\,574 \pm 0.000\,000\,011) \times 10^8 \frac{\text{m}}{\text{s}}$	c	روشنی کی رفتار (خالی خلاء)

